



سازمان زمین شناسی و اکتشافات معدنی کشور

معاونت اکتشاف

مدیریت امور اکتشاف

طرح تلفیق لایه‌های اطلاعاتی پایه و معرفی مناطق امید بخش معدنی کشور

گزارش

پی‌جوئی به روش اکتشافات ژئوشیمیایی در محدوده قهورد کوهین در

مقیاس ۱:۲۵۰۰۰

مجری طرح: ناصر عابدیان

مجری فنی طرح: بهروز برنا

مسئول فنی پروژه: سرمهد روزبه کارگر

توسط: مهرداد موحدی

با همکاری: الهام چیتگری

آبان ماه ۱۳۸۸

بِسْمِ اللّٰهِ الرَّحْمٰنِ الرَّحِيْمِ

الرَّحْمٰنِ

فهرست مطالب

| | |
|----------|---|
| الف..... | چکیده |
| ۱ | فصل اول، کلیات |
| ۱ | موقعیت جغرافیایی و جایگاه زمین شناسی محدوده اکتشافی |
| ۲ | روند انجام پژوهش و تهیه گزارش |
| ۴ | فصل دوم، زمین‌شناسی محدوده مورد مطالعه |
| ۴ | زمین شناسی محدوده مورد مطالعه |
| ۴ | پلیوسن |
| ۴ | P1 واحد |
| ۴ | کواترنری |
| ۴ | Qt واحد |
| ۷ | فصل سوم، نمونه‌برداری، آنالیز و محاسبه خطای آنالیز |
| ۷ | طراحی شبکه نمونه‌برداری |
| ۷ | آماده سازی نمونه‌های ژئوشیمیایی |
| ۷ | آماده سازی و مطالعه کانی‌های سنگین |
| ۱۱ | روش آنالیز نمونه‌های ژئوشیمیایی و حد حساسیت دستگاهها |
| ۱۲ | تخمین داده‌های سنسورد |
| ۱۲ | روش حایگزینی ساده |
| ۱۴ | محاسبه خطای آنالیز |
| ۱۶ | فصل چهارم، پردازش داده‌ها و شرح آنومالی‌های عناصر مختلف |
| ۱۶ | پردازش داده‌ها |

| | |
|----|---|
| ۱۶ | محاسبات پارامترهای آماری داده‌های خام |
| ۱۷ | بررسی مقادیر خارج از رده (Outliers Samples) |
| ۱۸ | بررسی‌های آماری چند متغیره |
| ۱۹ | آنالیز خوش‌های و تفسیر آن |
| ۲۱ | آنومالی عناصر مختلف |
| ۳۱ | فصل پنجم، فاز کنترل آنومالی‌های ژئوشیمیایی |
| ۳۲ | ردیابی کانی‌سنگین |
| ۳۳ | بزرگی هاله‌های کانی‌سنگین |
| ۳۳ | برداشت نمونه‌های کانی‌سنگین |
| ۳۴ | آماده‌سازی و مطالعه نمونه‌های کانی‌سنگین |
| ۳۴ | پردازش داده‌های کانی‌سنگین |
| ۳۴ | رسم هیستوگرام متغیرهای کانی‌سنگین |
| ۳۸ | فصل ششم، نتایج و پیشنهادات |
| ۳۹ | منابع |

فهرست جداول

| | |
|---|-------|
| نمونه‌های دارای مقادیر خارج از رده | ۱۸ |
| مقادیر نرمال و همچنین حدود زمینه و آnomالی‌های ممکن و احتمالی و قطعی | ۲۲ |
| آnomالی‌های مربوط به حدود زمینه و آnomالی‌های ممکن و احتمالی و قطعی گروههای | |
| مختلف کانی سنگین برگه ۱/۲۵۰۰۰ قهورد | ۳۷ |
| مقادیر میانگین و قدر مطلق تفاوت نمونه‌های تکراری | ضمائم |
| جدول همبستگی اسپیرمن بر روی داده‌های خام | ضمائم |
| نمونه‌های آnomال محدوده قهورد | ضمائم |

فهرست اشکال

| |
|---|
| راههای دسترسی به منطقه مورد مطالعه ۱ |
| نتایج حاصل از آنالیز خوشهای عناصر منطقه مورد مطالعه ۲۰ |
| آنالیز خوشهای نمونه‌های کانی سنگین محدوده ۱/۲۵۰۰۰ قهور ۳۶ |
| دیاگرام تامپسون نمونه‌های طلا و وانادیوم ضمائم |
| دیاگرام تامپسون نمونه‌های کروم و کبالت ضمائم |
| دیاگرام تامپسون نمونه‌های نیکل و مس ضمائم |
| دیاگرام تامپسون نمونه‌های روی و گالیوم ضمائم |
| دیاگرام تامپسون نمونه‌های استرانسیوم و ایتریوم ضمائم |
| دیاگرام تامپسون نمونه‌های زیرکونیوم و نیوبیوم ضمائم |
| دیاگرام تامپسون نمونه‌های سزیم و باریم ضمائم |
| دیاگرام تامپسون نمونه‌های لانتانیوم و اندیوم ضمائم |
| دیاگرام تامپسون نمونه‌های اسمیوم و هافیوم ضمائم |
| دیاگرام تامپسون نمونه‌های سرب و اورانیوم ضمائم |
| دیاگرام تامپسون نمونه‌های فسفر و تیتانیوم ضمائم |
| دیاگرام تامپسون نمونه‌های گوگرد و آرسنیک ضمائم |
| دیاگرام تامپسون نمونه‌های سریوم و منگنز ضمائم |
| دیاگرام تامپسون نمونه‌های روبیدیوم و اسکاندیوم ضمائم |

فهرست نقشه‌ها

| | |
|---|----|
| موقعیت نمونه‌های برداشت شده محدوده قهورد..... | ۴۰ |
| آنومالی ژئوشیمیایی عنصر نقره..... | ۴۱ |
| آنومالی ژئوشیمیایی عنصر آلومینیوم..... | ۴۲ |
| آنومالی ژئوشیمیایی عنصر آرسنیک..... | ۴۳ |
| آنومالی ژئوشیمیایی عنصر طلا..... | ۴۴ |
| آنومالی ژئوشیمیایی عنصر باریم..... | ۴۵ |
| آنومالی ژئوشیمیایی عنصر برلیوم..... | ۴۶ |
| آنومالی ژئوشیمیایی عنصر بیسموت..... | ۴۷ |
| آنومالی ژئوشیمیایی عنصر کلسیم..... | ۴۸ |
| آنومالی ژئوشیمیایی عنصر کادمیوم..... | ۴۹ |
| آنومالی ژئوشیمیایی عنصر سریم..... | ۵۰ |
| آنومالی ژئوشیمیایی عنصر کبات..... | ۵۱ |
| آنومالی ژئوشیمیایی عنصر کروم..... | ۵۲ |
| آنومالی ژئوشیمیایی عنصر سزیم..... | ۵۳ |
| آنومالی ژئوشیمیایی عنصر مس..... | ۵۴ |
| آنومالی ژئوشیمیایی عنصر آهن..... | ۵۵ |
| آنومالی ژئوشیمیایی عنصر پتاسیم..... | ۵۶ |
| آنومالی ژئوشیمیایی عنصر لانتانیوم..... | ۵۷ |
| آنومالی ژئوشیمیایی عنصر لیتیوم..... | ۵۸ |
| آنومالی ژئوشیمیایی عنصر منیزیوم..... | ۵۹ |
| آنومالی ژئوشیمیایی عنصر منگنز..... | ۶۰ |

| | |
|----------|--|
| ۶۱ | آنomalی ژئوشیمیایی عنصر مولبیدن..... |
| ۶۲ | آنomalی ژئوشیمیایی عنصر سدیم..... |
| ۶۳ | آنomalی ژئوشیمیایی عنصر نیوبیوم..... |
| ۶۴ | آنomalی ژئوشیمیایی عنصر نیکل..... |
| ۶۵ | آنomalی ژئوشیمیایی عنصر فسفر..... |
| ۶۶ | آنomalی ژئوشیمیایی عنصر سرب..... |
| ۶۷ | آنomalی ژئوشیمیایی عنصر روپیدیوم..... |
| ۶۸ | آنomalی ژئوشیمیایی عنصر گوگرد..... |
| ۶۹ | آنomalی ژئوشیمیایی عنصر آنتیموان..... |
| ۷۰ | آنomalی ژئوشیمیایی عنصر اسکاندیوم..... |
| ۷۱ | آنomalی ژئوشیمیایی عنصر قلع..... |
| ۷۲ | آنomalی ژئوشیمیایی عنصر استرانسیوم..... |
| ۷۳ | آنomalی ژئوشیمیایی عنصر توریوم..... |
| ۷۴ | آنomalی ژئوشیمیایی عنصر تیتانیوم..... |
| ۷۵ | آنomalی ژئوشیمیایی عنصر تالیوم..... |
| ۷۶ | آنomalی ژئوشیمیایی عنصر اورانیوم..... |
| ۷۷ | آنomalی ژئوشیمیایی عنصر وانادیوم..... |
| ۷۸ | آنomalی ژئوشیمیایی عنصر تنگستن..... |
| ۷۹ | آنomalی ژئوشیمیایی عنصر ایتریوم..... |
| ۸۰ | آنomalی ژئوشیمیایی عنصر زیرکونیوم..... |
| ۸۱ | آنomalی ژئوشیمیایی عنصر روی..... |
| ۸۲ | آنomalی‌های مربوط به گروه یک کانی سنگین..... |

| | |
|--|----|
| آномالی‌های مربوط به گروه دو کانی سنگین | ۸۳ |
| آnomالی‌های مربوط به گروه سه کانی سنگین | ۸۴ |
| آنمالی‌های مربوط به گروه چهار کانی سنگین | ۸۵ |

حُسْنَةٌ

چکیده

منطقه مورد مطالعه جزء یکی از ۵ منطقه معرفی شده توسط مطالعات ناحیه‌ای ژئوشیمی در محدوده برگه ۱:۱۰۰.۰۰۰ کوهین می‌باشد. این ناحیه با توجه به تلفیق نتایج مطالعات ژئوشیمی، کانی‌سنگین، مطالعات صحرایی و نمونه‌برداری‌های بعدی انتخاب شده است. محدوده مذکور بین طول‌های جغرافیایی $39^{\circ}27'50''$ - $39^{\circ}31'19''$ و عرض‌های جغرافیایی $22^{\circ}79'68''$ - $23^{\circ}53'80''$ در استان همدان و سی کیلومتری شمال باختری غار علی‌صدر قرار دارد. واحدهای سنگی موجود در محدوده مورد مطالعه شامل واحد P1 قسمت زیادی از سطح زمین را در قسمت شمالی پوشانده و شامل لایه‌های رسی می‌باشد، واحد Qt شامل تراس‌های آبرفتی می‌باشد که بخش عظیمی از محدوده جنوبی و مرکزی منطقه را می‌پوشاند. برای برداشت‌های ژئوشیمیایی، طراحی شبکه نمونه‌برداری با توجه به میزان گسترش شبکه آبراهه‌ای، لیتولوژی، آلتراسیون، زون‌های مینرالیزه و تکتونیک صورت گرفت که پراکندگی آنها از ۲ الی ۳ نمونه ژئوشیمی و ۱ تا ۲ نمونه کانی‌سنگین در هر کیلومترمربع متغیر بوده است و وسعتی بالغ بر ۲۵ کیلومترمربع تحت پوشش قرار گرفت.

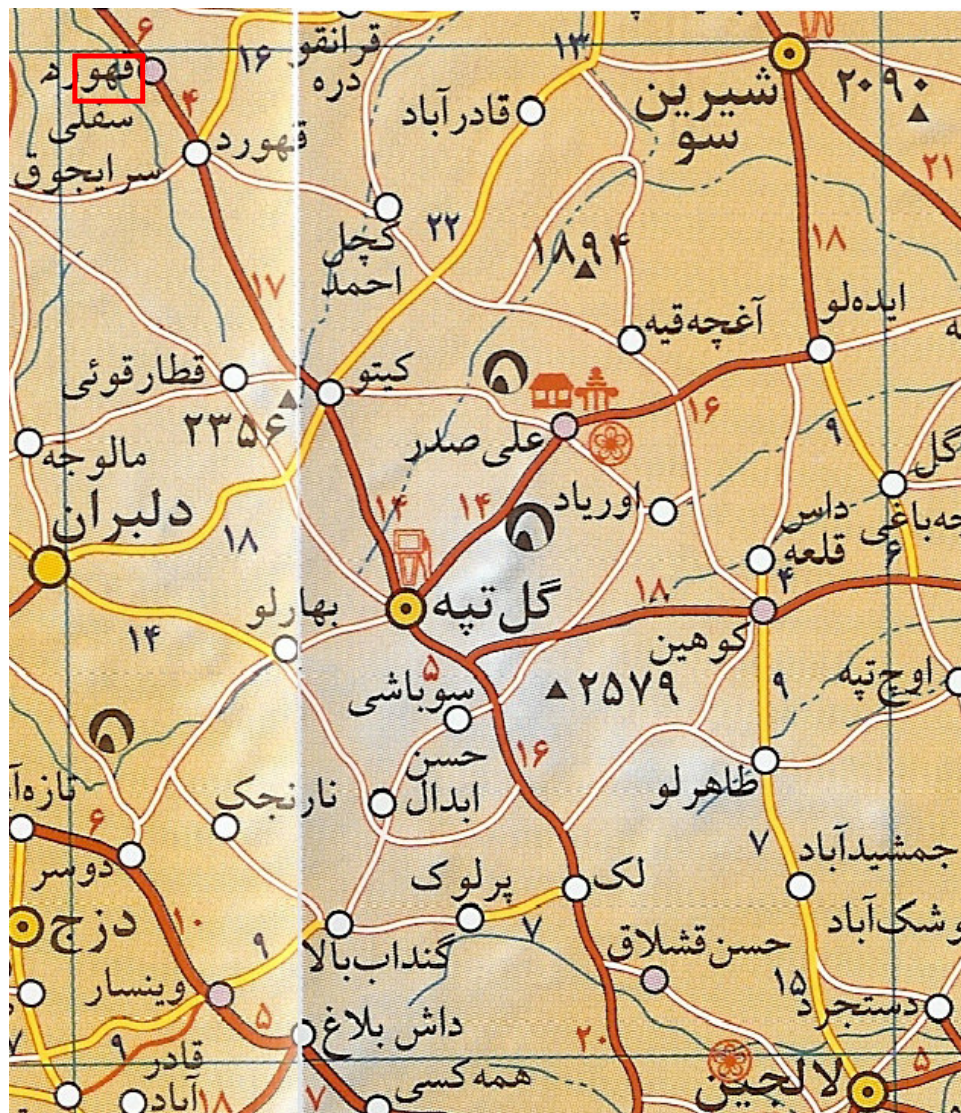
در مجموع تعداد ۴۳ نمونه ژئوشیمی و ۲۳ نمونه کانی سنگین از منطقه برداشت شد. نمونه‌های برداشت شده برای آنالیز ۴۴ عنصری با روش ICP ، روش Fire Assay جهت آنالیز عنصر طلا در آزمایشگاه سازمان زمین‌شناسی و اکتشافات معدنی کشور آنالیز شدند. دقیق آنالیزها محاسبه و پس از حصول از اطمینان، داده‌ها مورد تجزیه و تحلیل قرار گرفتند. بالاترین مقدار نتیجه ژئوشیمیایی رسوبات آبراهه‌ای برای عنصر طلا ۸ میلی گرم در تن، برای عنصر مس $48/7$ گرم در تن، برای عنصر روی $396/3$ گرم در تن و برای عنصر سرب $163/9$ گرم در تن می‌باشد. در هیچ یک از نمونه‌های کانی‌سنگین ذره طلا گزارش نشده است. در نهایت با توجه به تلفیق نتایج مطالعات ژئوشیمی، کانی‌سنگین و مطالعات صحرایی، پیشنهاد گردید از هر گونه هزینه اکتشافی در این محدوده جهت اکتشاف عناصر فلزی، خودداری گردد.

فصل اول

مکاتب

۱-۱- موقعیت جغرافیایی و جایگاه زمین‌شناسی محدوده اکتشافی:

محدوده مورد مطالعه با وسعت تقریبی ۲۵ کیلومترمربع بین طول‌های جغرافیایی ۳۹°۳۱'۷۹ - ۳۹°۲۷'۵۰ در استان همدان و سی ۲۳۵۳'۸۰ - ۲۲۷۹'۶۸ و عرض‌های جغرافیایی آبادی، روستای قهورد در خاور کیلومتری شمال باختری غار علی صدر قرار دارد. نزدیک‌ترین آبادی، روستای قهورد در خاور محدوده مورد مطالعه قرار دارد (شکل ۱-۱).



شکل (۱-۱) : راههای دسترسی به محدوده مورد مطالعه

محدوده مورد مطالعه بخشی از برگه زمین‌شناسی ۱:۲۵۰.۰۰۰ کبودرآهنگ می‌باشد. جاده‌های آسفالت همدان – صالح آباد – گل تپه و همچنین راه آسفالت کبودرآهنگ – گل تپه دسترسی به محدوده را آسان می‌سازد. از لحاظ آب و هوایی دارای آب و هوای معتدل می‌باشد. در تقسیم‌بندی نبوی (۱۳۵۵) این محدوده در زون سنتنج- سیرجان قرار می‌گیرد.

۱-۲- روند انجام پژوهش و تهیه گزارش

در طی اکتشافات ناحیه‌ای ژئوشیمیایی و کانی‌سنگین در محدوده برگه ۱:۱۰۰۰۰۰ کوهین تعداد پنج محدوده امید بخش معرفی گردیده است که در طی یک تعامل مناسب بین سازمان زمین‌شناسی و اکتشافات معدنی کشور و سازمان صنایع و معادن استان همدان تصمیم بر ادامه اکتشاف در مقیاس نیمه تفصیلی در این محدوده‌ها گرفته شد که در طی آن با برنامه‌ریزی کامل و دید مشخص نسبت به این نقاط، تصمیم بر اکتشافات ژئوشیمیایی و همچنین مطالعات کانی‌سنگین در مقیاس بزرگ‌تر همراه با اکتشافات چکشی در مناطق امید بخش گرفته شد. در ادامه کار در این محدوده ابتدا با جمع آوری کامل اطلاعات و با استفاده از نقشه ژئوفیزیک هوایی محدوده و مشخص نمودن گسل‌های پنهان و موقعیت توده‌های نیمه عمیق و استفاده از نقشه زمین‌شناسی، اطلاعات زمین‌شناسی و سنگ‌شناسی موجود اقدام به طراحی شبکه نمونه‌برداری نمودیم. همچنین در مرحله نمونه‌برداری نیز با توجه به تغییرات سر زمین اقدام به اضافه نمودن نمونه‌ها یا جابجایی نمونه‌ها کردیم تا بهترین نتیجه ممکن‌های حاصل گردد.

هر نمونه ژئوشیمیایی از عمق ۳۰ تا ۴۰ سانتی‌متری آبراهه و از چند نقطه برداشت گردید و در نهایت از مخلوط نمودن این چند نمونه یک نمونه بدست آمد که در کیسه‌های دو جداره و با سه شماره نمونه یکی در داخل کیسه و دیگری نوشته شده بر کیسه داخلی و یکی بر کیسه خارجی علامت‌گذاری گردید. جهت نمونه‌گیری کانی‌سنگین نیز با همان شرایط نمونه‌گیری فوق مقدار ۱۰ تا ۱۵ لیتر نمونه گرفته و پس از لاوک شویی جهت آماده‌سازی و مطالعه به بخش مطالعه کانی‌سنگین سازمان زمین‌شناسی و اکتشافات معدنی کشور تحويل داده شد.

جهت کنترل عملکرد آزمایشگاه نیز بطور کاملاً محرومانه از ۱۰ درصد نمونه‌های ژئوشیمیایی،
نمونه تکراری انتخاب گردید.

فصل دوّم

زین‌شناشی

زمین‌شناسی محدوده مورد مطالعه

از لحاظ تقسیمات زمین‌شناسی ایران، محدوده مورد مطالعه در زون ستنندج - سیرجان قرار

گرفته است. توصیف واحدهای زمین‌شناسی محدوده به شرح زیر است:

۱- پلیوسن:

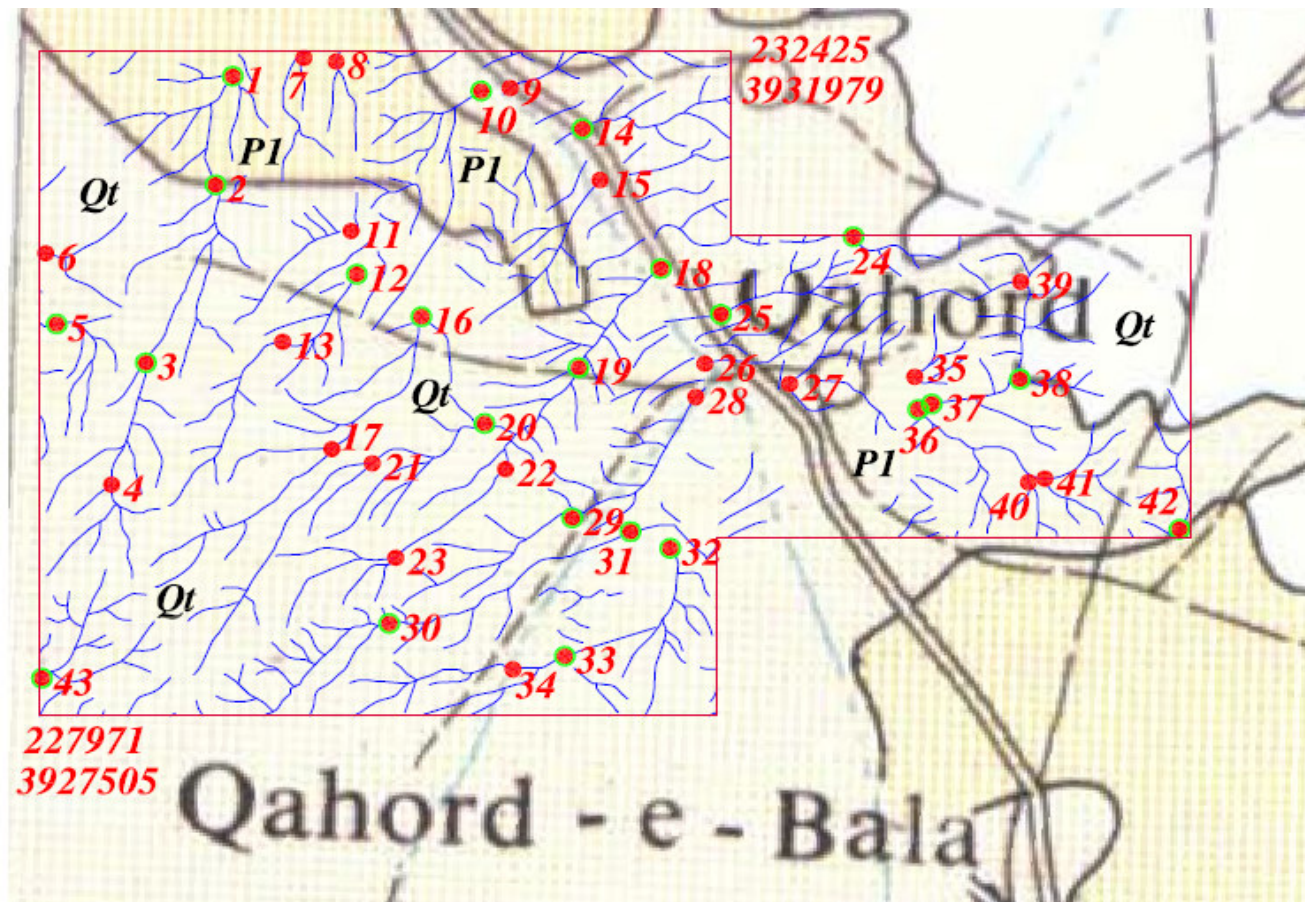
:P1 واحد ۱-

واحد P1 قسمت زیادی از سطح زمین را در قسمت شمالی پوشانده و شامل لایه‌های رسی می‌باشد.

۲- کواترنری:

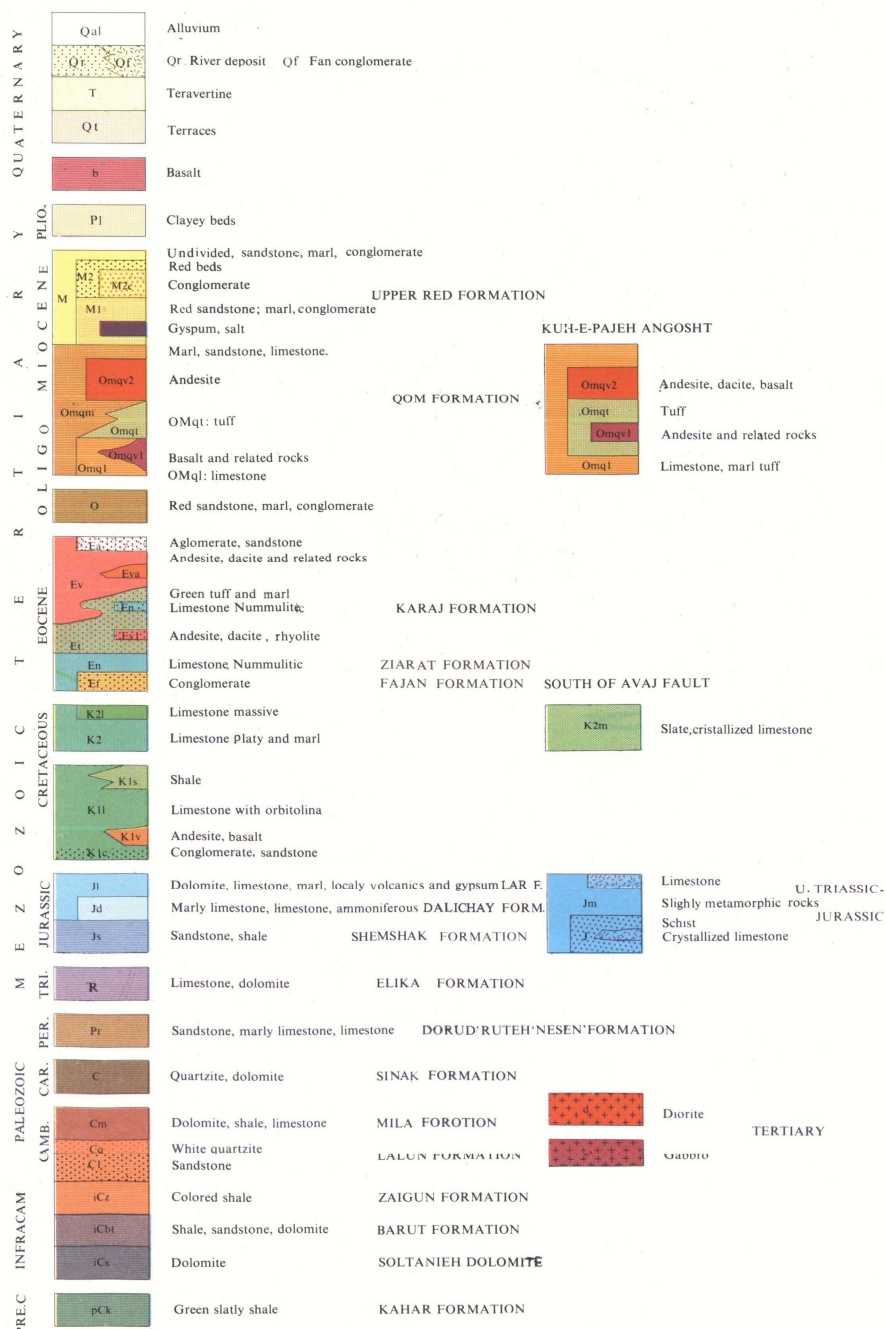
:Qt ۱-۲ واحد

این واحد شامل تراس‌های آبرفتی می‌باشد که بخش عظیمی از محدوده جنوبی و مرکزی منطقه را می‌پوشاند.



شکل (۱-۲): موقعیت محدوده مورد مطالعه بر روی نقشه زمین‌شناسی ۱:۲۵۰۰۰ کبودرآهنگ

LEGEND



شکل (۲-۲): راهنمای نقشه زمین‌شناسی ۱/۲۵۰۰۰۰ کبودرآهنگ

فصل سوم

نمونه برداری، آنالیز و

محاسبه خطای آنالیز

۳-۱- طراحی شبکه نمونه‌برداری:

معمولًاً عواملی که در طراحی شبکه نمونه‌برداری نقش اساسی دارند شامل واحدهای سنگی موجود در منطقه، سیستم توپوگرافی، شبکه آبراهه‌ای و سیستم گسله حاکم بر منطقه می‌باشد. در تراکم نمونه‌برداری در محدوده اکتشافی مورد بحث با توجه به توپوگرافی مرتفع سعی گردیده است ضمن رعایت دانسته نمونه‌ها که ۲ تا ۳ نمونه در هر کیلومترمربع بوده است، فاکتور انتشار واحدهای سنگی و شبکه گسله و زونهای مینرالیزه نیز در طراحی شبکه اعمال گردید. در طول عملیات صحرائی ضمن برداشت نمونه‌های ژئوشیمیایی، کلیه اطلاعات زمین‌شناسی، کانی‌شناسی، سنگ‌شناسی مورد توجه و ثبت قرار گرفت. نمونه‌های کانی‌سنگین با شبکه تقریبی یک عدد در هر کیلومترمربع نیز طراحی گردید که معمولًاً از مدخل آبراهه‌های اصلی جائی که بیشترین مساحت حوضه آبگیر را در بر می‌گیرد برداشت شده است. در مجموع تعداد نمونه‌های ژئوشیمیایی ۴۳ عدد و کانی‌سنگین ۲۳ عدد می‌باشد.

۳-۲- آماده‌سازی نمونه‌های ژئوشیمیایی:

نمونه‌های برداشت شده از رسوبات آبراهه‌ای در محل هر ایستگاه پس از بررسی موقعیت زمین‌شناسی و جغرافیایی و ثبت کلیه پدیده‌های زمین‌شناسی به مقدار ۲۰۰ الی ۳۰۰ گرم از الک ۶۰ مش عبور داده شده است. کلیه نمونه‌ها پس از کنترل و بسته‌بندی، به بخش نمونه‌کوبی سازمان زمین‌شناسی و اکتشافات معدنی کشور ارسال گردید. در بخش نمونه‌کوبی کلیه حجم نمونه برداشت شده تا حد ۲۰۰ مش پودر شده و سپس نمونه‌ها جهت آنالیز به آزمایشگاه‌های تجزیه عنصری سازمان زمین‌شناسی و اکتشافات معدنی کشور ارسال شد.

۳-۳- آماده‌سازی و مطالعه کانی‌های سنگین:

کانی‌های سنگین به آن دسته از کانی‌های گفته می‌شود که وزن حجمی آنها بیشتر از ۲/۸۹ گرم بر سانتی‌متر مکعب باشد و در مایع بروموفرم غوطه‌ور شوند. زمانی که پدیده‌های کانی‌سازی نظیر تزریق محلول‌های هیدروترمالی و یا پدیده‌های دگرگونی در اثر نفوذ سنگ‌های آذرین به وجود

می‌آیند، عیار کانی‌های سنگین در سنگ دربرگیرنده و یا محلول‌های تزریق شده افزایش یافته و

اکثراً کانی‌های کانسارساز اقتصادی به وجود می‌آید. (Economic minerals)

در صورتیکه عیار کانی‌های اقتصادی که اغلب جزء کانی‌های سنگین به شمار می‌آیند در سنگ‌های

دربرگیرنده افزایش یابند به صورت رگه، رگچه و عدسیهای معدنی ظاهر پیدا می‌کنند و یا به صورت

کانی‌های پراکنده در متن سنگ (Disseminated minerals) شکل می‌گیرند.

در محیط‌های ثانویه کانی‌های سنگین از دو منشأ کاملاً مستقل تحت تأثیر عوامل تخریبی و تجزیه

فیزیکی (Weathering) به وجود می‌آیند.

۱- کانی‌های سنگین مشتق شده از کانی‌های سنگ ساز نظیر پیروکسن، آمفیبول، تورمالین، چنانچه

منشأ کانی‌های سنگین از کانی‌های کانسارساز باشند، کانی‌هایی مثل کالکوپیریت، پیریت، زیرکن،

همانیت، روتیل، ایلمنیت، طلا، سینابر، شیلیت، کاسیتریت را به وجود می‌آورند.

۲- کانی‌های سنگین مشابه عناصر کانسارساز اکثراً به صورت گروهی و یا کانی‌های پاراژنر

(Para genetic Minerals) با یکدیگر از سنگ مادر جدا شده و تحت شرایط فیزیکی و جغرافیایی

حاکم بر محیط نظیر شدت جریان آب و شرایط مورفولوژیکی حوضه آبگیر نظیر شیب توپوگرافی،

درجه حرارت محیط در محیط ثانویه تمرکز و تجمع می‌یابند.

نقش عوامل فیزیکی در تمرکز کانی‌های سنگین در محیط‌های ثانویه از اهمیت ویژه‌ای برخوردار

هستند بهمین دلیل کانی‌های هم وزن با منشأ متفاوت در یک محدوده جغرافیایی متمرکز

می‌گردند که می‌توانند در رابطه مستقیم با زون کانی‌ساز و یا واحدهای سنگی موجود در حوضه

آبگیر باشند. لذا تشخیص منشأ و منبع تمرکز کانی‌های سنگین در محیط‌های ثانویه نقشی مهم در

اكتشاف کانسارهای اولیه و کانسارهای ثانویه رسوبی (Placer Deposits) دارند. مطالعه

کانی‌های سنگین در امر اكتشاف دو کاربرد مهم دارند. یکی نقش ردیابی یا (Pathfinder Minerals)

و دیگری کشف کانسارهای بر جای مانده یا (Placer Deposits) می‌باشد. در مرحله اول چنانچه

کانی‌های پاراژنر نظیر سینابر (HgS)، اورپیمانت (As₂S₃)، رآلگار(AsS)، استیبنیت (Sb₂S₃)،

تعاونیت اکتشاف - مدیریت امور اکتشاف

کاسیتیریت(SnO_2)، ولفرامیت [$(\text{Fe}, \text{Mn})\text{WO}_4$] در یک حوضه آبریز تمرکز یافته باشند، سنگ‌های حوضه آبریز می‌توانند خاستگاه تشکیل طلا باشند و یا اینکه حضور کانی‌های پیریت (FeS)، مالاکیت $\{\text{Cu}_2\text{CO}_3(\text{OH})_2\}$ ، کولولیت (CuS) و کالکوپیریت (CuFeS_2) می‌تواند نشانه‌ای از حضور کانی‌سازی مس در سنگ‌های دربرگیرنده باشد. انطباق زون‌های تمرکز یافته کانی‌های سنگین با آنومالیهای عنصری خود نیز تائیدی بر حضور کانی‌سازی در سنگ‌های دربرگیرنده حوضه آبگیر می‌باشند. در بسیاری از محیط‌های رسوبی (محیط ثانویه) عهد حاضر نظیر رسوبات رودخانه‌ای، مخروط افکنه‌ها (Alluvial Fans)، تراشهای رودخانه‌ای، رسوبات دامنه‌ای و بالاخره رسوبات ساحلی (Beach Deposits) بسیاری از کانی‌های سنگین در حد اقتصادی تمرکز می‌یابند. این کانیها عبارتنداز: ایلمنیت، روتیل، مگنتیت، کاسیتیریت، مونازیت، طلا که اگر عیار آنها در حد اقتصادی افزایش یابد خود رسوبات به عنوان کانسار شناخته شده (Placer Deposits) و قابل استخراج می‌باشند. با توجه به مقدمه‌ای که گفته شد در منطقه اکتشافی مورد بحث تعداد ۲۳ نمونه کانی‌سنگین با هدف کنترل کانی‌های پاراژنز طلا برداشت و مورد مطالعه قرار گرفته‌اند. ناگفته نماند چنانچه طلا به عنوان عنصر آزاد در سنگ‌های حوضه آبگیر وجود داشته باشد قابل شناسایی در رسوبات رودخانه‌ای است و چنانچه به صورت عنصر درگیر در شبکه کریستالی کانی‌هایی دیگر نظیر پیریت و کالکوپیریت باشد شناسایی آن به صورت آزاد غیرممکن است.

در راستای نمونه‌برداری ژئوشیمیایی و جهت تکمیل مطالعه و جمع‌آوری داده‌ها، اقدام به نمونه‌برداری کانی‌سنگین شد. جهت نیل به نتایج مطلوب‌تر از بخش‌های پائین دست و در مسیر آبراهه اصلی، از عمق ۳۰ سانتی‌متری گودالی حفر شده و در عرض آبراهه (در صورت عریض بوده آبراهه) یا در طول آن (در صورت کمبودن عرض آن) با توجه به میزان رسوب و به تعداد مقتضی نمونه برداشت شد که ماحصل این نمونه‌برداری، مقدار ۵ لیتر نمونه خشک الکشده در زیر الک ۲۰ مش می‌باشد. در مرحله آماده‌سازی ابتدا نمونه کانی‌سنگین انتخاب شده از آبراهه، توسط آب شسته می‌شود (مرحله لاوک‌شویی) سپس طی مرحله بروموفرم‌گیری که یکی از مراحل چندگانه

آماده‌سازی کانی‌سنگین است، کانی‌های با وزن مخصوص بیش از ۲/۸۹ گرم بر سانتی‌متر مکعب از کانی‌های سبک (Light mineral) جدا می‌شود. مرحله بعدی با عنوان مرحله مگنت‌گیری از مجموع کل (Total Volume) که در مرحله لاوک‌شویی حاصل شده بود، یک حجم به عنوان حجم بایگانی در نظر گرفته می‌شود، بطوریکه حجم مطالعاتی، خود توسط آهنربای مغناطیسی به سه بخش مجزا با عنوانین بخش NM، بخش AA، بخش AV تقسیم می‌شود.

بخش NM فاقد هرگونه خاصیت مغناطیسی بوده و عمدتاً شامل کانی‌های زیرکن، آپاتیت، روتیل، آناتاز، اسفن، باریت و کانی‌های بالرزشی از جمله سینابر، طلا، پیریت و کالکوپیریت می‌باشد.

بخش AA دارای حداقل خاصیت مغناطیسی بوده و از جمله کانی‌های آن مگنتیت و ایلمونومگنتیت می‌باشد.

و بالاخره بخش AV که از نظر خاصیت مغناطیسی حد بین دو بخش قبلی است شامل کانی‌های پیروکسن، آمفیبول، اولیوین، گارنت، کرومیت، هماتیت، ایلمنیت است.

جهت مطالعه و درصد دهی و در نهایت ارائه عیار کانیها به صورت گرم در تن از فرمول:

$$G = \frac{X.y.b.d.10000}{A.C.2.5}$$

استفاده شده است (ف. آزم ۱۳۶۴). جهت تعیین عیار کانیها بر حسب گرم در تن، کلیه مراحل آماده‌سازی بر حسب حجم سنجی صورت می‌گیرد. بطوریکه نمونه برداشت شده قبل از لاوک‌شویی، حجم‌سنجی می‌گردد و کلیه مراحل بعدی نیز حجم‌سنجی گردیده و در نهایت با استفاده از فرمول بالا حجم به وزن (گرم در تن) تبدیل می‌گردد.

در فرمول بالا پارامترها عبارتنداز:

$$G = \text{عيار هر کاني بر حسب گرم در تن}$$

$$X = \text{مقدار کانی مورد مطالعه زیر بینوکولر بر حسب درصد}$$

$$Y = \text{حجم کانی سنگین پس از عبور از بروموفرم}$$

b = مقدار رسوب باقیمانده پس از لاوکشوئی

d = وزن مخصوص کانی مورد مطالعه

c = حجم انتخابی رسوب جهت عبور از محلول بر موفرم

2.5 = وزن مخصوص متوسط رسوب رودخانه‌ای

۳-۴-روش آنالیز نمونه‌های ژئوشیمیایی وحد حساسیت دستگاهها:

در این پژوهه ۴۴ عنصر Ag, Al, As, Au, B, Ba, Be, Bi, Ca, Cd, Ce, Co, Cr, Cs, Cu, Fe, Hg, K, La, Li, Mg, Al, Mn, Mo, Na, Nb, Ni, P, Pb, Rb, S, Sb, Sc, Sn, Sr, Te, Th, Ti, Fire Assay Tl, U, V, W, Y, Zn, Zr, مورد تجزیه شیمیایی قرار گرفتند. عنصر Au با روش بقیه عناصر با روش ICP آنالیز گردیدند. در مورد عناصر B, Hg, Te, با توجه به این که اغلب نمونه‌ها دارای داده سنسورد می‌باشند لذا این عناصر از پردازش حذف شدند. نتایج آنالیز عناصر به جز طلا که به صورت PPb نمایش داده شده است، بر حسب PPm هستند. لیست نمونه‌ها به همراه آنالیز آنها در CD و در ضمینه گزارش آورده شده است.

مهمترین پارامتر در انتخاب روش آنالیز حد حساسیت آن می‌باشد. اصولاً وجود مقادیر سنسورد برای یک عنصر در تجزیه و تحلیل‌های آماری اختلال ایجاد می‌کند و علاوه بر این از آنجا که در اکتشافات ژئوشیمیایی اهمیت و کاربرد مقادیر عددی مربوط به هر یک از عناصر صرفاً به منظور مقایسه نسبی آنها با یکدیگر برای تعیین مقادیر آنومالی می‌باشد، لذا حصول مقادیر عددی (غیر سنسورد) برای یک عنصر از درجه اهمیت بالائی برخوردار است. حد حساسیت یک روش آزمایشگاهی برای یک عنصر در ارتباط با مقدار زمینه آن انتخاب می‌شود و باید کوچکتر از آن باشد. لذا با توجه به توضیحات فوق مقادیر حد حساسیت برای عناصر مورد نظر با توجه به تکنیک‌های آزمایشگاهی موجود و مقدار زمینه عناصر تعیین شد تا با توجه به فراوانی کم عناصر در برخی از سنگها تا حد امکان مقادیر غیر سنسورد حاصل شود. نمونه‌های آنالیز شده محدوده ۱/۲۵۰۰۰

قهورد برای عناصر مختلف (به غیر از Hg,B,Te) فاقد داده‌های سنسورد بودند. کلیه نمونه‌ها برای عناصر Hg,B,Te دارای داده سنسورد می‌باشند که این عناصر از داده پردازی حذف شدند.

۳-۵-تخمین داده‌های سنسورد:

مقادیر سنسورد اعدادی هستند که به صورت کوچکتر و یا بزرگتر از یک مقدار معین گزارش می‌شوند. داده‌های ژئوشیمیایی به علت پائین بودن برخی از عناصر دارای مقادیر سنسورد می‌باشند. برای داده‌های ژئوشیمیایی مقدار سنسورد بطور تیپیک در حد حساسیت دستگاه‌های اندازه‌گیری قرار دارند که ممکن است به صورت مقادیر کمتر و یا بیشتر از یک مقدار خاص (حد حساسیت دستگاه) بیان شود که به ترتیب مربوط به زمانی هستند که مقدار یک عنصر کوچکتر از حد حساسیت و یا بزرگتر از حد حساسیت باشد. داده‌های سنسورد در پردازش داده‌های ژئوشیمیایی اختلال ایجاد می‌کنند چرا که اغلب تکنیکهای آماری مهم نیازمند یک مجموعه کاملی از داده‌های عددی و غیرسنسورد می‌باشند. جهت تخمین مقادیر سنسورد از دو روش استفاده می‌شود:

الف-روش جایگزینی ساده:

در این روش مقادیر بزرگتر از حد حساسیت در مرز بالایی را $4/3$ حد بالایی حساسیت و مقادیر کمتر از حد حساسیت در مرز پائینی را با $3/4$ آن جایگزین می‌کنیم. اگر تعداد داده‌های سنسورد در مقابل کل داده‌ها ناچیز باشد کمتر از ده درصد معمولاً می‌توان از این روش استفاده کرد.

ب-روش بیشترین درست نمایی کوهن:

در این روش بر اساس داده‌های غیرسنسورد، میانگین جامعه کل (سنسورد و غیرسنسورد) تخمین زده می‌شود و سپس از روی آن میانگین جامعه سنسورد محاسبه می‌شود و در نهایت مقادیر سنسورد با میانگین مذکور جایگزین می‌شوند. نکته مهم اینست که داده‌ها حتماً باید توزیع نرمال داشته باشند.

ابتدا میانگین و پراش جامعه کل داده‌ها را با فرمولهای زیر بدست می‌آوریم:

$$X_t = Xu - \lambda (Xu - X_0)$$

$$S_{2t} = Su^2 + \lambda (Xu - X_0)^2$$

$$= \text{میانگین جامعه داده‌های غیرسنسورد} = Xu$$

$$= \text{میانگین جامعه کل داده‌ها} = Xt$$

$$= \text{پراش جامعه کل داده‌ها} = S_{2t}$$

$$= \text{پراش جامعه داده‌های غیرسنسورد} = Su^2$$

$$= \text{حد حساسیت دستگاه} = X_0$$

= تابعی از دو متغیر (γ, h) است که از جدول مربوطه بدست می‌آید.

$$h = \frac{n_t - n_u}{n_t} = \text{تعداد کل داده‌ها}$$

$$\lambda = \frac{S_u^2}{(X_u - X_0)} = \text{تعداد داده‌های غیرسنسورد}$$

با توجه به رابطه میانگین کل داده‌ها با میانگین جوامع سنسورد و غیرسن سورد، می‌توان مقدار

میانگین جامعه داده‌های سنسورد را بدست آورد.

$$X_c = \frac{n_t \cdot X_t - n_u \cdot X_u}{n_c}$$

Xc همان مقدار جایگزین است که باید جانشین مقادیر سنسورد شود.

در داده‌های ژئوشیمیایی محدوده مورد مطالعه فقط عناصر جیوه، مولیبدن، آنتیموان و بیسموت

دارای داده‌های سنسورد می‌باشند. با توجه به این که اکثر داده‌های عنصر جیوه دارای داده سنسورد

می‌باشند لذا از داده پردازی حذف شد. در مورد عناصر مولیبدن، آنتیموان و بیسموت با توجه به این که تعداد نمونه‌های دارای داده سنسوردهم بود با روش جایگزینی ساده جایگزین شدند.

۳-۶-محاسبه خطای آنالیز:

در مباحث ژئوشیمی یکی از سه مؤلفه اصلی خطای کلی در عملیات اکتشافی، خطای آزمایشگاهی است و بدست آوردن این خطای اطلاع از میزان دقت آنالیز حائز اهمیت است. در پروژه‌های ژئوشیمیابی در مقیاس ناحیه‌ای هدف سنجش نسبی مقادیر هر عنصر نسبت به یکدیگر به منظور معرفی نواحی امیدبخش و مناطق پر پتانسیل برای اهداف نیمه تفصیلی می‌باشد، لذا دقت اندازه‌گیری‌ها در مقایسه با صحت آنها از درجه اهمیت بیشتری برخوردار است. ولی در مقیاس نیمه تفصیلی و تفصیلی صحت از دقت اهمیت بیشتری دارد. برای تعیین صحت متاسفانه در ایران کاری صورت نمی‌گیرد ولی با آنالیز تکراری نمونه‌های ژئوشیمیابی دقت عملیات مورد بررسی قرار گرفت. در مرحله نخست جهت بررسی وضعیت دقت عملیات از دیاگرام کنترلی طراحی شده برای ۱۰٪ خطای که در سال ۱۹۷۶ توسط تامسون ارائه شد، استفاده گردید. بدین منظور ابتدا جداول (۲-۳) تا (۳-۷) ترسیم شدند. در این جداول در ستون اول نام متغیر، در ستون دوم شماره سریال نمونه‌ها، در ستون‌های سوم و چهارم مقادیر اندازه‌گیری شده برای هر جفت نمونه، در ستون پنجم مقدار میانگین و در ستون ششم قدر مطلق تفاضل هر زوج نمونه آورده شده است. در دیاگرام کنترلی تامسون، محورهای افقی و قائم به ترتیب مقادیر لگاریتمی میانگین و قدر مطلق تفاضل دو اندازه‌گیری را نشان می‌دهد. پس از پیاده کردن نقاط مربوط به جفت نمونه‌های آنالیز شده در صورتیکه ۰.۹٪ داده‌ها زیر خط معادل ۰.۱٪ و ۰.۹۹٪ داده‌ها زیر خط معادل ۰.۱٪ قرار گیرند خطای حد ۰.۱٪ خواهد بود.

جدول (۳-۱) و اشکال (۳-۱) تا (۳-۲۱) دیاگرام کنترلی عناصر مورد نظر را نشان می‌دهد (بخش ضمایم). با بررسی این دیاگرام‌ها دیده می‌شود که برای عناصر Au, Ag, Al, Fe, Bi, K,Ca, Ce, Li, Mg , Sn, Sb, Sc, Th, Na, U, دقت آنالیز از شرایط ذکر شده برای دیاگرام تامسون پیروی

نکرده و خطای بالایی را این عناصر دارا هستند. اشکال و جداول ذکر شده در بخش ضمائم آورده شده‌اند.

فصل چهارم



بردازش داده



۴-۱-پردازش داده‌ها:

پردازش داده‌ها مرحله‌ای است که طی آن به حجم زیاد اطلاعات گردآوری شده سامان داده می‌شود و با اعمال محاسبات آماری و زمین‌آماری گوناگون به شکل قابل تفسیر در می‌آیند. از جمله عملیاتی که در این مرحله صورت می‌گیرد، می‌توان به طبقه‌بندی داده‌ها، ورود داده‌ها در بانک‌های اطلاعاتی، رسم نمودارها و تنظیم جداول اشاره کرد و در طی این مراحل کنترل‌های مختلفی صورت می‌گیرد تا از بروز خطاهاي احتمالي جلوگيري شود. به علت اينكه نقشه زمین‌شناسي ۱/۲۵۰۰۰ منطقه تهيه نشد و همچنان به دليل کوچکي مناطق آنومال معرفی شده از مرحله اکتشافات ژئوشيميايی ۱:۱۰۰۰۰ و در نتيجه محدوديت جامعه نمونه‌برداری، پردازش جوامع سنگی و محاسبه شاخص غني‌شدگی انجام نگرفت. داده‌ها بعد از محاسبات پارامترهای آماری داده‌های خام، مناطق آنومالی نهائی محاسبه و معرفی گردیدند.

۴-۲-محاسبات پارامترهای آماری داده‌های خام:

در پردازش آماری داده‌های اولیه (داده‌های خام) که از آزمایشگاه دریافت می‌شود برای اینکه این داده‌ها با استفاده از روش‌های آماری مورد آنالیز قرار گیرند باید ماهیت توزیع آنها مشخص گردد. بنابراین گام اول قبل از پردازش داده‌ها، محاسبه پارامترهای آماری داده خام و شناخت ماهیت تابع توزیع مربوط به عناصر Ag, Al, As, Au, Ba, Be, Bi, Ca, Cd, Ce, Co, Cr, Cs, Cu, Fe, K, La, Li, Mg, Al, Mn, Mo, Na, Nb, Ni, P, Pb, Rb, S, Sb, Sc, Sn, Sr, Th, Ti, Tl, U, V, W, Y, Zn, Zr, پارامترهای آماری مهم نظير ميانگين، ميانه، انحراف معيار، واريанс، چولگي، كشيدگي، مينيمم مقدار و ماكزيمم مقدار مربوط به هر عنصر به همراه هيستوگرام مربوط به آن در جدول (۴-۲) در بخش ضمائم آورده شده است.

۴-۳- بررسی مقادیر خارج از رده (Outliers Samples)

هنگام بررسی مقادیرداده‌های خام به نمونه‌هایی برمی‌خوریم که در کرانه‌های بالا و پائین جامعه داده‌ها قرار گرفته‌اند و از جامعه اصلی جدا افتاده‌اند. اگر نمودار جعبه‌ای (Box plot) آنها ترسیم شود این نمونه‌ها به نحو بارزی خودشان را از بقیه جدا می‌کنند (شکل ۴-۲).

مقادیر خارج از رده به سه حالت مختلف ممکن است بوجود آیند:

حالت اول: ممکن است از یک خطای سیستماتیک به هنگام نمونه‌برداری، آماده‌سازی یا تجزیهٔ شیمیایی نمونه‌ها ناشی شده باشند که باید از مرحلهٔ پردازش داده‌ها حذف یا اصلاح شوند.

حالت دوم: مشاهداتی که بصورت یک پدیده فوق العاده، نمود پیدا می‌کنند که باید پس از بررسی اعتبار آنها در مورد حفظ یا حذف آنها تصمیم گرفت.

حالت سوم : مشاهدات فوق العاده‌ای که هیچ‌گونه توضیح مناسبی برای آنها وجود ندارد و کارشناس اگر احساس کند که آنها به عنوان گوشه‌ای از جامعه مورد بررسی هستند می‌تواند آنها را حفظ کند. وجود مقادیر خارج از رده در جامعه نمونه‌ها موجب افزایش واریانس جامعه و نیز همبستگی بین متغیرها و همچنین افزایش چولگی در نمودار توزیع عناصر می‌شود. برای کاهش این تأثیر سه راه وجود دارد:

- ۱- محاسبه ضریب همبستگی با استفاده از روش‌های ناپارامتری مانند روش اسپیرمن (Spearman)
- ۲- حذف نمودن این مقادیر از جامعه شاخص غنی‌شدگی هر عنصر می‌باشد

تعديل داده‌های خارج از رده است.

در روش تعديل با توجه به نمودارهای ترسیم شده در (Box plot) مرز عددی بین مقادیر خارج از رده و سایر داده‌ها تعیین گردیده و داده‌های خارج از رده به عدد فوق با یک روند کاهشی نزدیک می‌شود؛ در اینجا برای تمام عناصر از روش تعديل استفاده شده است. نمونه‌های دارای مقادیر خارج از رده در جدول (۱-۴) آورده شده است.

| عنصر | شماره نمونه مقادیر خارج از رده |
|------|--------------------------------|
| Au | 19,31,32,33 |

جدول (۴-۱) نمونه‌های دارای مقادیر خارج از رده در محدوده قهورد

۴-۴-۱: تعیین ضریب همبستگی:**۴-۴-۲: تعیین ضریب همبستگی:**

برای تعیین اینکه آیا ارتباط معنی دارای میان تغییرات متغیرهای آماری وجود دارد، ضرایب همبستگی میان آنها را محاسبه می‌کنیم این کار به دو منظور کشف همبستگی بین متغیرها و تخمین مقدار یک یا چند متغیر دیگر صورت می‌گیرد.

برای بررسی این موضوع ضریب همبستگی اسپیرمن به صورت ماتریس ضرایب همبستگی محاسبه شده‌اند که در جدول (۴-۲) آمده است. در این ضریب (2-tailed) Sig میزان معنی دار بودن ضرایب همبستگی طبق آزمون فرض مساوی صفر بودن ضریب همبستگی می‌باشد. برای محاسبه ضریب همبستگی اسپیرمن از داده‌های خام استفاده شده است.

۴-۴-۳: بررسی‌های آماری چند متغیره

هر تجزیه و تحلیل چند متغیره که بر روی بیش از دو متغیر انجام می‌گیرد می‌تواند در قالب آنالیزهای چند متغیره بیان شود. غالب تکنیکهای چند متغیره در اصل بسط و توسعه آنالیزهای تکمتغیره می‌باشند و البته بعضی از روش‌های چند متغیره تنها برای پاسخ‌گوئی به مقاصد چند متغیره طراحی شده‌اند که از جمله این روش‌ها می‌توان به تجزیه‌عاملی اشاره کرد. تجربه نشان داده است که چنانچه ترکیبی از متغیرها به جای یک متغیر بکار گرفته شوند و از نتایج ترکیبی آنها استفاده شود امکان تشخیص هاله‌های مرکب ژئوشیمیائی در اطراف توده‌های کانساری به مراتب افزایش می‌یابد و از طرفی اثرات خطاهای تصادفی در بکارگیری ترکیبی متغیرها نسبتاً کاهش می‌یابد. از دیگر مزایای استفاده از روش‌های چند متغیره کاهش تعداد متغیرها در مباحث داده‌پردازی و در نتیجه کاستن از تعداد نقشه‌ها است. با استفاده از این روش‌ها امکان

مقایسه متغیرها و کسب نتایج راحت‌تر خواهد بود. البته استفاده بهینه از روش‌های چند متغیره در حالتی صادق خواهد بود که در پردازش داده‌ها با تعداد زیادی متغیر روبرو باشیم و تا حدودی امکان اخذ نتیجه از متغیرها به گونه منفرد غیرممکن و یا تؤمن با خطای زیاد باشد. در این پژوهه از روش‌های چند متغیره فقط از روش آنالیز خوش‌های استفاده شده است.

الف- آنالیز خوش‌های و تفسیر آن:

چون هر گروه معین از عناصر نسبت به یکسری از شرایط محیطی کم و بیش به طور مشابه حساسیت نشان می‌دهند، شناخت ارتباط و همبستگی ژنتیکی متقابل بین عناصر مختلف می‌تواند در شناخت دقیق‌تر تغییرات موجود در محیط‌های ژئوشیمیایی بکارگرفته شود. ضمناً تجمع ژنتیکی بعضی از عناصر ممکن است بعنوان راهنمای مستقیم در تفسیر نوع نهشته‌ای که احتمالاً در ناحیه وجود دارد بکار رود. رویهم رفته شناخت همبستگی‌های ژنتیکی که در بین عناصر وجود دارد اطلاعات لازم را برای تفسیر هر چه صحیح‌تر داده‌های ژئوشیمیائی در اختیار می‌گذارد.

آنالیز خوش‌های یک روش آماری چند متغیره است که عناصر را بر اساس شباهت تغییرپذیری بین آنها در قالب دسته‌ها یا گروه‌هایی طبقه‌بندی می‌کند. دلایل زیادی برای ارزشمند بودن آنالیز خوش‌های وجود دارد از جمله اینکه آنالیز خوش‌های می‌تواند در پیدا کردن گروه‌های واقعی کمک کند و همچنین از تراکم داده‌ها بکاهد. البته باید توجه داشت که آنالیز خوش‌های می‌تواند گروه‌های غیرقابل انتظاری را ایجاد نماید که بیانگر روابط جدیدی خواهند بود و باید مورد بررسی قرار گیرند. نتایج حاصل از آنالیز خوش‌های عناصر مورد مطالعه در شکل (۴-۲) آورده شده است، با توجه به شکل می‌توان سه گروه اصلی را جدا نمود که بیانگر ارتباط پاراژنزی بین متغیرها باشد.

گروه اول: شامل عناصر Cs, Ce, As, Bi, Th, Sn, Rb, La, Y, Mo, Pb, Mn می‌باشد.

گروه دوم: شامل عناصر Sc, V, Na, W, U, P, Tl, Zr, Zn, Be, Ba می‌باشد.

گروه سوم: شامل عناصر Au, S, Ag, K, Al, Cd, Fe, Cu می‌باشد.

گروه چهارم: شامل عناصر Co, Cr, Ca, Mg, Nb, Ni, Sr, Li, Ti, Sb می‌باشد.

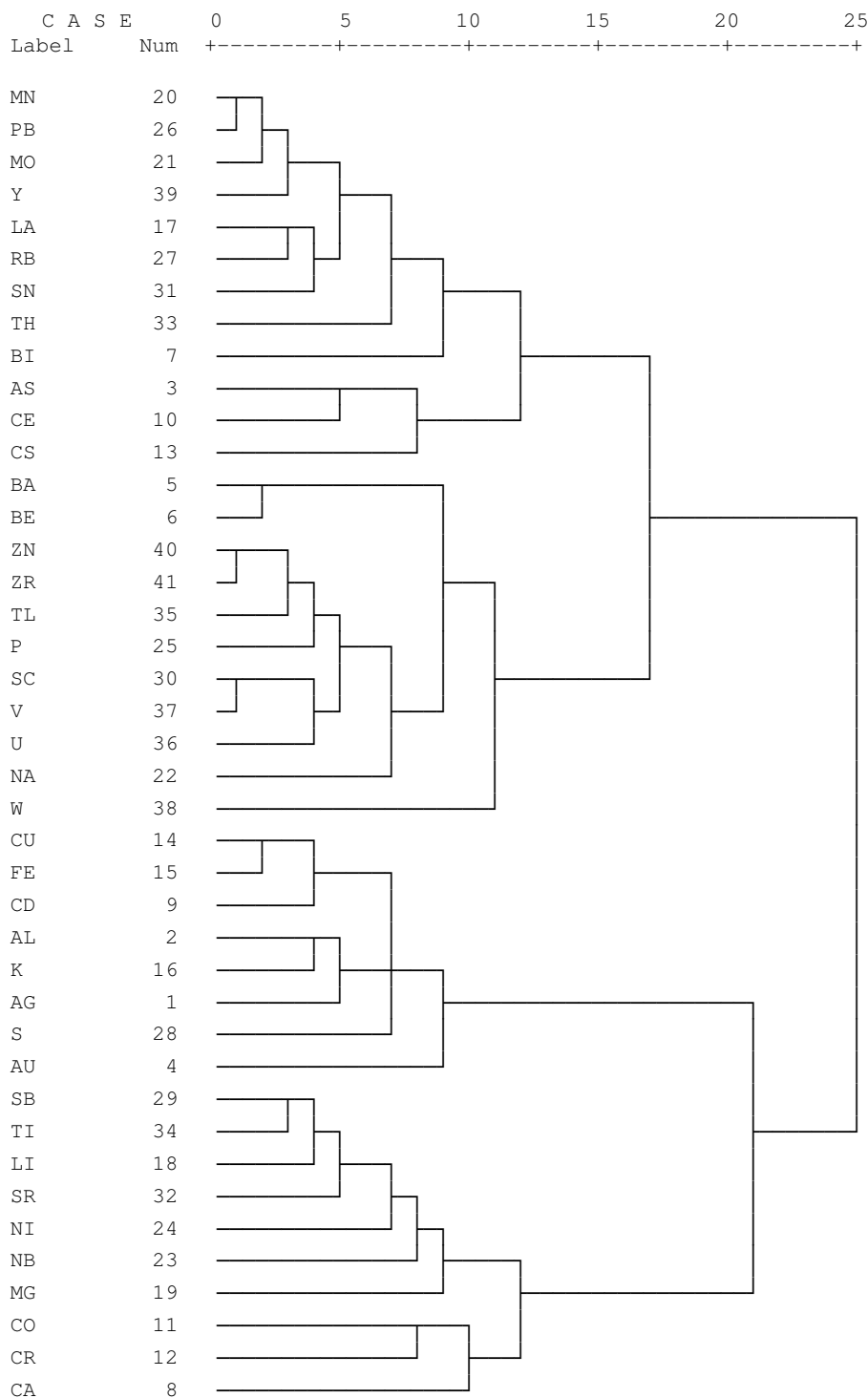


Fig (2-4): Cluster analysis of normal enrichment data for Qahord area

۴- آنومالی عناصر مختلف:

در این بخش به شرح آنومالی‌های بدست آمده از عناصر مختلف می‌پردازیم. قبل از توصیف آنومالی عناصر مختلف ذکر چند نکته الزامی است. در مورد جدایش آنومالی‌ها از فرمول $x + 4S$ و $x + 3S$ استفاده شده است. این کار هم در مورد داده‌های خام و هم نرمال شده مورد استفاده قرار گرفته است. مقادیر بیشتر از $x + 4S$ به عنوان آنومالی درجه یک و مقادیر بین $x + 3S$ و $x + 4S$ به عنوان آنومالی درجه دو لحاظ شده‌اند (میانگین داده‌ها = X ، انحراف معیار = S و ضریب = n) در این منطقه جدایش آنومالی‌ها بر اساس داده‌های نرمال صورت گرفته است. نقشه نمونه‌برداری منطقه نیز به صورت نقشه‌ای جداگانه آورده شده است (نقشه‌های شماره ۱ تا ۴۱).

جدول (۴-۴): مقادیر نرمال و همچنین حدود زمینه و آنومالی های ممکن و احتمالی و قطعی نمونه های ژئوشیمیابی محدوده ۱/۲۵۰۰۰ قهورد

| | | | |
|-----------|-------------|-----------------|---|
| <i>Ag</i> | <i>X+S</i> | حد زمینه | QA-19,QA-20,QA-06,QA-35,QA-05,QA-34,QA-07,QA-36,QA-18 |
| | <i>X+2S</i> | آنومالی ممکن | - |
| | <i>X+3S</i> | آنومالی احتمالی | - |
| | <i>X+4S</i> | آنومالی قطعی | - |
| <i>Al</i> | <i>X+S</i> | حد زمینه | QA-19,QA-20,QA-07,QA-36,QA-06,QA-35,QA-21,QA-08,QA-37,QA-18,QA-05,QA-34 |
| | <i>X+2S</i> | آنومالی ممکن | - |
| | <i>X+3S</i> | آنومالی احتمالی | - |
| | <i>X+4S</i> | آنومالی قطعی | - |
| <i>As</i> | <i>X+S</i> | حد زمینه | QA-21,QA-07,QA-36,QA-20,QA-08,QA-37,QA-22,QA-09,QA-38 |
| | <i>X+2S</i> | آنومالی ممکن | QA-19 |
| | <i>X+3S</i> | آنومالی احتمالی | - |
| | <i>X+4S</i> | آنومالی قطعی | - |
| <i>Au</i> | <i>X+S</i> | حد زمینه | QA-05,QA-35,QA-30 |
| | <i>X+2S</i> | آنومالی ممکن | QA-07,QA-20,QA-06 |
| | <i>X+3S</i> | آنومالی احتمالی | QA-33,QA-34 |
| | <i>X+4S</i> | آنومالی قطعی | QA-19,QA-31,QA-32 |
| <i>Ba</i> | <i>X+S</i> | حد زمینه | QA-25,QA-42,QA-13,QA-12,QA-41,QA-24,QA-40,QA-14,QA-43 |
| | <i>X+2S</i> | آنومالی ممکن | - |
| | <i>X+3S</i> | آنومالی احتمالی | - |
| | <i>X+4S</i> | آنومالی قطعی | - |

جدول (۴-۴): مقدار نرمال و همچنین حدود زمینه و آنومالی های ممکن و احتمالی و قطعی نمونه های ژئوشیمیابی محدوده ۱/۲۵۰۰۰ قهور

| | | | |
|-----------|-------------|-----------------|--|
| <i>Be</i> | <i>X+S</i> | حد زمینه | QA-25, QA-26, QA-42, QA-13, QA-40, QA-14, QA-43, QA-24, QA-01, QA-12, QA-41, QA-27, QA-39, QA-15, QA-23, QA-02 |
| | <i>X+2S</i> | آنومالی ممکن | - |
| | <i>X+3S</i> | آنومالی احتمالی | - |
| | <i>X+4S</i> | آنومالی قطعی | - |
| <i>Bi</i> | <i>X+S</i> | حد زمینه | QA-33, QA-21, QA-24 |
| | <i>X+2S</i> | آنومالی ممکن | QA-34 |
| | <i>X+3S</i> | آنومالی احتمالی | - |
| | <i>X+4S</i> | آنومالی قطعی | - |
| <i>Ca</i> | <i>X+S</i> | حد زمینه | QA-26, QA-01, QA-14, QA-43, QA-04, QA-17 |
| | <i>X+2S</i> | آنومالی ممکن | QA-28, QA-29, QA-16, QA-27, QA-15, QA-02, QA-03 |
| | <i>X+3S</i> | آنومالی احتمالی | - |
| | <i>X+4S</i> | آنومالی قطعی | - |
| <i>Cd</i> | <i>X+S</i> | حد زمینه | QA-21, QA-07, QA-37, QA-05, QA-35, QA-19, QA-22, QA-08, QA-10, QA-18 |
| | <i>X+2S</i> | آنومالی ممکن | QA-20, QA-36, QA-06 |
| | <i>X+3S</i> | آنومالی احتمالی | - |
| | <i>X+4S</i> | آنومالی قطعی | - |
| <i>Ce</i> | <i>X+S</i> | حد زمینه | QA-22, QA-08, QA-10, QA-23, QA-09, QA-11, QA-07, QA-37, QA-38, QA-21, QA-24 |
| | <i>X+2S</i> | آنومالی ممکن | - |
| | <i>X+3S</i> | آنومالی احتمالی | - |
| | <i>X+4S</i> | آنومالی قطعی | - |

جدول (۴-۴): مقادیر نرمال و همچنین حدود زمینه و آنومالی های ممکن و احتمالی و قطعی نمونه های ژئوشیمیابی محدوده ۱/۲۵۰۰۰ قهورد

| | | | |
|-----------|-------------|-----------------|---|
| <i>Co</i> | <i>X+S</i> | حد زمینه | - |
| | <i>X+2S</i> | آنومالی ممکن | - |
| | <i>X+3S</i> | آنومالی احتمالی | - |
| | <i>X+4S</i> | آنومالی قطعی | - |
| <i>Cr</i> | <i>X+S</i> | حد زمینه | QA-30,QA-33,QA-32,QA-27,QA-19,QA-20,QA-28 |
| | <i>X+2S</i> | آنومالی ممکن | - |
| | <i>X+3S</i> | آنومالی احتمالی | - |
| | <i>X+4S</i> | آنومالی قطعی | - |
| <i>Cs</i> | <i>X+S</i> | حد زمینه | - |
| | <i>X+2S</i> | آنومالی ممکن | - |
| | <i>X+3S</i> | آنومالی احتمالی | - |
| | <i>X+4S</i> | آنومالی قطعی | - |
| <i>Cu</i> | <i>X+S</i> | حد زمینه | QA-34,QA-04,QA-05,QA-35,QA-18,QA-17,QA-06,QA-36,QA-20,QA-21,QA-07,QA-37 |
| | <i>X+2S</i> | آنومالی ممکن | QA-19 |
| | <i>X+3S</i> | آنومالی احتمالی | - |
| | <i>X+4S</i> | آنومالی قطعی | - |
| <i>Fe</i> | <i>X+S</i> | حد زمینه | QA-19,QA-20,QA-06,QA-36,QA-05,QA-35,QA-21,QA-07,QA-37 |
| | <i>X+2S</i> | آنومالی ممکن | - |
| | <i>X+3S</i> | آنومالی احتمالی | - |
| | <i>X+4S</i> | آنومالی قطعی | - |

جدول (۴-۴): مقدار نرمال و همچنین حدود زمینه و آنومالی های ممکن و احتمالی و قطعی نمونه های ژئوشیمیابی محدوده ۱/۲۵۰۰۰ قهورد

| | | | |
|-----------|-------------|-----------------|---|
| <i>K</i> | <i>X+S</i> | حد زمینه | QA-20,QA-19,QA-06,QA-36,QA-05,QA-35,QA-21,QA-18,QA-34,QA-04 |
| | <i>X+2S</i> | آنومالی ممکن | - |
| | <i>X+3S</i> | آنومالی احتمالی | - |
| | <i>X+4S</i> | آنومالی قطعی | - |
| <i>La</i> | <i>X+S</i> | حد زمینه | QA-11,QA-27,QA-38,QA-10,QA-37,QA-28,QA-26,QA-39 |
| | <i>X+2S</i> | آنومالی ممکن | - |
| | <i>X+3S</i> | آنومالی احتمالی | - |
| | <i>X+4S</i> | آنومالی قطعی | - |
| <i>Li</i> | <i>X+S</i> | حد زمینه | - |
| | <i>X+2S</i> | آنومالی ممکن | - |
| | <i>X+3S</i> | آنومالی احتمالی | - |
| | <i>X+4S</i> | آنومالی قطعی | - |
| <i>Mg</i> | <i>X+S</i> | حد زمینه | QA-19,QA-20,QA-07,QA-06,QA-18,QA-33 |
| | <i>X+2S</i> | آنومالی ممکن | - |
| | <i>X+3S</i> | آنومالی احتمالی | - |
| | <i>X+4S</i> | آنومالی قطعی | - |
| <i>Mn</i> | <i>X+S</i> | حد زمینه | QA-37,QA-26,QA-11,QA-27,QA-38,QA-36,QA-25,QA-09,QA-12,QA-28,QA-39,QA-08 |
| | <i>X+2S</i> | آنومالی ممکن | QA-10 |
| | <i>X+3S</i> | آنومالی احتمالی | - |
| | <i>X+4S</i> | آنومالی قطعی | - |

جدول (۴-۴): مقادیر نرمال و همچنین حدود زمینه و آنومالی های ممکن و احتمالی و قطعی نمونه های ژئوشیمیابی محدوده ۱/۲۵۰۰۰ قهورد

| | | | |
|-----------|-------------|-----------------|---|
| <i>Mo</i> | <i>X+S</i> | حد زمینه | QA-10,QA-37,QA-26,QA-27,QA-38,QA-11,QA-35,QA-24 |
| | <i>X+2S</i> | آنومالی ممکن | QA-08,QA-09,QA-36,QA-25 |
| | <i>X+3S</i> | آنومالی احتمالی | - |
| | <i>X+4S</i> | آنومالی قطعی | - |
| <i>Na</i> | <i>X+S</i> | حد زمینه | QA-13,QA-39,QA-40,QA-38 |
| | <i>X+2S</i> | آنومالی ممکن | QA-12,QA-24,QA-27,QA-26,QA-01,QA-25,QA-28 |
| | <i>X+3S</i> | آنومالی احتمالی | - |
| | <i>X+4S</i> | آنومالی قطعی | - |
| <i>Nb</i> | <i>X+S</i> | حد زمینه | QA-16,QA-05,QA-17,QA-32,QA-18,QA-04,QA-43,QA-31,QA-06 |
| | <i>X+2S</i> | آنومالی ممکن | - |
| | <i>X+3S</i> | آنومالی احتمالی | - |
| | <i>X+4S</i> | آنومالی قطعی | - |
| <i>Ni</i> | <i>X+S</i> | حد زمینه | - |
| | <i>X+2S</i> | آنومالی ممکن | - |
| | <i>X+3S</i> | آنومالی احتمالی | - |
| | <i>X+4S</i> | آنومالی قطعی | - |
| <i>P</i> | <i>X+S</i> | حد زمینه | - |
| | <i>X+2S</i> | آنومالی ممکن | - |
| | <i>X+3S</i> | آنومالی احتمالی | - |
| | <i>X+4S</i> | آنومالی قطعی | - |

جدول (۴-۴): مقدار نرمال و همچنین حدود زمینه و آنومالی های ممکن و احتمالی و قطعی نمونه های ژئوشیمیابی محدوده ۱/۲۵۰۰۰ قهورد

| | | | |
|-----------|-------------|-----------------|--|
| <i>Pb</i> | <i>X+S</i> | حد زمینه | QA-27, QA-38, QA-25, QA-36, QA-09, QA-12, QA-39, QA-28, QA-08 |
| | <i>X+2S</i> | آنومالی ممکن | QA-10, QA-11, QA-26, QA-37 |
| | <i>X+3S</i> | آنومالی احتمالی | - |
| | <i>X+4S</i> | آنومالی قطعی | - |
| <i>Rb</i> | <i>X+S</i> | حد زمینه | QA-12, QA-11, QA-27, QA-38, QA-10, QA-26, QA-37, QA-39, QA-28, QA-09, QA-25, QA-36, QA-35, QA-24 |
| | <i>X+2S</i> | آنومالی ممکن | - |
| | <i>X+3S</i> | آنومالی احتمالی | - |
| | <i>X+4S</i> | آنومالی قطعی | - |
| <i>S</i> | <i>X+S</i> | حد زمینه | QA-35, QA-18, QA-33, QA-06, QA-36, QA-09 |
| | <i>X+2S</i> | آنومالی ممکن | QA-20, QA-21, QA-08, QA-19, QA-07, QA-34 |
| | <i>X+3S</i> | آنومالی احتمالی | - |
| | <i>X+4S</i> | آنومالی قطعی | - |
| <i>Sb</i> | <i>X+S</i> | حد زمینه | QA-12, QA-13, QA-40, QA-01, QA-29, QA-02, QA-41, QA-14 |
| | <i>X+2S</i> | آنومالی ممکن | - |
| | <i>X+3S</i> | آنومالی احتمالی | - |
| | <i>X+4S</i> | آنومالی قطعی | - |
| <i>Sc</i> | <i>X+S</i> | حد زمینه | QA-11, QA-12, QA-39, QA-28, QA-38, QA-27, QA-13, QA-40, QA-01 |
| | <i>X+2S</i> | آنومالی ممکن | - |
| | <i>X+3S</i> | آنومالی احتمالی | - |
| | <i>X+4S</i> | آنومالی قطعی | - |

جدول (۴-۴): مقدار نرمال و همچنین حدود زمینه و آنومالی های ممکن و احتمالی و قطعی نمونه های ژئوشیمیابی محدوده ۱/۲۵۰۰۰ قهورد

| | | | |
|-----------|-------------|-----------------|--|
| <i>Sn</i> | <i>X+S</i> | حد زمینه | QA-09, QA-13, QA-37, QA-26, QA-10, QA-39, QA-28, QA-38, QA-27, QA-12, QA-11, QA-40, QA-01, QA-14, QA-36, QA-25 |
| | <i>X+2S</i> | آنومالی ممکن | - |
| | <i>X+3S</i> | آنومالی احتمالی | - |
| | <i>X+4S</i> | آنومالی قطعی | - |
| <i>Sr</i> | <i>X+S</i> | حد زمینه | QA-16, QA-29, QA-13, QA-30, QA-40, QA-01, QA-43 |
| | <i>X+2S</i> | آنومالی ممکن | QA-15, QA-14, QA-03, QA-42, QA-02, QA-41 |
| | <i>X+3S</i> | آنومالی احتمالی | - |
| | <i>X+4S</i> | آنومالی قطعی | - |
| <i>Th</i> | <i>X+S</i> | حد زمینه | QA-09, QA-21, QA-24, QA-23, QA-26, QA-22, QA-25, QA-37 |
| | <i>X+2S</i> | آنومالی ممکن | - |
| | <i>X+3S</i> | آنومالی احتمالی | - |
| | <i>X+4S</i> | آنومالی قطعی | - |
| <i>Ti</i> | <i>X+S</i> | حد زمینه | QA-15, QA-14, QA-03, QA-42, QA-16, QA-30, QA-43, QA-04, QA-02, QA-41, QA-31, QA-29, QA-17 |
| | <i>X+2S</i> | آنومالی ممکن | - |
| | <i>X+3S</i> | آنومالی احتمالی | - |
| | <i>X+4S</i> | آنومالی قطعی | - |
| <i>Tl</i> | <i>X+S</i> | حد زمینه | QA-15, QA-02, QA-41, QA-14, QA-13 |
| | <i>X+2S</i> | آنومالی ممکن | - |
| | <i>X+3S</i> | آنومالی احتمالی | - |
| | <i>X+4S</i> | آنومالی قطعی | - |

جدول (۴-۴): مقادیر نرمال و همچنین حدود زمینه و آنومالی های ممکن و احتمالی و قطعی نمونه های ژئوشیمیابی محدوده ۱/۲۵۰۰۰ قهورد

| | | | |
|-----------|-------------|-----------------|---|
| <i>U</i> | <i>X+S</i> | حد زمینه | QA-39,QA-28,QA-37,QA-26,QA-12,QA-40,QA-01 |
| | <i>X+2S</i> | آنومالی ممکن | QA-10,QA-11,QA-38,QA-27 |
| | <i>X+3S</i> | آنومالی احتمالی | - |
| | <i>X+4S</i> | آنومالی قطعی | - |
| <i>V</i> | <i>X+S</i> | حد زمینه | QA-11,QA-12,QA-39,QA-28,QA-13,QA-38,QA-27,QA-40,QA-01 |
| | <i>X+2S</i> | آنومالی ممکن | - |
| | <i>X+3S</i> | آنومالی احتمالی | - |
| | <i>X+4S</i> | آنومالی قطعی | - |
| <i>W</i> | <i>X+S</i> | حد زمینه | QA-13,QA-14,QA-12,QA-40,QA-01,QA-22,QA-02,QA-41 |
| | <i>X+2S</i> | آنومالی ممکن | QA-23 |
| | <i>X+3S</i> | آنومالی احتمالی | QA-24 |
| | <i>X+4S</i> | آنومالی قطعی | - |
| <i>Y</i> | <i>X+S</i> | حد زمینه | QA-10,QA-37,QA-26,QA-09,QA-11,QA-36,QA-25,QA-38,QA-27,QA-04 |
| | <i>X+2S</i> | آنومالی ممکن | - |
| | <i>X+3S</i> | آنومالی احتمالی | - |
| | <i>X+4S</i> | آنومالی قطعی | - |
| <i>Zr</i> | <i>X+S</i> | حد زمینه | QA-13,QA-39,QA-28,QA-12,QA-40,QA-01,QA-02,QA-41,QA-11,QA-38,QA-27,QA-07,QA-14,QA-29 |
| | <i>X+2S</i> | آنومالی ممکن | - |
| | <i>X+3S</i> | آنومالی احتمالی | - |
| | <i>X+4S</i> | آنومالی قطعی | - |

جدول (۴-۴): مقادیر نرمال و همچنین حدود زمینه و آnomالی های ممکن و احتمالی و قطعی نمونه های ژئوشیمیابی محدوده ۱/۲۵۰۰۰ قهورد

| | | | |
|----|--------|-----------------|---|
| Zn | $X+S$ | حد زمینه | QA-12, QA-13, QA-40, QA-01, QA-39, QA-28, QA-14, QA-02, QA-41, QA-38, QA-27, QA-29, QA-11 |
| | $X+2S$ | آnomالی ممکن | - |
| | $X+3S$ | آnomالی احتمالی | - |
| | $X+4S$ | آnomالی قطعی | - |

فصل پنجم

فاز کنترل آنومالی‌های ژئوسمایی

مقدمه

مناطق آنومالی مشخص شده حاصل از پردازش داده‌های نمونه‌های ژئوشیمیایی آبراهه‌ای می‌توانند ناشی از پدیده‌های کانی‌سازی احتمالی و همچنین نتیجه مؤلفه‌های سن‌زنگی باشند لذا ضرورت استفاده از سایر روش‌های نمونه‌برداری و نیز بررسی‌های صحرایی جهت تفکیک آنومالیهای مربوط به هریک از آنها کاملاً روشن می‌باشد. در این ارتباط بررسی مناطق دگرسانی، زونهای مینرالیزه و مطالعات کانی‌سنگین صورت می‌گیرد. مطالعات کانی‌سنگین مشخص می‌کند که تمرکز عناصر مورد بررسی در چه فازی صورت گرفته است. بدیهی است پیدایش یک عنصر در فازهای مختلف ارزش اکتشافی متفاوتی دارد و بر اساس آن می‌توان هاله‌های ثانویه را به دو نوع مرتبط با کانی‌سازی و هاله‌های حاصل از پدیده‌های سنگ‌زایی تقسیم نمود. به عبارت دیگر بعضی از عناصر، کانی‌های مستقلی را به وجود می‌آورند برای مثال Pb می‌تواند گالن و Zn می‌تواند اسفالریت را بوجود آورد و تمرکز آنها در یک محدوده می‌تواند تمرکزات اقتصادی آنها را سبب شود. اما همین عناصر می‌توانند در شبکه کانی‌های دیگر نیز جای بگیرند. برای مثال Pb می‌تواند در شبکه فلدرسپات، Ni می‌تواند در شبکه الیوین و Zn می‌تواند در شبکه بیوتیت و آمفیبول جای بگیرد. بدین‌ترتیب در حالت عادی سنگ‌زایی بیشتر با ورود این عناصر در ترکیب (یا محلول جامد) کانی‌های سازنده سنگ روپرتو هستیم. البته ممکن است حالت‌های استثناء نیز وجود داشته باشد. با توجه به تحرک اندک ذرات کانی‌سنگین نسبت به یونها، هاله‌های ثانویه کانی‌سنگین گسترش کمتری پیدا می‌کنند. در محدوده ۰:۲۵۰۰۰ قهور تعداد ۲۳ نمونه کانی‌سنگین برداشت گردید که طراحی آنها بر اساس موقعیت زونهای کانی‌سازی و شبکه نمونه‌برداری صورت گرفته است.

۱- ردیابی کانی سنگین

ارزش مشاهدات کانی سنگین که دربیشتر موارد جزء کانیهای فرعی سازنده سنگ هستند و ممکن است در مناطق فاقد کانی‌سازی نیز پیدا شوند به اندازه عناصر ردیاب نیست ولی می‌تواند معرف محیط و بستر مناسب وقوع کانی‌سازی باشد برای مثال به چند مورد اشاره می‌شود.

الف - طلا: مشاهده ذرات طلا در کنسانتره کانی سنگین می‌تواند حاکی از مناطق امیدبخش باشد. ارتباط طلا با آرسنوبیریت و تعدادی از کانی‌های سولفوسالت دیگر می‌تواند در تعیین مناطق امیدبخش مؤثر واقع شود. در نهشته‌های اپیترمال دانه‌ریز بندرت ممکن است طلا در نمونه تغليظ شده کانی سنگین معمولی یافت شود. در صورت پیدایش و همراهی آن با سینابر و استیبنیت، اهمیت محدوده اکتشافی دو چندان می‌شود.

ب - شلیت: همراهی قابل توجه شلیت و طلا به عنوان مثال در کمریندهای گرین استون دنیا گزارش شده است و شلیت به عنوان یک کانی ردیاب شناخته می‌شود. بنابراین یکی از روش‌های اکتشافی در این‌گونه مناطق تمرکز عملیات اکتشافی روی کانی شلیت می‌باشد.

ج - باریت: باریت در بسیاری از کانسارهای فلزات پایه وجود دارد. وجود آن در بخش تغليظ یافته کانی سنگین دلالت بر وجود احتمالی چنین نهشته‌هایی است و با توجه به وسعت هاله‌های آنها می‌تواند بسیار مفید واقع شود.

د - تورمالین: وجود تورمالین در بسیاری از کانسارهای هیپوژن عناصر Au , Cu , Sn , W ، ممکن است از آنجا که ابعاد هاله پراکندگی آن در سنگ‌های متاسوماتوز شده، استوکورک‌ها گزارش شده است. از آنجا که ابعاد هاله پراکندگی آن در سنگ‌های متاسوماتوز شده، استوکورک‌ها و هاله‌های ثانوی مانند رسوبات رودخانه‌ای غالباً بیشتر از ابعاد توده‌های معدنی وابسته به آنها است کاربرد آن به عنوان ردیاب اکتشافی سودمند می‌باشد. تورمالین در سنگ‌های بسیاری از قبیل نفوذی و خروجی، دگرگونی و دگرسان شده از نوع پروپیلیتی، کوارتز سریسیتی و کوارتز-تورمالین یافت می‌شود. زون‌های برشی، استوکورکی و رگه‌های معدنی نیز ممکن است تورمالین داشته باشند.

۲- بزرگی هاله‌های کانی سنگین

ترکیب سنگ‌شناسی، بزرگی رخنمون در ناحیه منشأ، هوازدگی شیمیایی و مکانیکی از عوامل مؤثر در توسعه هاله‌های کانی سنگین به شمار می‌رond که در مورد اخیر به شرایط آب و هوایی و نیز ژئومورفولوژی محدوده بستگی دارند. به این ترتیب بر حسب شیب توپوگرافی ممکن است ذرات طلا و ولفرامیت تا دهها کیلومتر از ناحیه منشأ فاصله بگیرند و برخی کانیها در همان یک کیلومتر اول مسیر تا ۹۰٪ مقدار اولیه کاهش پیدا کنند.

در محدوده قهور دلخواه شد نمونه‌های کانی سنگین به گونه‌ای برداشت شوند که بیشترین پوشش سطحی را فراهم کنند و در مناطقی که احتمال کانی‌سازی طلا می‌رفت نمونه‌برداری با تراکم بیشتری صورت گرفت.

۳- برداشت نمونه‌های کانی سنگین

نمونه‌های کانی سنگین از محل نمونه‌های ژئوشیمیایی آنومال با حفر بخشی از رسوب سطحی در محل تمرکز رسوبات دانه‌درشت قلوه‌سنگی برداشت گردیدند. سعی گردید تا هر نمونه از چند نقطه مناسب بویژه اطراف تخته سنگهای بزرگ (جبهه مقابل جریان) گرفته شوند تا احتمال برداشت ذرات کانی سنگین افزایش یابد. از هر موقعیت حدود ۵-۷ لیتر رسوب آبراهه‌ای با استفاده از الک ۲۰ مش برداشت گردید و هر نمونه، شماره نمونه ژئوشیمیایی مربوط به خود را گرفت.

از محل حوضه‌های آنومالی بزرگتر و نیز حوضه‌هایی که شدت آنومالی ژئوشیمیایی و یا تعداد عناصر پاراژنز در آنها بیشتر بوده، تعداد بیشتری نمونه کانی سنگین برداشت گردید.

۴- آماده‌سازی و مطالعه نمونه‌های کانی سنگین

نمونه‌های کانی سنگین که به این ترتیب برداشت گردیدند در کارگاه نمونه‌شویی ابتدا حجم سنجی و سپس گل‌شویی شدند. پس از آن روی پن‌های بزرگ و کوچک طی دو مرحله با حرکات دورانی در سطح آب به تدریج ذرات با چگالی کمتر از آنها جدا گردیدند. مقدار باقیمانده روی پن

کوچک تقریباً به طور کامل از ذرات کانی سنگین تشکیل شده است. این بخش خشک و مجدد حجم سنجی گردید.

پس از این مرحله نمونه‌ها به طور جداگانه درون مایع سنگین بروموفرم ریخته شدند تا براساس وزن مخصوص خود به دو بخش سبک و سنگین تقسیم گردند. بخش سنگین پس از حجم سنجی مجدد، توسط دو مغناطیس با شدت‌های استاندارد به سه بخش غیر مغناطیس (NM)، مغناطیسی ضعیف (AV) و مغناطیسی قوی (AA) تقسیم شدند.

با مطالعه نمونه‌های کانی سنگین توسط میکروسکوپ بینوکولار، تعداد هر یک از ذرات کانی سنگین شمارش گردید که با داشتن وزن مخصوص نمونه رسوب و کانی سنگین و حجم سنجی، مقدار آنها بر حسب ppm محاسبه شد.

۵- پردازش داده‌های کانی سنگین

۱- رسم هیستوگرام متغیرهای کانی سنگین:

تجزیه و تحلیل داده‌های کانی سنگین را می‌توان بوسیله هیستوگرام‌ها، نمودارهای تجمعی، آنالیز خوش‌های، ضرایب همبستگی و نمودارهای پراکنش انجام داد. با توجه به اینکه اکثر کانی‌های سنگین نشان‌دهنده لیتولوژی و نوع کانی‌سازی بالادست خود هستند بنابراین وجود اکثر آنها در نمونه‌ها می‌تواند مشخصات ناحیه منشأ را نشان دهد و برای ترسیم ایالت‌های پترولوژی رسوبی و مکان‌یابی نهشته‌های دارای پتانسیل اقتصادی به کار رود. به همین منظور دندروگرام کانی‌های سنگین مشاهده شده ترسیم شدند. شکل (۱-۵)

از آنجا که تحرک یک ذره کانی سنگین نسبت به یون‌ها کمتر است در نتیجه وسعت هاله‌های کانی سنگین کوچک می‌باشد. تجربه نشان داده است که اگر ترکیبی از مقادیر یک گروه از کانی‌های معرف بجای مقدار یک کانی خاص به کار گرفته شود هاله‌های کانی سنگین در اطراف توده‌های کانی سنگین بهتر مشخص می‌شود. در مقایسه با هاله‌های تک کانی‌ای هاله‌های مرکب جمعی به مراتب بزرگتر و چشم‌گیرترند. بعلاوه اثرات خطاهای تصادفی در آنها کاهش می‌یابد و بدین ترتیب

هاله‌های مرکب جمعی نسبت به سیماهای ساختمنی-زمین‌شناسی مرتبط با نهشته‌های کانی‌سازی رابطهٔ نزدیک‌تری را نشان می‌دهند. این امر به نوبهٔ خود در تعیین دقیق این هاله‌ها سهم مهمی دارد.

هر کانی‌سنگین معرف عنصری خاص است. برای مثال شئیت نشان‌دهنده وجود W و روئیل نشان‌دهنده وجود Ti می‌باشد. بنابراین همان روابط پاراژنزی که در مورد عناصر صادق است در مورد کانی‌ها نیز صادق می‌باشد به همین دلیل کانی‌هایی که معرف کانی‌سازی مشابهی هستند در یک گروه قرار داده شده‌اند و در نهایت نقشه مربوط به هر متغیر ترسیم گردید که در بخش مربوط به نقشه‌ها آورده شده است. همچنین کلیه محاسبات آماری نیز در بخش ضمائم آورده شده است:

V1 شامل کانی‌های مارتیت، مس آزاد، هماتیت، اپیدوت و مگنتیت می‌باشد.

V2 شامل کانی‌های گالن، لیمونیت، استئارولیت، زیرکن، روئیل و آناتاز می‌باشد.

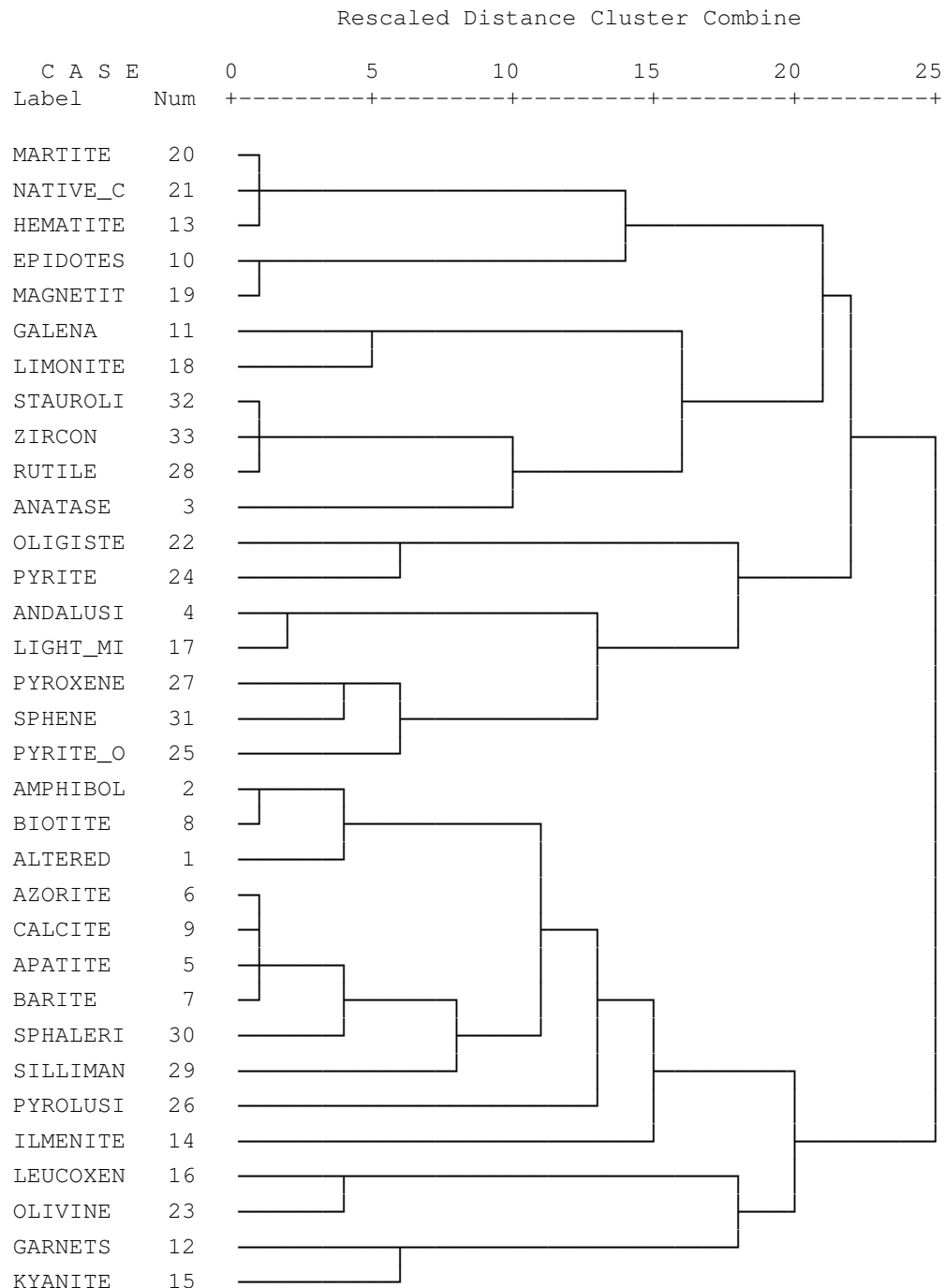
V3 شامل کانی‌های اولیثیست، پیریت، آندالوزیت، کانی‌های سبک، پیروکسن، اسفن، پیریت اکسید می‌باشد.

V4 شامل کانی‌های آمفیبول، بیوتیت، کانی‌های آلتره، آزوریت، کلسیت، آپاتیت، باریت، اسفالریت، سلیمانیت، پیرولووسیت، ایلمنیت، لوکوکسن، اولیوین، گارنت و کیانیت است.

در نهایت نقشه مربوط به آنومالی‌های ممکن، احتمالی و قطعی و همچنین حد زمینه هر یک از گروه‌های کانی‌سنگین ترسیم گردید که در بخش مربوط به نقشه‌ها آورده شده است. طلا در هیچ یک از نمونه‌های کانی‌سنگین مشاهده نشده است.

* * * * * H I E R A R C H I C A L C L U S T E R A N A L Y S I S
 * * * * *

Dendrogram using Average Linkage (Within Group)



شکل (۱-۵): دندروگرام نمونه‌های کانی سنگین محدوده قهورد

جدول (۲-۵): نمونه‌های متغیرهای کانی سنگین دارای مقادیر حد زمینه، آنومالی‌های ممکن، احتمالی و قطعی در محدوده ۱:۲۵۰۰۰ قهورد

| | | | |
|----|--------|-----------------|---------------------|
| VI | $X+S$ | حد زمینه | QA-12 |
| | $X+2S$ | آنومالی ممکن | QA-36, QA-33 |
| | $X+3S$ | آنومالی احتمالی | QA-30 |
| | $X+4S$ | آنومالی قطعی | - |
| V2 | $X+S$ | حد زمینه | QA-38 |
| | $X+2S$ | آنومالی ممکن | QA-29 |
| | $X+3S$ | آنومالی احتمالی | QA-33 |
| | $X+4S$ | آنومالی قطعی | - |
| V3 | $X+S$ | حد زمینه | QA-42, QA-18 |
| | $X+2S$ | آنومالی ممکن | QA-05, QA-36, QA-38 |
| | $X+3S$ | آنومالی احتمالی | - |
| | $X+4S$ | آنومالی قطعی | - |
| V4 | $X+S$ | حد زمینه | QA-05, QA-30, QA-38 |
| | $X+2S$ | آنومالی ممکن | QA-20, QA-29, QA-24 |
| | $X+3S$ | آنومالی احتمالی | - |
| | $X+4S$ | آنومالی قطعی | - |

صلیل

نایاب و پیغمبر شهادات

نتایج:

محدوده قهورد به مساحت ۲۵ کیلومترمربع می باشد که تعداد ۴۳ نمونه ژئوشیمی و ۲۳ نمونه کانی سنگین از آن برداشت گردیده است.

۱- محدوده مذکور بین طول‌های جغرافیایی ۳۹۳۱۹۷۹-۲۳۵۳۸۰ و عرض‌های جغرافیایی ۲۲۷۹۶۸ در استان همدان و سی کیلومتری شمال باختری غار علی‌صدر قرار دارد.

۲- واحدهای سنگی موجود در محدوده مورد مطالعه شامل واحد P1 قسمت زیادی از سطح زمین را در قسمت شمالی پوشانده و شامل لایه‌های رسی می‌باشد، واحد Qt شامل تراس‌های آبرفتی می‌باشد که بخش عظیمی از محدوده جنوبی و مرکزی منطقه را می‌پوشاند.

۴- بالاترین مقدار نتیجه ژئوشیمیابی رسوبات آبراهه‌ای برای عنصر طلا ۸ میلی گرم در تن، برای عنصر مس ۴۸/۷ گرم در تن، برای عنصر روی ۳۹۶/۳ گرم در تن و برای عنصر سرب ۱۶۳/۹ گرم در تن می‌باشد.

۵- در هیچ یک از نمونه‌های کانی سنگین ذره طلا‌گزارش نشده است.

۶- همبستگی عناصر بصورت زیر می‌باشد:

گروه اول: شامل عناصر Cs, Ce, As, Bi, Th, Sn, Rb, La, Y, Mo, Pb, Mn می‌باشد.

گروه دوم: شامل عناصر Sc, V, Na, W, U, P, Tl, Zr, Zn, Be, Ba می‌باشد.

گروه سوم: شامل عناصر Au, S, Ag, K, Al, Cd, Fe, Cu می‌باشد.

گروه چهارم: شامل عناصر Co, Cr, Ca, Mg, Nb, Ni, Sr, Li, Ti, Sb می‌باشد.

پیشنهادات:

با توجه به تلفیق نتایج مطالعات ژئوشیمی، کانی سنگین و مطالعات صحرایی، پیشنهاد می‌گردد از هرگونه هزینه اکتشافی در این محدوده جهت اکتشاف عناصر فلزی، خودداری گردد.

مناج

منابع:

- ۱ - م. ح. بلوچی ، ج. حاجیان ، نقشه زمین شناسی ۱:۲۵۰۰۰ کبودرآهنگ ، سازمان زمین‌شناسی و اکتشافات معدنی کشور
- ۲ - موحدی. مهرداد، چیت‌گری‌الهام، گزارش اکتشافات به روش ژئوشیمی- معدنی در محدوده عشواند نهادوند، مقیاس ۱:۲۵۰۰۰ ، ۱۳۸۷ ، سازمان زمین‌شناسی و اکتشافات معدنی کشور
- ۳ - موحدی. مهرداد، چیت‌گری‌الهام، گزارش پی‌جوئی به روش اکتشافات ژئوشیمیابی در محدوده برجک نهادوند، در مقیاس ۱:۲۵۰۰۰ ، ۱۳۸۸ ، سازمان زمین‌شناسی و اکتشافات معدنی کشور
- ۴ - موحدی. مهرداد، چیت‌گری‌الهام، گزارش پی‌جوئی به روش اکتشافات ژئوشیمیابی در محدوده فیروزان نهادوند، در مقیاس ۱:۲۵۰۰۰ ، ۱۳۸۸ ، سازمان زمین‌شناسی و اکتشافات معدنی کشور
- ۵ - موحدی. مهرداد، چیت‌گری‌الهام، گزارش پی‌جوئی به روش اکتشافات ژئوشیمیابی در محدوده کهریز جمال نهادوند، در مقیاس ۱:۲۵۰۰۰ ، ۱۳۸۸ ، سازمان زمین‌شناسی و اکتشافات معدنی کشور
- ۶ - موحدی. مهرداد، چیت‌گری‌الهام، گزارش پی‌جوئی به روش اکتشافات ژئوشیمیابی در محدوده حسین‌آباد نهادوند، در مقیاس ۱:۲۵۰۰۰ ، ۱۳۸۸ ، سازمان زمین‌شناسی و اکتشافات معدنی کشور
- ۷ - موحدی. مهرداد، چیت‌گری‌الهام، گزارش پی‌جوئی به روش اکتشافات ژئوشیمیابی در محدوده تازتاب نهادوند، در مقیاس ۱:۲۵۰۰۰ ، ۱۳۸۸ ، سازمان زمین‌شناسی و اکتشافات معدنی کشور
- ۸ - حسنی پاک، علی‌اصغر، (۱۳۸۰)، تحلیل داده‌های اکتشافی (جدایش زمینه از آنومالی-آمار و احتمال مهندسی-تخمین ذخیره)
- ۹ - حسنی پاک، علی‌اصغر، (۱۳۸۰) اصول اکتشافات ژئوشیمیابی، انتشارات دانشگاه تهران

همایوونت اکتشاف - مدیریت امور اکتشاف

نَصْرَتْ

227968
3931979

232425
3931979

233425
3930738

235380
3930738

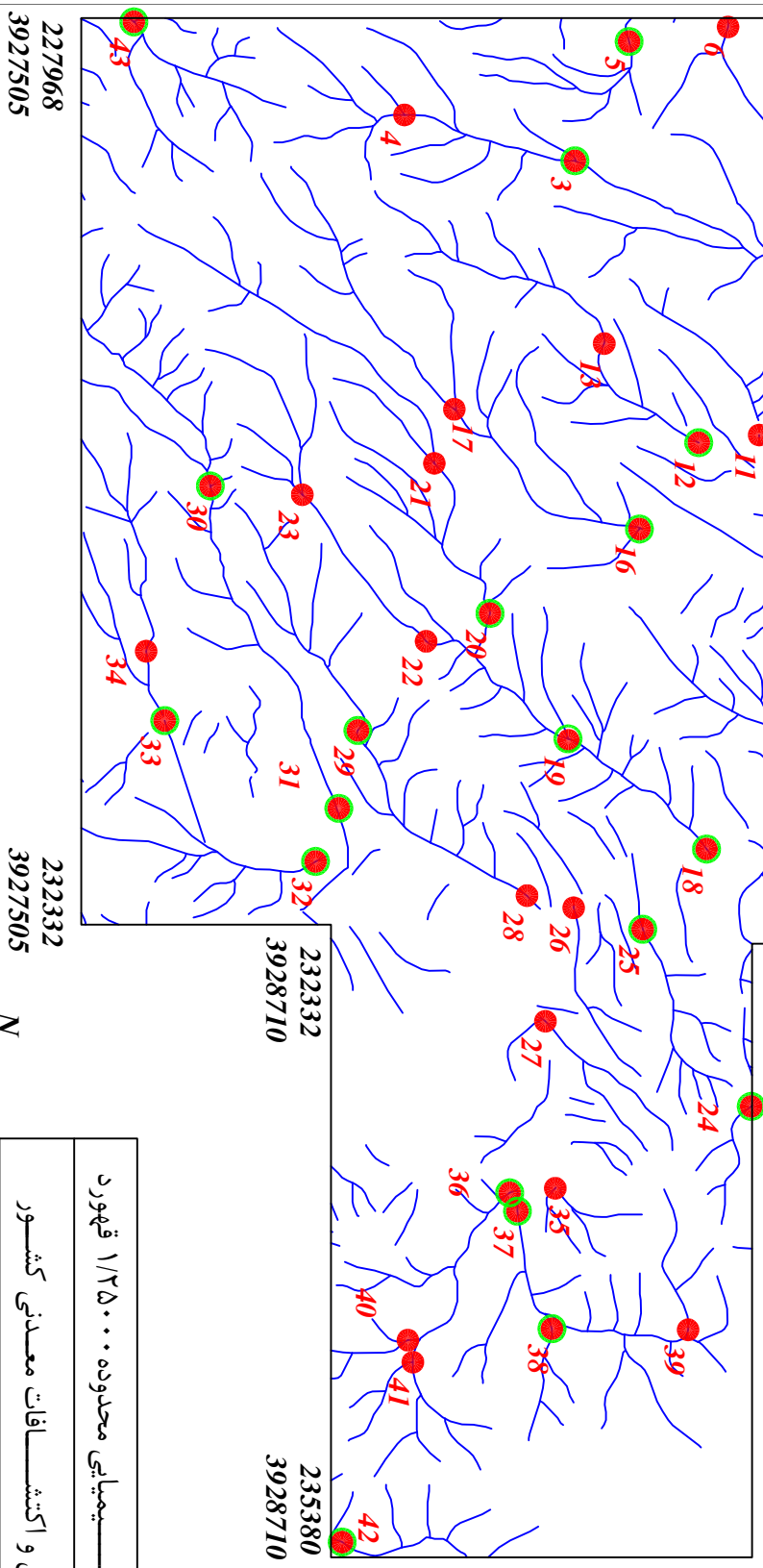
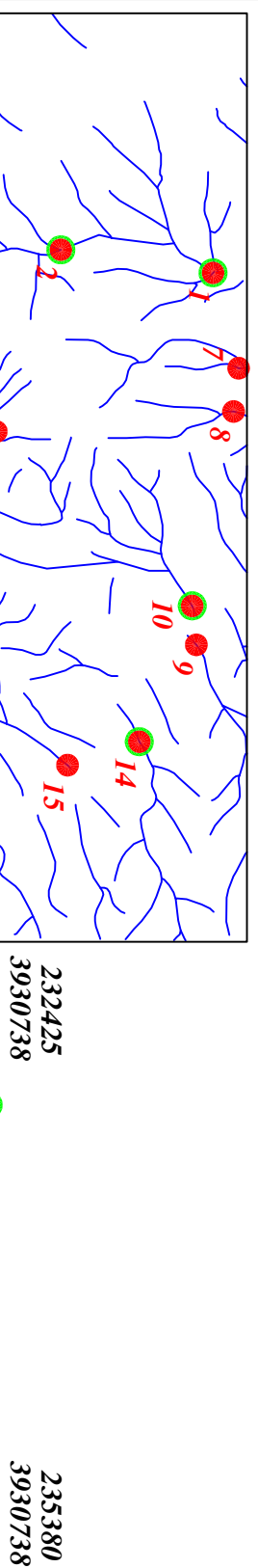
235380
3928710

232332
3928710

232332
3928710

Legend

| | |
|--|----------------------|
| | سیستم آبراهه |
| | نورده مینیمیزه |
| | نموده کسانی سینه‌گین |
| | نموده زنده بی‌پی |
| | شماده زنده زوشه‌بی |



پژوهه اکتشافات روش بهمیانی ۱/۲۵۰۰۰ قهورد

سازمان زمین شناسی و اکتشافات معدنی کشور

موضوع: موقعیت نمونه‌های برداشتی

توسط: مهرداد موحدی - الهام چیت گری

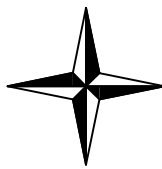
نقشه شماره بیک

Scale 1:35000

232332
3927505

227968
3927505

0 500 1000 1500 2000 2500m



۱۳۸۸

227968
3931979

232425
3931979

233425
3930738

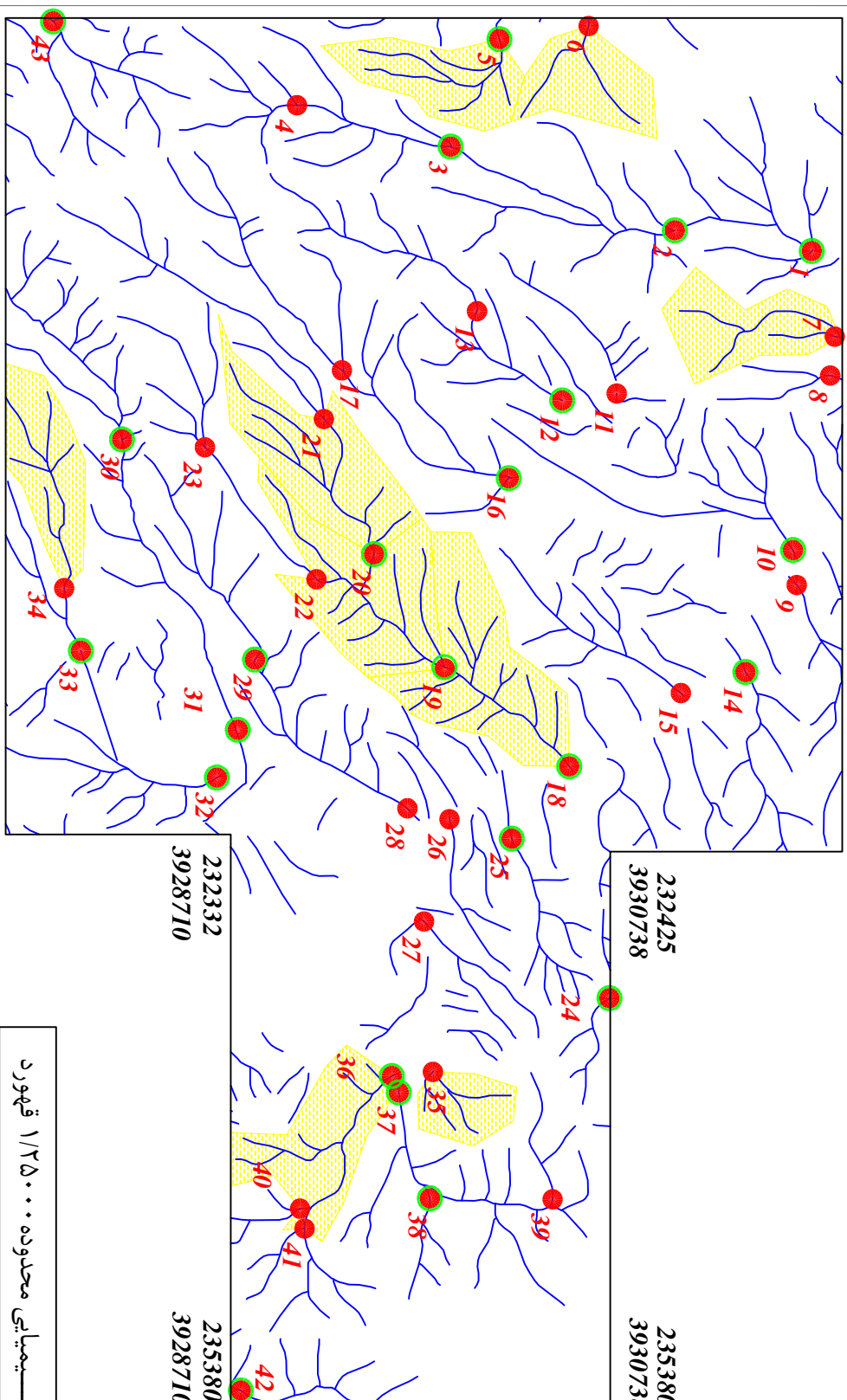
235380
3930738

235380
3928710

235380
3928710

Legend

| | |
|--|------------------------|
| | سیستم آبراهه |
| | نحوه مترالجیزه |
| | نمونه کسانی سنجین |
| | نموده زوایه همی |
| | شماره نمونه روش پیشی |
| | شماره نمونه کائی سنجین |
| | حد زمینه |
| | آبومالی مکان |
| | آبومالی احتمالی |
| | آبومالی قدرت |
| | متاس |
| | متخصمات در زون ۳۹ |



227968
3927505

232332
3928710

پژوهه اکتشافات روش بهمیابی محدوده ۱/۲۵۰۰۰ قهورد
سازمان زمین شناسی و اکتشافات معدنی کشور

موضوع: آنومالی های مربوط به عنصر نقره
توسط: مهرداد موحدی - الهام چیت گری

نقشه شماره دو
۱۳۸۸

0 500 1000 1500 2000 2500m

Scale 1:35000

235380
3928710

$X=267985$
 $Y=3758834$

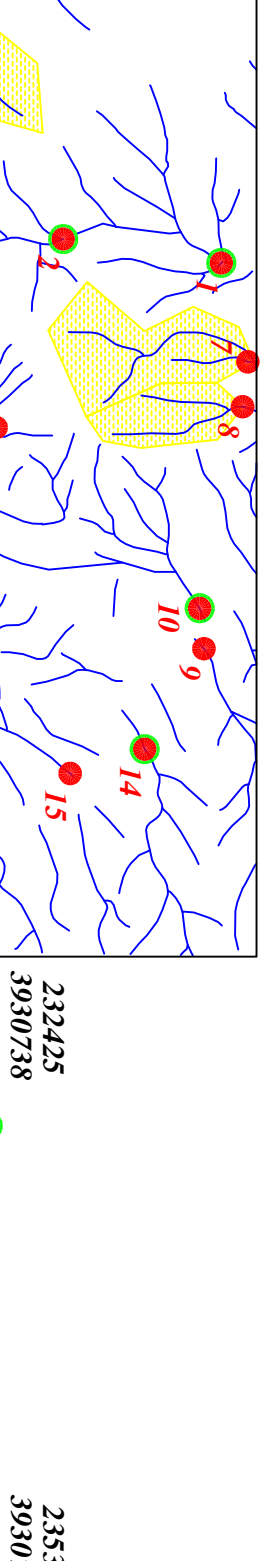
227968
3931979

232425
3931979

Legend

| | |
|--|----------------------|
| | سیستم آبراهه |
| | نحوه مترالجیزه |
| | نمونه کسانی سنجین |
| | نحوه زوایه همی |
| | شماره نمونه روش پیشی |

232425
3930738



235380
3930738

| | |
|--|-------------------------|
| | شماره نمونه کسانی سنجین |
| | حد زوایه |
| | آبومالی مکان |
| | آنومالی احتمالی |
| | آبومالی قدرت |

232332
3928710

| | |
|---------------------------|-----------------|
| | متاس |
| $X=267985$ $Y=3758834$ | محضات در زون ۳۹ |

227968
3927505

Scale 1:35000

0 500 1000 1500 2000 2500m



232332
3927505

پژوهه اکتشافات روش بمبایی محدوده ۱/۲۵۰۰۰ قهورد
سازمان زمین شناسی و اکتشافات معدنی کشور
موضوع: آنومالی های مربوط به عذرسر آلومینیوم
توسط: مهرداد موحدی - الهام چیت گری

نقشه شماره سه
۱۳۸۸

227968
3931979

232425
3931979

Legend



سبزه ابراهیم



نموده متر اسبر



نموده کانسنسنگن



نموده زوئسپی

232425
3930738

235380
3930738

235380
3928710

232332
3928710

235380
3928710



شماره نمونه روش پیشی



شماره نمونه کانسنسنگن



حد مینه



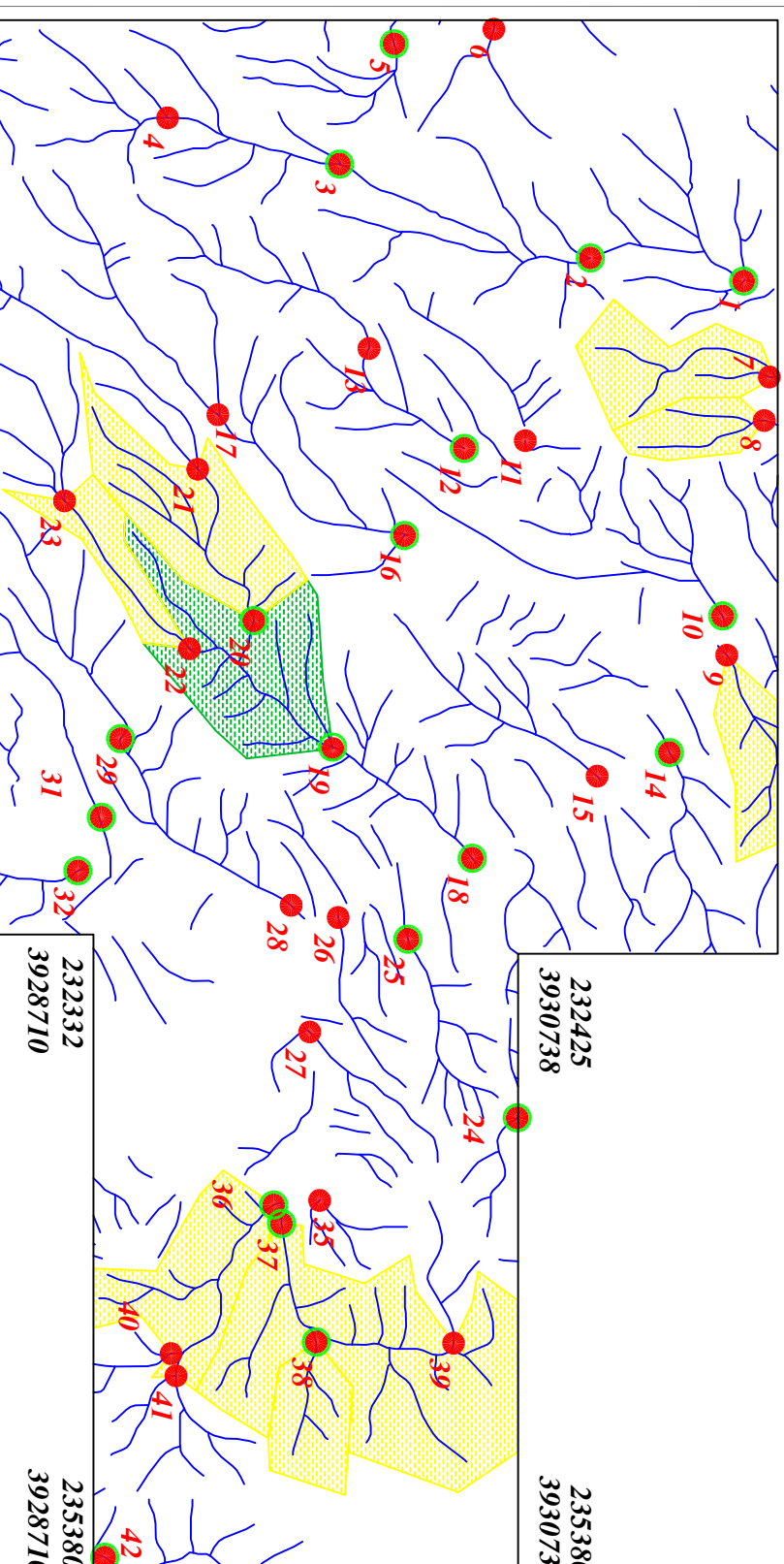
آبومالی مکن



آبومالی احتمالی



آبومالی قدرت



227968
3927505

Scale 1:35000

0 500 1000 1500 2000 2500m



232332
3927505

N

پژوهه اکتشافات روش پیمایی محدوده ۱۲۵۰۰۰ قهورد
سازمان زمین شناسی و اکتشافات معدنی کشور
موضوع: آنومالی های مربوط به عنصر آرسنیک

توسط: مهرداد محمدی - الهام چیت گری

نقشه شماره چهار
۱۳۸۸

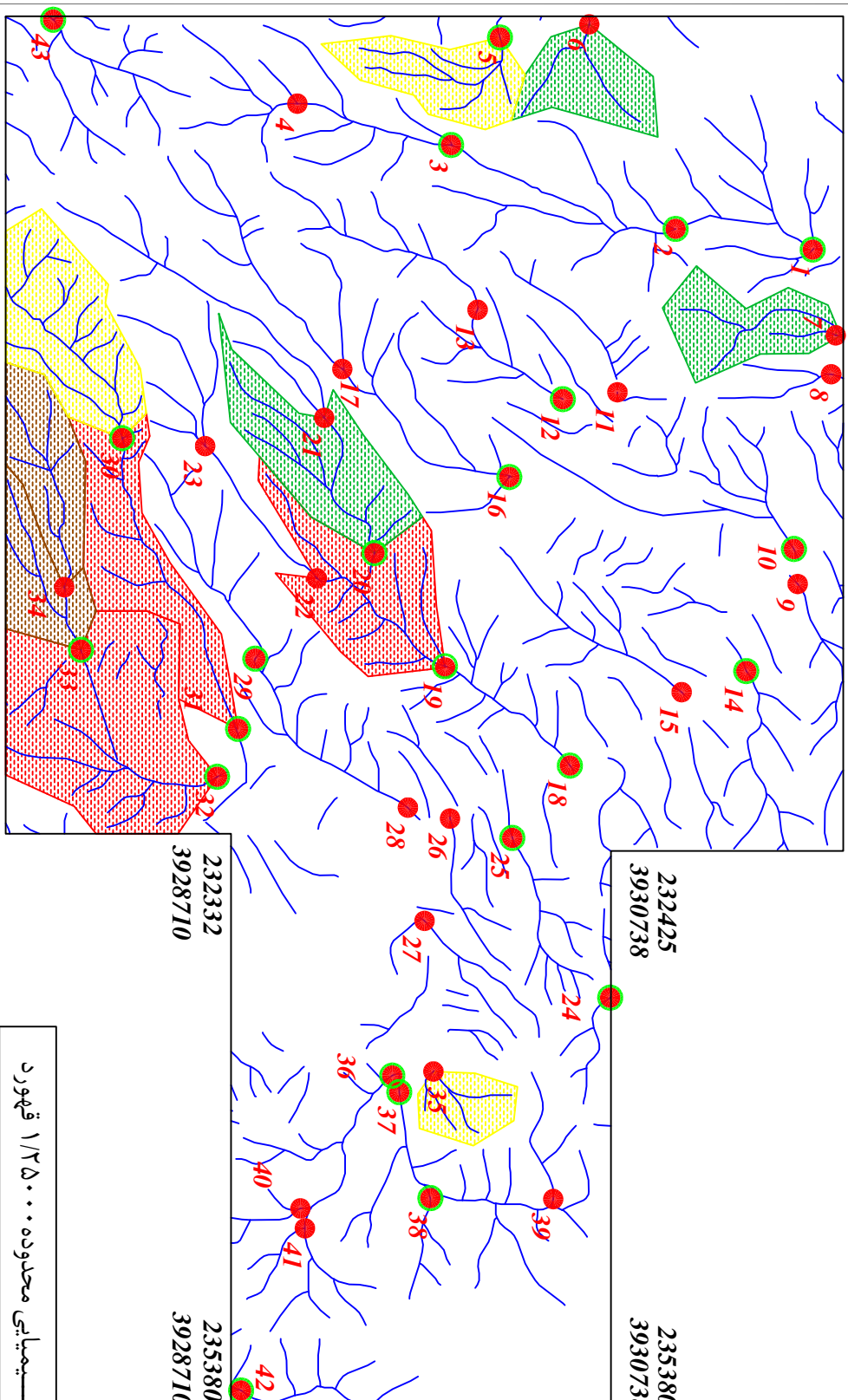
222968
3931979

232425
3931979

Legend

| | |
|--|----------------------|
| | سیستم ابراهد |
| | نحوته مینبر اسزره |
| | نحوته کسانی سبزگین |
| | نحوته زیوشه پیمی |
| | شماره نمونه روش پیمی |

| | |
|--|--------------------------|
| | نماده نمونه کسانی سبزگین |



222968
3927505

232332
3928710

پژوهه اکتشافات رژوشه بیمایی محدوده ۱۲۵۰۰۰ قهورد
سازمان زمین شناسی و اکتشافات معدنی کشور

Scale 1:35000

0 500 1000 1500 2000 2500m

نقشه شماره پنج

موضوع: آنومالی های مربوط به عنصر طلا
توضیح: مهرداد موحدی - الهام چیت گری

3927505

222968
3927505

3928710

X=267985
Y=3758834
مترس

محضات در زون ۳۹

نقشه شماره پنج

3928710

3928710

227968
3931979

232425
3931979

Legend

232425
3930738

235380
3930738

سیستم آبراهه
نحوه مینرال‌بازه
نحوه کانی‌سینگن

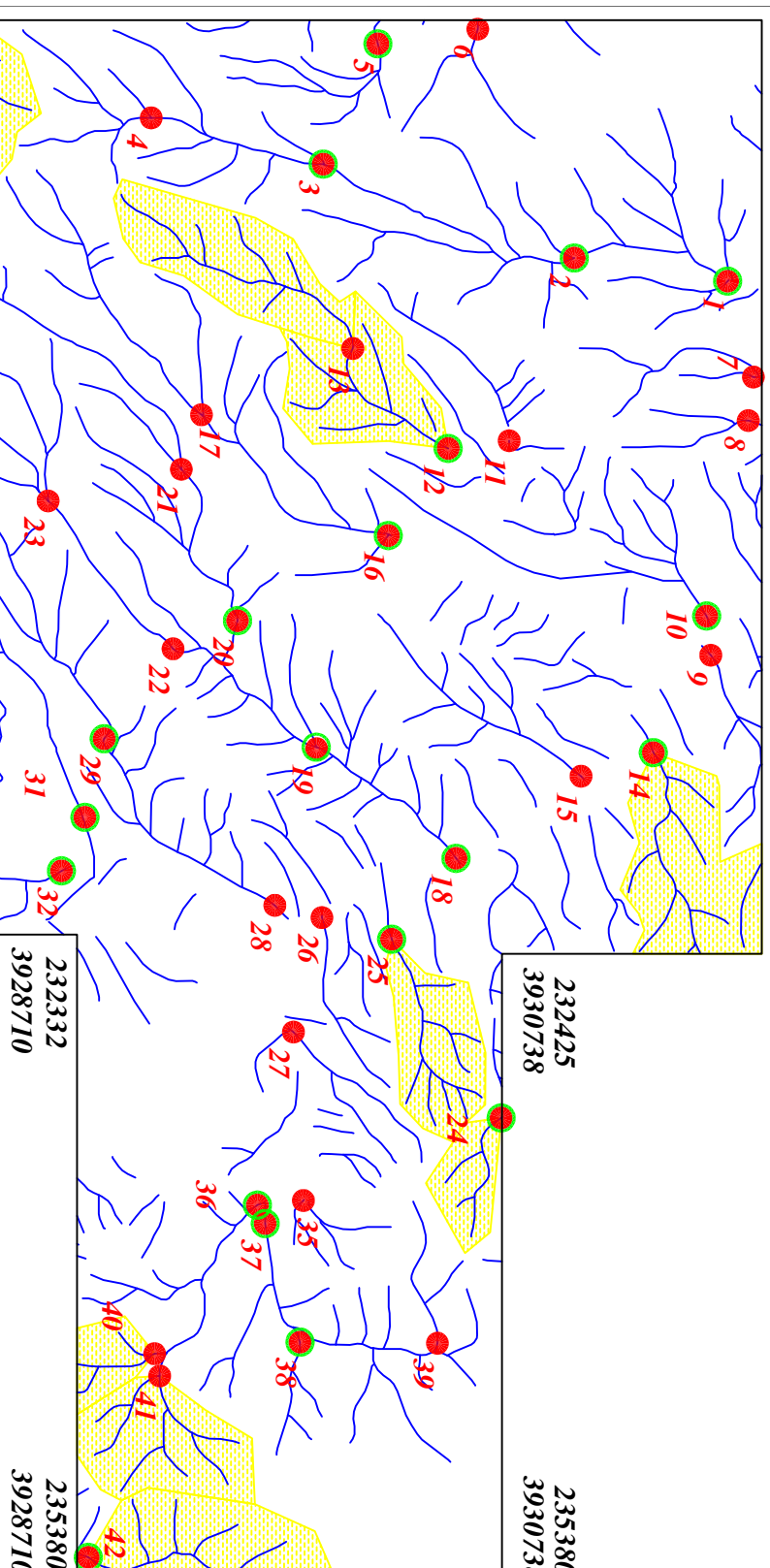
●

▲

نحوه زیوپیسمی
نماده نمونه روش‌بیهی

144
143H
حد زمینه
آبومالی ممکن
آبومالی احتمالی
آبومالی قطعی

متسلس
محضات در زون ۳۹



232332
3928710

235380
3928710

$X=267985$
 $Y=3758834$

227968
3927505

232332
3927505

Scale 1:35000

0 500 1000 1500 2000 2500m



| |
|---|
| پژوهه اکتشافات رژوشن پیمایی محدوده ۱۲۵۰۰۰ قهورد |
| سازمان زمین شناسی و اکتشافات معدنی کشور |
| موضوع: آنومالی های مربوط به عنصر باریم |
| توسط: مهرداد موحدی - الهام چیت گری |

نقشه شماره شش

۱۳۸۸

227968
3931979

232425
3931979

Legend

232425
3930738

235380
3930738

نحوته مینبر ایزه
نحوته کسانی سبکین

نحوته زیوش پیمی

شماره نمونه روش پیمی

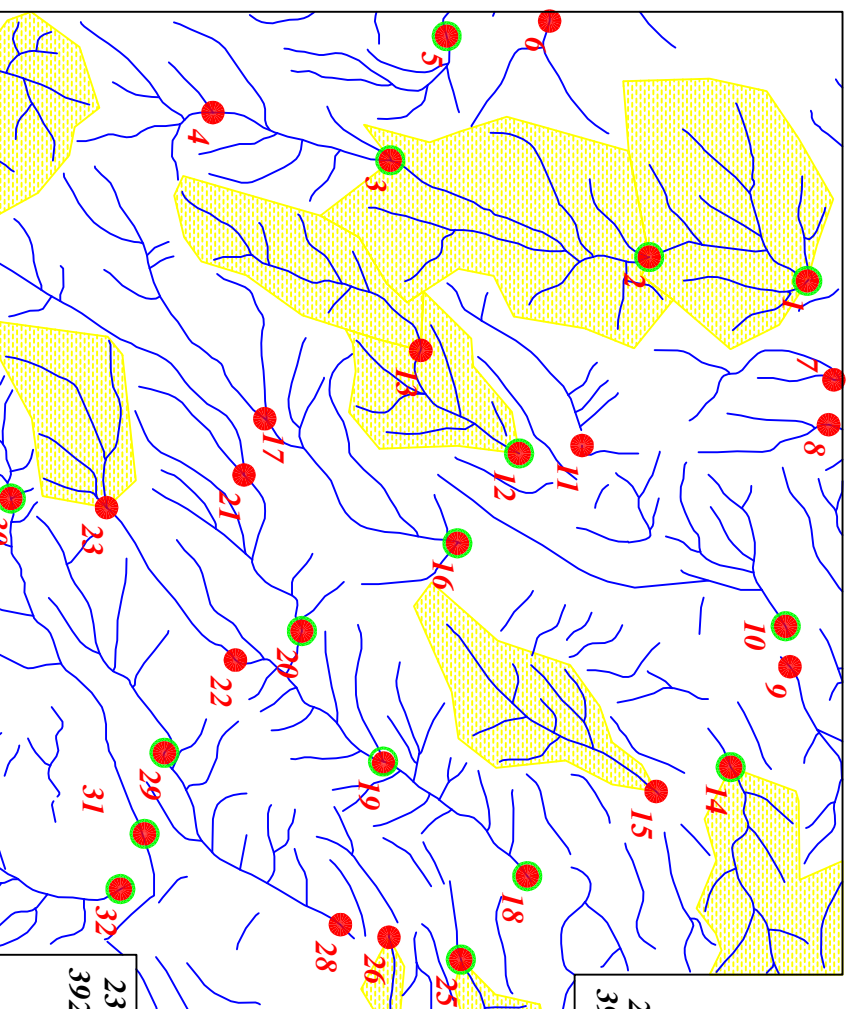
سازمان زمین شناسی و اکتشافات معدنی کشور

پژوهه اکتشافات روش پیمایی محدوده ۱۲۵۰۰۰ قهور

موضوع آنومالی های مربوط به عنصر برآیom

توسط: مهرداد محمدی - الهام چیت گری

نقشه شماره هفت



232332
3928710

235380
3928710

$X=267985$
 $Y=3788834$

محضات در زون ۳۹

متیلس

آنممالی احتمالی

آنممالی قطبی

آئومالی ممکن

حد زمینه

سازمان زمین شناسی و اکتشافات معدنی کشور

پژوهه اکتشافات روش پیمایی محدوده ۱۲۵۰۰۰ قهور

227968
3927505

232332
3927505

Scale 1:35000

0 500 1000 1500 2000 2500m



| | |
|--|--|
| نقطه شماره هفت | ۱۳۸۸ |
| موضوع آنومالی های مربوط به عنصر برآیom | سازمان زمین شناسی و اکتشافات معدنی کشور |
| توسط: مهرداد محمدی - الهام چیت گری | پژوهه اکتشافات روش پیمایی محدوده ۱۲۵۰۰۰ قهور |

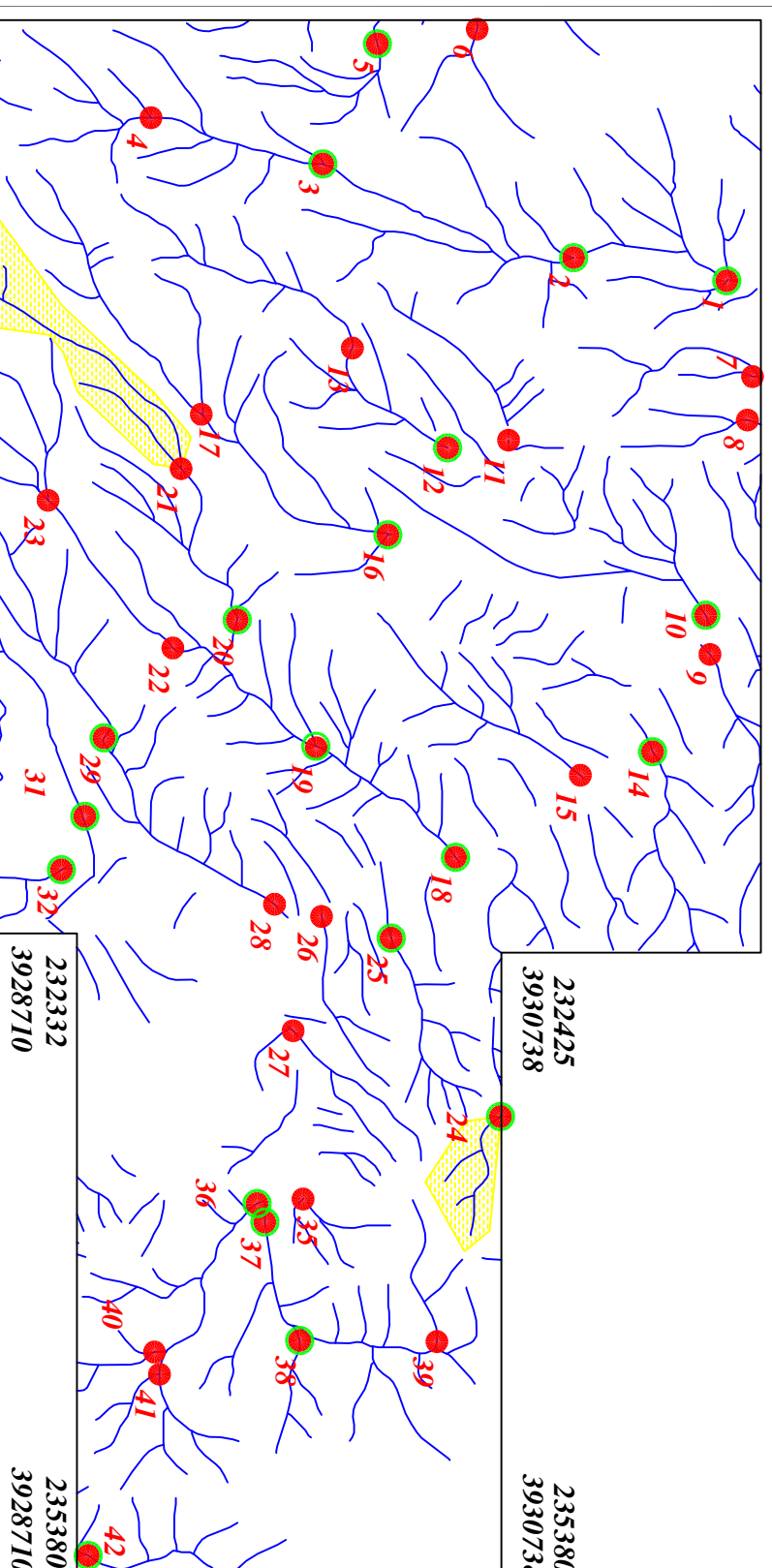
227968
3931979

232425
3931979

232425
3931979

Legend

| | |
|--|----------------------------|
| | سیستم آبراهه |
| | نحوته مینبر اسپزه |
| | نحوته کسانی سبزگیرن |
| | نحوته زیوشه پیمی |
| | شماره نمونه روش پیمی |
| | میداره نمونه کسانی سبزگیرن |
| | حد زمینه |
| | آیندها ممکن |
| | آیندها احتمالی |
| | آیندهای قابلی |
| | متسلسل |
| | محضات در زون ۳۹ |



227968
3927505

Scale 1:35000

0 500 1000 1500 2000 2500m



232332
3927505

| |
|---|
| پژوهه اکتشافات رژوشن پیمایی محدوده ۱۲۵۰۰۰ قهورد |
| سازمان زمین شناسی و اکتشافات معدنی کشور |
| موضوع: آنومالی های مربوط به عنصر بیسیمoot |
| توسط: مهرداد محمدی - الهام چیت گری |
| نقدشنۀ شماره هشت |

۱۳۸۸

227968
3931979

232425
3931979

Legend

233425
3930738

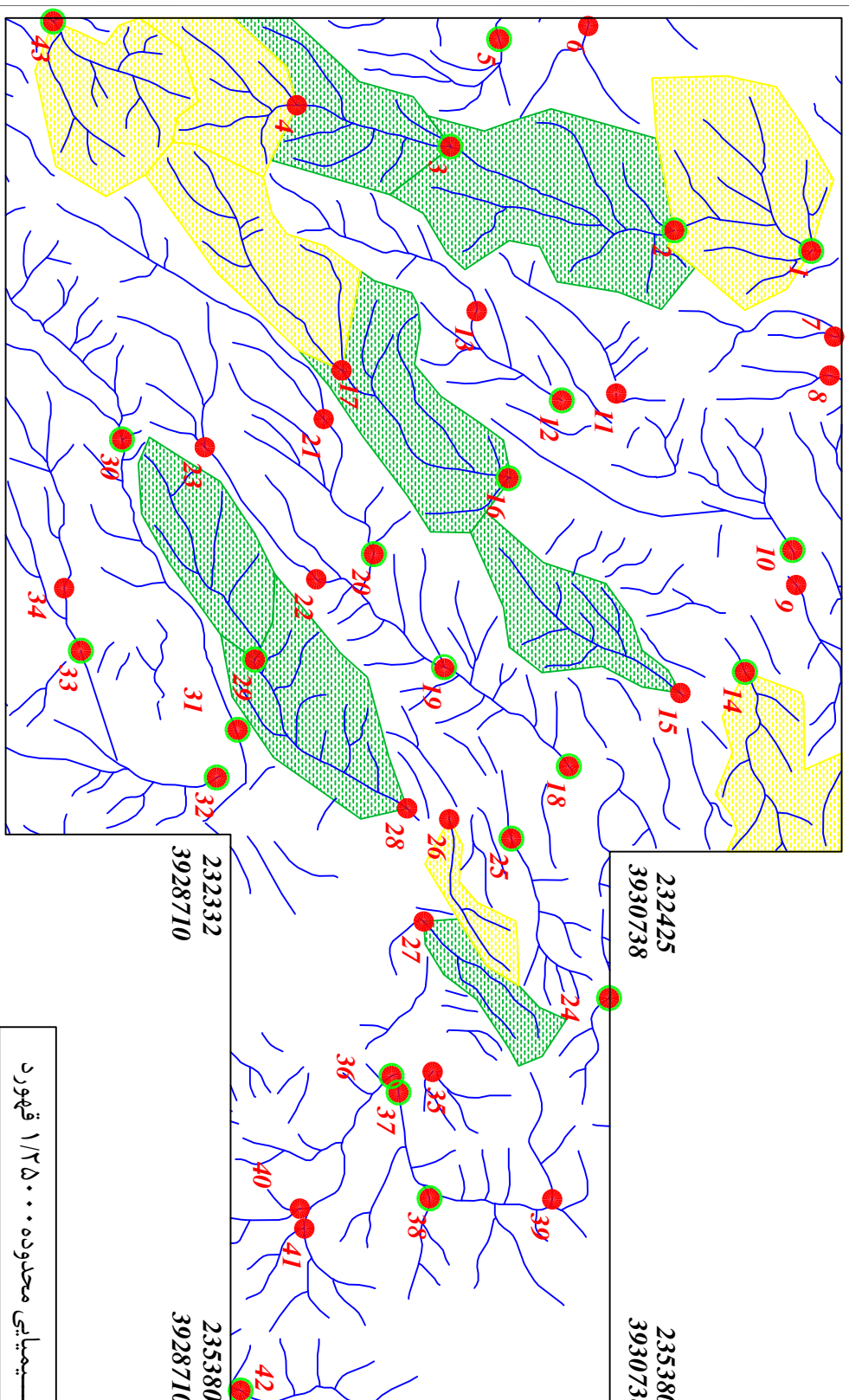
235380
3930738

نحوته مینبر ابراهیم
نحوته کسانی سبزیگیان
نحوته زیوشه پیغمی
نماده نموزه روش پیغمی
نماده نموزه کائی سبزیگیان
حد زمینه
آئومالی ممکن
آئومالی احتمالی
آئومالی قطعی

232332
3928710

235380
3928710

متسلس
محضات در زون ۳۹



227968
3927505

232332
3927505

Scale 1:35000

0 500 1000 1500 2000 2500m



| |
|---|
| پژوهه اکتشافات رژوشن پیمایی محدوده ۱۲۵۰۰۰ قهورد |
| سازمان زمین شناسی و اکتشافات معدنی کشور |
| موضوع: آنومالی های مربوط به عنصر کلسیم |
| توسط: مهرداد موحدی - الهام چیت گری |

نقشه شماره ذه

۱۳۸۸

227968
3931979

232425
3931979

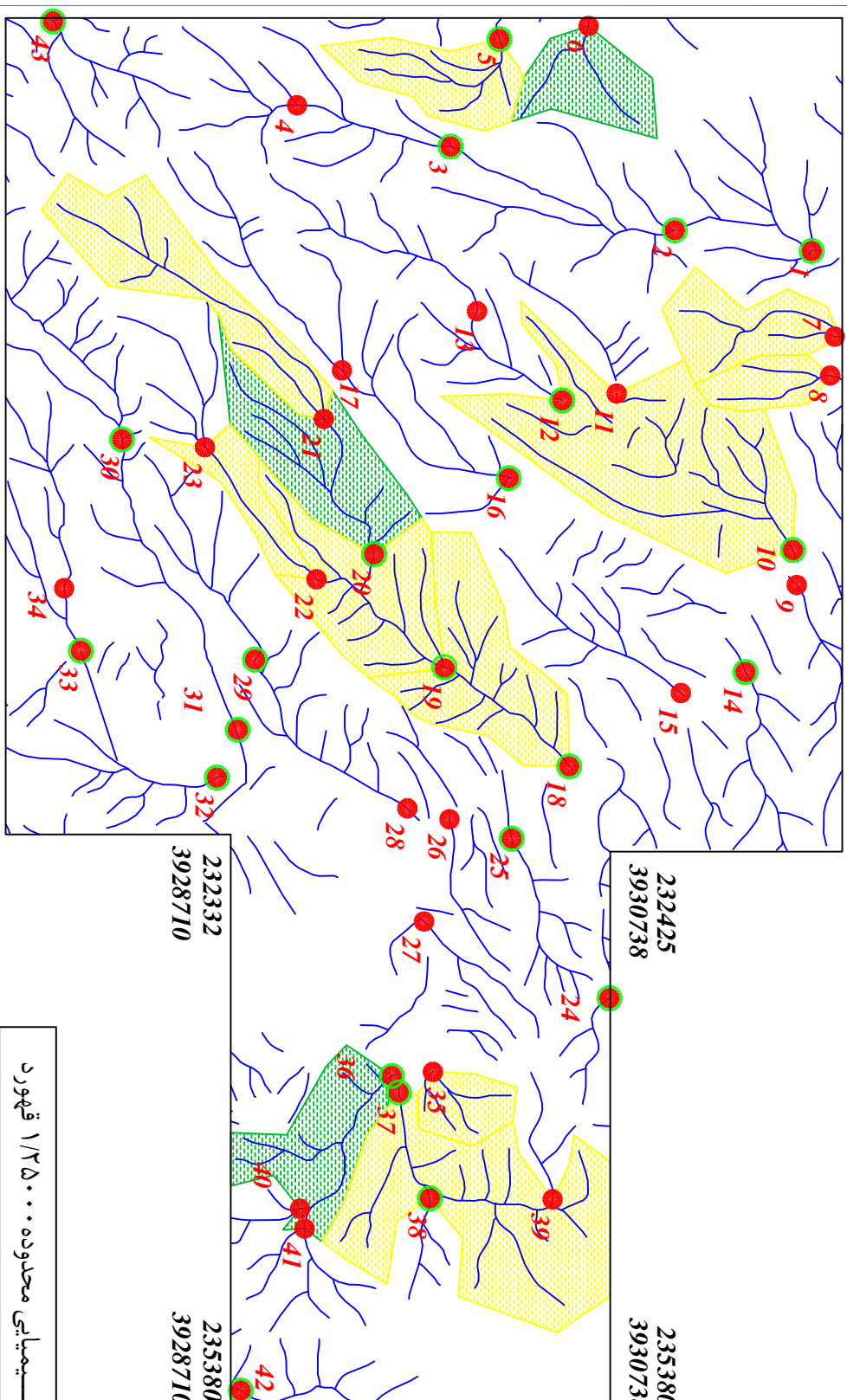
Legend

| | |
|--|---------------------------|
| | سیستم آبراهه |
| | نحوته مینبر اسپزه |
| | نحوته کسانی سبزگیرن |
| | نحوته زیوشه پیمی |
| | شماره نمونه روش پیمی |
| | مکاره نمونه کسانی سبزگیرن |
| | حد زمینه |
| | آیندها ممکن |
| | آیندهای احتمالی |
| | آیندهای قدرتی |
| | متغیر |
| | محضات در زون ۳۹ |

232425
3930738

235380
3930738

X=267985
Y=3758834



227968
3927505

232332
3928710

پژوهه اکتشافات رژوشن پیمایی محدوده ۱۲۵۰۰۰ قهورد
سازمان زمین شناسی و اکتشافات معدنی کشور

Scale 1:35000

0 500 1000 1500 2000 2500m



| |
|--|
| موضوع: آنومالی های مربوط به عنصر کادمیوم |
| توسط: مهرداد موحدی - الهام چیت گری |
| نقشه شماره ۵۵ |

۱۳۸۸

227968
3931979

232425
3931979

Legend

232425
3930738

235380
3930738

235380
3930738

نحویه مینبر ابراهید

نحویه کسانی سبزیگیان

نحویه زیوشه بیمه

نمایه نموده روش پیشی

نمایه نموده کائی سبزیگیان

حد زمینه

آئومالی ممکن

آنومالی احتمالی

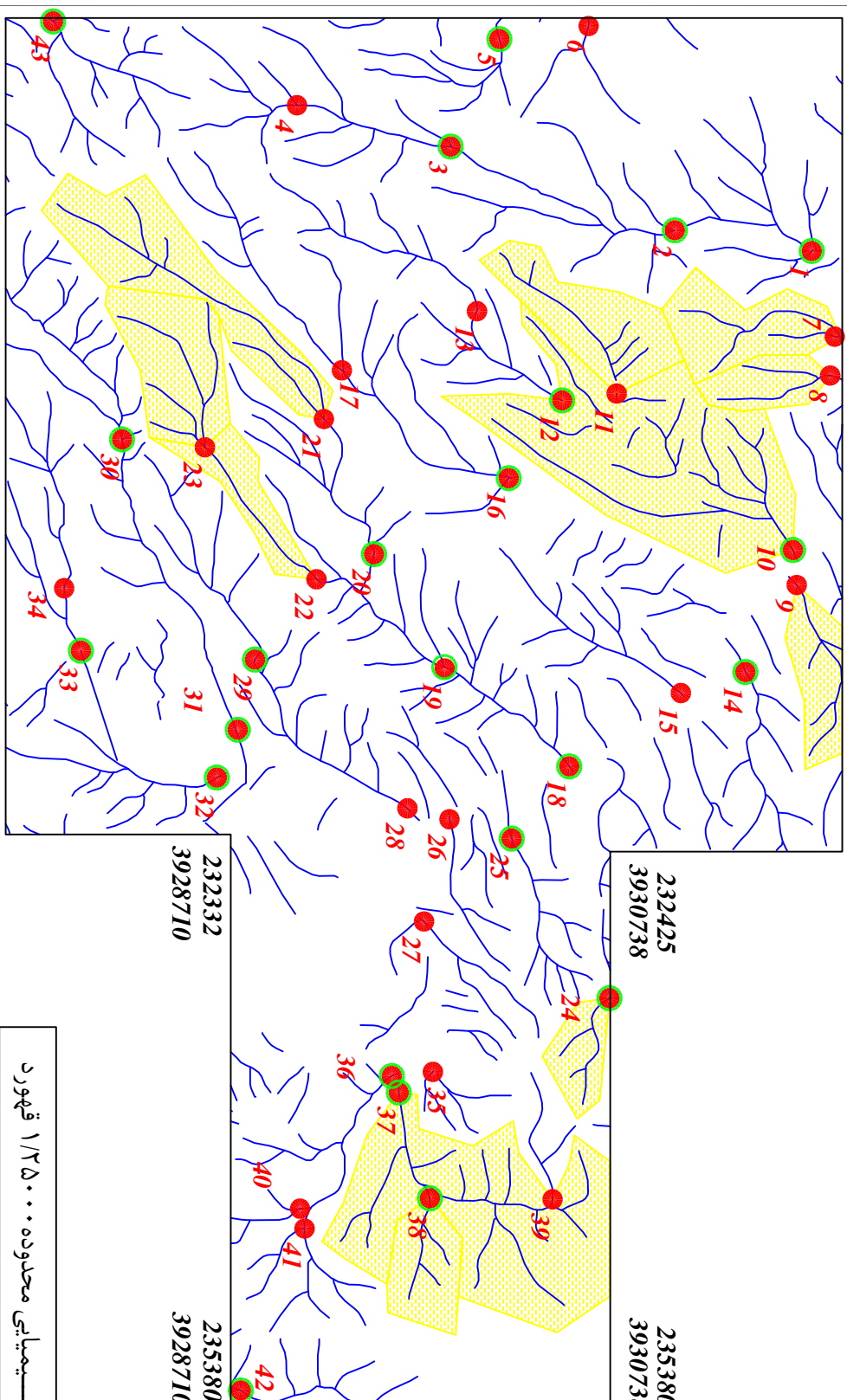
آنومالی قدرتی

متسلس

محضات در زون ۳۹

$X=267985$

$Y=3758834$



227968
3927505

Scale 1:35000

0 500 1000 1500 2000 2500m



232332
3927505

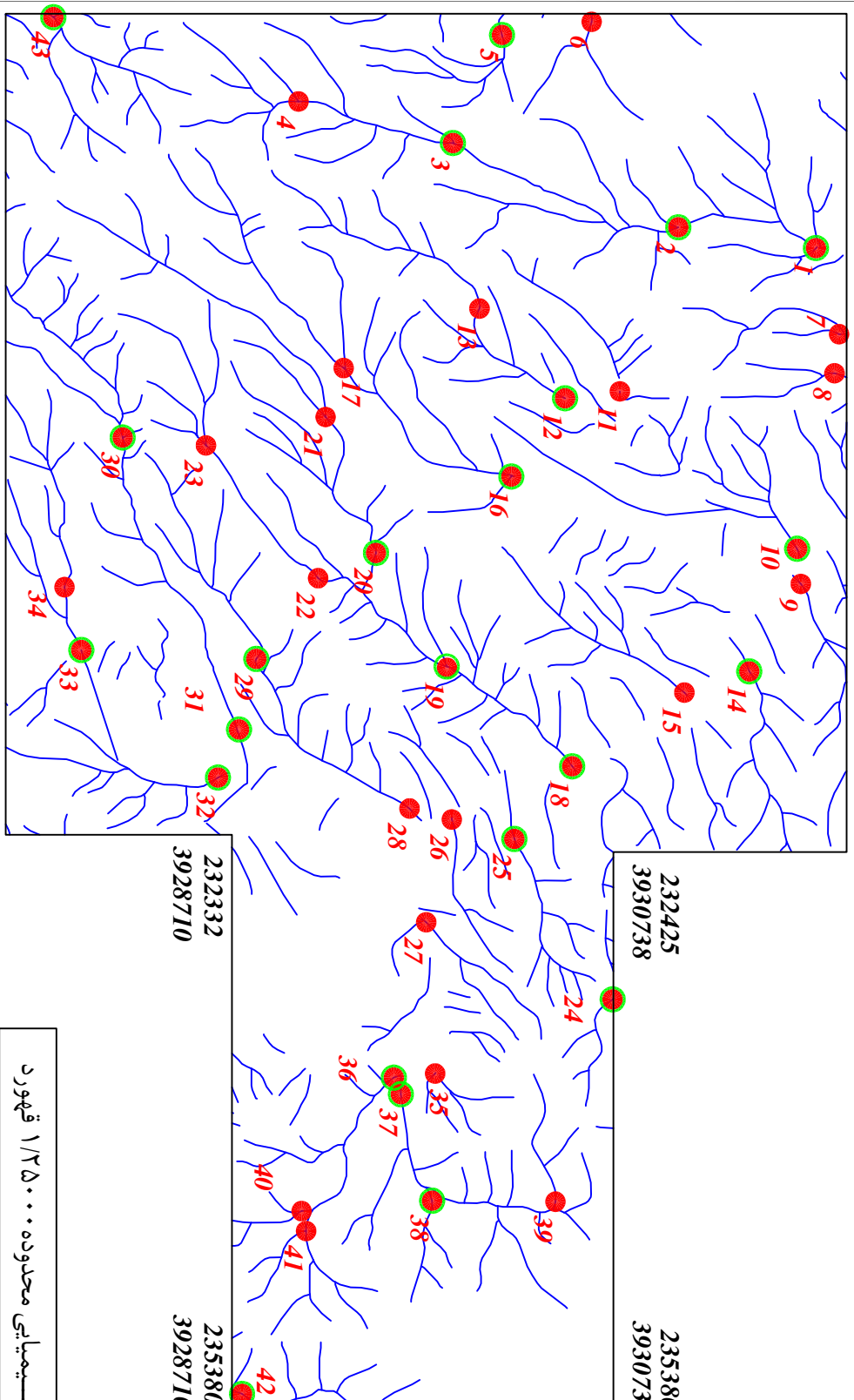
| |
|---|
| پژوهه اکتشافات رژوشن پیمایی محدوده ۱۲۵۰۰۰ قهورد |
| سازمان زمین شناسی و اکتشافات معدنی کشور |
| موضوع: آنومالی های مربوط به عنصر سریم |
| توسط: مهرداد موحدی - الهام چیت گری |
| نقشه شماره یازده ۱۳۸۸ |

227968
3931979

232425
3931979

Legend

| | |
|--|----------------------|
| | سیستم آبراهه |
| | نحوته مینرالزه |
| | نحوته کانی سبکین |
| | نحوته زیوشهایی |
| | شماره نمونه روش پیشی |



227968
3927505

232332
3927505

Scale 1:35000

0 500 1000 1500 2000 2500m



پژوهه اکتشافات ریوشا - یمیایی محدوده ۱۲۵۰۰۰ قهورد
سازمان زمین شناسی و اکتشافات معدنی کشور

موضوع: آنومالی های مربوط به عنصر کپالت
توسط: مهرداد موحدی - الهام چیت گرجی

نقشه شماره دوازده
۱۳۸۸

227968
3931979

232425
3931979

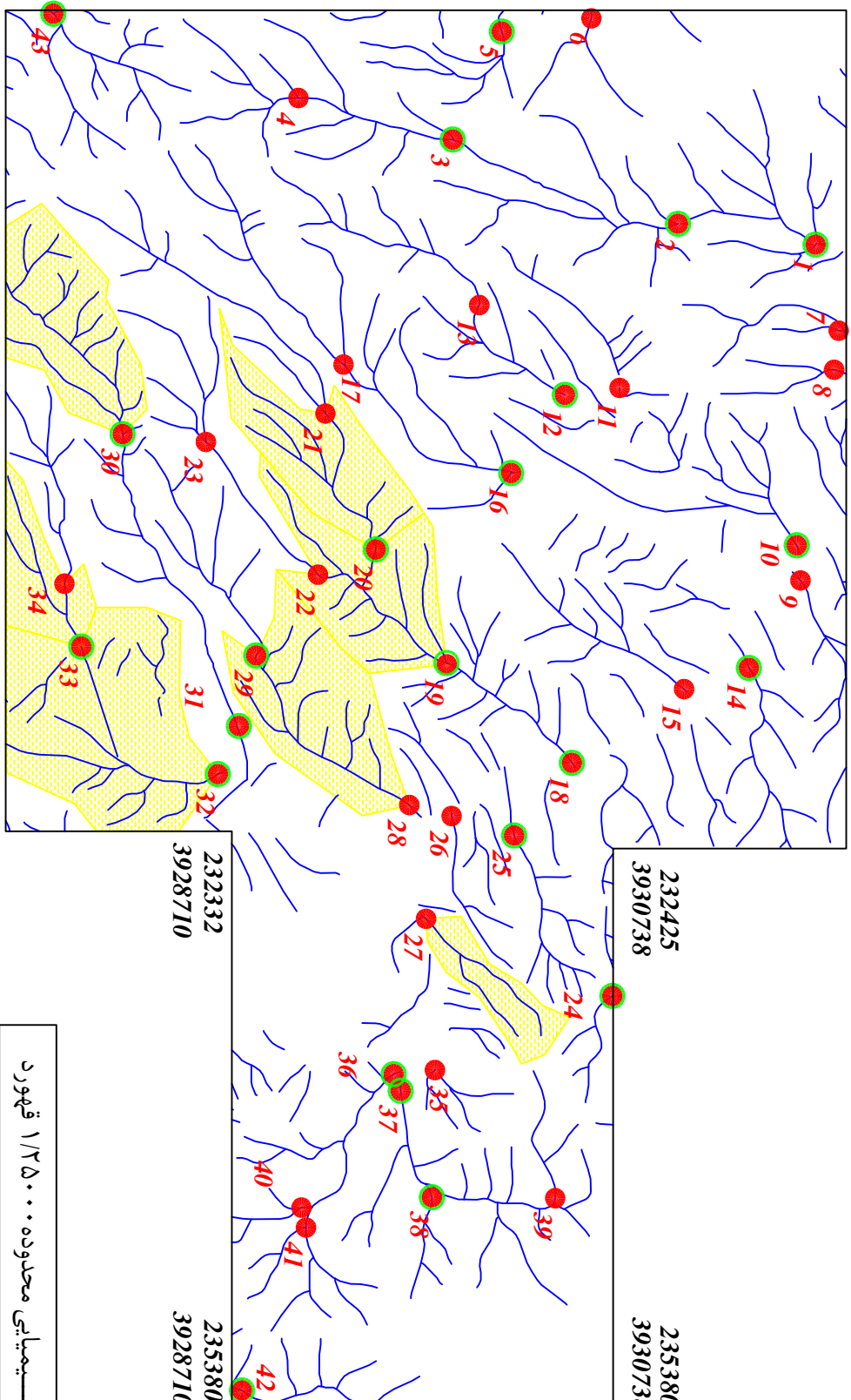
Legend

| | |
|---------------------------|----------------------------|
| | سیستم آبراهه |
| | نحوته مینبر اسپزه |
| | نحوته کسانی سبزگیرن |
| | نحوته زیوشه پیمی |
| | شماره نمونه روش پیمی |
| | میداره نمونه کسانی سبزگیرن |
| | حد زمینه |
| | آزمایش ممکن |
| | آزمایش احتمالی |
| | آزمایش قدرتی |
| | متريلس |
| $X=267985$ $Y=3758834$ | ختصات در زون ۳۹ |

232425
3930738

235380
3930738

سیستم آبراهه
نحوته مینبر اسپزه
نحوته کسانی سبزگیرن
نحوته زیوشه پیمی
شماره نمونه روش پیمی
میداره نمونه کسانی سبزگیرن
حد زمینه
آزمایش ممکن
آزمایش احتمالی
آزمایش قدرتی
متريلس
ختصات در زون ۳۹



227968
3931979

232332
3928710

پژوهه اكتشافات ریووش پیمایی محدوده ۱۲۵۰۰۰ قهورد
سازمان زمین شناسی و اکتشافات معدنی کشور

Scale 1:35000

موضوع: آنممالی های مربوط به عصر کروم
توسط: مهرداد موحدی - الهام چیت گری

نقشه شماره سیزده
۱۳۸۸

0 500 1000 1500 2000 2500m



227968
3931979

232425
3931979

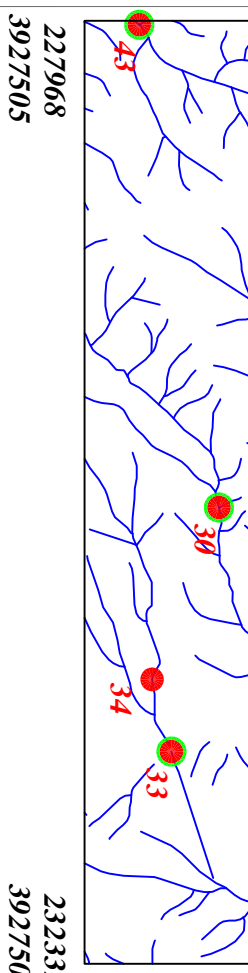
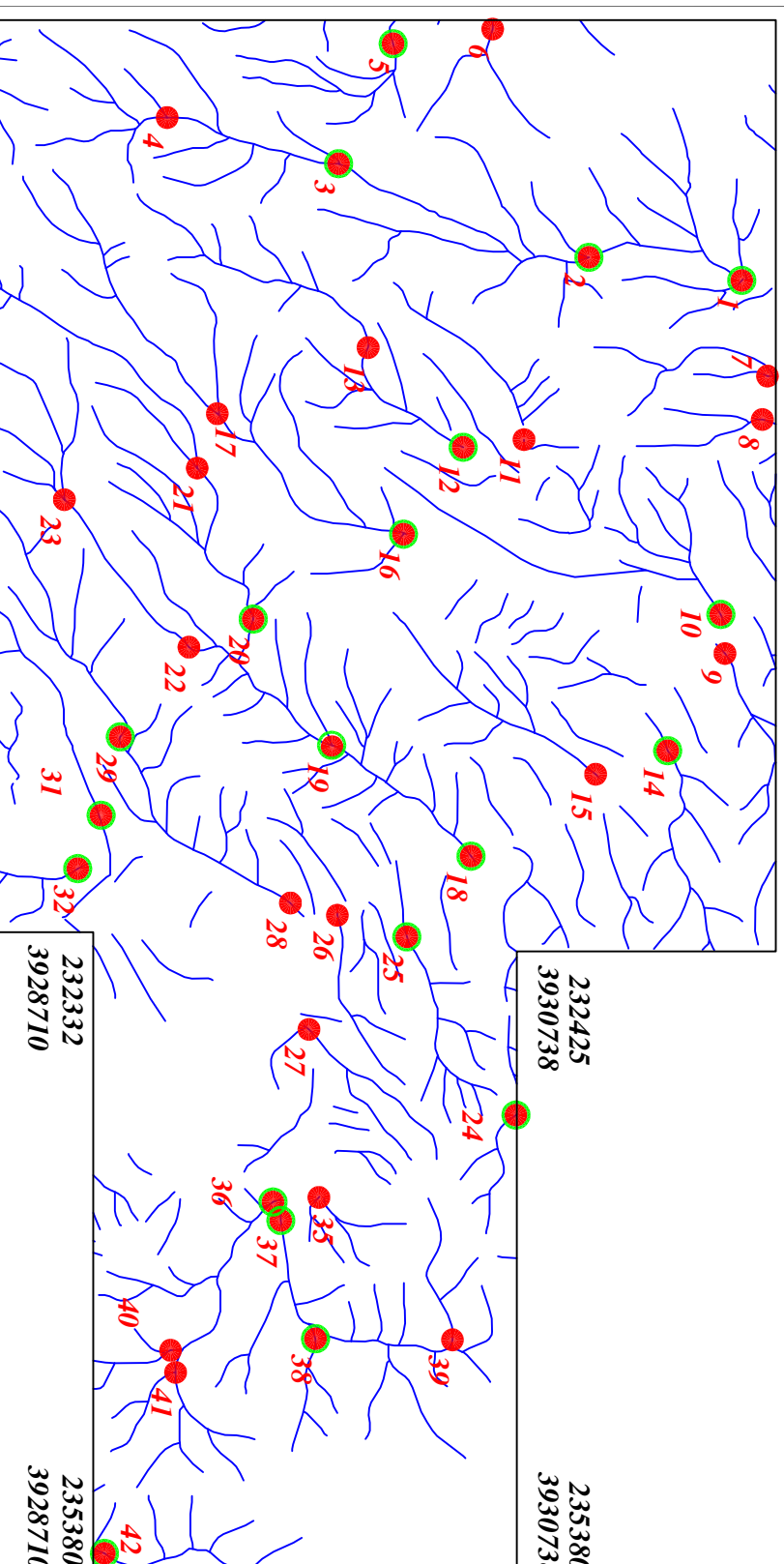
23340
3930738

235380
3930738

Legend

| | |
|--|----------------------|
| | سیستم آبراهه |
| | نحوته مینرالزه |
| | نحوته کانی سبکین |
| | نحوته زیوشهایی |
| | شماره نمونه روش پیشی |

| | |
|--|------------------------|
| | نماده نمونه کائی سبکین |
| | حد زمینه |
| | آبمادی ممکن |
| | آبمادی احتمالی |
| | آبمادی قطعی |



Scale 1:35000
3927505



| |
|---|
| پژوهه اکتشافات ریووش پیمایی محدوده ۱۲۵۰۰۰ قهورد |
| سازمان زمین شناسی و اکتشافات معدنی کشور |
| موضوع: آنومالی های مربوط به عنصر سرزمیم |
| توسط: مهرداد محمدی - الهام چیت گری |

نقشه شهاره چهارده
۱۳۸۸

227968
3931979

232425
3931979

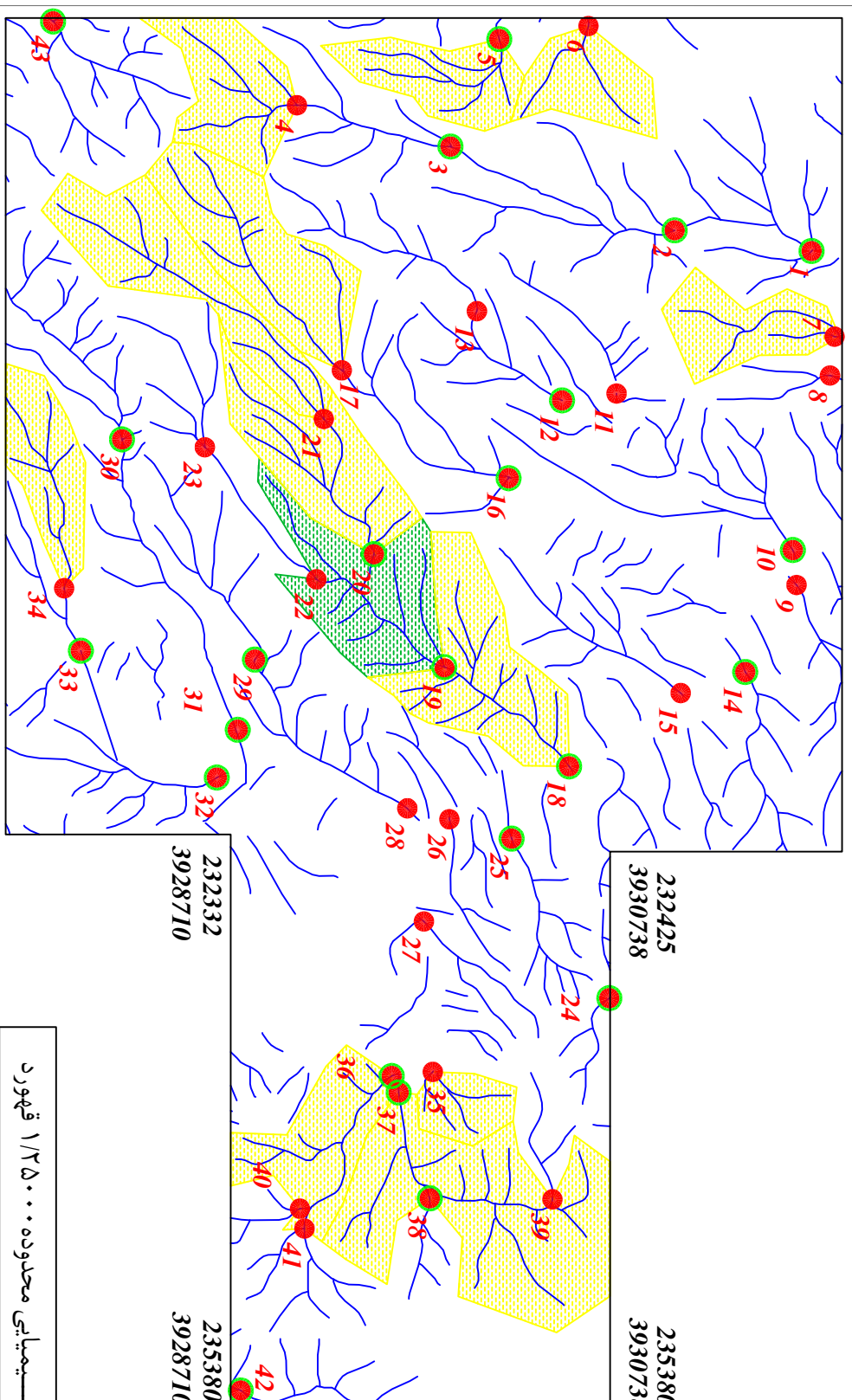
Legend

| | |
|--|---------------------------|
| | سیستم آبراهه |
| | نحوته مینبر اسپزه |
| | نحوته کسانی سبزگیرن |
| | نحوته زیوشه پیمی |
| | شماره نمونه روش پیمی |
| | مکاره نمونه کسانی سبزگیرن |
| | حد زمینه |
| | آئومالی ممکن |
| | آئومالی احتمالی |
| | آئومالی قطعی |
| | متصل |
| | محضات در زون ۳۹ |

232425
3930738

235380
3930738

X=267985
Y=3758834



227968
3927505

232332
3928710

پژوهه اکتشافات رژوشن پیمایی محدوده ۱۲۵۰۰۰ قهورد
سازمان زمین شناسی و اکتشافات معدنی کشور

Scale 1:35000

موضوع: آنومالی های مربوط به عنصر مس

توسط: مهرداد موحدی - الهام چیت گری

نقشه شماره پیانزده

0 500 1000 1500 2000 2500m

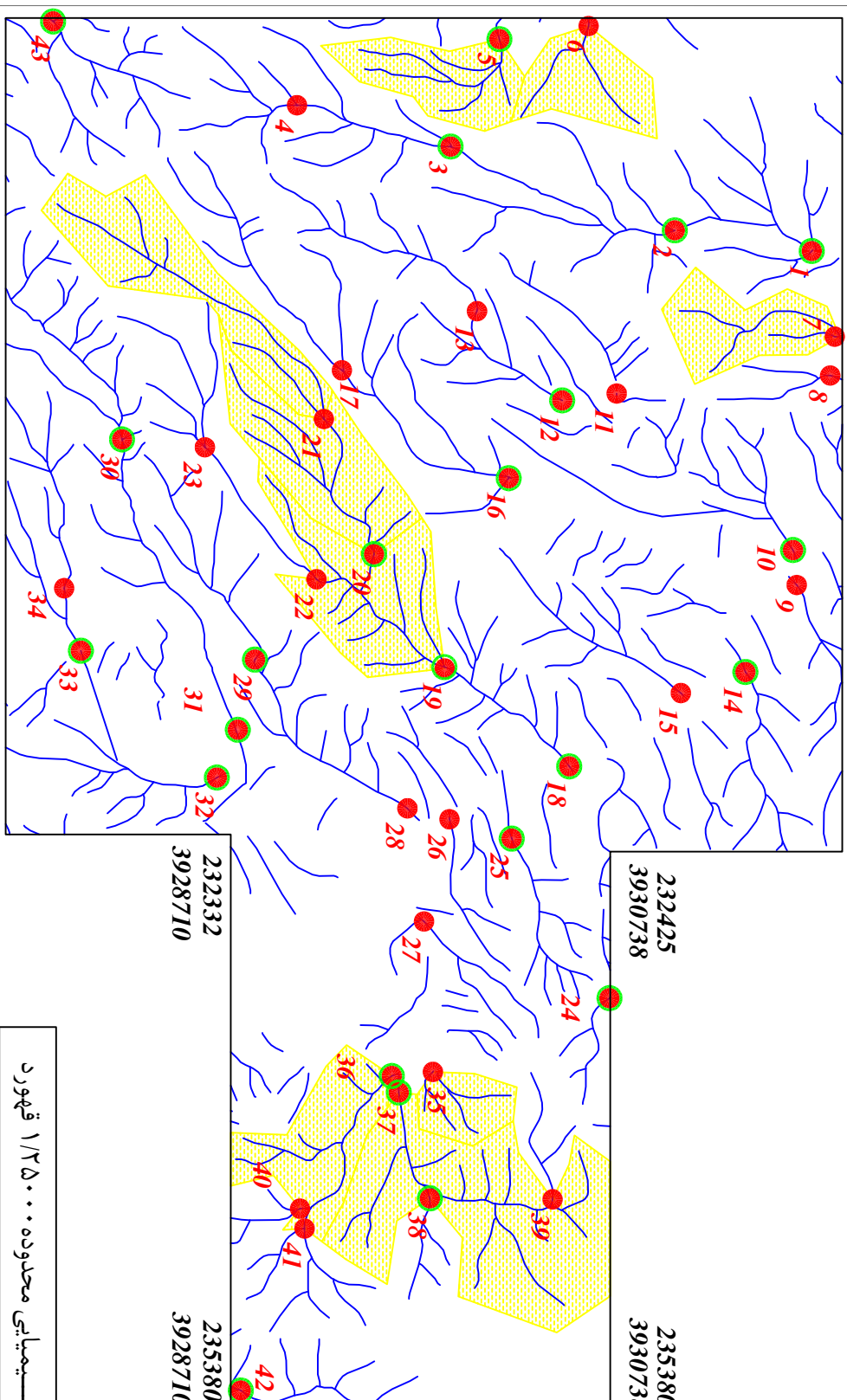


227968
3931979

232425
3931979

Legend

| | |
|--|---------------------------|
| | سیستم آبراهه |
| | نحوته مینبر اسپزه |
| | نحوته کسانی سبزگیرن |
| | نحوته زیوشه پیمی |
| | شماره نمونه روش پیمی |
| | مکاره نمونه کسانی سبزگیرن |
| | حد زمینه |
| | آئومالی ممکن |
| | آئومالی احتمالی |
| | آئومالی قطعی |
| | متصل |
| | محضات در زون ۳۹ |



227968
3927505

232332
3928710

پژوهه اکتشافات ریووش پیمایی محدوده ۱۲۵۰۰۰ قهورد
سازمان زمین شناسی و اکتشافات معدنی کشور

Scale 1:35000

0 500 1000 1500 2000 2500m



235380
3928710

موضوع: آنومالی های مربوط به عصر آهن
توسط: مهرداد موحدی - الهام چیت گری

نقشه شماره شناسنده ۱۳۸۸

227968
3931979

232425
3931979

Legend

232425
3930738

235380
3930738

نحوته مینبر ایزه

نحوته کانی سبکین

نحوته زیوش پیمی

نمایه زیوش پیمی

سیستم ایراده

شماره نمونه روش پیمی

میداره نمونه کانی سبکین

حد زمینه

آینده ممکن

آینده احتمالی

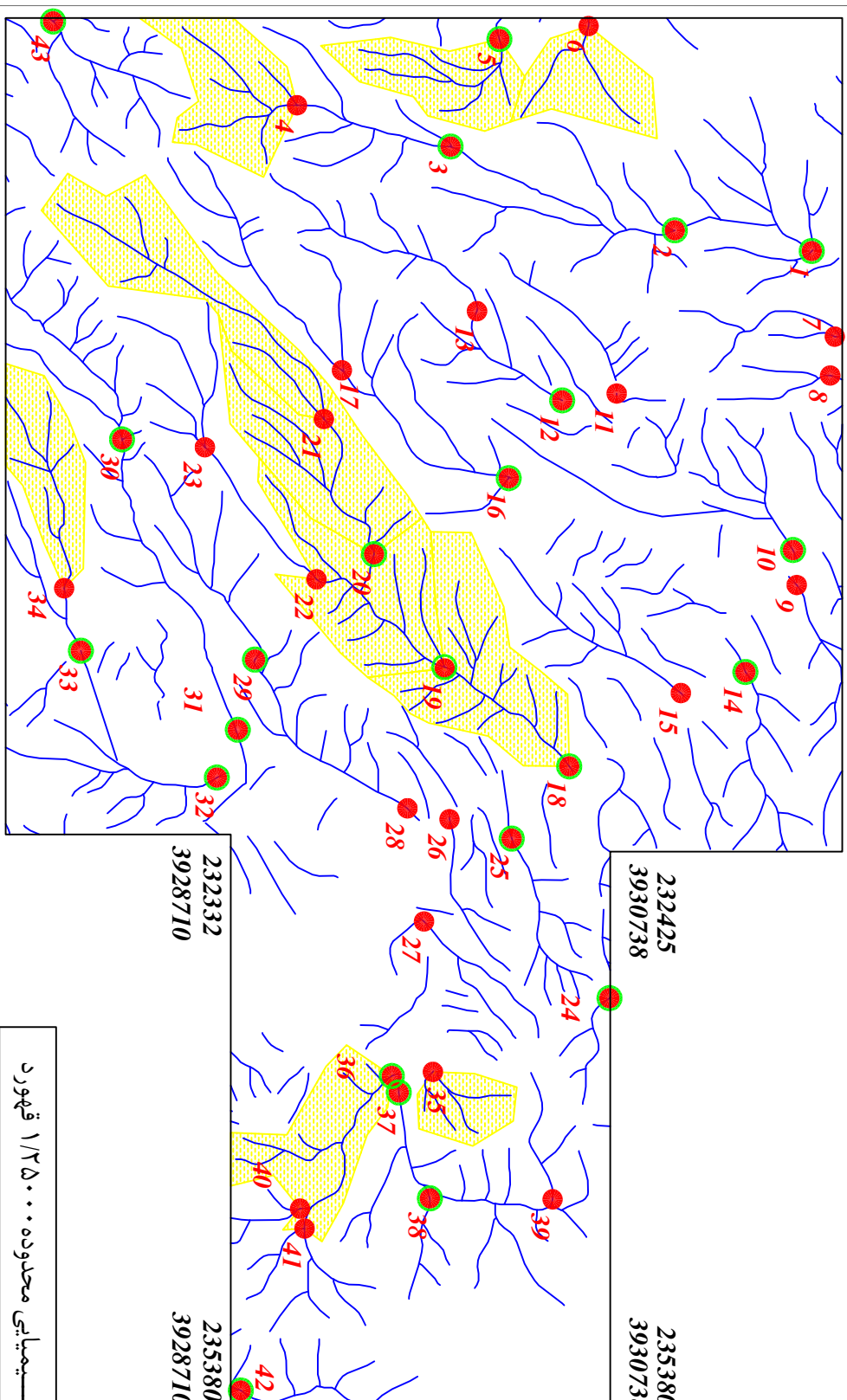
آینده قدرتی

متسلس

محضات در زون ۳۹

$X=267985$

$Y=3758834$



227968
3927505

Scale 1:35000

0 500 1000 1500 2000 2500m



232332
3928710

232332
3928710

235380
3928710

سازمان زمین شناسی و اکتشافات رژیوشن پیمایی محدوده ۱۲۵۰۰۰ قهورد

موضوع: آنومالی های مربوط به عرصه پیاس

توسط: مهرداد موحدی - الهام چیت گری

نقشه شهاره هفده

۱۳۸۸

227968
3931979

232425
3931979

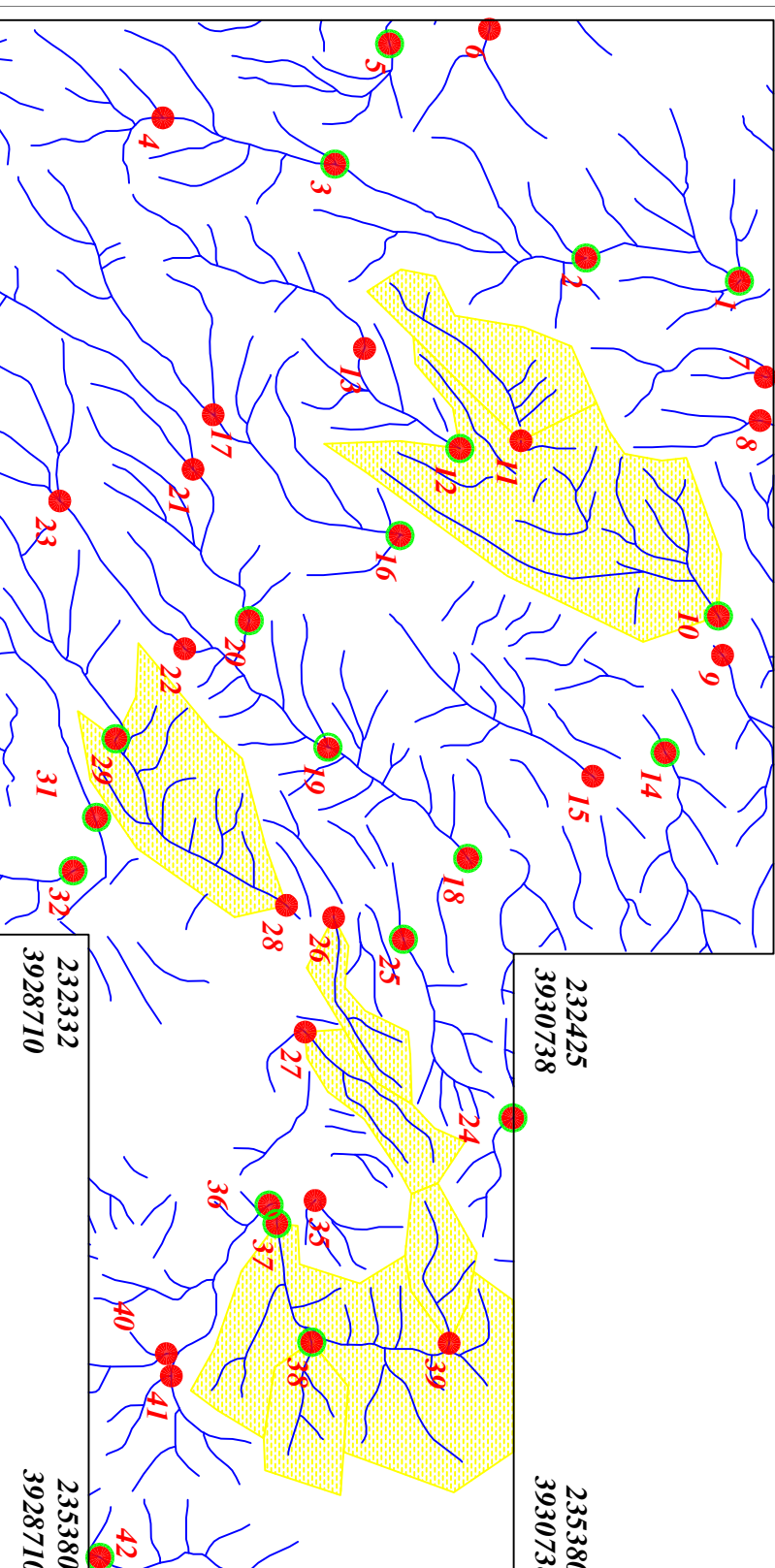
Legend

| | |
|---------------------------|--------------------------|
| | سیستم آبراهه |
| | نحوته مینبر اسپزه |
| | نحوته کسانی سبزگیرن |
| | نحوته زیوشه پیمی |
| | شماره نمونه روش پیمی |
| | مغاره نمونه کائی سبزگیرن |
| | حد زمینه |
| | آئومالی ممکن |
| | آئومالی احتمالی |
| | آئومالی قطعی |
| | متريلس |
| $X=267985$ $Y=3788834$ | محضات در زون ۳۹ |

232425
3930738

235380
3930738

سازمان زمین شناسی و اکتشافات معدنی کشور
موضوع: آنومالی های مربوط به عنصر لانتانیوم
توضیح: مهرداد محمدی - الهام چیت گری
نقشه شماره هجده



232332
3928710

235380
3928710

227968
3927505

Scale 1:35000

232332
3927505

0 500 1000 1500 2000 2500m



| |
|---|
| پژوهه اکتشافات ریووش پیمایی محدوده ۱۲۵۰۰۰ قهورد |
| سازمان زمین شناسی و اکتشافات معدنی کشور |
| موضوع: آنومالی های مربوط به عنصر لانتانیوم |
| توضیح: مهرداد محمدی - الهام چیت گری |

227968
3931979

232425
3931979

23340
3930738

235380
3930738

235380
3928710

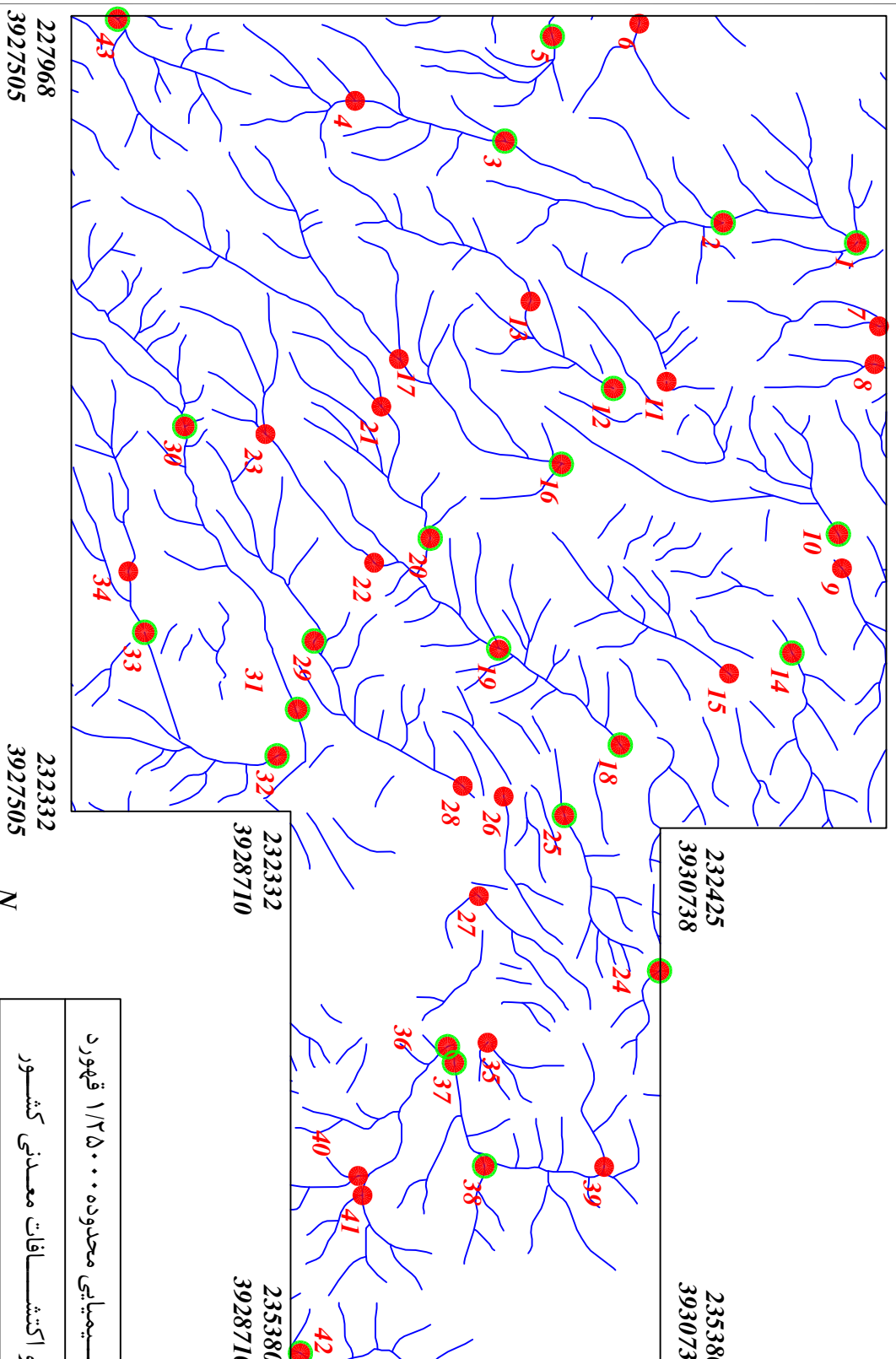
232332
3928710

232332
3928710

232332
3928710

Legend

| | |
|--|----------------------|
| | سیستم آبراهه |
| | نحوته مینرالزه |
| | نحوته کانی سبکین |
| | نحوته زیوشهایی |
| | شماره نمونه روش پیشی |
| | نماده نمونه کائیسین |
| | حد زمینه |
| | آئومالی ممکن |
| | آئومالی احتمالی |
| | آئومالی قدرتی |
| | متسلس |
| | محضات در زون ۳۹ |



227968
3927505

232332
3927505

Scale 1:35000

0 500 1000 1500 2000 2500m



N

پژوهه اکتشافات روش پیمایی محدوده ۱۲۵۰۰۰ قهورد
سازمان زمین شناسی و اکتشافات معدنی کشور
موضوع: آنومالی های مربوط به عنصر لیتیوم
توسط: مهرداد موحدی - الهام چیت گرجی
نقشه شماره نوزده

۱۳۸۸

227968
3931979

232425
3931979

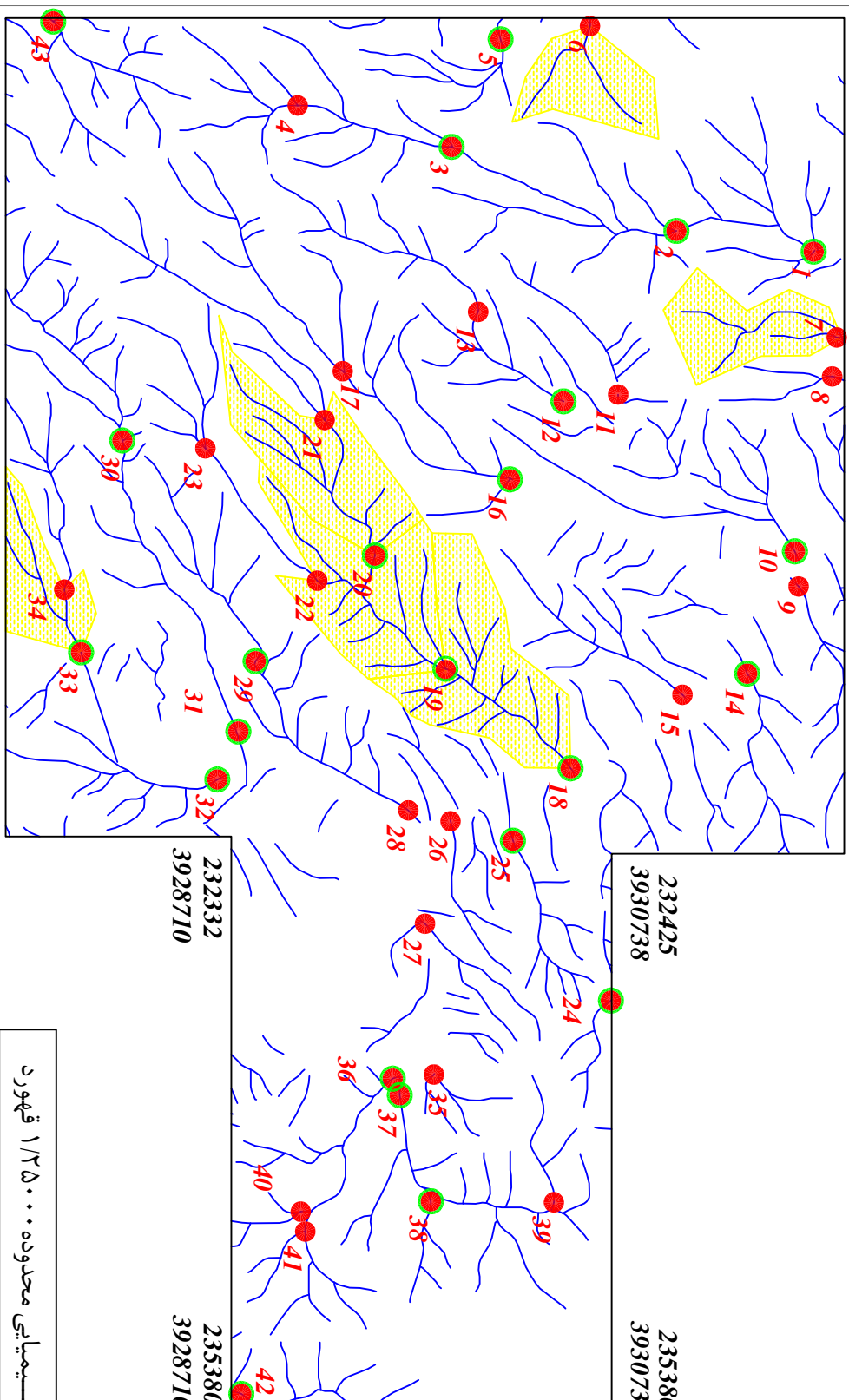
Legend

| | |
|--|---------------------------|
| | سیستم آبراهه |
| | نحوته مینبر اسپزه |
| | نحوته کسانی سبزگیرن |
| | نحوته زیوشه پیمی |
| | شماره نمونه روش پیمی |
| | مکاره نمونه کسانی سبزگیرن |
| | حد زمینه |
| | آئومالی ممکن |
| | آئومالی احتمالی |
| | آئومالی قطعی |
| | متیلس |
| | محضات در زون ۳۹ |

232425
3930738

235380
3930738

X=267985
Y=3758834



227968
3927505

Scale 1:35000

0 500 1000 1500 2000 2500m



N

پژوهه اکتشافات ریوشن پیمایی محدوده ۱۲۵۰۰۰ قهورد

سازمان زمین شناسی و اکتشافات معدنی کشور

موضوع: آنومالی های مربوط به عنصر منزیریم

توسط: مهرداد موحدی - الهام چیت گری

نقشه شماره بیست

۱۳۸۸

227968
3931979

232425
3931979

Legend

232425
3930738

235380
3930738

سیستم آبراهه
نحوه مبنای سازه

نحوه کارانی سازگاری

نحوه زیرشیبی

نموداره نمونه روشی

نموداره نمونه کارانی سازگاری

حد زمینه

آئومالی ممکن

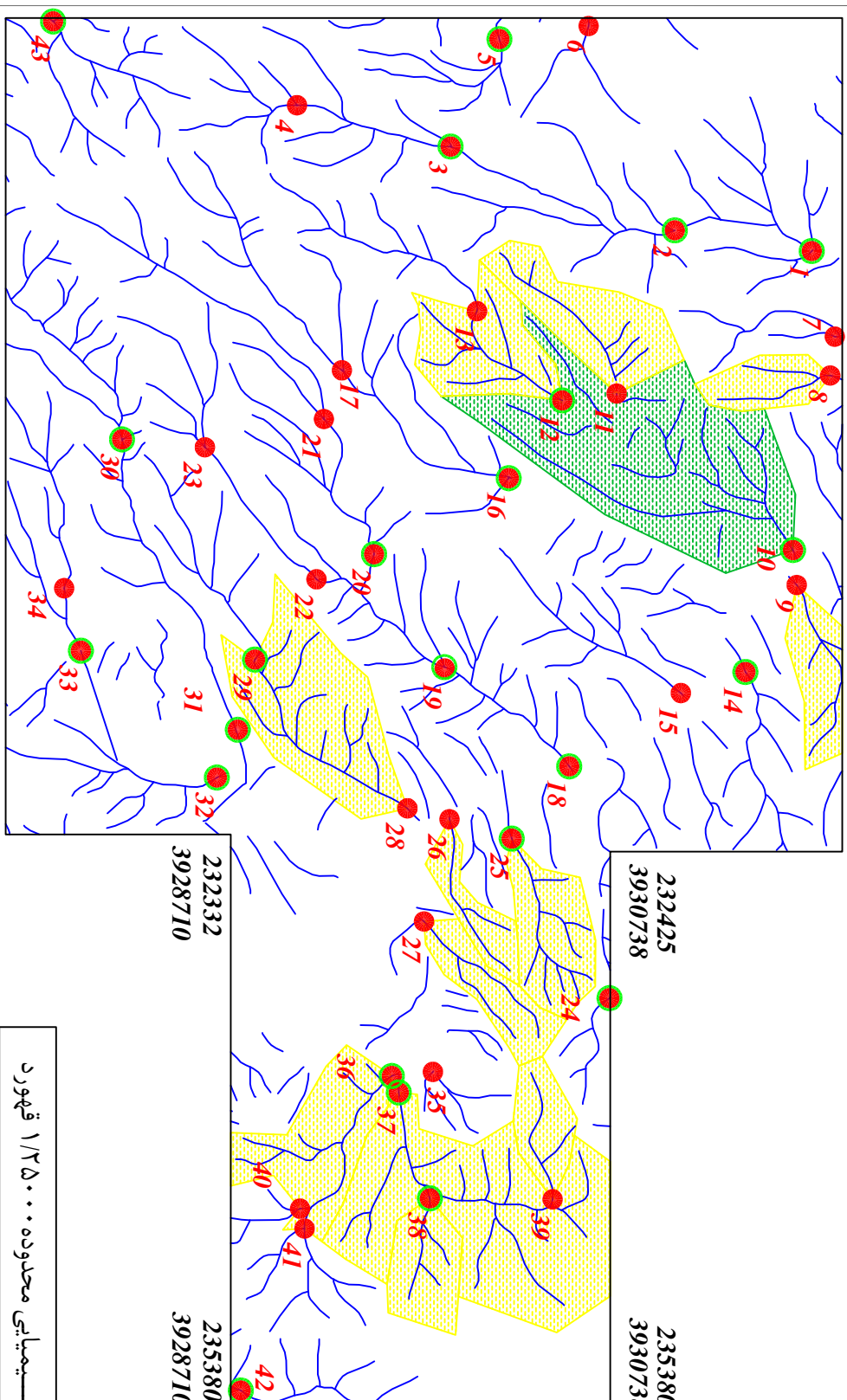
آئومالی احتمالی

آئومالی قدرتی

متغیر

محضات در زون ۳۹

$X=267985$
 $Y=3758834$



227968
3927505

Scale 1:35000

0 500 1000 1500 2000 2500m



232332
3928710

پژوهه اکتشافات رژوشن پیمایی محدوده ۱۲۵۰۰۰ قهورد
سازمان زمین شناسی و اکتشافات معدنی کشور

موضوع: آنومالی های مربوط به عنصر منگنز
توسط: مهرداد محمدی - الهام چیت گری

نقشه شماره پیسست و بیک ۱۳۸۸

227968
3931979

232425
3931979

Legend

232425
3930738

235380
3930738

232332
3928710

235380
3928710

$X=267985$
 $Y=3758834$

مختصات در زون ۳۹

متسلس

آنومالی احتمالی

آنومالی قدرتی

آئومالی ممکن

حد زمینه

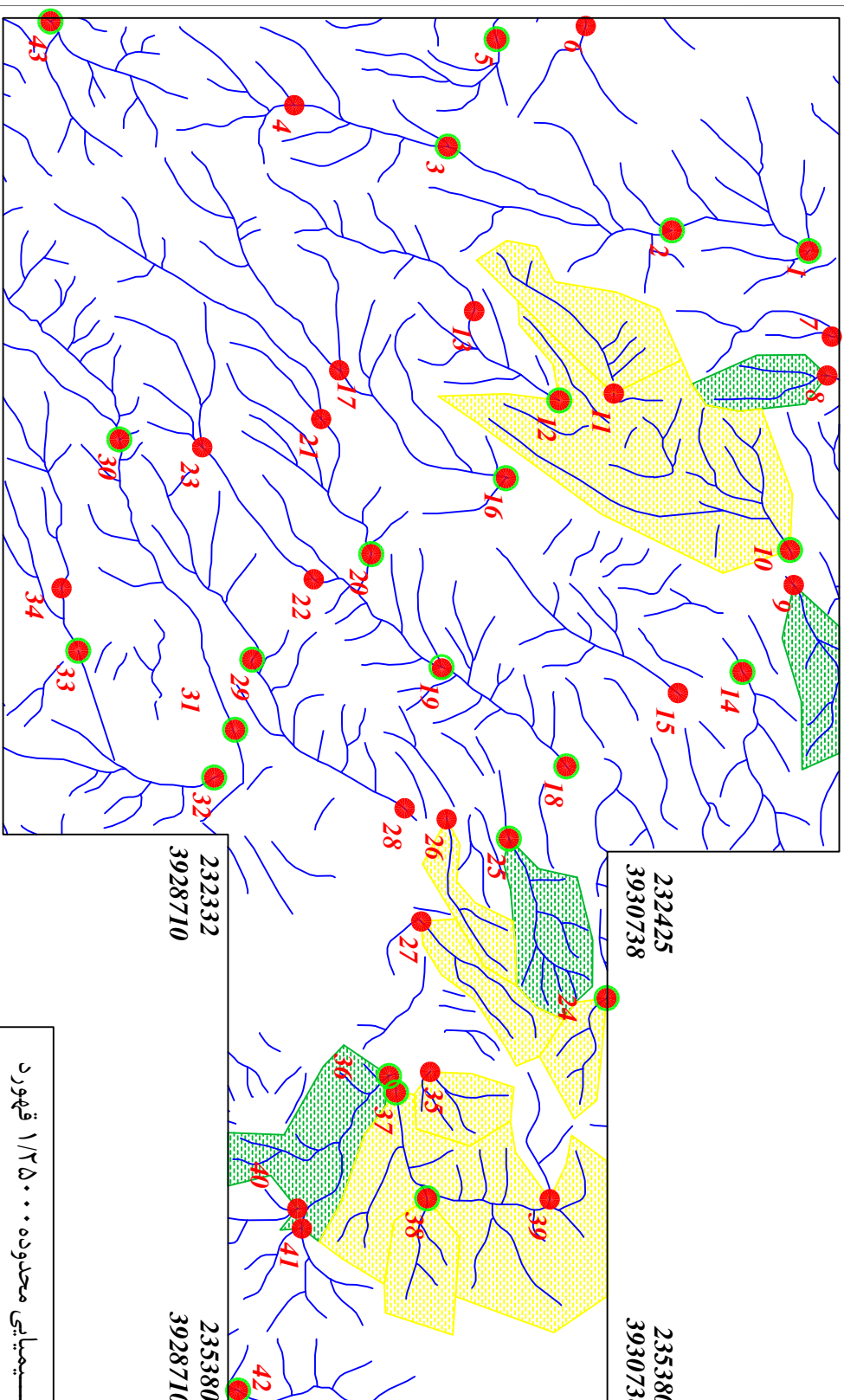
شماره نمونه روش پیشی

نحویه کسانی سنجین

نحویه زیوشه پیشی

نحویه مینبر اسازه

سیستم آبراهه



227968
3931979

232332
3927505

Scale 1:35000

0 500 1000 1500 2000 2500m

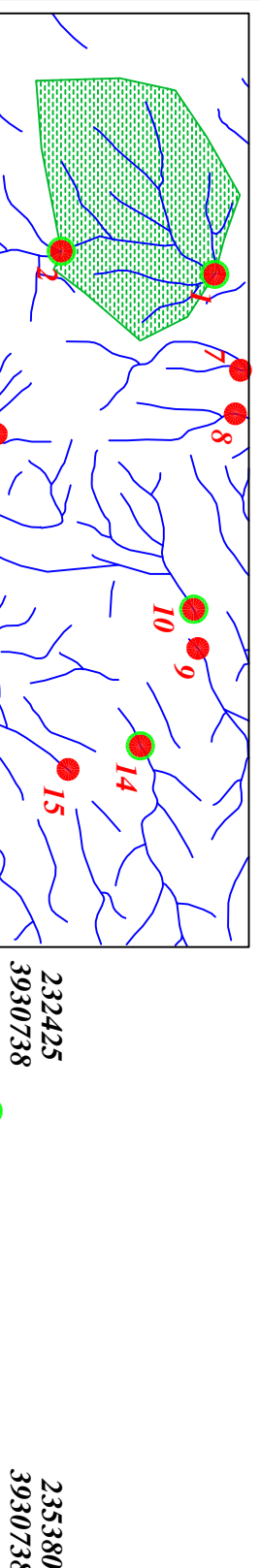


| |
|---|
| پژوهه اکتشافات روش پیمایی محدوده ۱۲۵۰۰۰ قهورد |
| سازمان زمین شناسی و اکتشافات معدنی کشور |
| موضوع: آنومالی های مربوط به عنصر مولیبدن |
| توسط: مهرداد محمدی - الهام چیت گری |
| نقشه شماره پیست و دو ۱۳۸۸ |

227968
3931979

232425
3931979

Legend

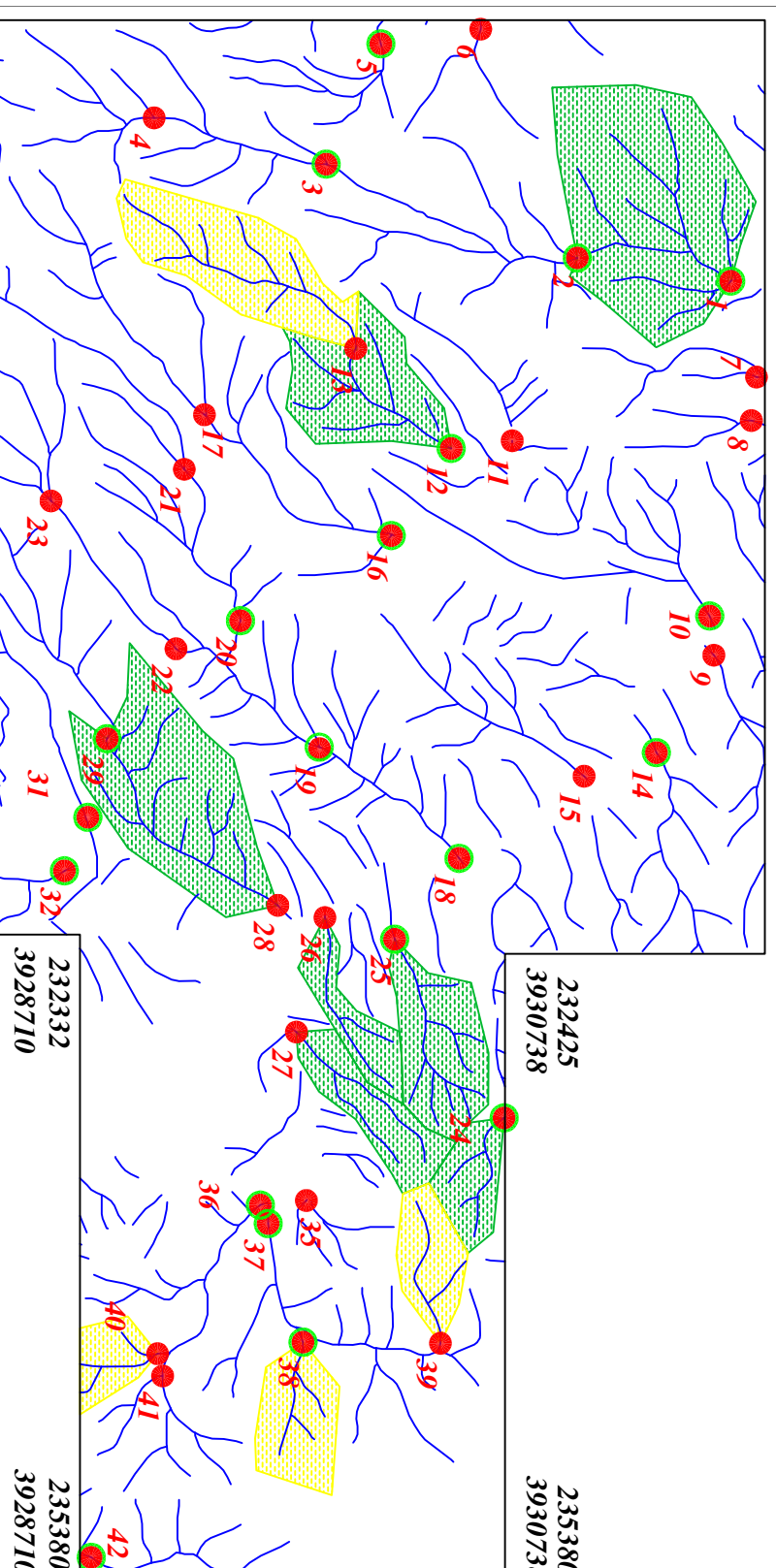


232425
3930738

235380
3930738

144
143H
حد زمینه
آئومالا ممکن
آئومالا احتمالی
آئومالا قطعی

متسلس
محضات در زون ۳۹



227968
3927505

232332
3928710

235380
3928710

$X=267985$
 $Y=3758834$

227968
3927505

Scale 1:35000

0 500 1000 1500 2000 2500m



232332
3927505

پژوهه اکتشافات رژوشن پیمایی محدوده ۱۲۵۰۰۰ قهورد

سازمان زمین شناسی و اکتشافات معدنی کشور

موضوع: آنومالی های مربوط به عنصر سدیم

توسط: مهرداد محمدی - الهام چیت گری

نقشه شماره پیسست و سده ۱۳۸۸

227968
3931979

232425
3931979

Legend

232425
3930738

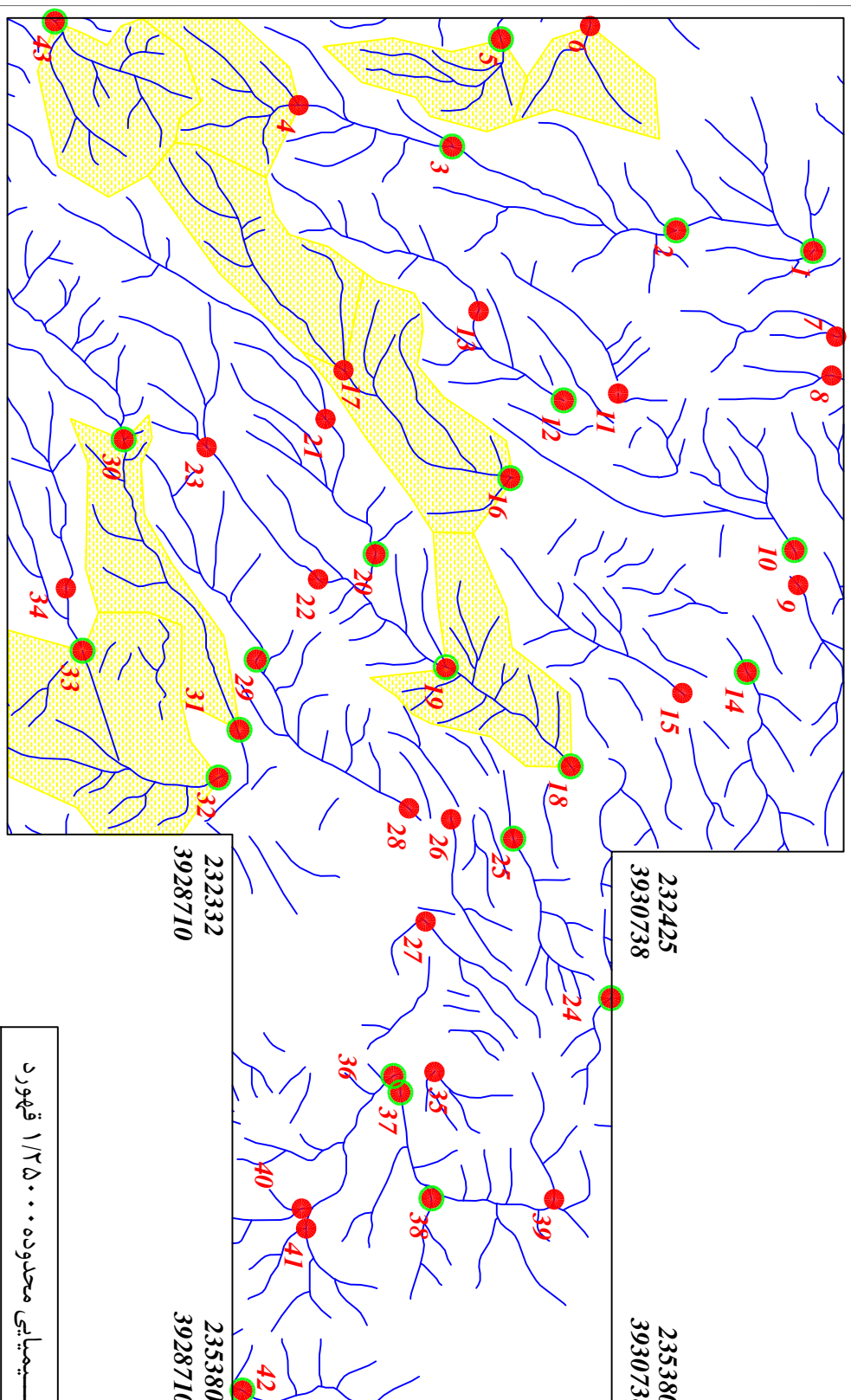
235380
3930738

235380
3930738

سیستم ابراهد
نحوته مینه اسزره
نحوته کسانی سبزگین
نحوته زیوشه پیمو
نماده نوزنه روش پیمو
نماده نوزنه کائی سبزین
حد زمینه
آئومالی ممکن
آنومالی احتمالی
آنومالی قطعی
متسلس
محضات در زون ۳۹

235380
3928710

X=267985
Y=3758834



227968
3927505

232332
3928710

پژوهه اکتشافات رژوشه پیمایی محدوده ۱۲۵۰۰۰ قهورد
سازمان زمین شناسی و اکتشافات معدنی کشور

Scale 1:35000

0 500 1000 1500 2000 2500m



| |
|--|
| موضوع: آنومالی های مربوط به عنصر نیوبیوم |
| توضیح: مهرداد محمدی - الهام چیت گری |
| نقشه شماره پیسنت و چهار ۱۳۸۸ |

227968
3931979

232425
3931979

Legend

| | |
|--|----------------------|
| | سیستم آبراهه |
| | نحوته مینبر اسپزه |
| | نحوته کسانی سبزگیرن |
| | نحوته زیوشه پیمی |
| | شماره نمونه روش پیمی |

| | |
|--|----------------------------|
| | میداره نمونه کسانی سبزگیرن |
| | حد زمینه |
| | آیندها ممکن |
| | آیندها احتمالی |
| | آیندها قدرتی |

232332

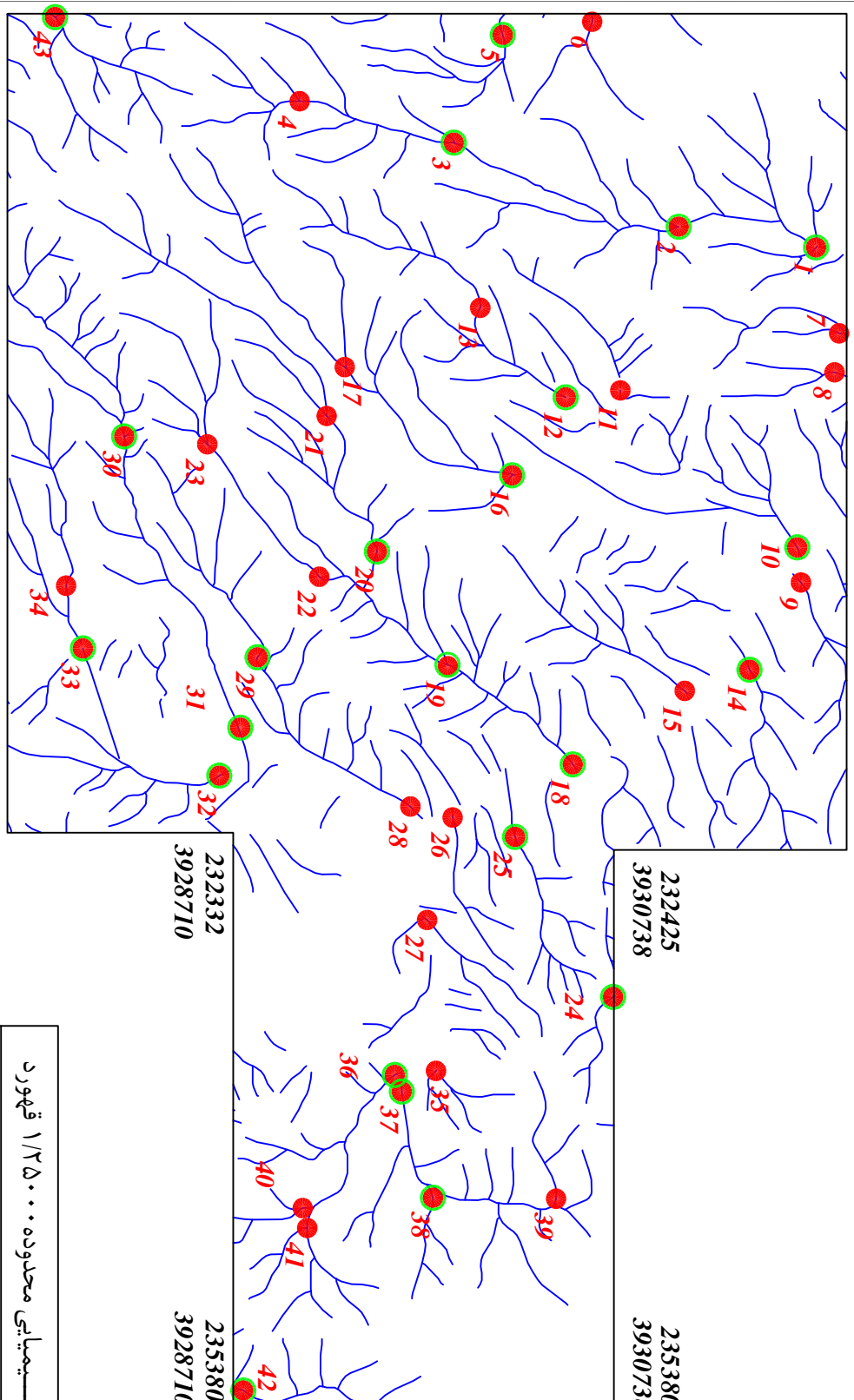
3928710

235380

3928710

X=267985
Y=3758834

محضات در زون ۳۹



227968
3927505

232332
3927505

Scale 1:35000



| |
|---|
| پژوهه اکتشافات ریووش یمیابی محدوده ۱۲۵۰۰۰ قهورد |
| سازمان زمین شناسی و اکتشافات معدنی کشور |
| موضوع: آنومالی های مرتبط به عنصر نیکل |
| توسط: مهرداد محمدی - الهام چیت گری |
| نقشه شماره بیست و پنج |

۱۳۸۸

227968
3931979

232425
3931979

Legend

232425
3930738

235380
3930738

235380
3930738

نحوته مینبر ایزه
نحوته کسانی سبیگین
نحوته زیوش بیمی

سیستم ایراده

شماره نمونه روش پیشی

مکاره نمونه کائی سبیگین

حد زمینه

آئومالی ممکن

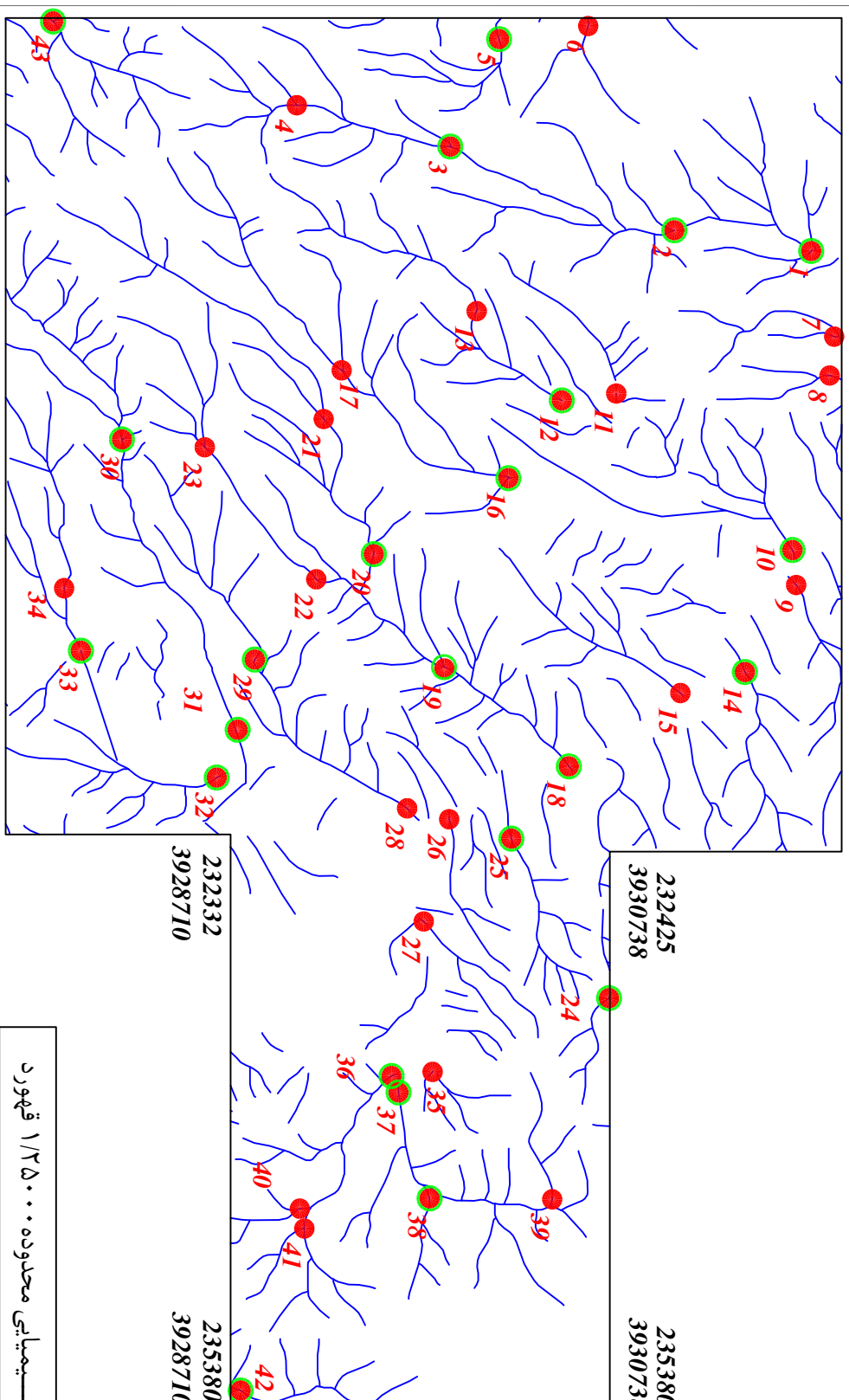
آئومالی احتمالی

آئومالی قدرتی

متیلس

محضات در زون ۳۹

$X=267985$
 $Y=3758834$



227968
3927505

Scale 1:35000

0 500 1000 1500 2000 2500m



232332
3928710

پژوهه اکتشافات رژوشن پیمایی محدوده ۱۲۵۰۰۰ قهورد
سازمان زمین شناسی و اکتشافات معدنی کشور

موضوع: آنومالی های مرتبط به عنصر فسفر

توسط: مهرداد محمدی - الهام چیت گری

نقشه شماره پیسیت و شیش

N

1388

227968
3931979

232425
3931979

Legend

232425
3930738

235380
3930738

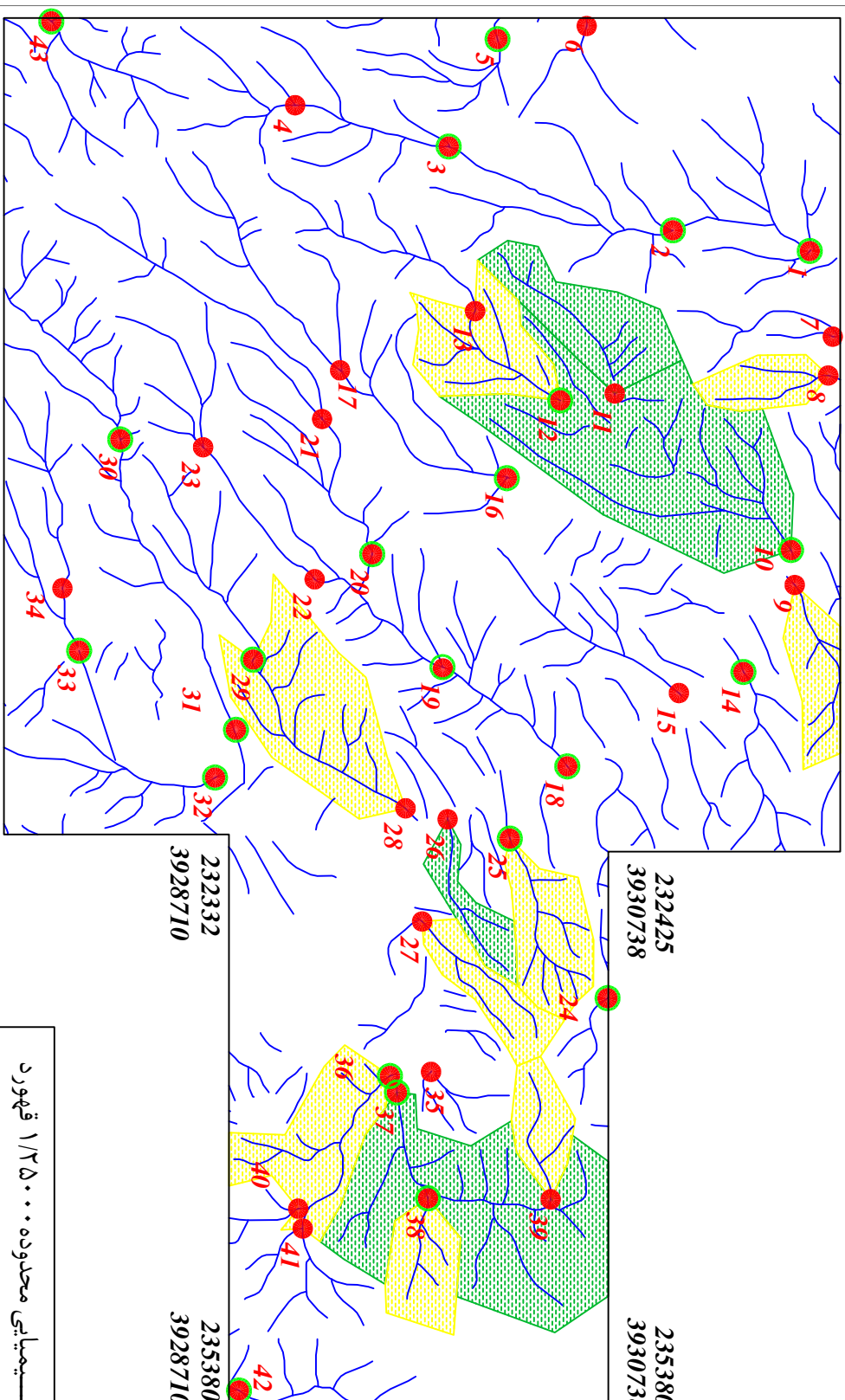
سیستم آبراهه
نحوه مبنابرانه
نحوه کسانی سنجین

نحوه زیوشهایی
شماره نمونه روش پیشی
مکاره نمونه کائی سنجین

حد زمینه
آبومالی ممکن
آبومالی احتمالی
آبومالی قطعی

متسلس
محضات در زون ۳۹

$X=267985$
 $Y=3788834$



227968
3927505

232332
3928710

پژوهه اکتشافات ریووش یمیابی محدوده ۱۲۵۰۰۰ قهورد
سازمان زمین شناسی و اکتشافات معدنی کشور

Scale 1:35000

0 500 1000 1500 2000 2500m



| |
|-------------------------------------|
| موضوع: آنمالمی های مربوط به عصر سرب |
| توسط: مهرداد محمدی - الهام چیت گری |
| نقشه شماره بیست و هفت |
| ۱۳۸۸ |

227968
3931979

232425
3931979

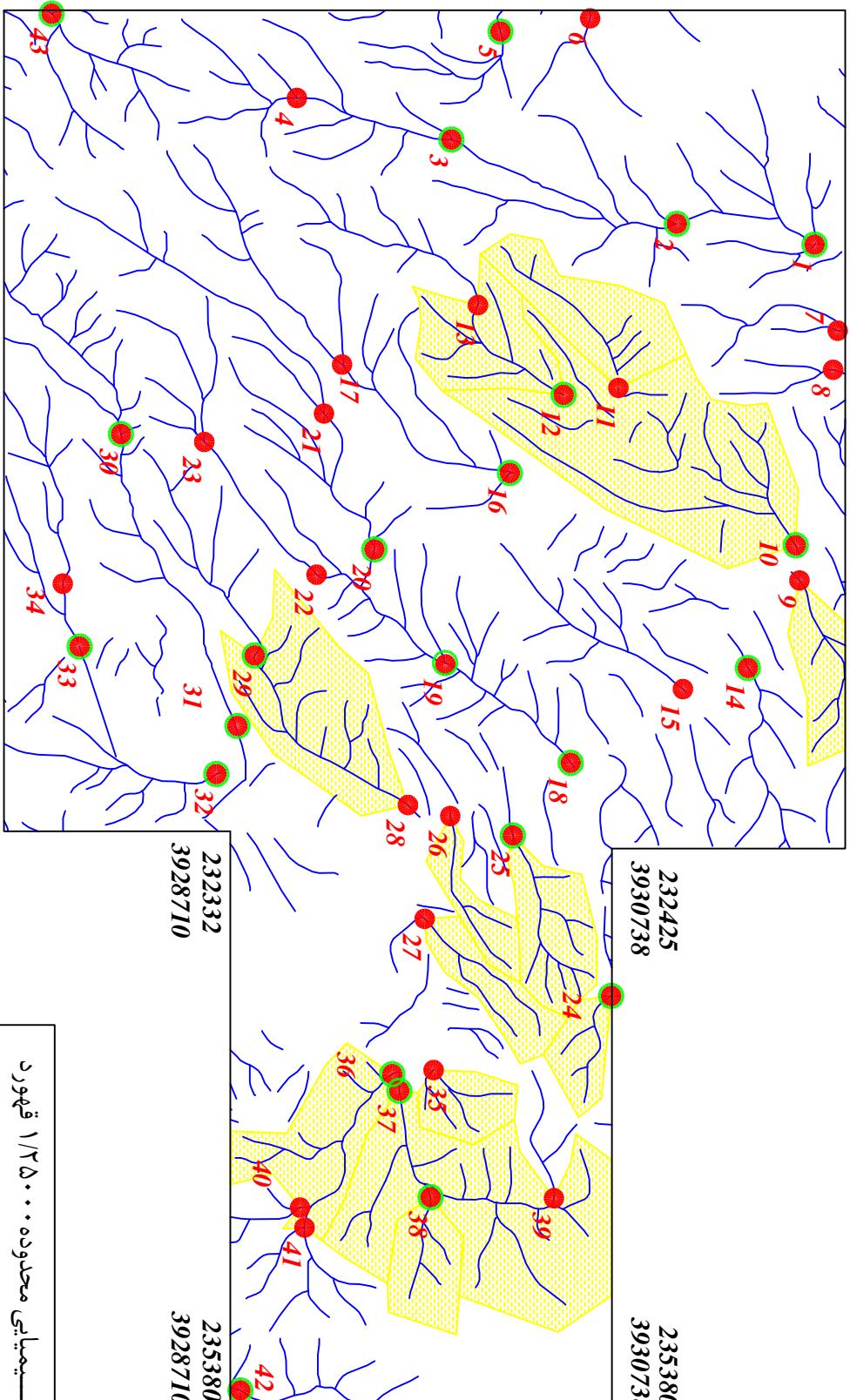
235380
3930738

232332
3928710

235380
3928710

Legend

| | |
|--|-------------------------|
| | سیستم آبراهه |
| | نحوته مینرالزه |
| | نحوته کانی سبکین |
| | نحوته زیوشهایی |
| | شماره نمونه روش پیشی |
| | مuarde نمونه کائی سبکین |
| | حد زمینه |
| | آبومالی ممکن |
| | آبومالی احتمالی |
| | آزمایی قدرتی |
| | متسلس |
| | محضات در زون ۳۹ |



227968
3927505

232332
3927505

Scale 1:35000

0 500 1000 1500 2000 2500m



| |
|---|
| پژوهه اکتشافات رژوشن - یمیابی محدوده ۱۲۵۰۰۰ قهورد |
| سازمان زمین شناسی و اکتشافات معدنی کشور |
| موضوع: آنومالی های مربوط به عنصر روی بدیوم |
| توسط: مهرداد محمدی - الهام چیت گری |
| نقشه شماره بیست و هشت |

۱۳۸۸

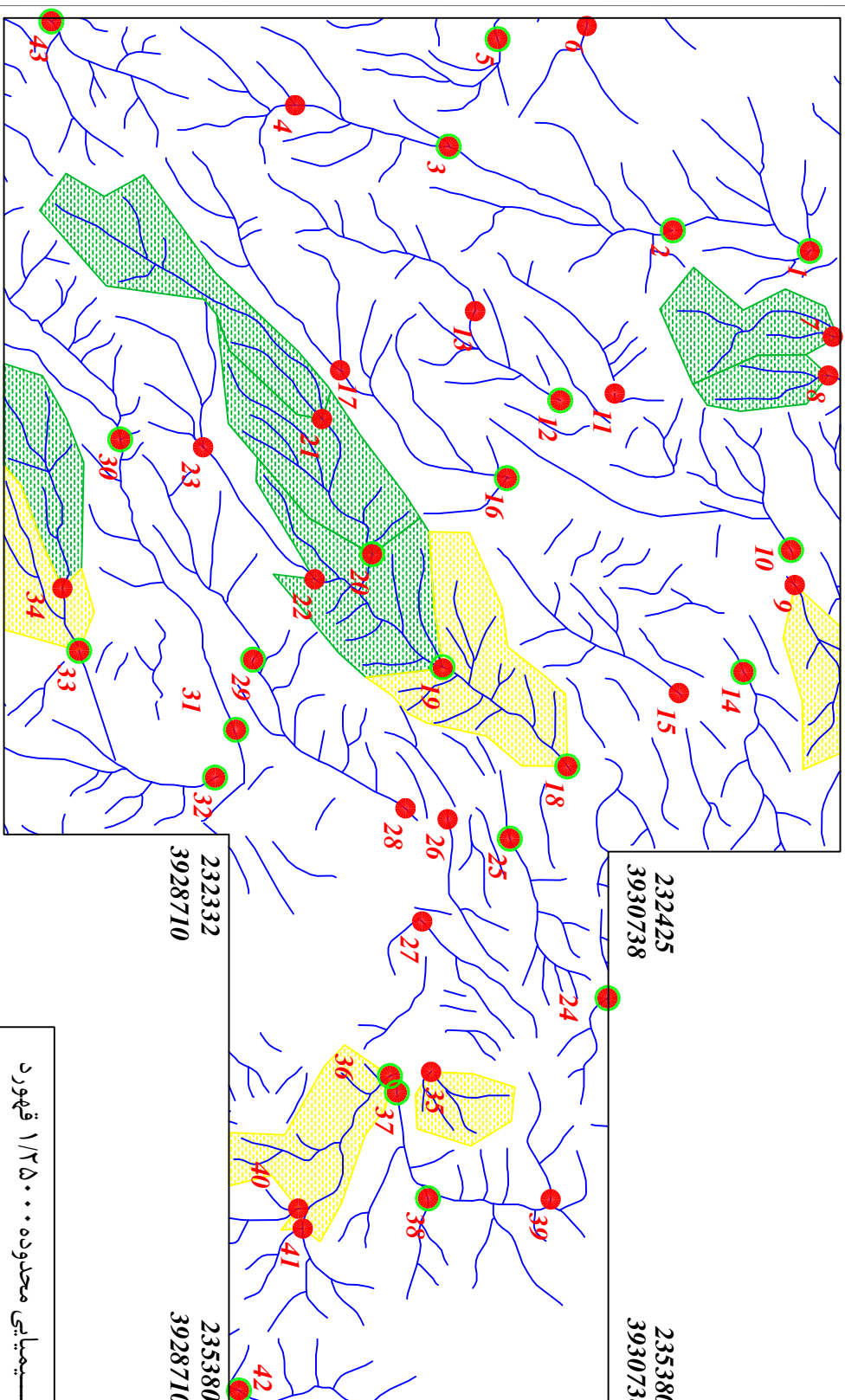
227968
3931979

232425
3931979

Legend

| | |
|--|----------------------|
| | سیستم آبراهه |
| | نحوته مینه‌سازی |
| | نحوته کانی‌سنجی |
| | نحوته زیوشه‌بیمی |
| | شماره نمونه روش‌بیمی |

| | |
|--|-----------------------|
| | مکاره نمونه کانی‌سنجی |
| | حد زمینه |
| | آزمایش ممکن |
| | آزمایش احتمالی |
| | آزمایش قطعی |



227968
3927505

232332
3927505

Scale 1:35000

0 500 1000 1500 2000 2500m



پژوهه اکتشافات رژوشن پیمایی محدوده ۱۲۵۰۰۰ قهورد
سازمان زمین شناسی و اکتشافات معدنی کشور

موضوع: آنممالی های مربوط به عنصر گوگرد
توسط: مهرداد محمدی - الهام چیت گری
نقشه شماره پیسنت و زه

متاسلس
محضات در زون ۳۹

$X=267985$
 $Y=3758834$

پیش‌نیا
آنممالی های مربوط به عنصر گوگرد
توضیح: مهرداد محمدی - الهام چیت گری

سازمان زمین شناسی و اکتشافات معدنی کشور

موضوع: آنممالی های مربوط به عنصر گوگرد

توضیح: مهرداد محمدی - الهام چیت گری

نقشه شماره پیسنت و زه

پیش‌نیا
آنممالی های مربوط به عنصر گوگرد
توضیح: مهرداد محمدی - الهام چیت گری

سازمان زمین شناسی و اکتشافات معدنی کشور

موضوع: آنممالی های مربوط به عنصر گوگرد

توضیح: مهرداد محمدی - الهام چیت گری

نقشه شماره پیسنت و زه

227968
3931979

232425
3931979

232425
3930738

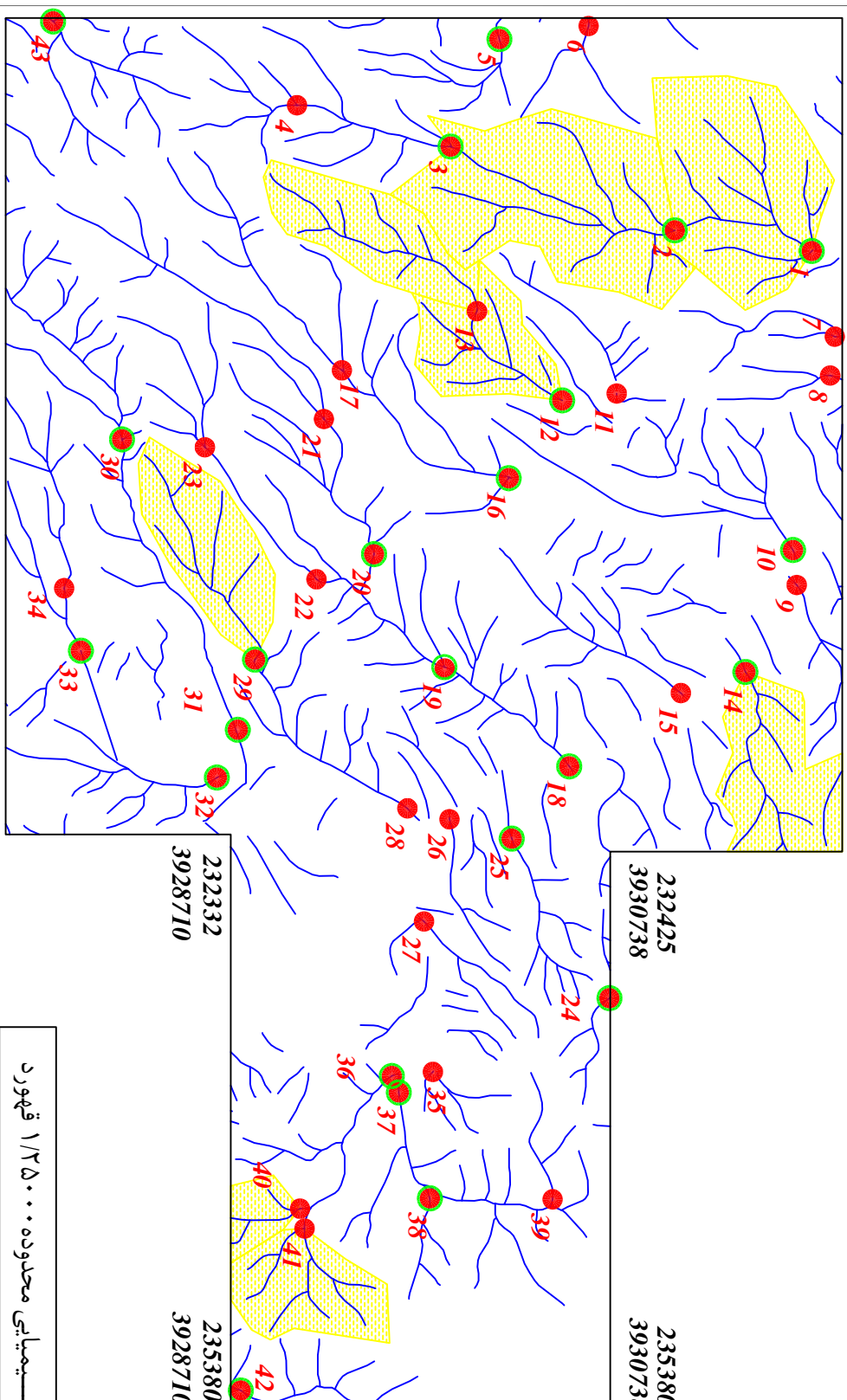
235380
3930738

235380
3928710

235380
3928710

Legend

| | |
|--|----------------------------|
| | سیستم آبراهه |
| | نحوته مینبر اسپزه |
| | نحوته کسانی سبزگیرن |
| | نحوته زیوشه پیمی |
| | شماره نمونه روش پیمی |
| | میداره نمونه کسانی سبزگیرن |
| | حد زمینه |
| | آیندها ممکن |
| | آینده احتمالی |
| | آیندها قدرتی |
| | متسلس |
| | محضات در زون ۳۹ |



227968
3927505

Scale 1:35000

0 500 1000 1500 2000 2500m



232332
3928710

235380
3928710

| |
|---|
| پژوهه اکتشافات ریووش پیمایی محدوده ۱۲۵۰۰۰ قهورد |
| سازمان زمین شناسی و اکتشافات معدنی کشور |
| موضوع: آنومالی های مربوط به عنصر آنتیموان |
| توسط: مهرداد موحدی - الهام چیت گری |
| نقشه شماره سی ۱۳۸۸ |

227968
3931979

232425
3931979

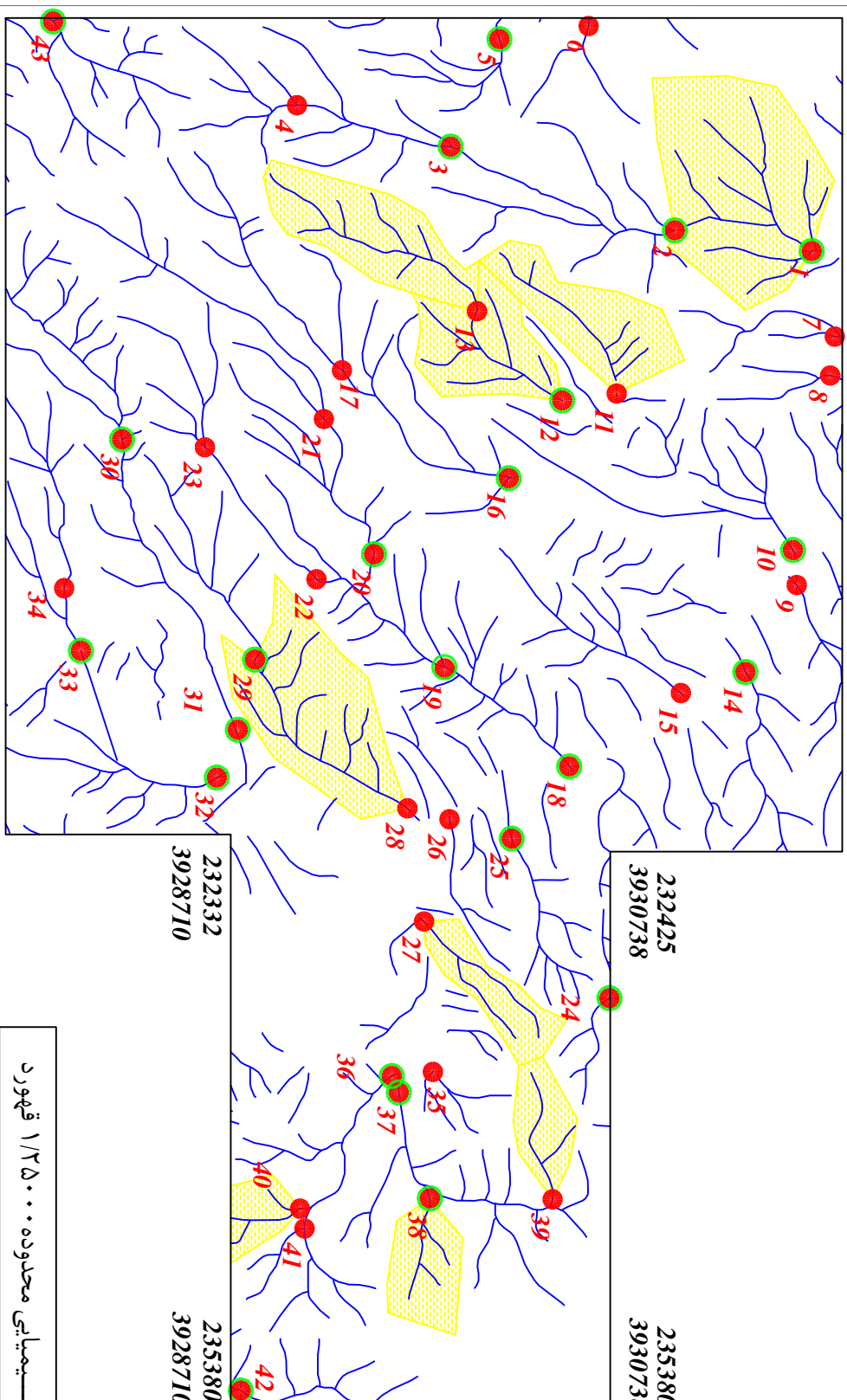
Legend

| | |
|--|----------------------|
| | سیستم آبراهه |
| | نحوته مینبر اسپزه |
| | نحوته کسانی سبزگیرن |
| | نحوته زیوشه پیمی |
| | شماره نمونه روش پیمی |

| | |
|--|-----------------|
| | مکانهای مسکن |
| | حد زمینه |
| | آبومالی احتمالی |
| | آبومالی قدرتی |
| | مقیاس |

X=267985
Y=3758834

محضات در زون ۳۹



227968
3927505

232332
3928710

پژوهه اکتشافات ریووش پیمایی محدوده ۱۲۵۰۰۰ قهورد
سازمان زمین شناسی و اکتشافات معدنی کشور

Scale 1:35000

N

0 500 1000 1500 2000 2500m

توسط: مهرداد موحدی - الهام چیت گری
نقشه شماره سی و بیک ۱۳۸۸

227968
3931979

232425
3931979

Legend

232425
3930738

235380
3930738

سیستم آبراهه
نحوه مینبر اسپزه

نحوه کسانی سبزیگان
نحوه زیوشهای سبزی

144

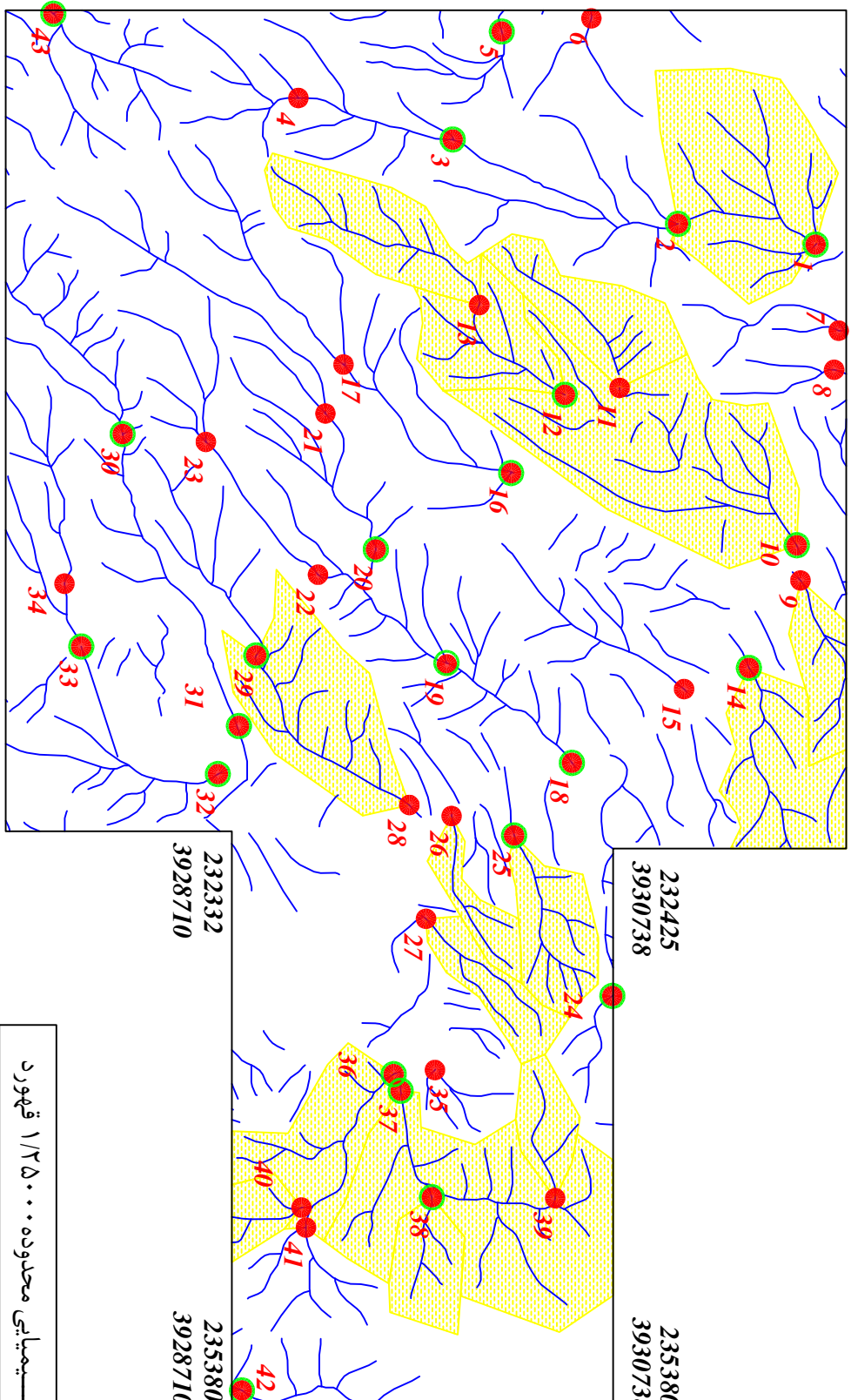
شماره نمونه روش پیشی
مکاره نمونه کائی سبزیگان

حد زمینه
آئومالی ممکن

آئومالی احتمالی
آئومالی قدرتی

143H

متسلس
محضات در زون ۳۹



227968
3927505

232332
3928710

پژوهه اکتشافات ریووش پیمایی محدوده ۱۲۵۰۰۰ قهورد

سازمان زمین شناسی و اکتشافات معدنی کشور

موضوع: آنومالی های مربوط به عنصر فلنج

توسط: مهرداد موحدی - الهام چیت گری

نقشه شماره سی و دو
۱۳۸۸

Scale 1:35000

0 500 1000 1500 2000 2500m



227968
3931979

232425
3931979

Legend

233425
3930738

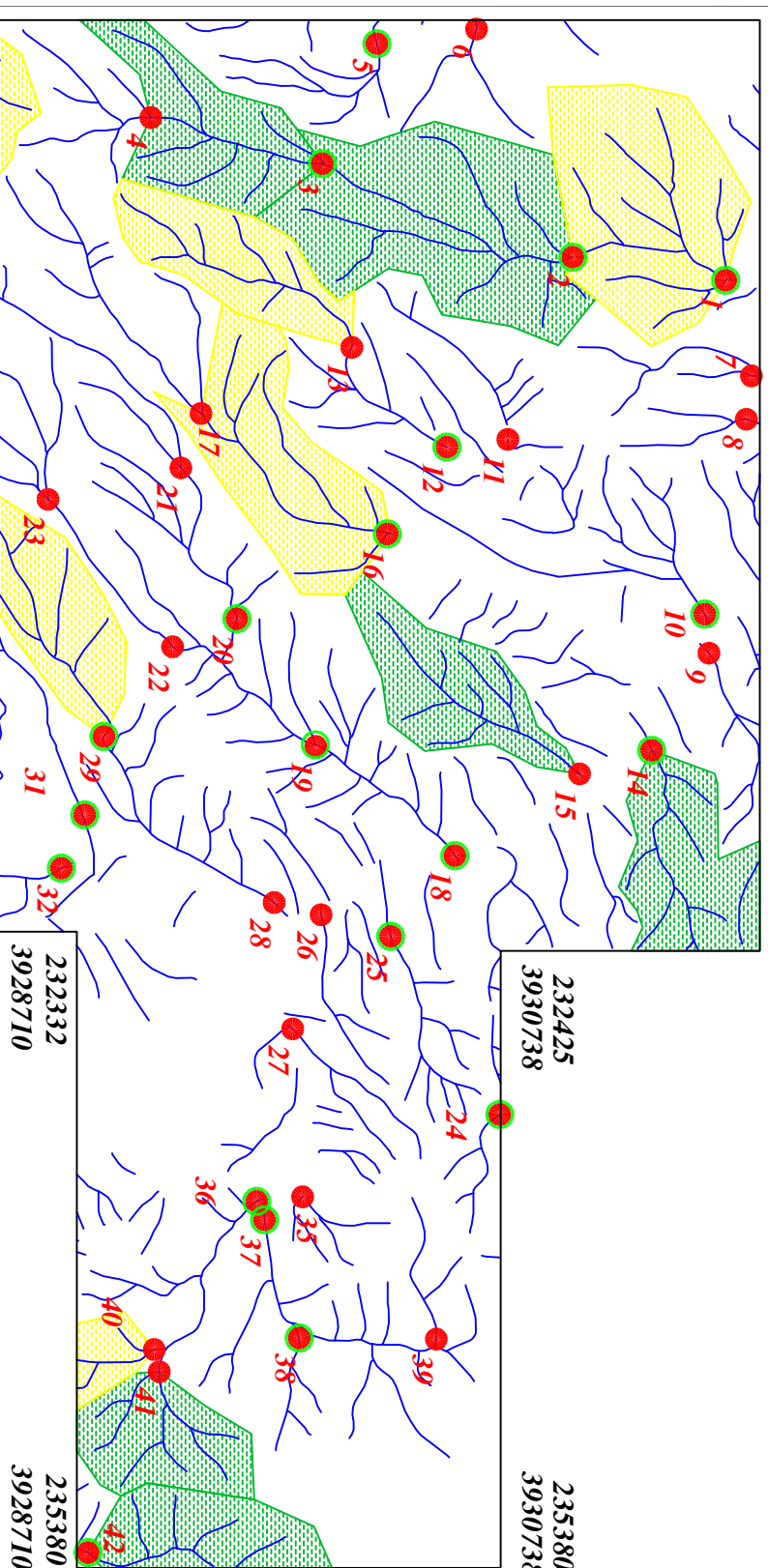
235380
3930738

نحوته مینبر ابراهیم
نحوته کسانی سبزگیرن
نحوته زیوشه پیغمبر
نمایه نمونه روش پیشی
نمایه نمونه کائی سیمین
حد زمینه
آئومالی ممکن
آئومالی احتمالی
آئومالی قطعی

متصل
محضات در زون ۳۹

143H

$X=267985$
 $Y=3758834$



227968
3931979

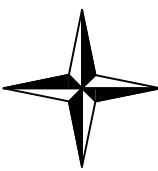
232332
3928710

سازمان زمین شناسی و اکتشافات معدنی کشور
موضوع: آنومالی های مربوط به عنصر استرانسیوم

توسط: مهرداد موحدی - الهام چیت گری

Scale 1:35000

0 500 1000 1500 2000 2500m



نقشه شماره سی و سده ۱۳۸۸

227968
3931979

232425
3931979

Legend

232425
3930738

235380
3930738

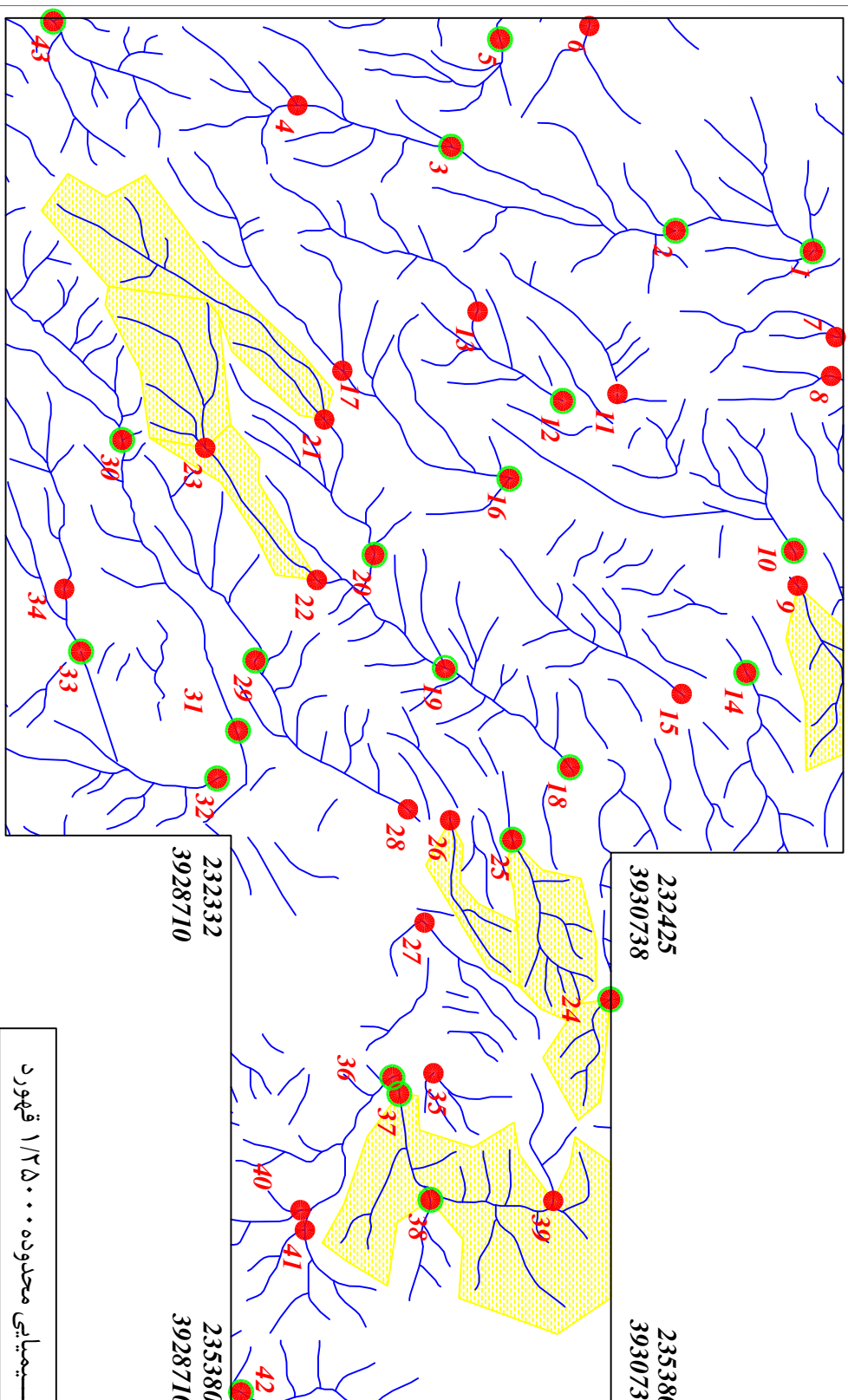
نحویه مینبر ابراهید
نحویه کسانی سبزیگیان
نحویه زیوشه بیمه
نماده نموزنه روش پیشی
نماده نموزنه کائی سبزیگیان
حد زمینه
آئومالی ممکن
آئومالی احتمالی
آئومالی قطعی
متپلساں
محضات در زون ۳۹

143H

144

143H

144



227968
3927505

232332
3928710

پژوهه اکتشافات ریووش پیمایی محدوده ۱۲۵۰۰۰ قهورد
سازمان زمین شناسی و اکتشافات معدنی کشور

موضوع: آنومالی های مربوط به عذرسر توری. سوم
توسط: مهرداد محمدی - الهام چیت گری

Scale 1:35000

0 500 1000 1500 2000 2500m



| |
|---|
| نقشه شماره سی و چهار |
| ۱۳۸۸ |
| توسط: مهرداد محمدی - الهام چیت گری |
| موضوع: آنومالی های مربوط به عذرسر توری. سوم |

227968
3931979

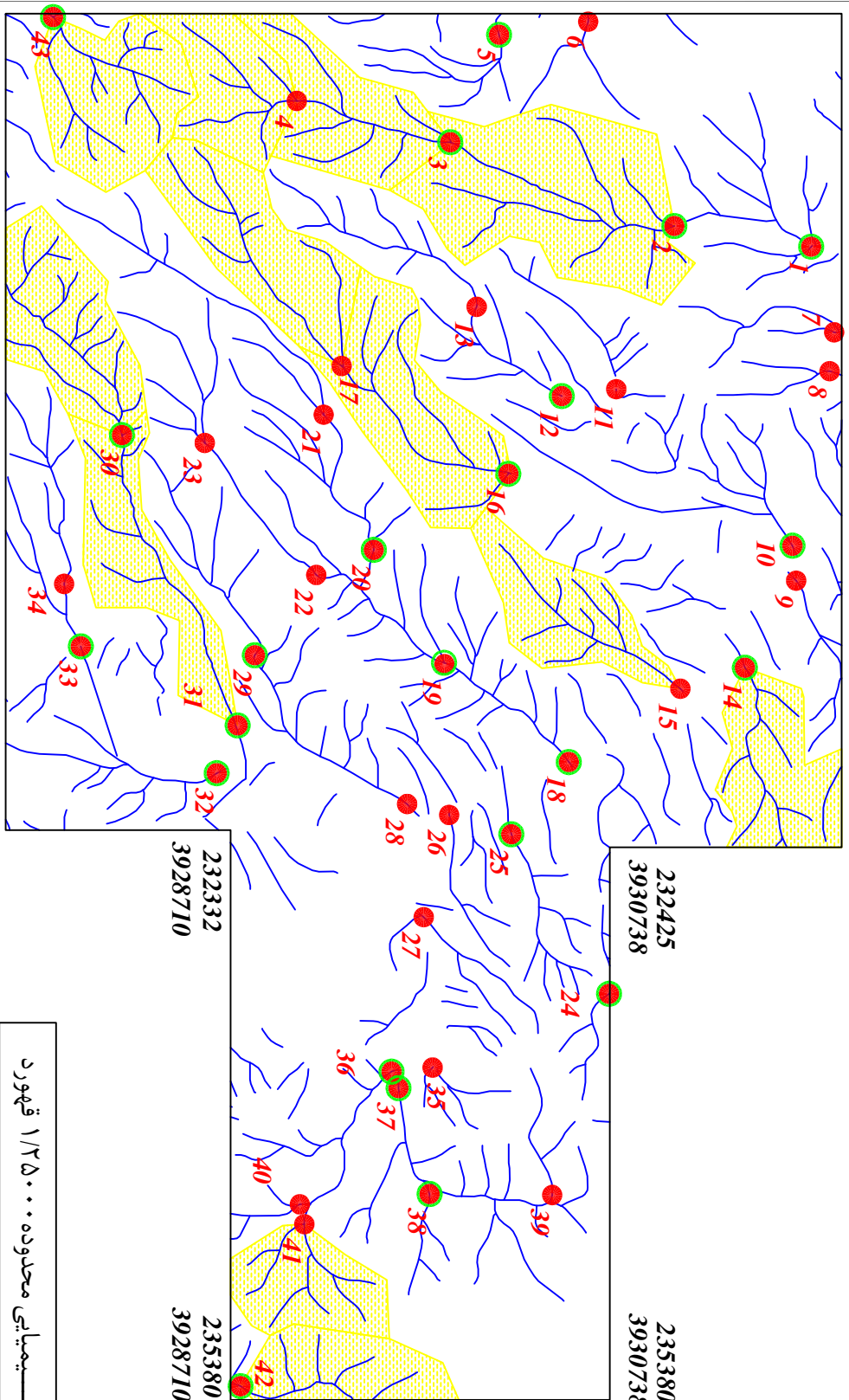
232425
3931979

23340
3930738

235380
3930738

Legend

| | |
|--|---------------------------|
| | سیستم آبراهه |
| | نحوته مینبر اسپزه |
| | نحوته کسانی سبزگیرن |
| | نحوته زیوش پیشی |
| | شماره نمونه روش پیشی |
| | مغاره نمونه کسانی سبزگیرن |
| | حد زمینه |
| | آیندها ممکن |
| | آیندها احتمالی |
| | آیندها قدرتی |
| | متصل |
| | محضات در زون ۳۹ |



227968
3927505

232332
3928710

235380
3928710

Scale 1:35000

0 500 1000 1500 2000 2500m



| |
|---|
| پژوهه اکتشافات رژوشن - پیمایی محدوده ۱۲۵۰۰۰ قهورد |
| سازمان زمین شناسی و اکتشافات معدنی کشور |
| موضوع: آنومسالی‌های مربوط به عنصر تیتانیوم |
| توسط: مهرداد موحدی - الهام چیت گری |

227968
3931979

232425
3931979

Legend

232425
3930738

235380
3930738

نحوته مینبر ایزه

نحوته کانی سبکین

نحوته زیوش پیمی

شماره نمونه روش پیمی

شماره نمونه کانی سبکین

حد زمینه

آئومالی ممکن

آئومالی احتمالی

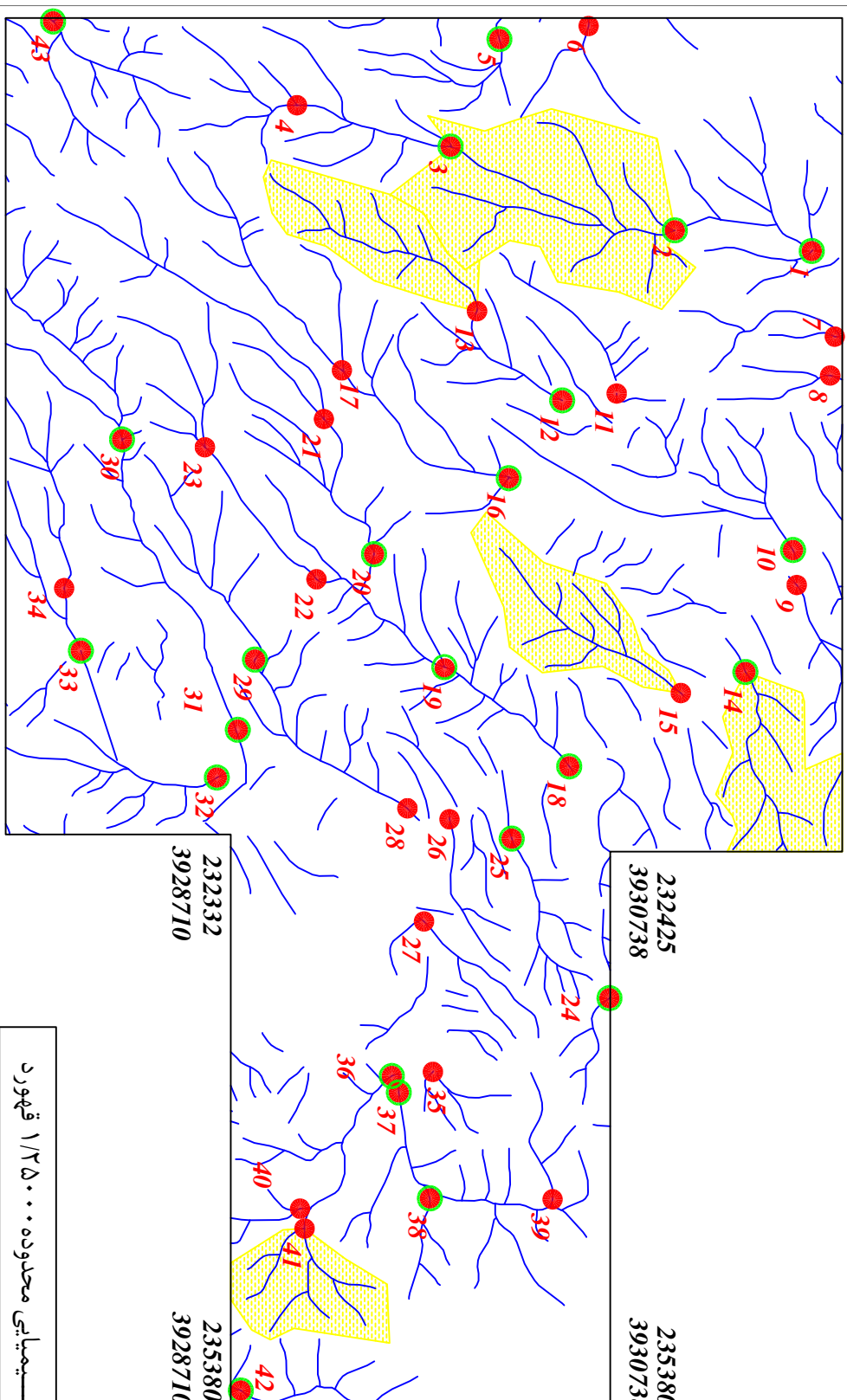
آئومالی قطعی

متسلس

محضات در زون ۳۹

$X=267985$

$Y=3758834$



227968
3927505

232332
3927505

N

Scale 1:35000

0 500 1000 1500 2000 2500m

پژوهه اکتشافات ریووش پیمایی محدوده ۱۲۵۰۰۰ قهورد
سازمان زمین شناسی و اکتشافات معدنی کشور

موضوع: آنومالی های مربوط به عذرسر تالیوم
توسط: مهرداد محمدی - الهام چیت گری

نقشه شماره رسی و ششش

۱۳۸۸

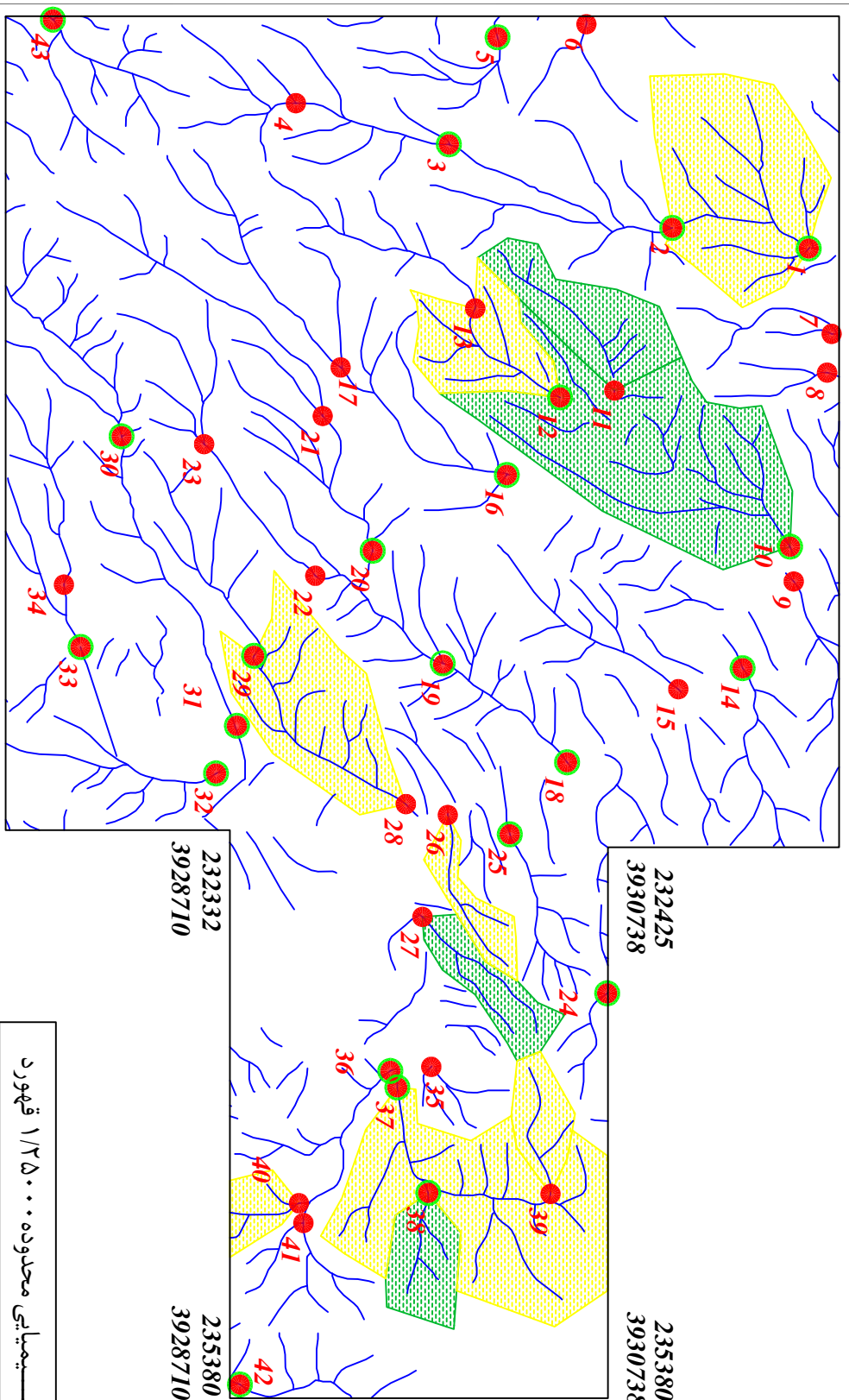
227968
3931979

232425
3931979

Legend

| | |
|--|----------------------|
| | سیستم آبراهه |
| | نحوته مینبر اسپزه |
| | نحوته کسانی سبزگین |
| | نحوته زیوشه پیشی |
| | شماره نمونه روش پیشی |
| | نمایه کسانی سبزگین |

| | |
|--|--------------------|
| | نمایه کسانی سبزگین |



227968
3931979

232332
3928710

پژوهه اکتشافات ریووش پیمایی محدوده ۱۲۵۰۰۰ قهورد
سازمان زمین شناسی و اکتشافات معدنی کشور

موضوع: آنومالی های مربوط به عنصر اورانیوم
توضیح: مهرداد محمدی - الهام چیت گری

Scale 1:35000

0 500 1000 1500 2000 2500m



نقشه شماره سی و هفت
۱۳۸۸

227968
3931979

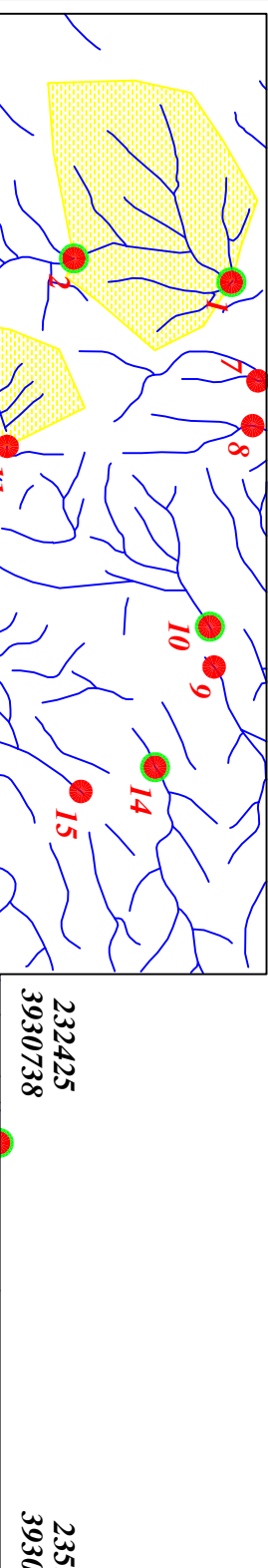
232425
3931979

235380
3930738

Legend

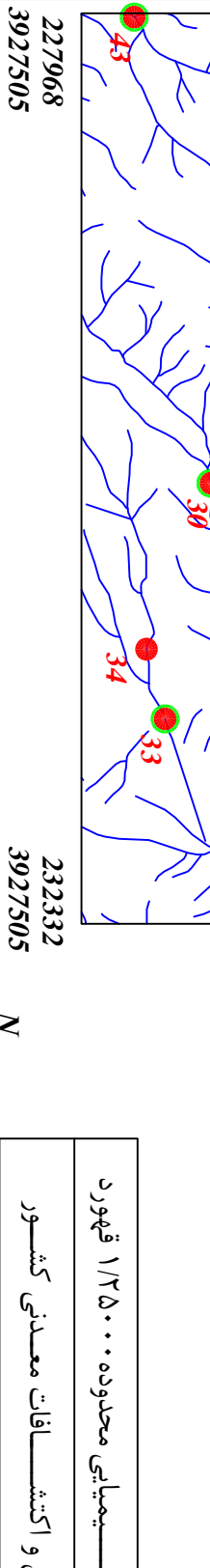
| | |
|--|----------------------|
| | سیستم آبراهه |
| | نحوته مینبر اسپزه |
| | نحوته کسانی سبزگین |
| | نحوته زیوش پیشی |
| | شماره نمونه روش پیشی |

232332
3928710



235380
3928710

| | |
|-----------------------|-----------------|
| | آزمایشگاه |
| | آزمایشگاه |
| | آزمایشگاه |
| | حد زمینه |
| | آئومال ممکن |
| | آئومال احتمالی |
| | آزمایش قدرتی |
| | متغیر |
| X=267985 Y=3758834 | محضات در زون ۳۹ |



227968
3927505

Scale 1:35000

232332
3927505

0 500 1000 1500 2000 2500m



| |
|---|
| پژوهه اکتشافات ریووش پیمایی محدوده ۱۲۵۰۰۰ قهورد |
| سازمان زمین شناسی و اکتشافات معدنی کشور |
| موضوع: آنومالی های مربوط به عنصر و اسادیوم |
| توسط: مهرداد محمدی - الهام چیت گری |
| نقشه شماره سی و هشت |

۱۳۸۸

227968
3931979

232425
3931979

232425
3930738

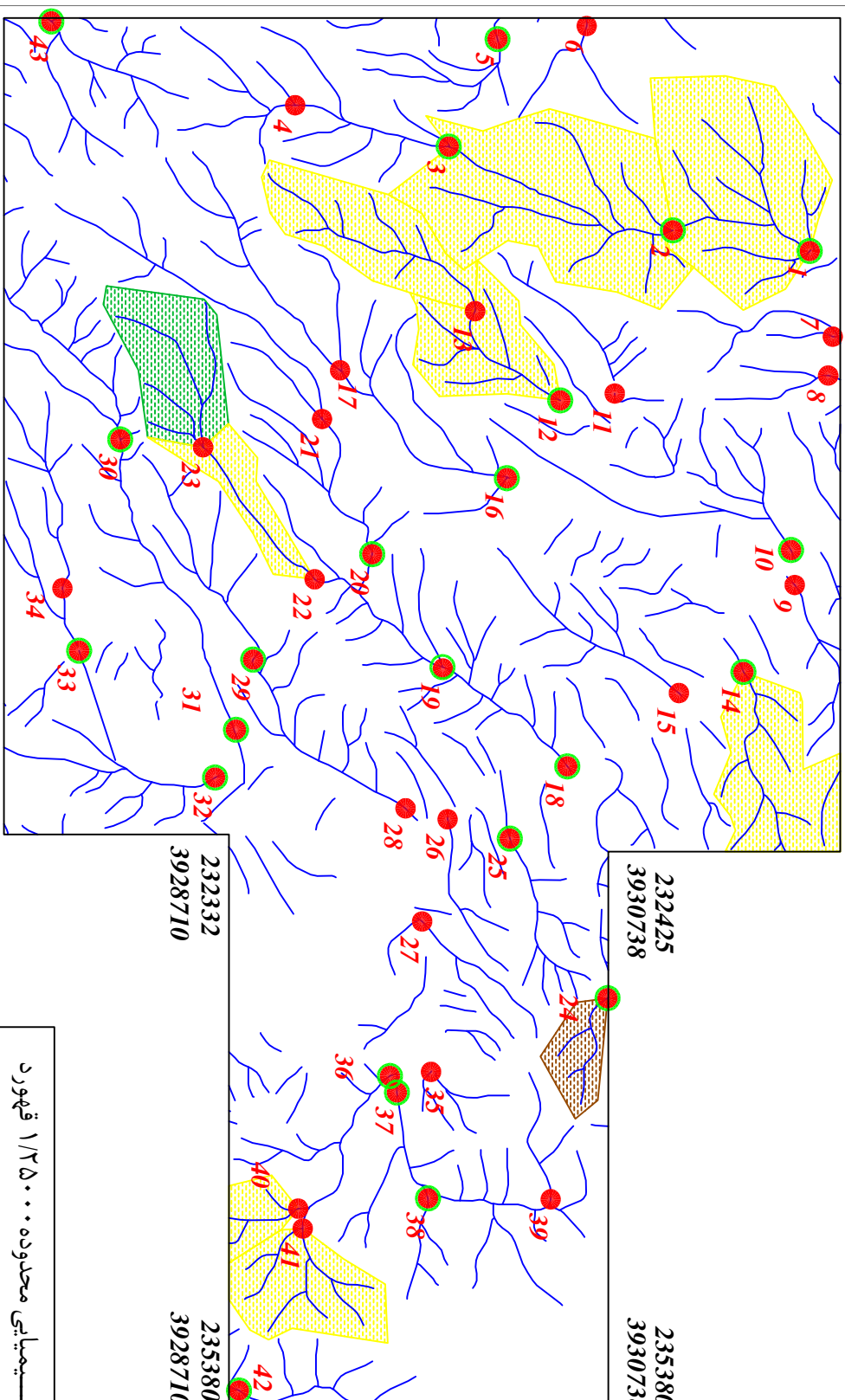
235380
3930738

235380
3928710

235380
3928710

Legend

| | |
|--|--------------------------|
| | سیستم آبراهه |
| | نحوته مینبر اسپزه |
| | نحوته کسانی سبزگیرن |
| | نحوته زیوشه پیمی |
| | شماره نوزونه رژوشن پیمی |
| | میداره نوزونه کائی سیمین |
| | حد زمینه |
| | آئومالی ممکن |
| | آئومالی احتمالی |
| | آئومالی قطعی |
| | متصل |
| | محضات در زون ۳۹ |



227968
3927505

232332
3928710

Scale 1:35000

0 500 1000 1500 2000 2500m



N

| |
|---|
| پروژه اکتشافات رژوشن پیمایی محدوده ۱۲۵۰۰۰ قهورد |
| سازمان زمین شناسی و اکتشافات معدنی کشور |
| موضوع: آنممالی های مربوط به عذرصر تنگستان |
| توسط: مهرداد موحدی - الهام چیت گری |

نقشه شماره سی و نه
۱۳۸۸

227968
3931979

232425
3931979

Legend

232425
3930738

235380
3930738

نحوته مینبر ایزه

نحوته کسانی سبکین

نحوته زیوش پیمی

سیستم آبراهه

شماره نمونه روش پیمی

نمایه کسانی سبکین

نمایه نمونه کسانی سبکین

حد زمینه

آئومالی ممکن

آئومالی احتمالی

آئومالی قدرتی

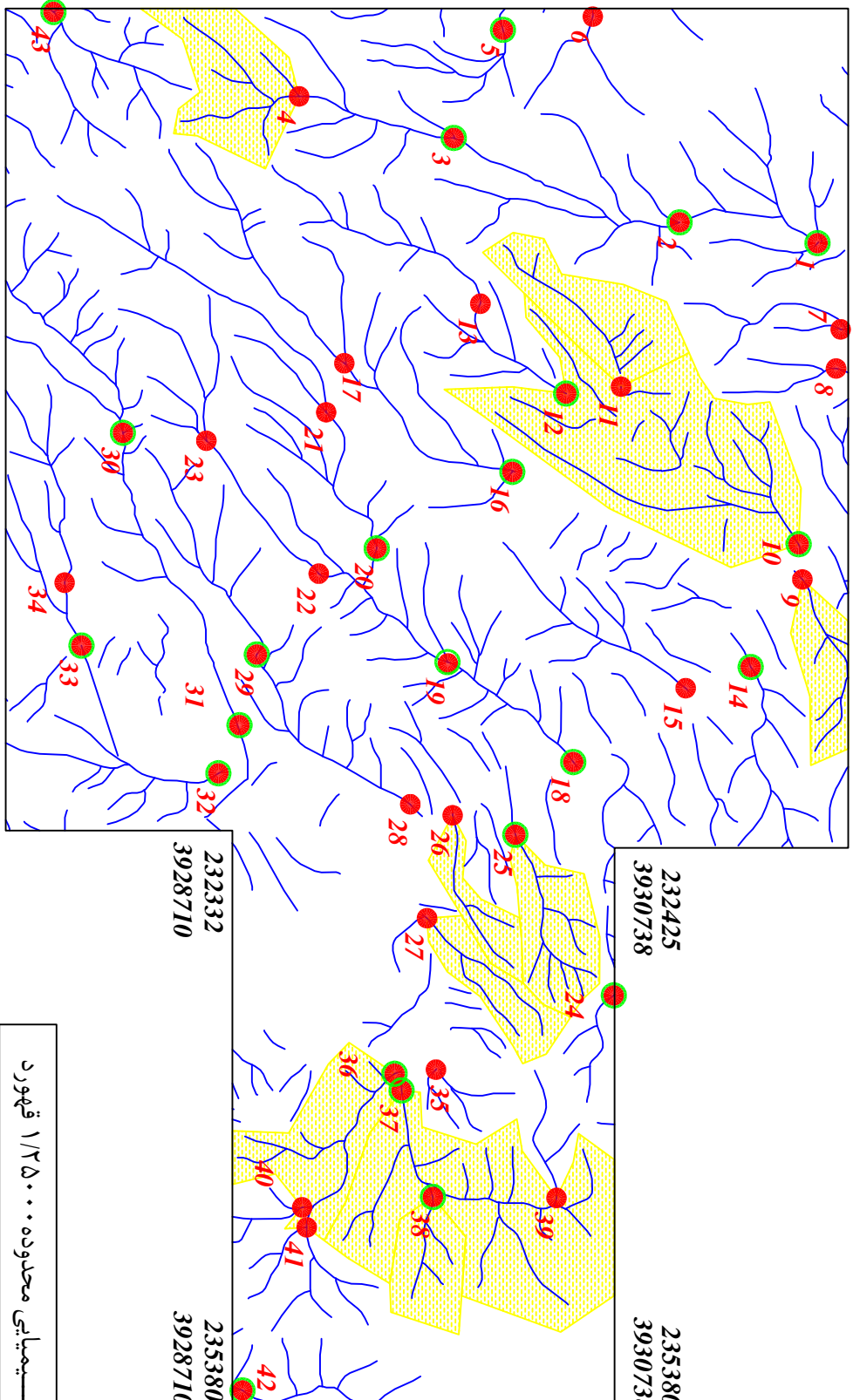
I43H

متسلس

محضات در زون ۳۹

I44

X=267985
Y=3758834



227968
3927505

232332
3928710

پژوهه اکتشافات رژوشن پیمایی محدوده ۱۲۵۰۰۰ قهورد
سازمان زمین شناسی و اکتشافات معدنی کشور

موضوع: آنومالی های مربوط به عنصر ایتریوم
توسط: مهرداد محمدی - الهام چیت گری

Scale 1:35000

0 500 1000 1500 2000 2500m



235380
3928710

نقشه شماره چهل
۱۳۸۸

227968
3931979

232425
3931979

232425
3930738

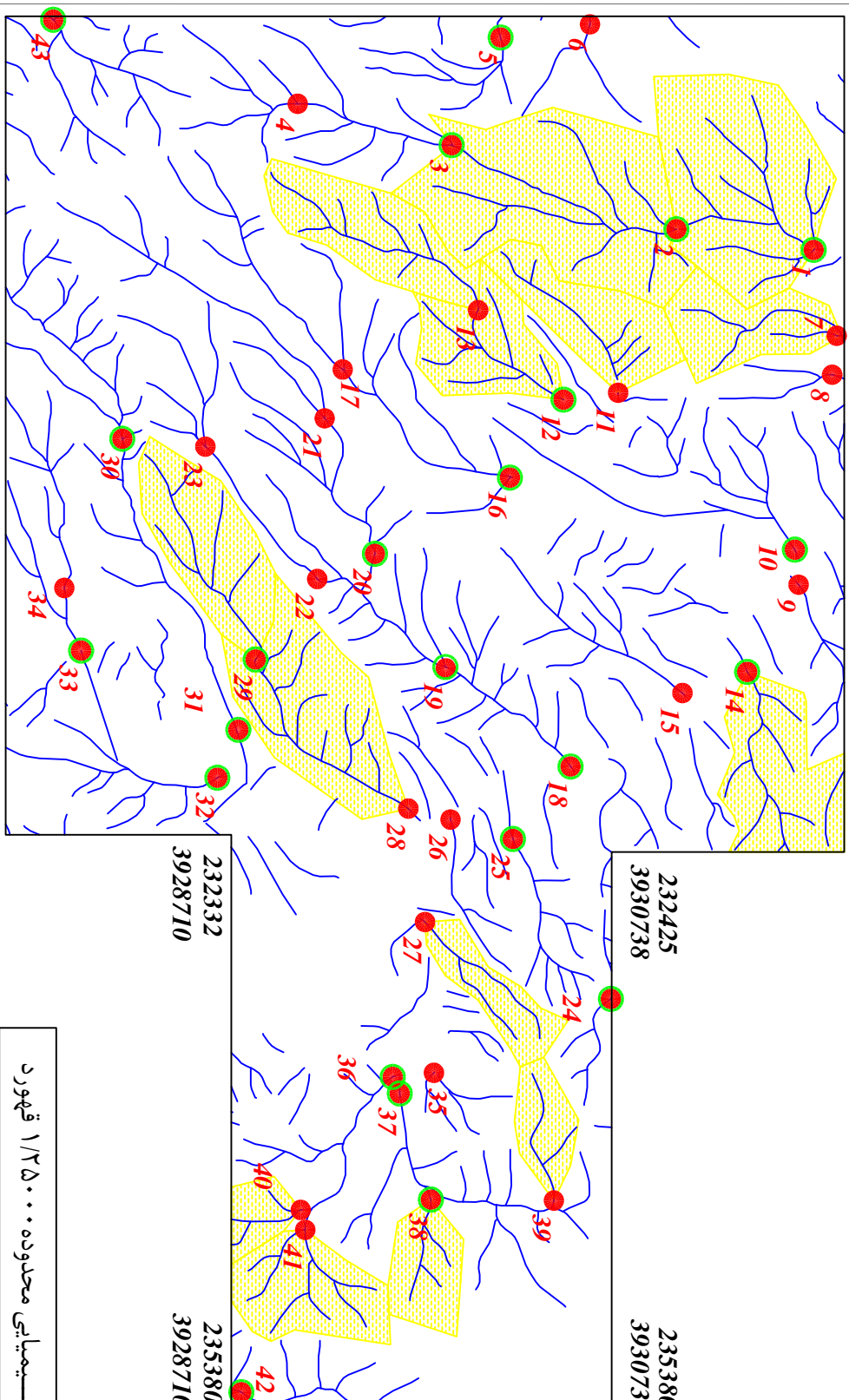
235380
3930738

235380
3928710

235380
3928710

Legend

| | |
|--|----------------------------|
| | سیستم آبراهه |
| | نحوته مینبر اسپزه |
| | نحوته کسانی سبزگیرن |
| | نحوته زیوشه پیمی |
| | شماره نمونه روش پیمی |
| | میداره نمونه کسانی سبزگیرن |
| | حد زمینه |
| | آیندها ممکن |
| | آینده احتمالی |
| | آیندها قدرتی |
| | متغیر |
| | محضات در زون ۳۹ |



227968
3927505

232332
3928710

Scale 1:35000

232332
3928710

N

0 500 1000 1500 2000 2500m

پژوهه اکتشافات ریووش پیمایی محدوده ۱۲۵۰۰۰ قهورد

سازمان زمین شناسی و اکتشافات معدنی کشور
موضوع: آنومالی های مربوط به عنصر زیرکونیوم
توسط: مهرداد موحدی - الهام چیت گری

نقشه شماره چهل و یک ۱۳۸۸

227968
3931979

232425
3931979

Legend

232425
3930738

235380
3930738

متصل

مختصات در زون ۳۹

$X=267985$
 $Y=3758834$

منطقه انتقالی

آبمایلی

آبمایلی ممکن

حد زمینه

آبمایلی احتمالی

آنومالی قطبی

آبمایلی

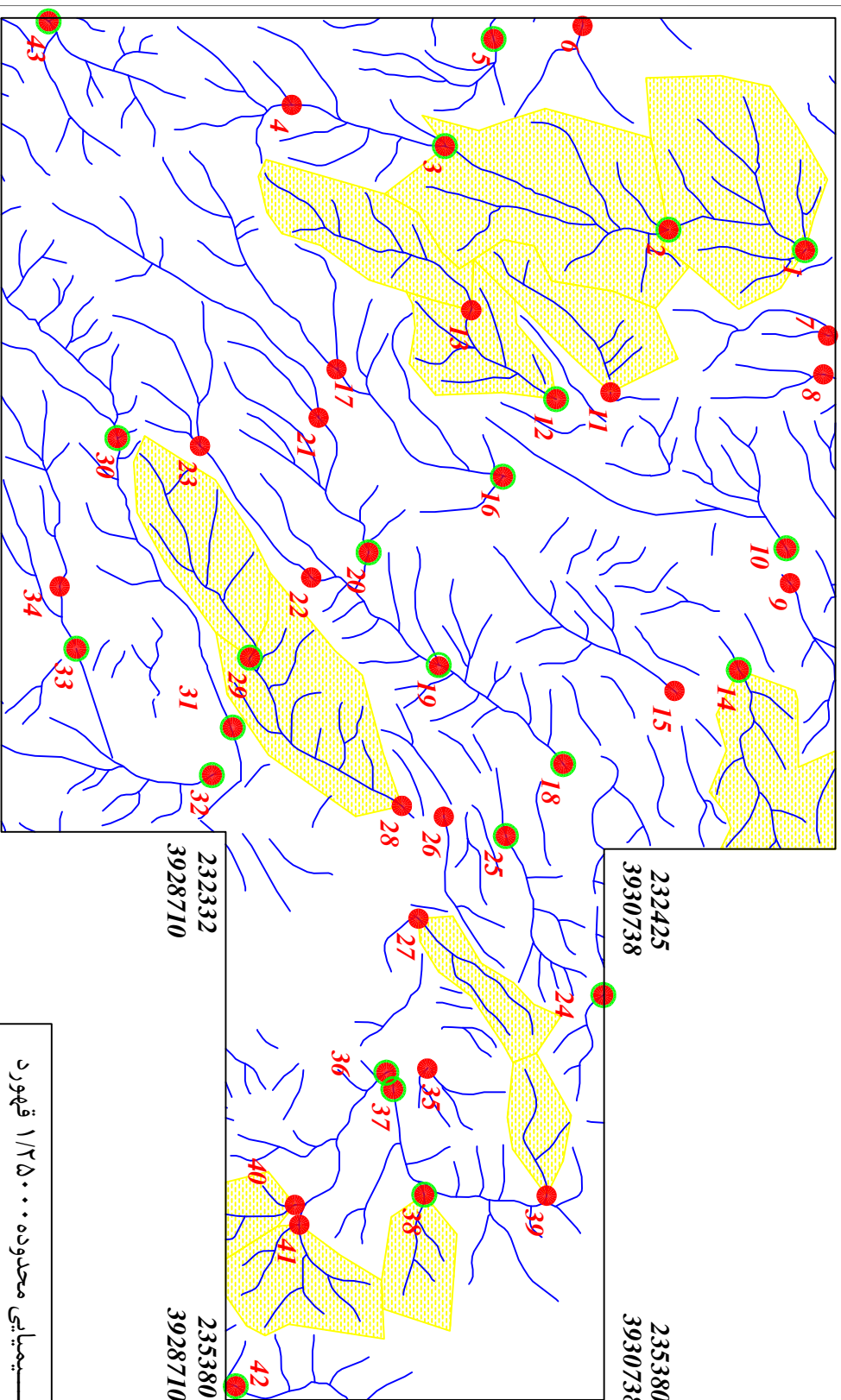
شماره نمونه روش پیشی

نحوه کاری سنجین

نحوه کاری سنجنی

سپاهیم ابراهد

نحوه مینرال‌بزه



227968
3927505

232332
3928710

پژوهه اکتشافات روش پیمایی محدوده ۱۲۵۰۰۰ قهورد
سازمان زمین شناسی و اکتشافات معدنی کشور

Scale 1:35000

موضوع: آنممالی های مربوط به عنصر روی

توسط: مهرداد موحدی - الهام چیت گری

نقشه شماره چهل و دو
۱۳۸۸



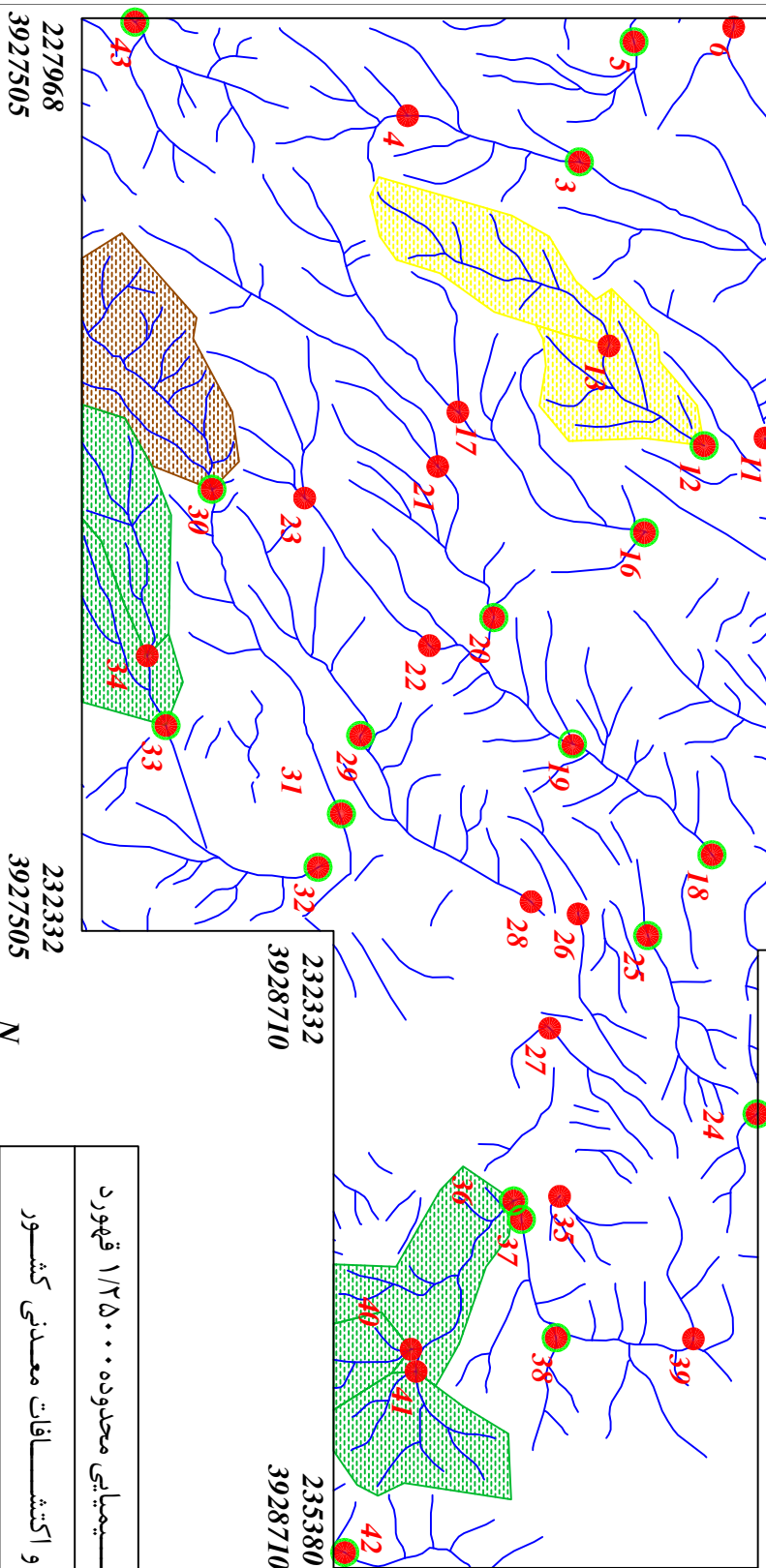
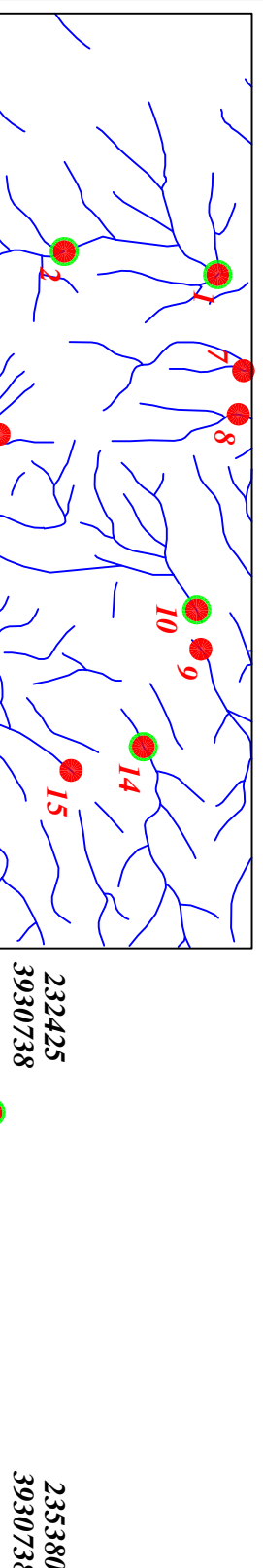
0 500 1000 1500 2000 2500m

227968
3931979

232425
3931979

Legend

| | |
|---------------------------|------------------------|
| | سیستم آبراهه |
| | نحوه مینرالزه |
| | نحوه کانی سبکین |
| | نحوه زیوپیگیمی |
| | شماره نمونه روش پیشی |
| | مکاره نمونه کائی سبکین |
| | حد زمینه |
| | آبومالی ممکن |
| | آبومالی احتمالی |
| | آزمایی قدرتی |
| | مترسل |
| $X=267985$ $Y=3758834$ | محضات در زون ۳۹ |



227968
3927505

232332
3927505

Scale 1:35000

0 500 1000 1500 2000 2500m



| |
|---|
| پژوهه اکتشافات رژوشن - یمیابی محدوده ۱۲۵۰۰۰ قهورد |
| سازمان زمین شناسی و اکتشافات معدنی کشور |
| موضوع: آنومالی های مربوط به گروه یک کانی سبکین |
| توسط: مهرداد موحدی - الهام چیت گری |

نقشه شماره چهل و سده
۱۳۸۸

227968
3931979

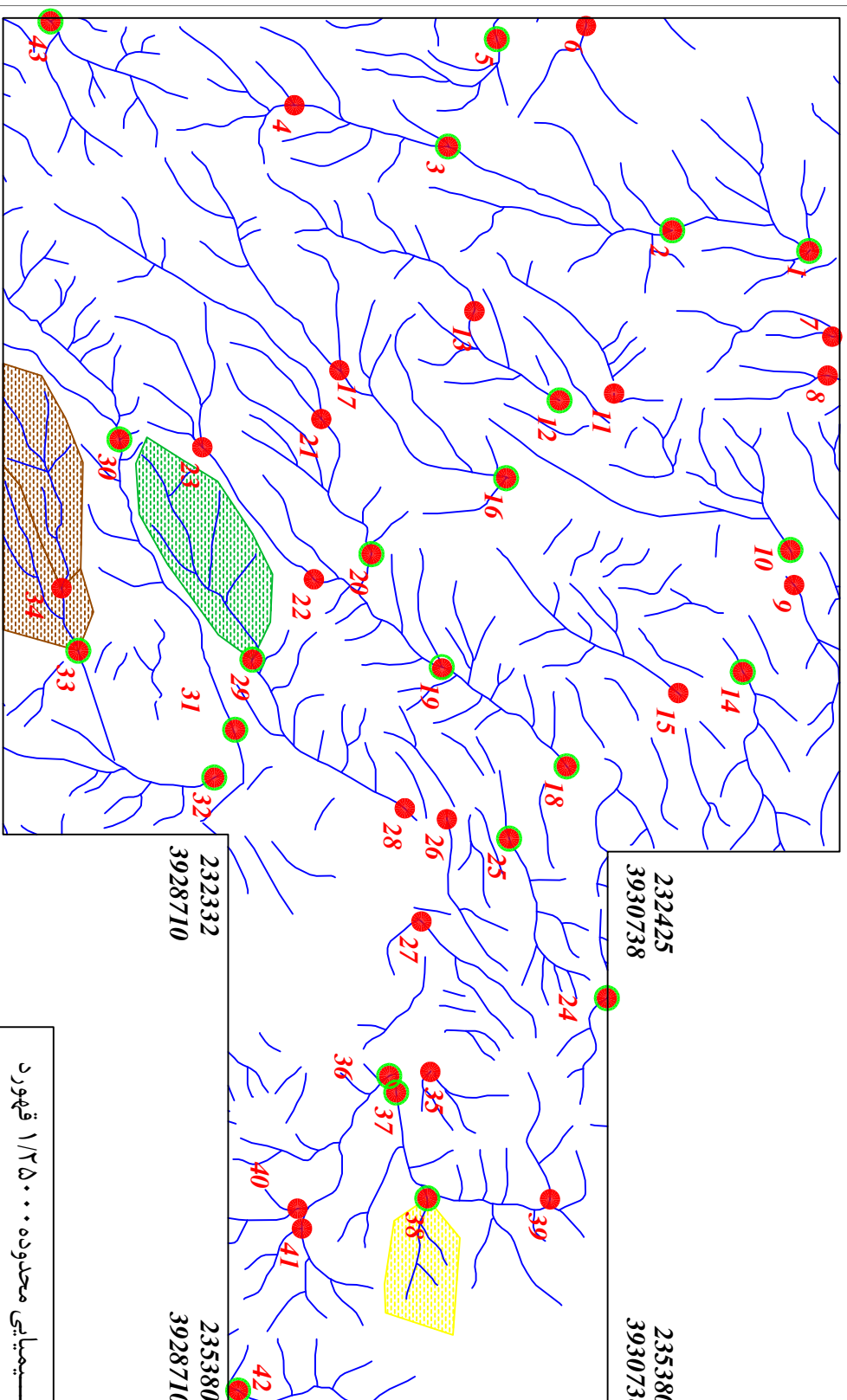
232425
3931979

235380
3930738

232425
3930738

Legend

| | |
|--|-------------------------|
| | سیستم آبراهه |
| | نحوته مینرالزه |
| | نحوته کانی سبکین |
| | نحوته زیوشهایی |
| | شماره نمونه روش پیشی |
| | مuarde نمونه کائی سبکین |
| | حد زمینه |
| | آزمایش ممکن |
| | آزمایش احتمالی |
| | آزمایش قدرتی |
| | متسلس |
| | محضات در زون ۳۹ |



227968
3927505

Scale 1:35000

232332
3927505

0 500 1000 1500 2000 2500m



| |
|---|
| پژوهه اکتشافات رژوشن پیمایی محدوده ۱۲۵۰۰۰ قهورد |
| سازمان زمین شناسی و اکتشافات معدنی کشور |
| موضوع: آنومالی های مربوط به گروه دو کسانی سنجنگین |
| توسط: مهرداد موحدی - الهام چیت گری |
| نقشه شماره چهل و چهار ۱۳۸۸ |

227968
3931979

232425
3931979

Legend



سیستم آبراهه



نحوته مینبر اسزره



نحوته کسانی سنجین



نحوته زیوشه پیمی

232425
3930738

235380
3930738



شماره نمونه روش پیمی



نماده نمونه کسانی سنجین



حد زمینه



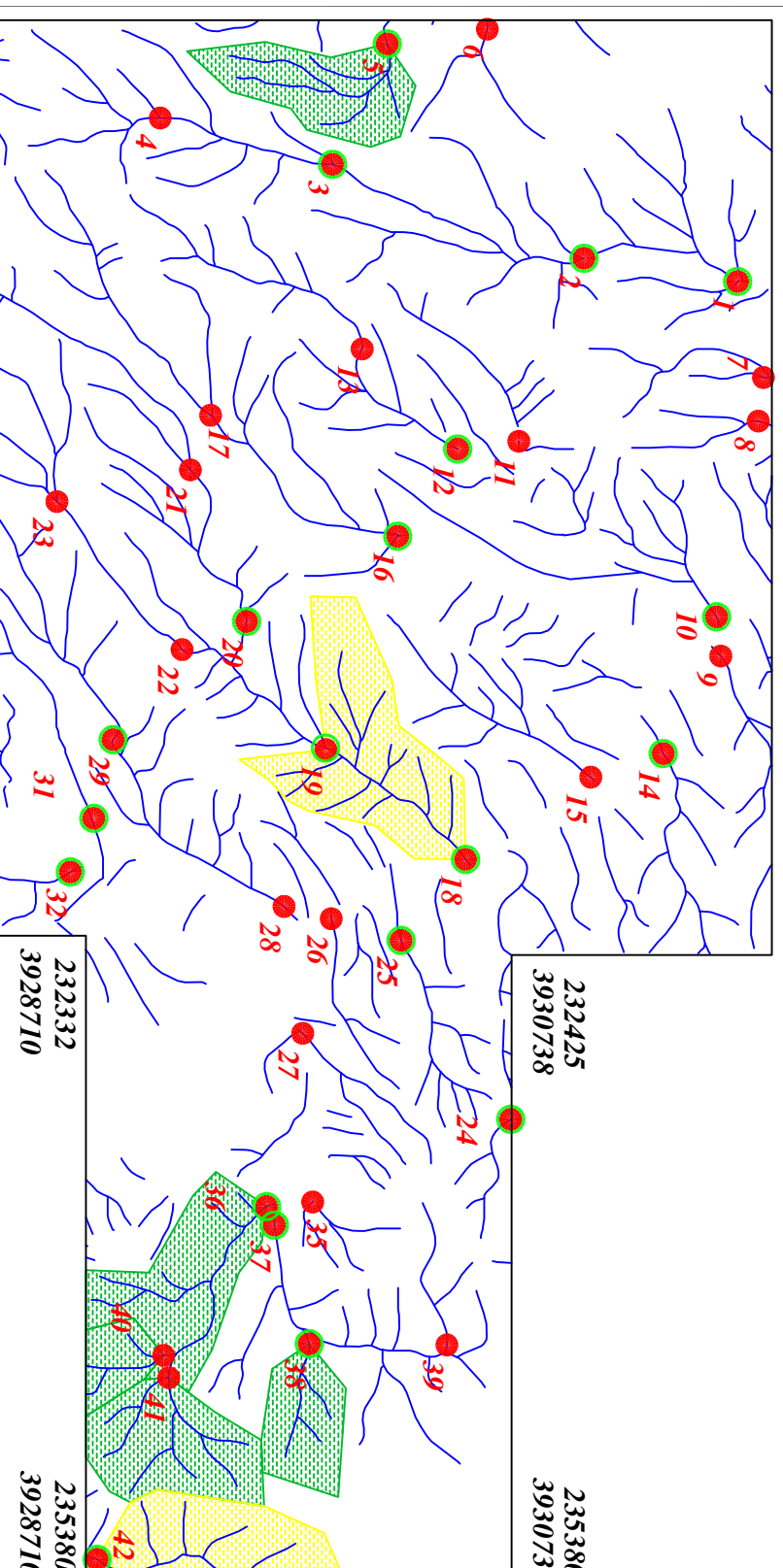
آبومالی ممکن



آبومالی احتمالی



آزمایی قدرتی



227968
3927505

232332
3927505

سازمان زمین شناسی و اکتشافات معدنی کشور

N

Scale 1:35000

0 500 1000 1500 2000 2500m

پژوهه اکتشافات رژوشن پیمایی محدوده ۱۲۵۰۰۰ قهرماد

موضوع: آنومالی های مربوط به گروه سه کسانی سنجین

توسط: مهداد موحدی - الهام چیت گری

نقشه شماره چهل و پنج

۱۳۸۸

227968
3931979

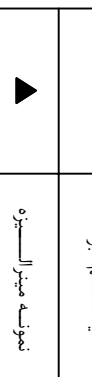
232425
3931979

233425
3930738

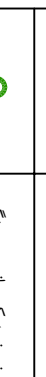
Legend



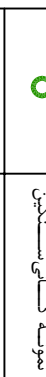
سیستم آبراهه



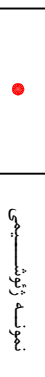
نحوته منبر اسازه



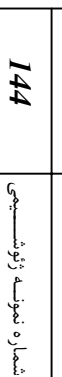
نحوته کسانی سنجین



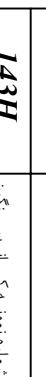
نحوته زیوشهایی



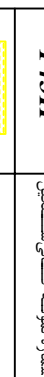
نحوته کسانی سنجین



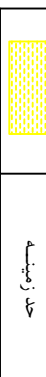
نحوته زیوشهایی



شماره نمونه روش پیشی



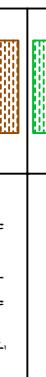
نموداره نمونه کسانی سنجین



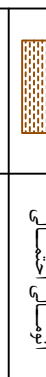
حد زمینه



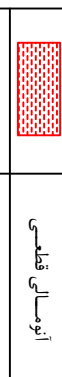
آبومالی ممکن



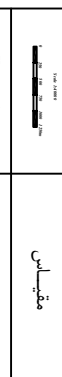
آبومالی احتمالی



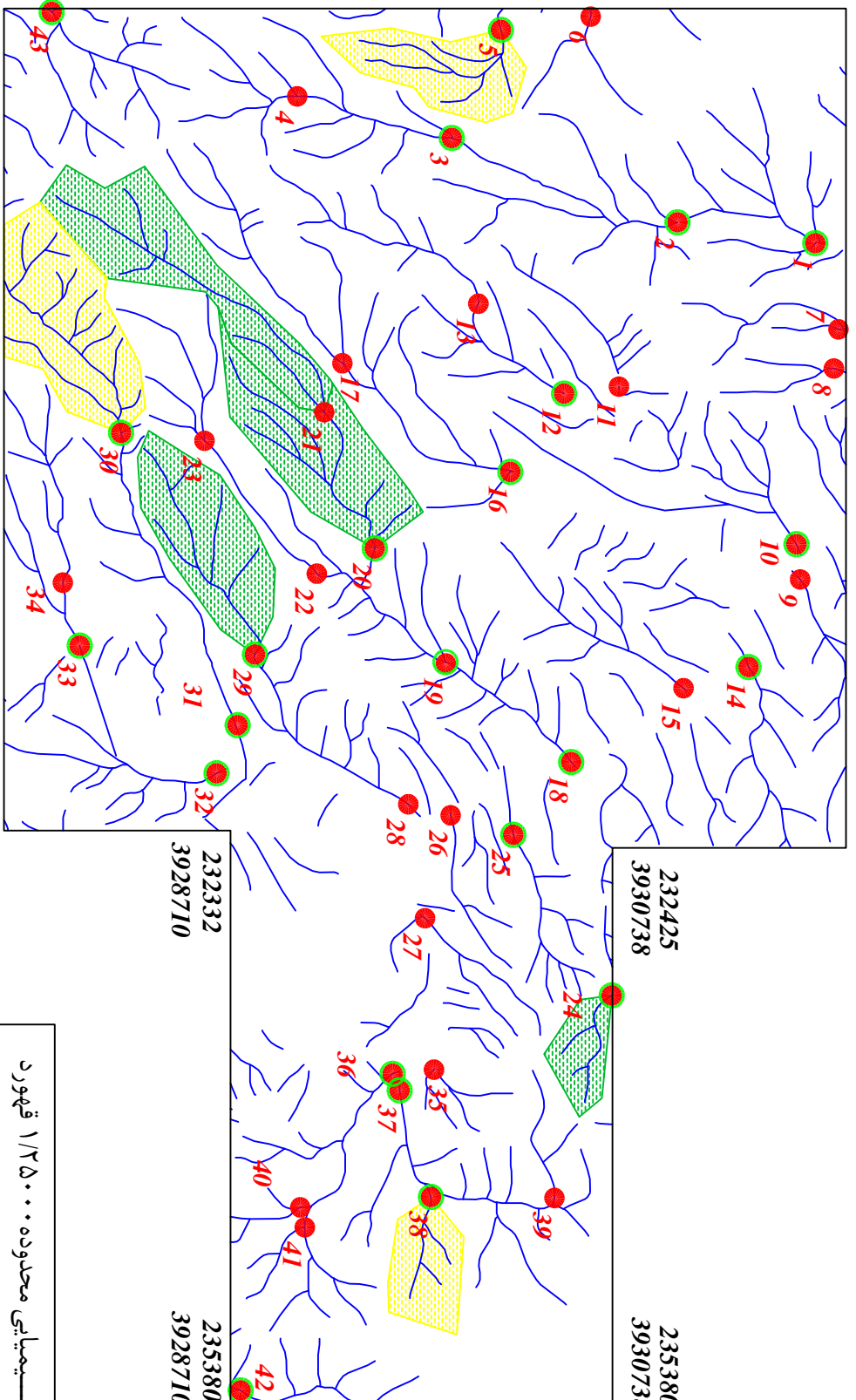
آزمایی قدرتی



متغیر



محضات در زون ۳۹



227968
3927505

232332
3928710

پژوهه اکتشافات ریوشن پیمایی محدوده ۱۲۵۰۰۰ قهورد
سازمان زمین شناسی و اکتشافات معدنی کشور

موضوع: آنومالی های مربوط به گروه چهار کسانی سنجین
توسط: مهرداد موحدی - الهام چیت گری

Scale 1:35000

235380
3928710

N

0 500 1000 1500 2000 2500m

صائم

Table(3-1) :Mean and Difference of Duplicated Analaysis

| <i>Variable</i> | <i>Sample No.</i> | <i>D No.</i> | <i>X1</i> | <i>X2</i> | <i>M</i> | <i>D</i> |
|-----------------|-------------------|--------------|-----------|-----------|----------|----------|
| <i>Au</i> | <i>QA-08</i> | <i>QA-50</i> | 3 | 3 | 3 | 1 |
| | <i>QA-13</i> | <i>QA-51</i> | 2 | 2 | 2 | 0 |
| | <i>QA-24</i> | <i>QA-52</i> | 2 | 3 | 2 | 1 |
| | <i>QA-29</i> | <i>QA-53</i> | 2 | 3 | 3 | 1 |
| | <i>QA-34</i> | <i>QA-54</i> | 5 | 5 | 5 | 0 |
| | <i>QA-41</i> | <i>QA-55</i> | 2 | 0 | 1 | 2 |

| <i>Variable</i> | <i>Sample No.</i> | <i>D No.</i> | <i>X1</i> | <i>X2</i> | <i>M</i> | <i>D</i> |
|-----------------|-------------------|--------------|-----------|-----------|----------|----------|
| <i>V</i> | <i>QA-08</i> | <i>QA-50</i> | 50.25 | 51.75184 | 51.00 | 1.50 |
| | <i>QA-13</i> | <i>QA-51</i> | 78.25 | 81.01689 | 79.63 | 2.77 |
| | <i>QA-24</i> | <i>QA-52</i> | 46.125 | 45.26929 | 45.70 | 0.86 |
| | <i>QA-29</i> | <i>QA-53</i> | 72.71528 | 73.45107 | 73.08 | 0.74 |
| | <i>QA-34</i> | <i>QA-54</i> | 52.22222 | 54.80512 | 53.51 | 2.58 |
| | <i>QA-41</i> | <i>QA-55</i> | 72.75 | 73.42585 | 73.09 | 0.68 |

| <i>Variable</i> | <i>Sample No.</i> | <i>D No.</i> | <i>X1</i> | <i>X2</i> | <i>M</i> | <i>D</i> |
|----------------------|-------------------|--------------|-----------|-----------|----------|----------|
| <i>C_r</i> | <i>QA-08</i> | <i>QA-50</i> | 19.30556 | 20.85224 | 20.08 | 1.55 |
| | <i>QA-13</i> | <i>QA-51</i> | 19.125 | 18.46657 | 18.80 | 0.66 |
| | <i>QA-24</i> | <i>QA-52</i> | 15.75 | 16.0942 | 15.92 | 0.34 |
| | <i>QA-29</i> | <i>QA-53</i> | 24.625 | 23.09995 | 23.86 | 1.53 |
| | <i>QA-34</i> | <i>QA-54</i> | 15.59375 | 16.41818 | 16.01 | 0.82 |
| | <i>QA-41</i> | <i>QA-55</i> | 23.33333 | 22.08102 | 22.71 | 1.25 |

Table(3-1):Mean and Difference of Duplicated Analysis

| <i>Variable</i> | <i>Sample No.</i> | <i>D No.</i> | <i>X1</i> | <i>X2</i> | <i>M</i> | <i>D</i> |
|----------------------|-------------------|--------------|-----------|-----------|----------|----------|
| <i>C₀</i> | <i>QA-08</i> | <i>QA-50</i> | 7.45 | 7.804762 | 7.63 | 0.35 |
| | <i>QA-13</i> | <i>QA-51</i> | 10.1875 | 10.4697 | 10.33 | 0.28 |
| | <i>QA-24</i> | <i>QA-52</i> | 9.1 | 8.971105 | 9.04 | 0.13 |
| | <i>QA-29</i> | <i>QA-53</i> | 10.1125 | 10.08509 | 10.10 | 0.03 |
| | <i>QA-34</i> | <i>QA-54</i> | 6.409375 | 6.426066 | 6.42 | 0.02 |
| | <i>QA-41</i> | <i>QA-55</i> | 10.71667 | 11.13785 | 10.93 | 0.42 |

| <i>Variable</i> | <i>Sample No.</i> | <i>D No.</i> | <i>X1</i> | <i>X2</i> | <i>M</i> | <i>D</i> |
|----------------------|-------------------|--------------|-----------|-----------|----------|----------|
| <i>N_i</i> | <i>QA-08</i> | <i>QA-50</i> | 19.875 | 20.67188 | 20.27 | 0.80 |
| | <i>QA-13</i> | <i>QA-51</i> | 31 | 31.41333 | 31.21 | 0.41 |
| | <i>QA-24</i> | <i>QA-52</i> | 17.14063 | 17.19337 | 17.17 | 0.05 |
| | <i>QA-29</i> | <i>QA-53</i> | 29.80556 | 27.49134 | 28.65 | 2.31 |
| | <i>QA-34</i> | <i>QA-54</i> | 21.13889 | 20.73308 | 20.94 | 0.41 |
| | <i>QA-41</i> | <i>QA-55</i> | 29.83333 | 31.18089 | 30.51 | 1.35 |

| <i>Variable</i> | <i>Sample No.</i> | <i>D No.</i> | <i>X1</i> | <i>X2</i> | <i>M</i> | <i>D</i> |
|----------------------|-------------------|--------------|-----------|-----------|----------|----------|
| <i>C_u</i> | <i>QA-08</i> | <i>QA-50</i> | 35.16667 | 35.22019 | 35.19 | 0.05 |
| | <i>QA-13</i> | <i>QA-51</i> | 26.9375 | 27.53714 | 27.24 | 0.60 |
| | <i>QA-24</i> | <i>QA-52</i> | 28.55 | 28.13756 | 28.34 | 0.41 |
| | <i>QA-29</i> | <i>QA-53</i> | 22.6375 | 23.86618 | 23.25 | 1.23 |
| | <i>QA-34</i> | <i>QA-54</i> | 46.01667 | 45.70532 | 45.86 | 0.31 |
| | <i>QA-41</i> | <i>QA-55</i> | 28.28472 | 26.81811 | 27.55 | 1.47 |

Table(3-1):Mean and Difference of Duplicated Analaysis

| <i>Variable</i> | <i>Sample No.</i> | <i>D No.</i> | <i>X1</i> | <i>X2</i> | <i>M</i> | <i>D</i> |
|-----------------|-------------------|--------------|-----------|-----------|----------|----------|
| <i>Zn</i> | <i>QA-08</i> | <i>QA-50</i> | 114.7375 | 113.2767 | 114.01 | 1.46 |
| | <i>QA-13</i> | <i>QA-51</i> | 395.25 | 174.1299 | 284.69 | 221.12 |
| | <i>QA-24</i> | <i>QA-52</i> | 130.9969 | 128.8587 | 129.93 | 2.14 |
| | <i>QA-29</i> | <i>QA-53</i> | 329.4833 | 318.9004 | 324.19 | 10.58 |
| | <i>QA-34</i> | <i>QA-54</i> | 158.266 | 167.4544 | 162.86 | 9.19 |
| | <i>QA-41</i> | <i>QA-55</i> | 339.5 | 350.3954 | 344.95 | 10.90 |

| <i>Variable</i> | <i>Sample No.</i> | <i>D No.</i> | <i>X1</i> | <i>X2</i> | <i>M</i> | <i>D</i> |
|-----------------|-------------------|--------------|-----------|-----------|----------|----------|
| <i>Ag</i> | <i>QA-08</i> | <i>QA-50</i> | 0.507083 | 0.695889 | 0.60 | 0.19 |
| | <i>QA-13</i> | <i>QA-51</i> | 0.3575 | 0.451392 | 0.40 | 0.09 |
| | <i>QA-24</i> | <i>QA-52</i> | 0.348125 | 0.413307 | 0.38 | 0.07 |
| | <i>QA-29</i> | <i>QA-53</i> | 0.362813 | 0.356533 | 0.36 | 0.01 |
| | <i>QA-34</i> | <i>QA-54</i> | 0.558333 | 0.447704 | 0.50 | 0.11 |
| | <i>QA-41</i> | <i>QA-55</i> | 0.376146 | 0.272208 | 0.32 | 0.10 |

| <i>Variable</i> | <i>Sample No.</i> | <i>D No.</i> | <i>X1</i> | <i>X2</i> | <i>M</i> | <i>D</i> |
|-----------------|-------------------|--------------|-----------|-----------|----------|----------|
| <i>Sr</i> | <i>QA-08</i> | <i>QA-50</i> | 101.025 | 102.0004 | 101.51 | 0.98 |
| | <i>QA-13</i> | <i>QA-51</i> | 162.75 | 162.261 | 162.51 | 0.49 |
| | <i>QA-24</i> | <i>QA-52</i> | 99.64167 | 97.65751 | 98.65 | 1.98 |
| | <i>QA-29</i> | <i>QA-53</i> | 164.2444 | 164.4716 | 164.36 | 0.23 |
| | <i>QA-34</i> | <i>QA-54</i> | 98.39167 | 96.19822 | 97.29 | 2.19 |
| | <i>QA-41</i> | <i>QA-55</i> | 170.3521 | 168.9671 | 169.66 | 1.38 |

Table(3-1):Mean and Difference of Duplicated Analaysis

| <i>Variable</i> | <i>Sample No.</i> | <i>D No.</i> | <i>X1</i> | <i>X2</i> | <i>M</i> | <i>D</i> |
|-----------------|-------------------|--------------|-----------|-----------|----------|----------|
| <i>Y</i> | <i>QA-08</i> | <i>QA-50</i> | 18.75 | 18.44429 | 18.60 | 0.31 |
| | <i>QA-13</i> | <i>QA-51</i> | 17.375 | 16.47938 | 16.93 | 0.90 |
| | <i>QA-24</i> | <i>QA-52</i> | 18.90417 | 18.90417 | 18.90 | 0.00 |
| | <i>QA-29</i> | <i>QA-53</i> | 16.53889 | 16.62877 | 16.58 | 0.09 |
| | <i>QA-34</i> | <i>QA-54</i> | 17.42083 | 17.62223 | 17.52 | 0.20 |
| | <i>QA-41</i> | <i>QA-55</i> | 16.42083 | 16.42083 | 16.42 | 0.00 |

| <i>Variable</i> | <i>Sample No.</i> | <i>D No.</i> | <i>X1</i> | <i>X2</i> | <i>M</i> | <i>D</i> |
|-----------------|-------------------|--------------|-----------|-----------|----------|----------|
| <i>Zr</i> | <i>QA-08</i> | <i>QA-50</i> | 60 | 59.7561 | 59.88 | 0.24 |
| | <i>QA-13</i> | <i>QA-51</i> | 160 | 158.9323 | 159.47 | 1.07 |
| | <i>QA-24</i> | <i>QA-52</i> | 80 | 79.00858 | 79.50 | 0.99 |
| | <i>QA-29</i> | <i>QA-53</i> | 138.8889 | 136.7209 | 137.80 | 2.17 |
| | <i>QA-34</i> | <i>QA-54</i> | 93.33333 | 89.53672 | 91.44 | 3.80 |
| | <i>QA-41</i> | <i>QA-55</i> | 143.3333 | 146.4974 | 144.92 | 3.16 |

| <i>Variable</i> | <i>Sample No.</i> | <i>D No.</i> | <i>X1</i> | <i>X2</i> | <i>M</i> | <i>D</i> |
|-----------------|-------------------|--------------|-----------|-----------|----------|----------|
| <i>Nb</i> | <i>QA-08</i> | <i>QA-50</i> | 10.74792 | 11.92206 | 11.33 | 1.17 |
| | <i>QA-13</i> | <i>QA-51</i> | 10.8125 | 11.50688 | 11.16 | 0.69 |
| | <i>QA-24</i> | <i>QA-52</i> | 11.09688 | 11.67656 | 11.39 | 0.58 |
| | <i>QA-29</i> | <i>QA-53</i> | 11.47691 | 11.82208 | 11.65 | 0.35 |
| | <i>QA-34</i> | <i>QA-54</i> | 11.54375 | 10.30058 | 10.92 | 1.24 |
| | <i>QA-41</i> | <i>QA-55</i> | 11.5625 | 11.48542 | 11.52 | 0.08 |

Table(3-1):Mean and Difference of Duplicated Analaysis

| <i>Variable</i> | <i>Sample No.</i> | <i>D No.</i> | <i>X1</i> | <i>X2</i> | <i>M</i> | <i>D</i> |
|----------------------|-------------------|--------------|-----------|-----------|----------|----------|
| <i>C₅</i> | <i>QA-08</i> | <i>QA-50</i> | 5.05 | 4.65 | 4.85 | 0.40 |
| | <i>QA-13</i> | <i>QA-51</i> | 5.008333 | 4.801804 | 4.91 | 0.21 |
| | <i>QA-24</i> | <i>QA-52</i> | 5.1125 | 4.851658 | 4.98 | 0.26 |
| | <i>QA-29</i> | <i>QA-53</i> | 3.75625 | 3.130208 | 3.44 | 0.63 |
| | <i>QA-34</i> | <i>QA-54</i> | 3.8 | 4.05618 | 3.93 | 0.26 |
| | <i>QA-41</i> | <i>QA-55</i> | 4.740972 | 3.90433 | 4.32 | 0.84 |

| <i>Variable</i> | <i>Sample No.</i> | <i>D No.</i> | <i>X1</i> | <i>X2</i> | <i>M</i> | <i>D</i> |
|-----------------|-------------------|--------------|-----------|-----------|----------|----------|
| <i>Ba</i> | <i>QA-08</i> | <i>QA-50</i> | 641.1389 | 546.3668 | 593.75 | 94.77 |
| | <i>QA-13</i> | <i>QA-51</i> | 771.3333 | 719.34 | 745.34 | 51.99 |
| | <i>QA-24</i> | <i>QA-52</i> | 768.75 | 525.1103 | 646.93 | 243.64 |
| | <i>QA-29</i> | <i>QA-53</i> | 559.25 | 586.3259 | 572.79 | 27.08 |
| | <i>QA-34</i> | <i>QA-54</i> | 636.5 | 528.3407 | 582.42 | 108.16 |
| | <i>QA-41</i> | <i>QA-55</i> | 771.0417 | 574.8301 | 672.94 | 196.21 |

| <i>Variable</i> | <i>Sample No.</i> | <i>D No.</i> | <i>X1</i> | <i>X2</i> | <i>M</i> | <i>D</i> |
|-----------------|-------------------|--------------|-----------|-----------|----------|----------|
| <i>La</i> | <i>QA-08</i> | <i>QA-50</i> | 26.125 | 41.53628 | 33.83 | 15.41 |
| | <i>QA-13</i> | <i>QA-51</i> | 27.375 | 51.01705 | 39.20 | 23.64 |
| | <i>QA-24</i> | <i>QA-52</i> | 25.90625 | 40.98213 | 33.44 | 15.08 |
| | <i>QA-29</i> | <i>QA-53</i> | 25.66667 | 48.37778 | 37.02 | 22.71 |
| | <i>QA-34</i> | <i>QA-54</i> | 25.41667 | 18.09667 | 21.76 | 7.32 |
| | <i>QA-41</i> | <i>QA-55</i> | 25.66667 | 44.42989 | 35.05 | 18.76 |

Table(3-1):Mean and Difference of Duplicated Analaysis

| <i>Variable</i> | <i>Sample No.</i> | <i>D No.</i> | <i>X1</i> | <i>X2</i> | <i>M</i> | <i>D</i> |
|-----------------|-------------------|--------------|-----------|-----------|----------|----------|
| <i>Bi</i> | <i>QA-08</i> | <i>QA-50</i> | 0.444444 | 0.266667 | 0.36 | 0.18 |
| | <i>QA-13</i> | <i>QA-51</i> | 0.429167 | 0.194026 | 0.31 | 0.24 |
| | <i>QA-24</i> | <i>QA-52</i> | 0.5375 | 0.222284 | 0.38 | 0.32 |
| | <i>QA-29</i> | <i>QA-53</i> | 0.1875 | 0.097147 | 0.14 | 0.09 |
| | <i>QA-34</i> | <i>QA-54</i> | 0.6875 | 0.559276 | 0.62 | 0.13 |
| | <i>QA-41</i> | <i>QA-55</i> | 0.458333 | 0.649306 | 0.55 | 0.19 |

| <i>Variable</i> | <i>Sample No.</i> | <i>D No.</i> | <i>X1</i> | <i>X2</i> | <i>M</i> | <i>D</i> |
|-----------------|-------------------|--------------|-----------|-----------|-----------|-----------|
| <i>Ca</i> | <i>QA-08</i> | <i>QA-50</i> | 17676.67 | 5513.264 | 11594.97 | 12163.40 |
| | <i>QA-13</i> | <i>QA-51</i> | 29510 | 11456.21 | 20483.10 | 18053.79 |
| | <i>QA-24</i> | <i>QA-52</i> | 15130 | 16635.38 | 15882.69 | 1505.38 |
| | <i>QA-29</i> | <i>QA-53</i> | 80030 | 182564.5 | 131297.26 | 102534.52 |
| | <i>QA-34</i> | <i>QA-54</i> | 14680 | 46344.63 | 30512.32 | 31664.63 |
| | <i>QA-41</i> | <i>QA-55</i> | 14720 | 63859.73 | 39289.86 | 49139.73 |

| <i>Variable</i> | <i>Sample No.</i> | <i>D No.</i> | <i>X1</i> | <i>X2</i> | <i>M</i> | <i>D</i> |
|-----------------|-------------------|--------------|-----------|-----------|----------|----------|
| <i>Al</i> | <i>QA-08</i> | <i>QA-50</i> | 88836.67 | 100599 | 94717.88 | 11762.43 |
| | <i>QA-13</i> | <i>QA-51</i> | 66436.67 | 67490 | 66963.20 | 1053.08 |
| | <i>QA-24</i> | <i>QA-52</i> | 68600 | 62769 | 65684.42 | 5831.16 |
| | <i>QA-29</i> | <i>QA-53</i> | 77830 | 64431 | 71130.41 | 13399.17 |
| | <i>QA-34</i> | <i>QA-54</i> | 87376.67 | 68773 | 78074.92 | 18603.50 |
| | <i>QA-41</i> | <i>QA-55</i> | 68753.33 | 54647 | 61700.34 | 14105.98 |

Table(3-1):Mean and Difference of Duplicated Analaysis

| <i>Variable</i> | <i>Sample No.</i> | <i>D No.</i> | <i>X1</i> | <i>X2</i> | <i>M</i> | <i>D</i> |
|-----------------|-------------------|--------------|-----------|-----------|----------|----------|
| <i>Pb</i> | <i>QA-08</i> | <i>QA-50</i> | 115.7 | 100 | 107.87 | 15.67 |
| | <i>QA-13</i> | <i>QA-51</i> | 92.4 | 79 | 85.74 | 13.32 |
| | <i>QA-24</i> | <i>QA-52</i> | 97.825 | 77 | 87.17 | 21.31 |
| | <i>QA-29</i> | <i>QA-53</i> | 64.58264 | 65 | 65.04 | 0.92 |
| | <i>QA-34</i> | <i>QA-54</i> | 64.15833 | 55 | 59.52 | 9.29 |
| | <i>QA-41</i> | <i>QA-55</i> | 60.77917 | 52 | 56.50 | 8.56 |

| <i>Variable</i> | <i>Sample No.</i> | <i>D No.</i> | <i>X1</i> | <i>X2</i> | <i>M</i> | <i>D</i> |
|-----------------|-------------------|--------------|-----------|-----------|----------|----------|
| <i>U</i> | <i>QA-08</i> | <i>QA-50</i> | 2.0025 | 1.305978 | 1.65 | 0.70 |
| | <i>QA-13</i> | <i>QA-51</i> | 2.15 | 5.59 | 3.87 | 3.44 |
| | <i>QA-24</i> | <i>QA-52</i> | 2.023125 | 2.023125 | 2.02 | 0.00 |
| | <i>QA-29</i> | <i>QA-53</i> | 2.126667 | 3.402667 | 2.76 | 1.28 |
| | <i>QA-34</i> | <i>QA-54</i> | 1.978819 | 1.499106 | 1.74 | 0.48 |
| | <i>QA-41</i> | <i>QA-55</i> | 2.131667 | 3.694889 | 2.91 | 1.56 |

| <i>Variable</i> | <i>Sample No.</i> | <i>D No.</i> | <i>X1</i> | <i>X2</i> | <i>M</i> | <i>D</i> |
|-----------------|-------------------|--------------|-----------|-----------|----------|----------|
| <i>P</i> | <i>QA-08</i> | <i>QA-50</i> | 525 | 577.9003 | 551.45 | 52.90 |
| | <i>QA-13</i> | <i>QA-51</i> | 614.5 | 613.5009 | 614.00 | 1.00 |
| | <i>QA-24</i> | <i>QA-52</i> | 515.8333 | 534.9677 | 525.40 | 19.13 |
| | <i>QA-29</i> | <i>QA-53</i> | 603.9444 | 574.9087 | 589.43 | 29.04 |
| | <i>QA-34</i> | <i>QA-54</i> | 472.25 | 536.6113 | 504.43 | 64.36 |
| | <i>QA-41</i> | <i>QA-55</i> | 611.0208 | 651.6712 | 631.35 | 40.65 |

Table(3-1):Mean and Difference of Duplicated Analaysis

| <i>Variable</i> | <i>Sample No.</i> | <i>D No.</i> | <i>X1</i> | <i>X2</i> | <i>M</i> | <i>D</i> |
|-----------------|-------------------|--------------|-----------|-----------|----------|----------|
| <i>Ti</i> | <i>QA-08</i> | <i>QA-50</i> | 3523.333 | 3533.068 | 3528.20 | 9.73 |
| | <i>QA-13</i> | <i>QA-51</i> | 4560 | 4503.677 | 4531.84 | 56.32 |
| | <i>QA-24</i> | <i>QA-52</i> | 3340 | 3215.995 | 3278.00 | 124.00 |
| | <i>QA-29</i> | <i>QA-53</i> | 4851.111 | 4836.023 | 4843.57 | 15.09 |
| | <i>QA-34</i> | <i>QA-54</i> | 3834.444 | 3818.485 | 3826.46 | 15.96 |
| | <i>QA-41</i> | <i>QA-55</i> | 4903.333 | 4909.612 | 4906.47 | 6.28 |

| <i>Variable</i> | <i>Sample No.</i> | <i>D No.</i> | <i>X1</i> | <i>X2</i> | <i>M</i> | <i>D</i> |
|-----------------|-------------------|--------------|-----------|-----------|----------|----------|
| <i>S</i> | <i>QA-08</i> | <i>QA-50</i> | 690 | 650.71 | 670.35 | 39.29 |
| | <i>QA-13</i> | <i>QA-51</i> | 170 | 286.242 | 228.12 | 116.24 |
| | <i>QA-24</i> | <i>QA-52</i> | 100 | 72.87736 | 86.44 | 27.12 |
| | <i>QA-29</i> | <i>QA-53</i> | 142.2222 | 103.5007 | 122.86 | 38.72 |
| | <i>QA-34</i> | <i>QA-54</i> | 581.1111 | 930.1038 | 755.61 | 348.99 |
| | <i>QA-41</i> | <i>QA-55</i> | 140 | 219.1045 | 179.55 | 79.10 |

| <i>Variable</i> | <i>Sample No.</i> | <i>D No.</i> | <i>X1</i> | <i>X2</i> | <i>M</i> | <i>D</i> |
|-----------------|-------------------|--------------|-----------|-----------|----------|----------|
| <i>As</i> | <i>QA-08</i> | <i>QA-50</i> | 50.53333 | 44.91852 | 47.73 | 5.61 |
| | <i>QA-13</i> | <i>QA-51</i> | 25.83125 | 23.40957 | 24.62 | 2.42 |
| | <i>QA-24</i> | <i>QA-52</i> | 32.95 | 28.66382 | 30.81 | 4.29 |
| | <i>QA-29</i> | <i>QA-53</i> | 7.86875 | 7.296477 | 7.58 | 0.57 |
| | <i>QA-34</i> | <i>QA-54</i> | 8.375 | 7.458984 | 7.92 | 0.92 |
| | <i>QA-41</i> | <i>QA-55</i> | 29.70833 | 27.08701 | 28.40 | 2.62 |

Table(3-1):Mean and Difference of Duplicated Analaysis

| <i>Variable</i> | <i>Sample No.</i> | <i>D No.</i> | <i>X1</i> | <i>X2</i> | <i>M</i> | <i>D</i> |
|-----------------|-------------------|--------------|-----------|-----------|----------|----------|
| <i>Ce</i> | <i>QA-08</i> | <i>QA-50</i> | 55.825 | 313.6051 | 184.72 | 257.78 |
| | <i>QA-13</i> | <i>QA-51</i> | 51.05833 | 85.778 | 68.42 | 34.72 |
| | <i>QA-24</i> | <i>QA-52</i> | 54.1125 | 734.487 | 394.30 | 680.37 |
| | <i>QA-29</i> | <i>QA-53</i> | 44.725 | 485.4153 | 265.07 | 440.69 |
| | <i>QA-34</i> | <i>QA-54</i> | 48.075 | 11.63105 | 29.85 | 36.44 |
| | <i>QA-41</i> | <i>QA-55</i> | 48.33333 | 146.6603 | 97.50 | 98.33 |

| <i>Variable</i> | <i>Sample No.</i> | <i>D No.</i> | <i>X1</i> | <i>X2</i> | <i>M</i> | <i>D</i> |
|-----------------|-------------------|--------------|-----------|-----------|----------|----------|
| <i>Mn</i> | <i>QA-08</i> | <i>QA-50</i> | 1922.5 | 2019.591 | 1971.05 | 97.09 |
| | <i>QA-13</i> | <i>QA-51</i> | 1582.5 | 1599.58 | 1591.04 | 17.08 |
| | <i>QA-24</i> | <i>QA-52</i> | 1656.25 | 1671.029 | 1663.64 | 14.78 |
| | <i>QA-29</i> | <i>QA-53</i> | 1227.59 | 1246.502 | 1237.05 | 18.91 |
| | <i>QA-34</i> | <i>QA-54</i> | 1210.333 | 1226.536 | 1218.43 | 16.20 |
| | <i>QA-41</i> | <i>QA-55</i> | 1195.708 | 1213.856 | 1204.78 | 18.15 |

| <i>Variable</i> | <i>Sample No.</i> | <i>D No.</i> | <i>X1</i> | <i>X2</i> | <i>M</i> | <i>D</i> |
|-----------------|-------------------|--------------|-----------|-----------|----------|----------|
| <i>Rb</i> | <i>QA-08</i> | <i>QA-50</i> | 208.75 | 212.9886 | 210.87 | 4.24 |
| | <i>QA-13</i> | <i>QA-51</i> | 196.75 | 192.1841 | 194.47 | 4.57 |
| | <i>QA-24</i> | <i>QA-52</i> | 212 | 209.0081 | 210.50 | 2.99 |
| | <i>QA-29</i> | <i>QA-53</i> | 170.4007 | 163.4658 | 166.93 | 6.93 |
| | <i>QA-34</i> | <i>QA-54</i> | 191.7083 | 188.7129 | 190.21 | 3.00 |
| | <i>QA-41</i> | <i>QA-55</i> | 167.5396 | 171.2905 | 169.42 | 3.75 |

Table(3-1):Mean and Difference of Duplicated Analaysis

| <i>Variable</i> | <i>Sample No.</i> | <i>D No.</i> | <i>X1</i> | <i>X2</i> | <i>M</i> | <i>D</i> |
|-----------------|-------------------|--------------|-----------|-----------|----------|----------|
| <i>Fe</i> | <i>QA-08</i> | <i>QA-50</i> | 31400 | 33399.18 | 32399.59 | 1999.18 |
| | <i>QA-13</i> | <i>QA-51</i> | 26100 | 31071.06 | 28585.53 | 4971.06 |
| | <i>QA-24</i> | <i>QA-52</i> | 27500 | 36515.52 | 32007.76 | 9015.52 |
| | <i>QA-29</i> | <i>QA-53</i> | 22200 | 30371.92 | 26285.96 | 8171.92 |
| | <i>QA-34</i> | <i>QA-54</i> | 32466.67 | 40693.66 | 36580.16 | 8226.99 |
| | <i>QA-41</i> | <i>QA-55</i> | 25233.33 | 28726.82 | 26980.07 | 3493.48 |

| <i>Variable</i> | <i>Sample No.</i> | <i>D No.</i> | <i>X1</i> | <i>X2</i> | <i>M</i> | <i>D</i> |
|-----------------|-------------------|--------------|-----------|-----------|----------|----------|
| <i>K</i> | <i>QA-08</i> | <i>QA-50</i> | 37830 | 43285.08 | 40557.54 | 5455.08 |
| | <i>QA-13</i> | <i>QA-51</i> | 31170 | 41436.58 | 36303.29 | 10266.58 |
| | <i>QA-24</i> | <i>QA-52</i> | 27740 | 39008.49 | 33374.24 | 11268.49 |
| | <i>QA-29</i> | <i>QA-53</i> | 36460 | 50844.74 | 43652.37 | 14384.74 |
| | <i>QA-34</i> | <i>QA-54</i> | 44136.67 | 54274.11 | 49205.39 | 10137.44 |
| | <i>QA-41</i> | <i>QA-55</i> | 33900 | 35511.75 | 34705.87 | 1611.75 |

| <i>Variable</i> | <i>Sample No.</i> | <i>D No.</i> | <i>X1</i> | <i>X2</i> | <i>M</i> | <i>D</i> |
|-----------------|-------------------|--------------|-----------|-----------|----------|----------|
| <i>Li</i> | <i>QA-08</i> | <i>QA-50</i> | 20.30833 | 17.37424 | 18.84 | 2.93 |
| | <i>QA-13</i> | <i>QA-51</i> | 22.9625 | 22.35129 | 22.66 | 0.61 |
| | <i>QA-24</i> | <i>QA-52</i> | 15.65625 | 18.09416 | 16.88 | 2.44 |
| | <i>QA-29</i> | <i>QA-53</i> | 23.70278 | 30.41251 | 27.06 | 6.71 |
| | <i>QA-34</i> | <i>QA-54</i> | 22.01944 | 29.99764 | 26.01 | 7.98 |
| | <i>QA-41</i> | <i>QA-55</i> | 24.0875 | 31.97172 | 28.03 | 7.88 |

Table(3-1):Mean and Difference of Duplicated Analaysis

| <i>Variable</i> | <i>Sample No.</i> | <i>D No.</i> | <i>X1</i> | <i>X2</i> | <i>M</i> | <i>D</i> |
|-----------------|-------------------|--------------|-----------|-----------|----------|----------|
| <i>Mg</i> | <i>QA-08</i> | <i>QA-50</i> | 10070 | 7724.951 | 8897.48 | 2345.05 |
| | <i>QA-13</i> | <i>QA-51</i> | 10390 | 8613.114 | 9501.56 | 1776.89 |
| | <i>QA-24</i> | <i>QA-52</i> | 7670 | 7498.102 | 7584.05 | 171.90 |
| | <i>QA-29</i> | <i>QA-53</i> | 10655.56 | 11551.91 | 11103.73 | 896.35 |
| | <i>QA-34</i> | <i>QA-54</i> | 11757.78 | 15027.03 | 13392.40 | 3269.25 |
| | <i>QA-41</i> | <i>QA-55</i> | 10893.33 | 14629.29 | 12761.31 | 3735.96 |

| <i>Variable</i> | <i>Sample No.</i> | <i>D No.</i> | <i>X1</i> | <i>X2</i> | <i>M</i> | <i>D</i> |
|-----------------|-------------------|--------------|-----------|-----------|----------|----------|
| <i>Na</i> | <i>QA-08</i> | <i>QA-50</i> | 11406.67 | 15184.43 | 13295.55 | 3777.76 |
| | <i>QA-13</i> | <i>QA-51</i> | 22050 | 22528.74 | 22289.37 | 478.74 |
| | <i>QA-24</i> | <i>QA-52</i> | 23870 | 19372 | 21621.00 | 4498.00 |
| | <i>QA-29</i> | <i>QA-53</i> | 17770 | 12314.07 | 15042.04 | 5455.93 |
| | <i>QA-34</i> | <i>QA-54</i> | 12073.33 | 7638.199 | 9855.77 | 4435.13 |
| | <i>QA-41</i> | <i>QA-55</i> | 16176.67 | 10390.25 | 13283.46 | 5786.41 |

| <i>Variable</i> | <i>Sample No.</i> | <i>D No.</i> | <i>X1</i> | <i>X2</i> | <i>M</i> | <i>D</i> |
|-----------------|-------------------|--------------|-----------|-----------|----------|----------|
| <i>Sb</i> | <i>QA-08</i> | <i>QA-50</i> | 1.6 | 1.242655 | 1.42 | 0.36 |
| | <i>QA-13</i> | <i>QA-51</i> | 3.15 | 3.162753 | 3.16 | 0.01 |
| | <i>QA-24</i> | <i>QA-52</i> | 1.359375 | 1.807893 | 1.58 | 0.45 |
| | <i>QA-29</i> | <i>QA-53</i> | 2.944444 | 4.794814 | 3.87 | 1.85 |
| | <i>QA-34</i> | <i>QA-54</i> | 1.906944 | 3.338823 | 2.62 | 1.43 |
| | <i>QA-41</i> | <i>QA-55</i> | 2.941667 | 5.204487 | 4.07 | 2.26 |

Table(3-1):Mean and Difference of Duplicated Analaysis

| <i>Variable</i> | <i>Sample No.</i> | <i>D No.</i> | <i>X1</i> | <i>X2</i> | <i>M</i> | <i>D</i> |
|----------------------|-------------------|--------------|-----------|-----------|----------|----------|
| <i>S_c</i> | <i>QA-08</i> | <i>QA-50</i> | 9 | 6.905297 | 7.95 | 2.09 |
| | <i>QA-13</i> | <i>QA-51</i> | 13.75 | 11.77052 | 12.76 | 1.98 |
| | <i>QA-24</i> | <i>QA-52</i> | 8.734375 | 9.369529 | 9.05 | 0.64 |
| | <i>QA-29</i> | <i>QA-53</i> | 12.58333 | 15.39495 | 13.99 | 2.81 |
| | <i>QA-34</i> | <i>QA-54</i> | 9.361111 | 13.02245 | 11.19 | 3.66 |
| | <i>QA-41</i> | <i>QA-55</i> | 12.58333 | 18.21561 | 15.40 | 5.63 |

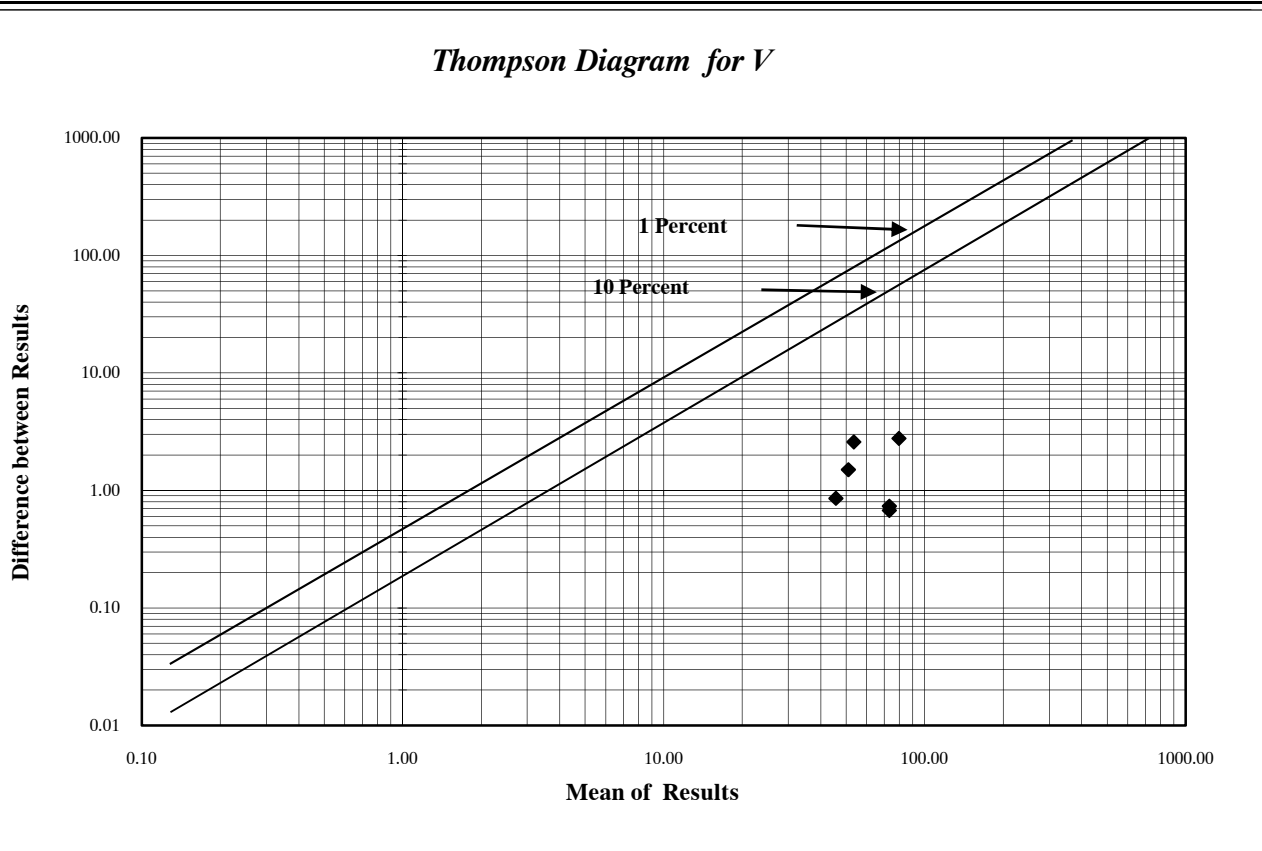
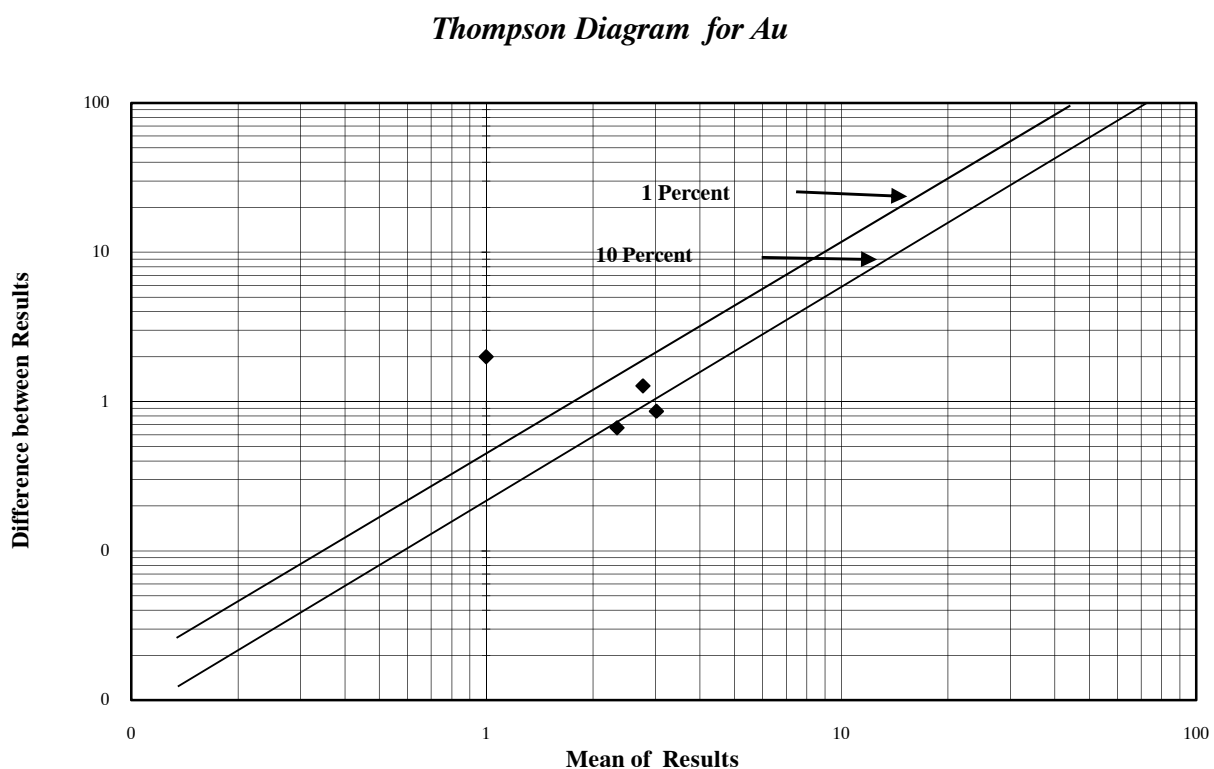
| <i>Variable</i> | <i>Sample No.</i> | <i>D No.</i> | <i>X1</i> | <i>X2</i> | <i>M</i> | <i>D</i> |
|----------------------|-------------------|--------------|-----------|-----------|----------|----------|
| <i>S_n</i> | <i>QA-08</i> | <i>QA-50</i> | 1.9125 | 1.755645 | 1.83 | 0.16 |
| | <i>QA-13</i> | <i>QA-51</i> | 2.2375 | 2.332638 | 2.29 | 0.10 |
| | <i>QA-24</i> | <i>QA-52</i> | 1.915625 | 2.234445 | 2.08 | 0.32 |
| | <i>QA-29</i> | <i>QA-53</i> | 2.070833 | 2.643143 | 2.36 | 0.57 |
| | <i>QA-34</i> | <i>QA-54</i> | 1.830556 | 2.342979 | 2.09 | 0.51 |
| | <i>QA-41</i> | <i>QA-55</i> | 2.091667 | 2.58846 | 2.34 | 0.50 |

| <i>Variable</i> | <i>Sample No.</i> | <i>D No.</i> | <i>X1</i> | <i>X2</i> | <i>M</i> | <i>D</i> |
|----------------------|-------------------|--------------|-----------|-----------|----------|----------|
| <i>T_h</i> | <i>QA-08</i> | <i>QA-50</i> | 7.149167 | 7.951566 | 7.55 | 0.80 |
| | <i>QA-13</i> | <i>QA-51</i> | 8.21375 | 9.937566 | 9.08 | 1.72 |
| | <i>QA-24</i> | <i>QA-52</i> | 9.485938 | 11.39799 | 10.44 | 1.91 |
| | <i>QA-29</i> | <i>QA-53</i> | 8.186667 | 9.790337 | 8.99 | 1.60 |
| | <i>QA-34</i> | <i>QA-54</i> | 7.042917 | 7.575961 | 7.31 | 0.53 |
| | <i>QA-41</i> | <i>QA-55</i> | 8.13625 | 8.03255 | 8.08 | 0.10 |

Table(3-1):Mean and Difference of Duplicated Analaysis

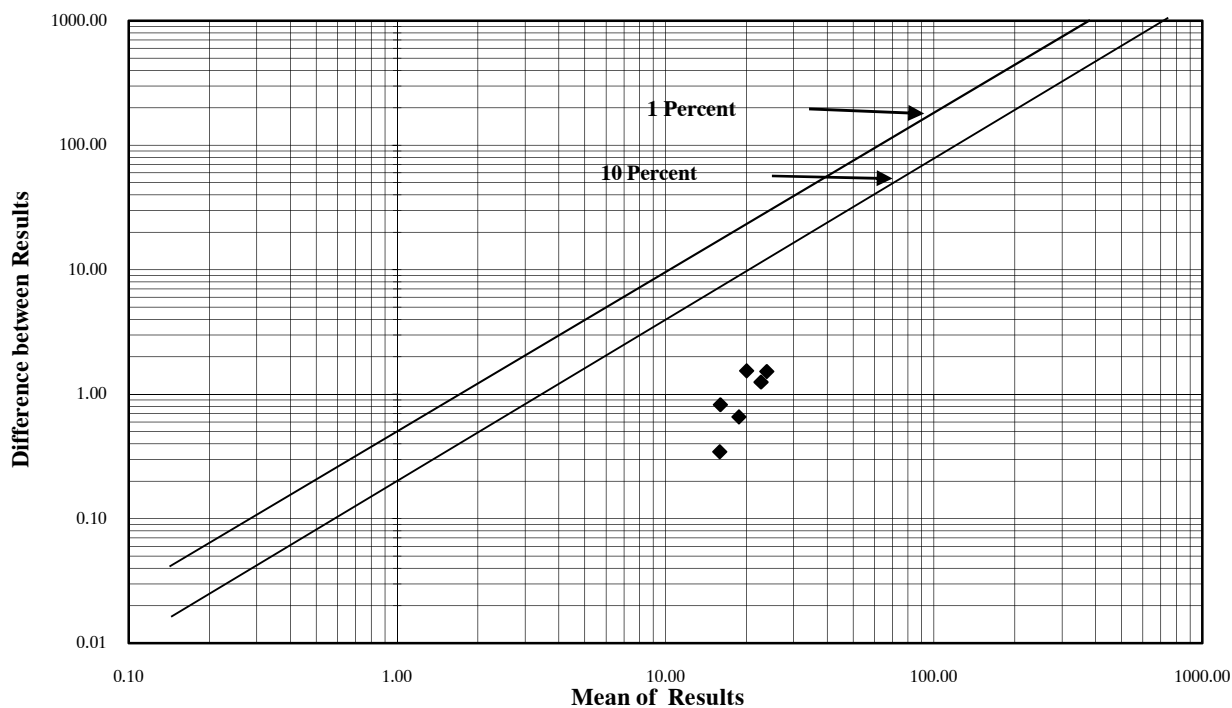
| <i>Variable</i> | <i>Sample No.</i> | <i>D No.</i> | <i>X1</i> | <i>X2</i> | <i>M</i> | <i>D</i> |
|-----------------|-------------------|--------------|-----------|-----------|----------|----------|
| <i>W</i> | <i>QA-08</i> | <i>QA-50</i> | 0.7 | 0.683356 | 0.69 | 0.02 |
| | <i>QA-13</i> | <i>QA-51</i> | 0.9 | 0.827137 | 0.86 | 0.07 |
| | <i>QA-24</i> | <i>QA-52</i> | 1.117188 | 0.976848 | 1.05 | 0.14 |
| | <i>QA-29</i> | <i>QA-53</i> | 0.856944 | 0.777891 | 0.82 | 0.08 |
| | <i>QA-34</i> | <i>QA-54</i> | 0.758333 | 0.692893 | 0.73 | 0.07 |
| | <i>QA-41</i> | <i>QA-55</i> | 0.883333 | 0.839317 | 0.86 | 0.04 |

شکل (۳-۱): دیاگرام تامپسون نمونه‌های ژئوشیمی محدوده ۱:۲۵۰۰۰ قهورد

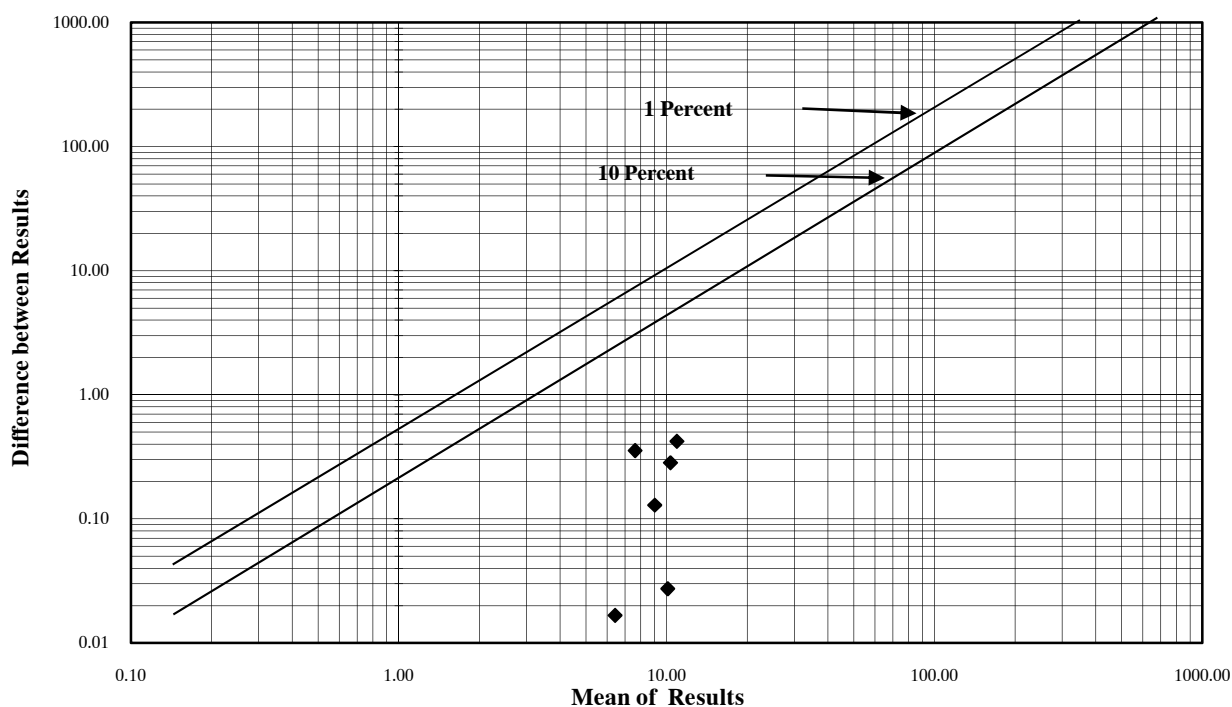


شکل (۳-۲): دیاگرام تامپسون نمونه‌های ژئوشیمی محدوده ۱:۲۵۰۰۰ قهورد

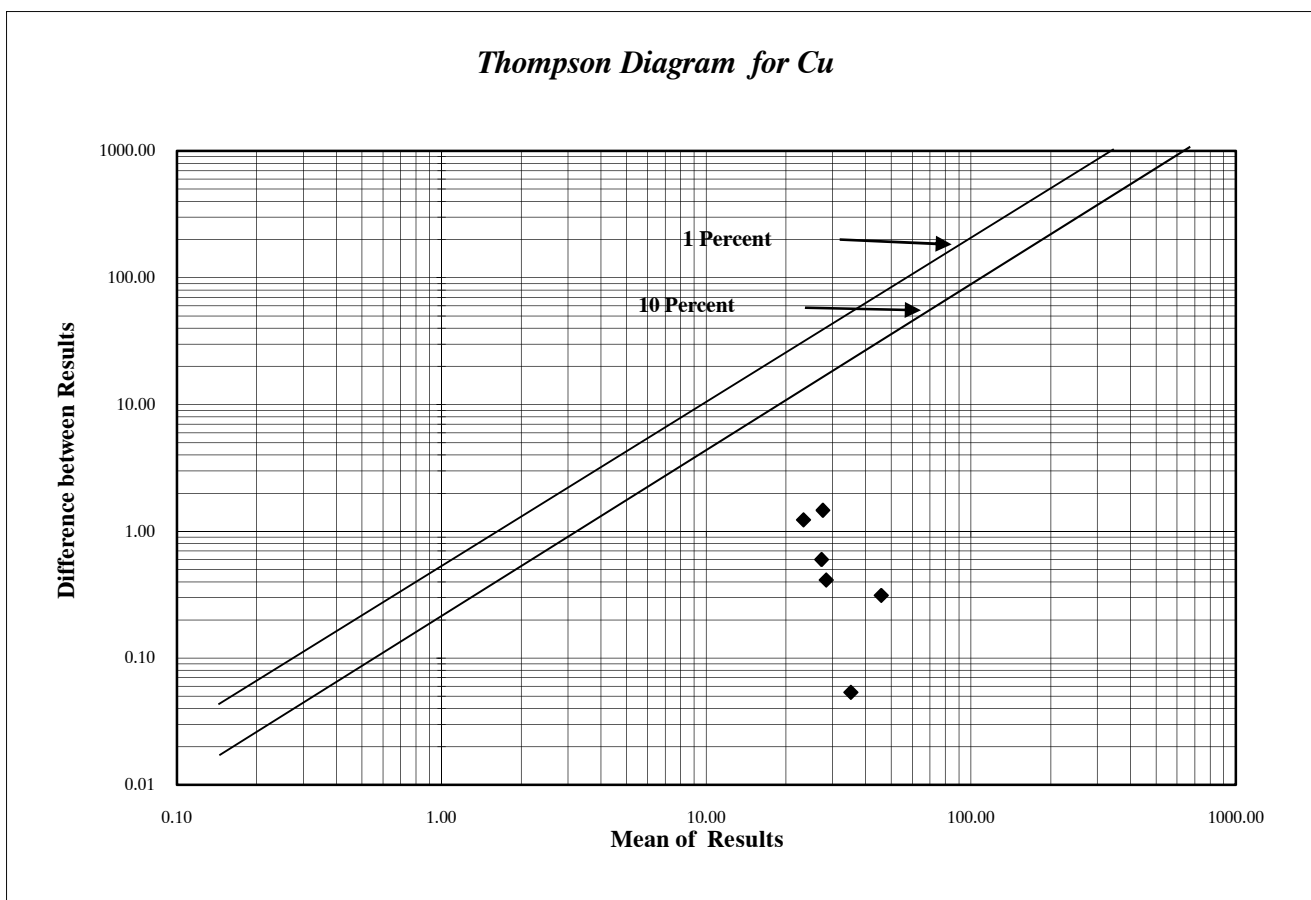
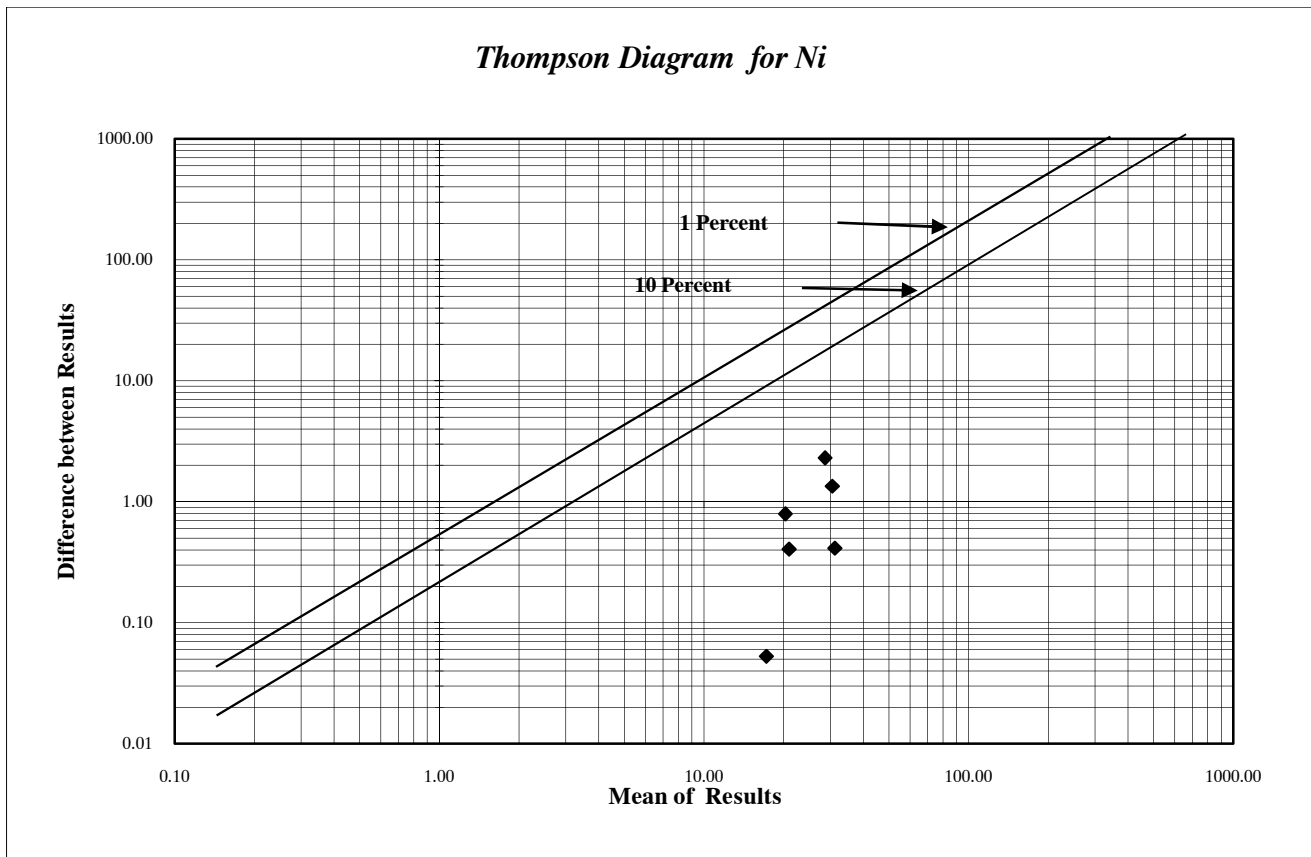
Thompson Diagram for Cr



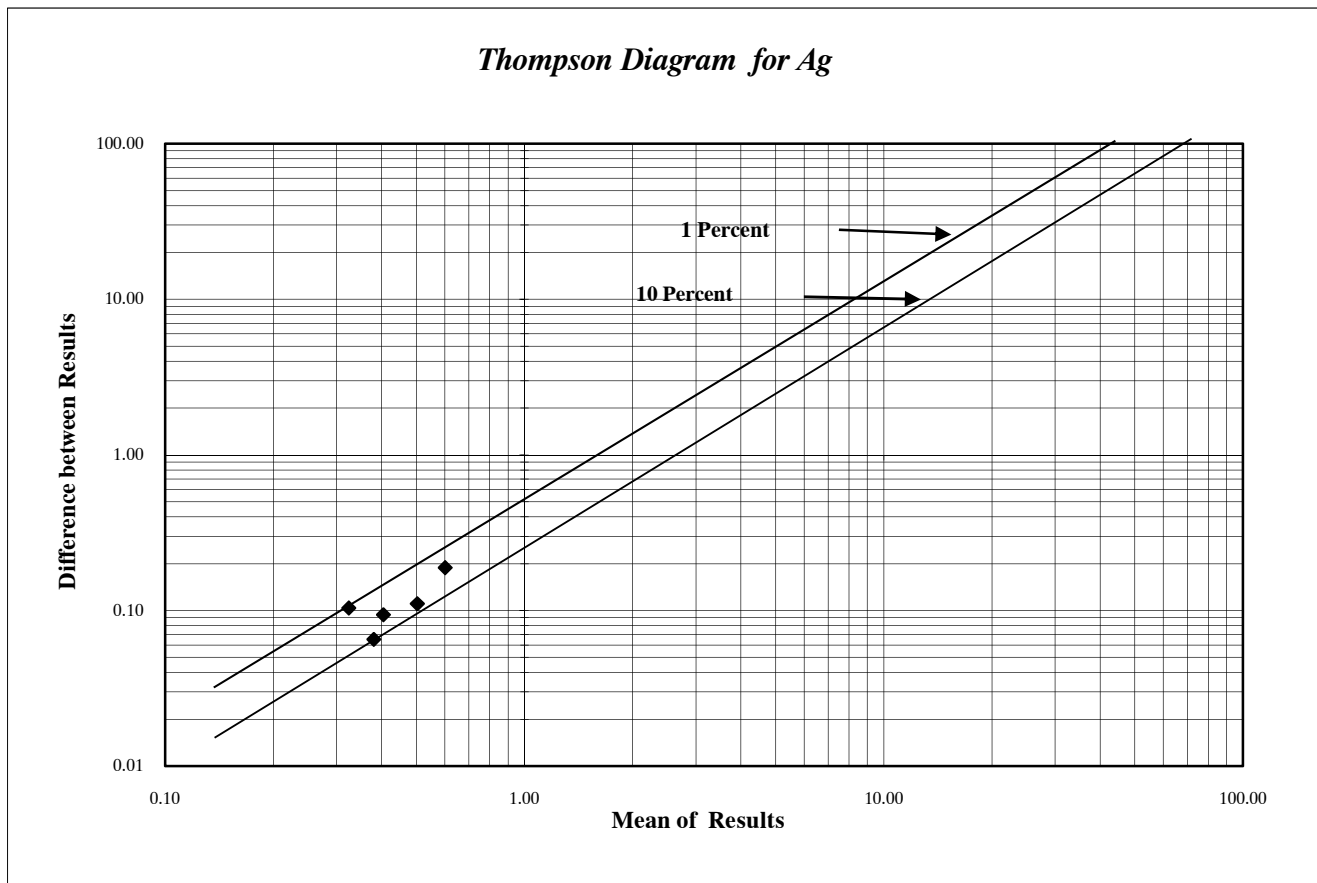
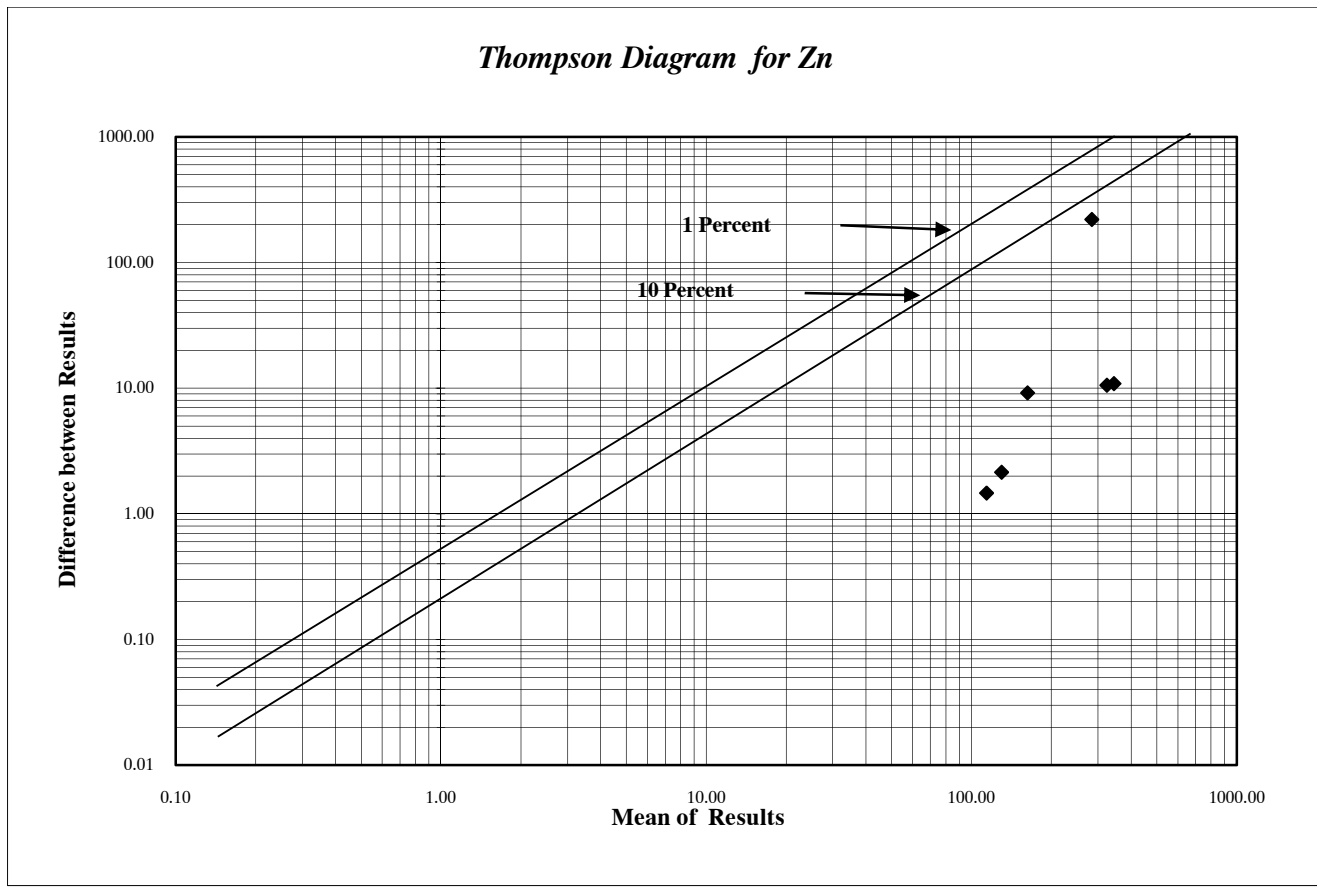
Thompson Diagram for Co



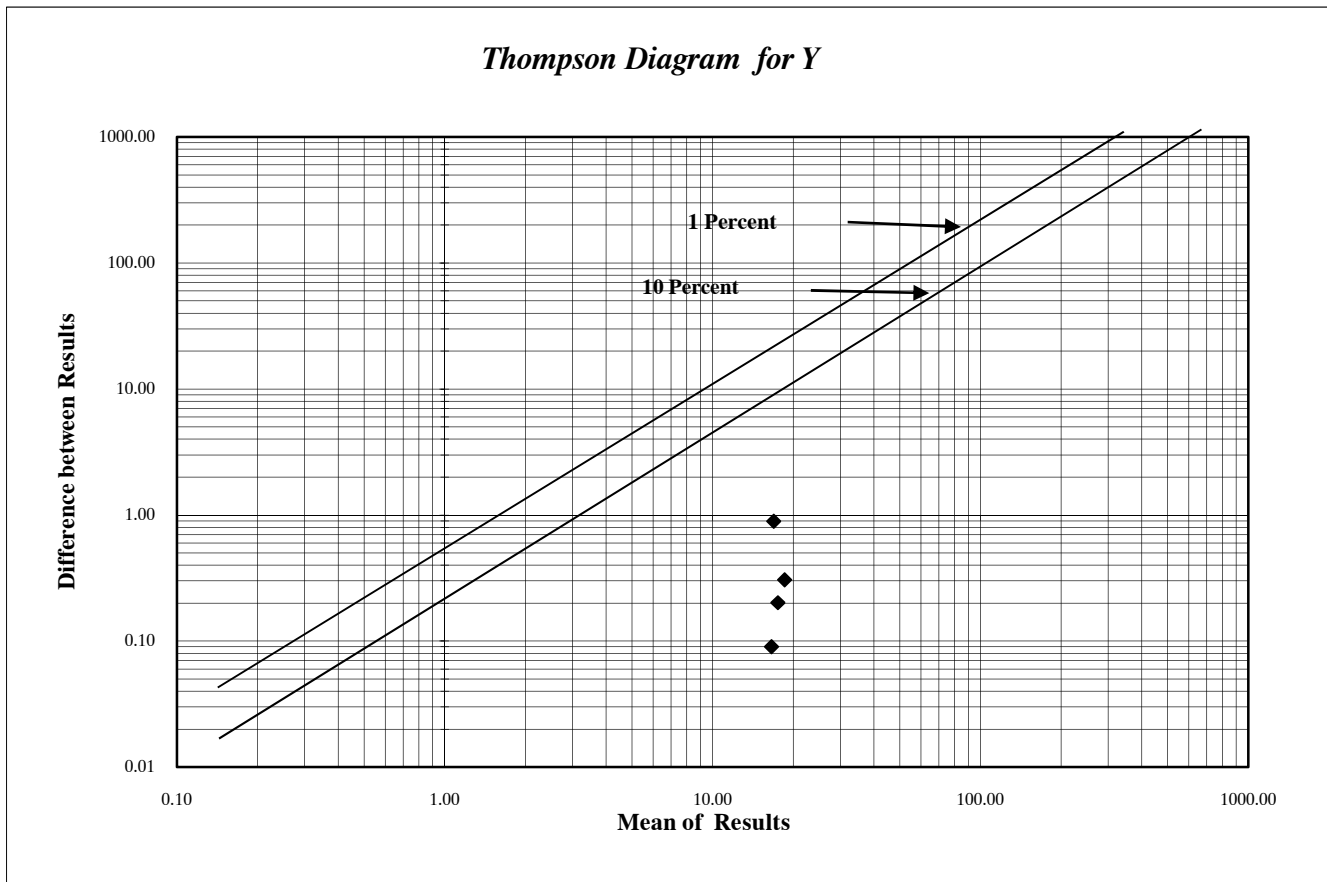
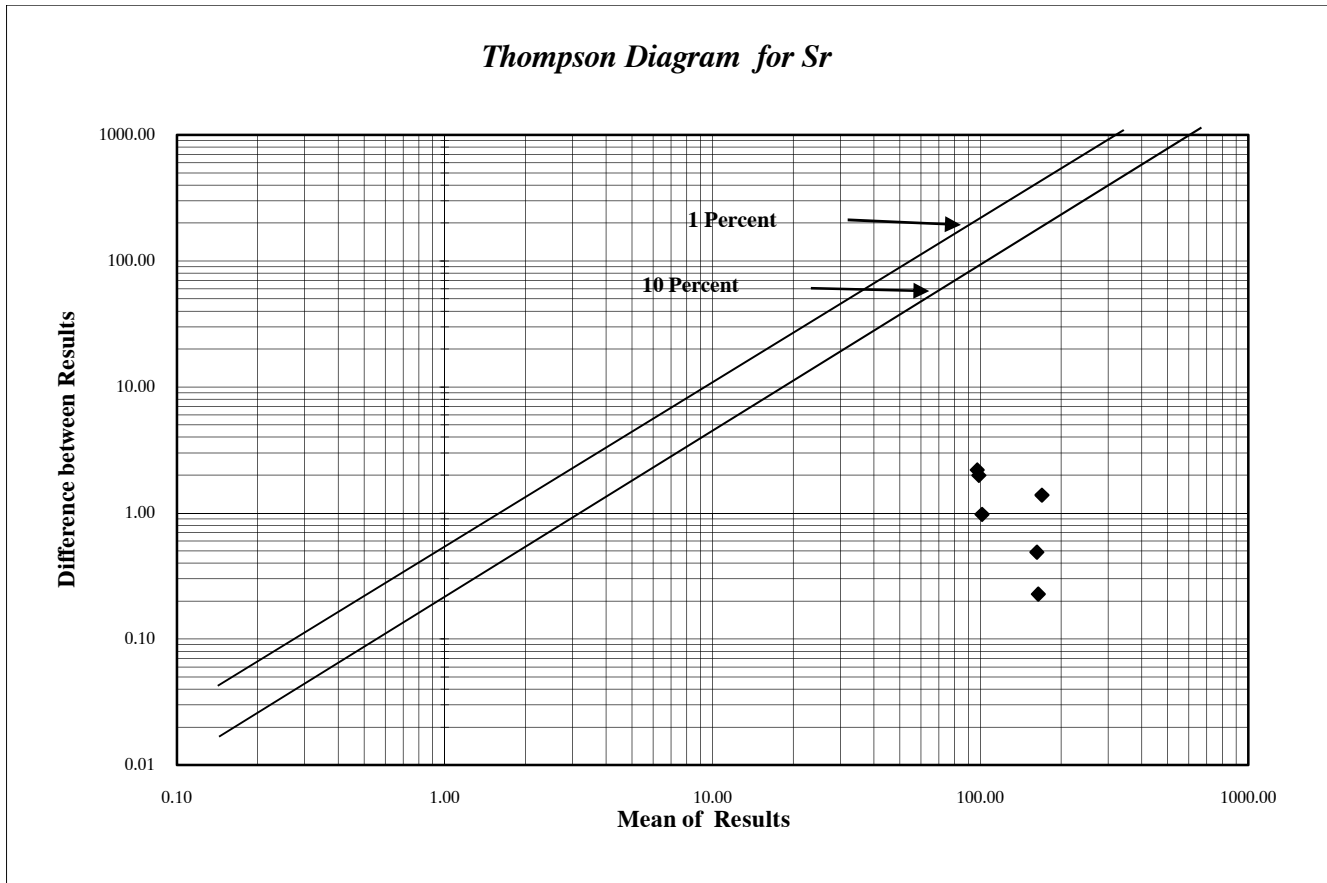
شکل (۳-۳): دیاگرام تامپسون نمونه‌های ژئوشیمی محدوده ۱:۲۵۰۰۰ قهورد



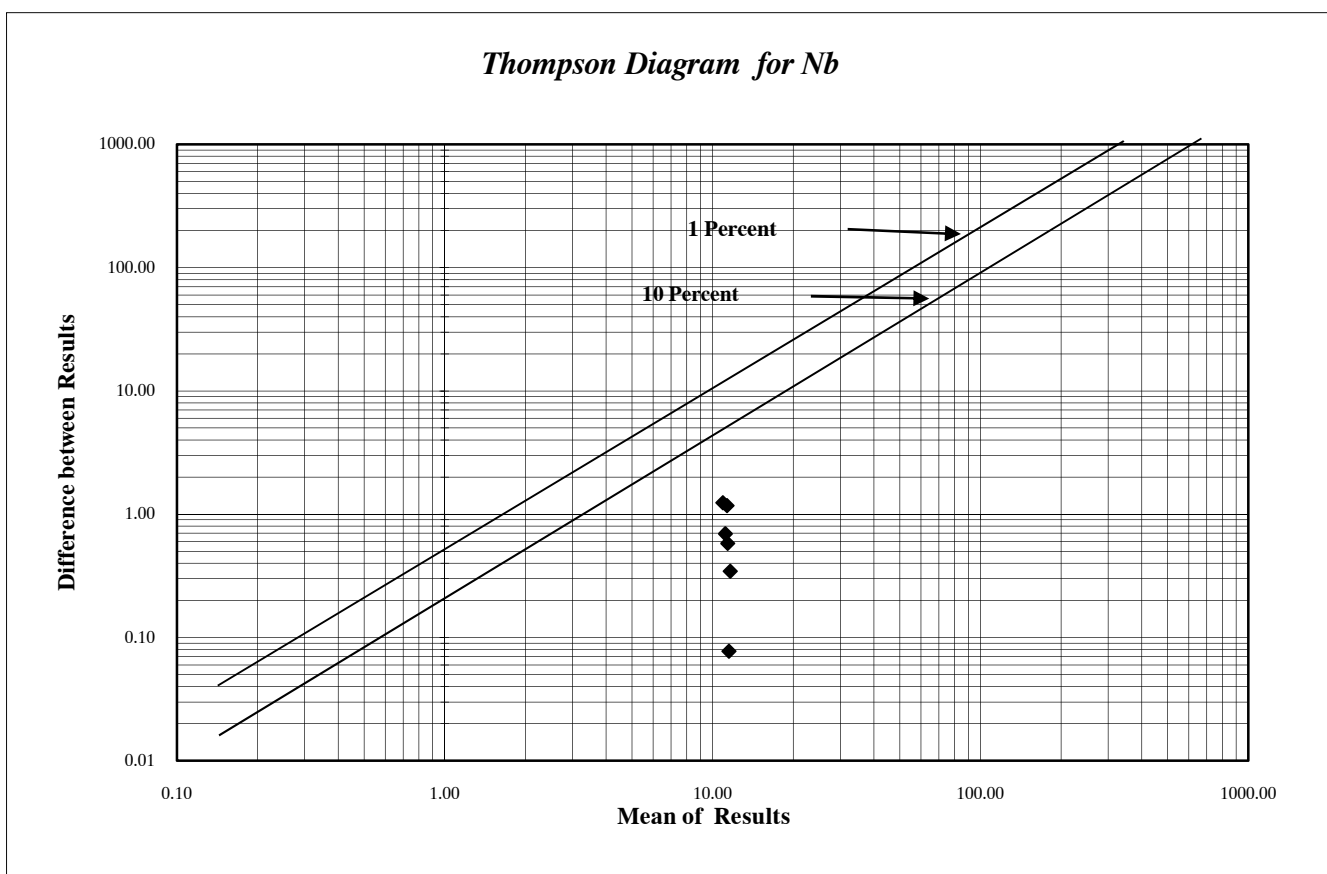
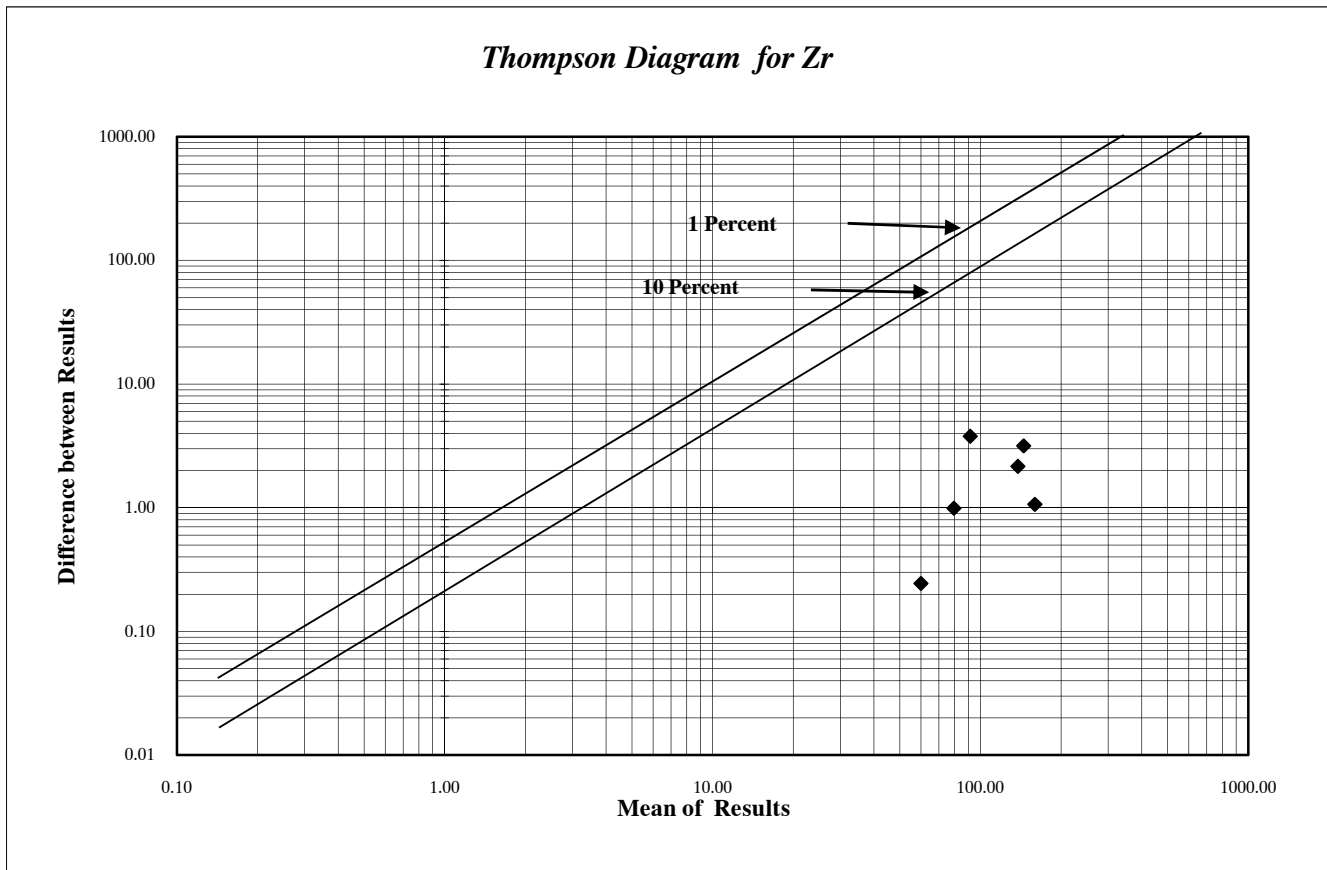
شکل (۳-۴): دیاگرام تامپسون نمونه‌های ژئوشیمی محدوده ۱:۲۵۰۰۰ قهورد



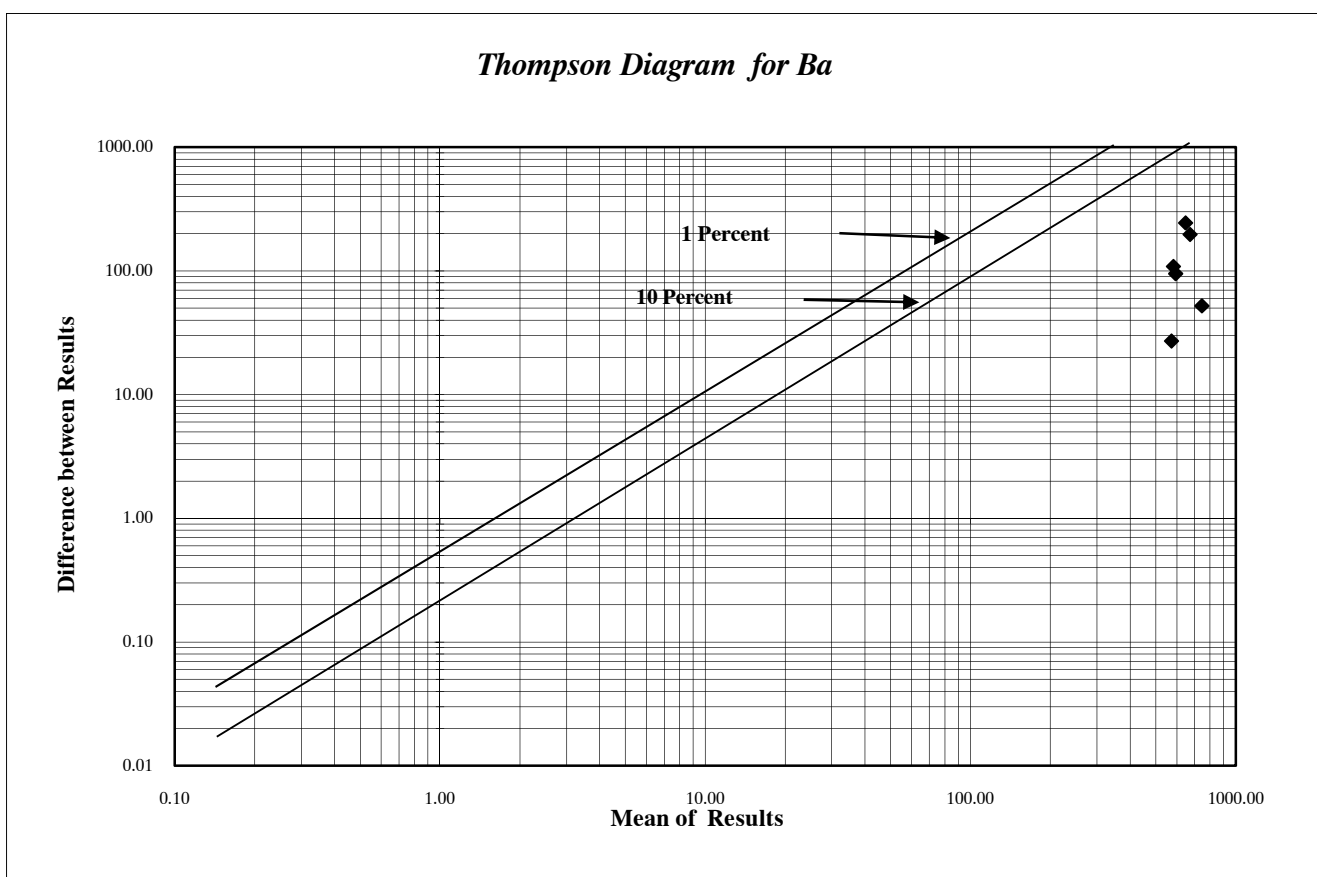
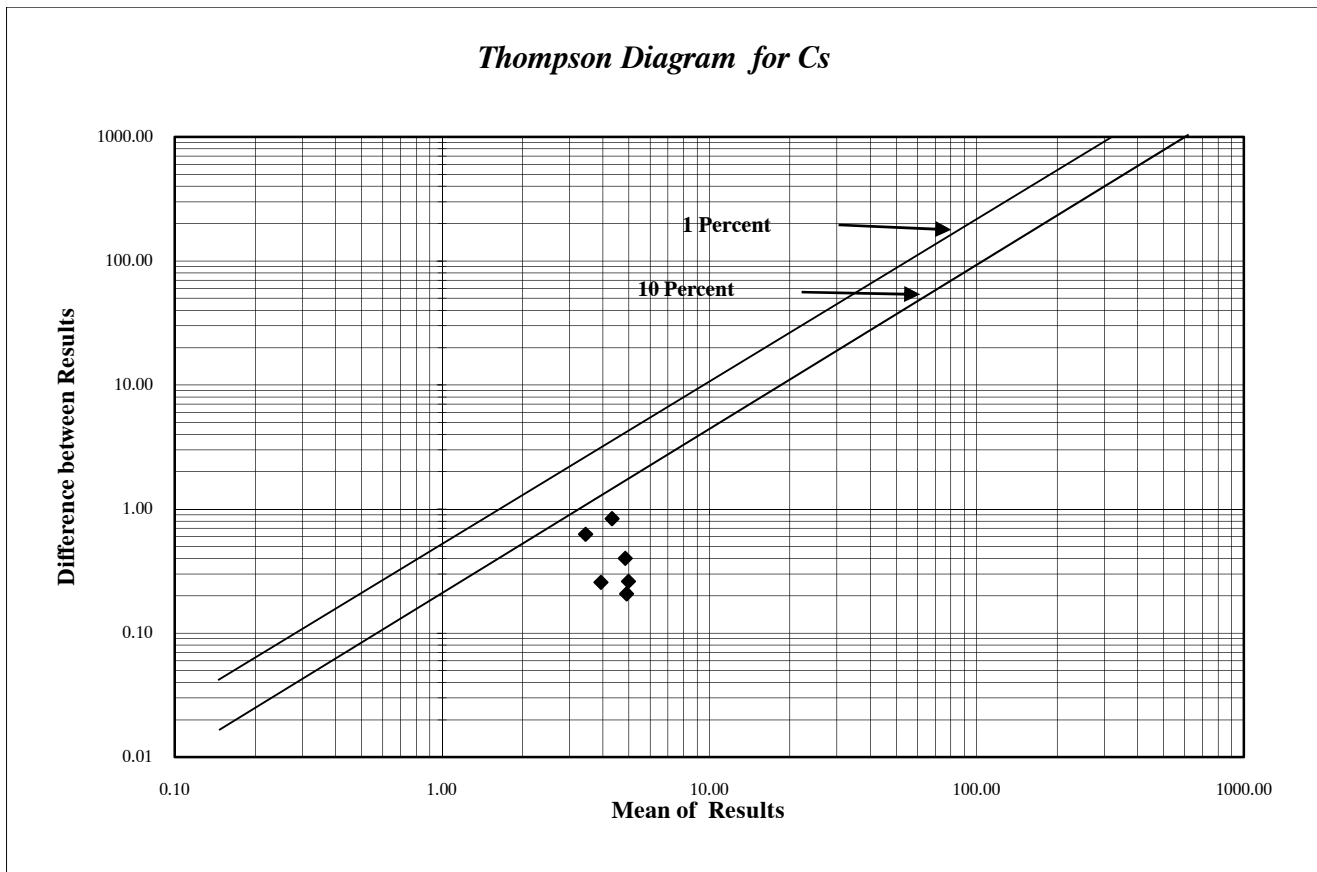
شکل (۳-۵): دیاگرام تامپسون نمونه‌های ژئوشیمی محدوده ۱:۲۵۰۰۰ قهورد



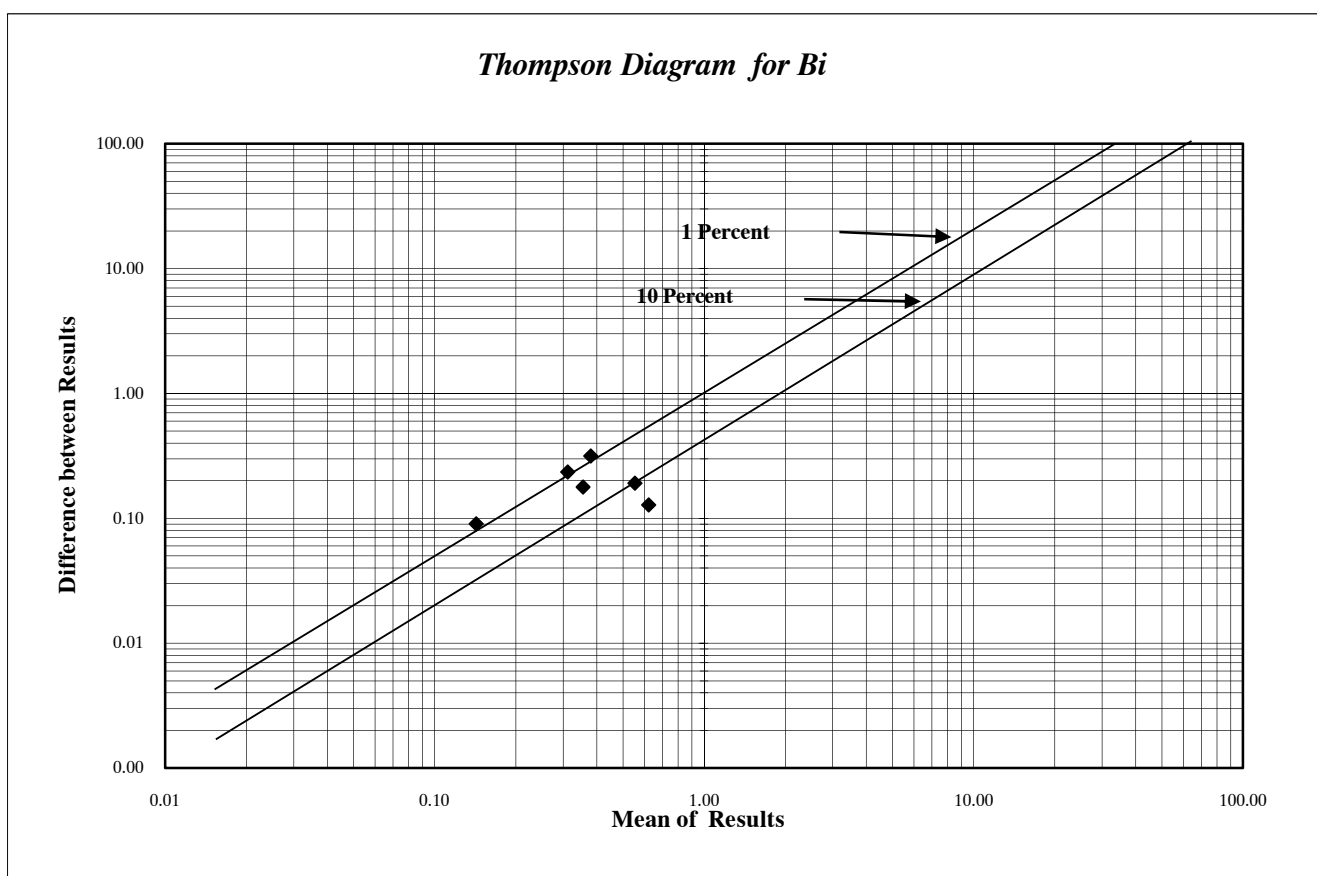
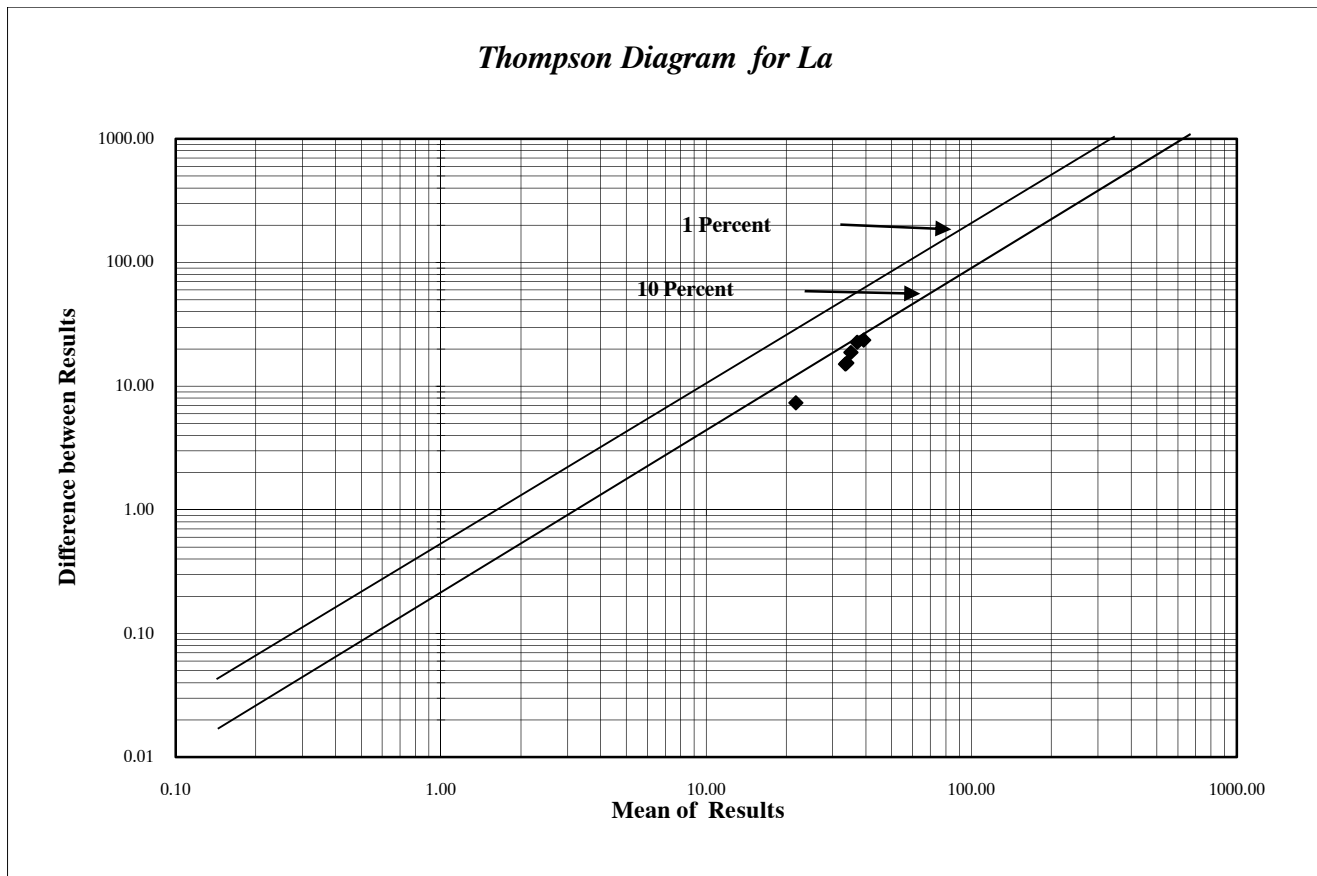
شکل (۳-۶): دیاگرام تامپسون نمونه‌های ژئوشیمی محدوده ۱:۲۵۰۰۰ قهورد



شکل (۳-۷): دیاگرام تامپسون نمونه‌های ژئوشیمی محدوده ۱:۲۵۰۰۰ قهورد

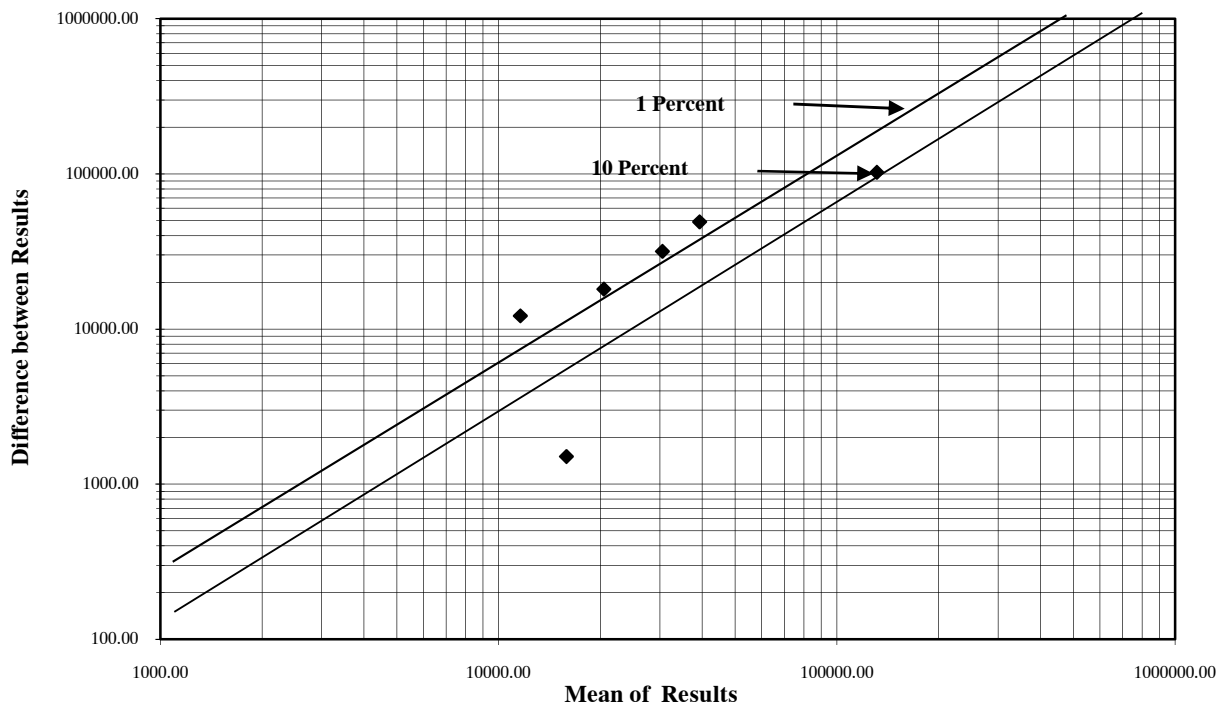


شکل (۳-۸): دیاگرام تامپسون نمونه‌های ژئوشیمی محدوده ۱:۲۵۰۰۰ قهورد

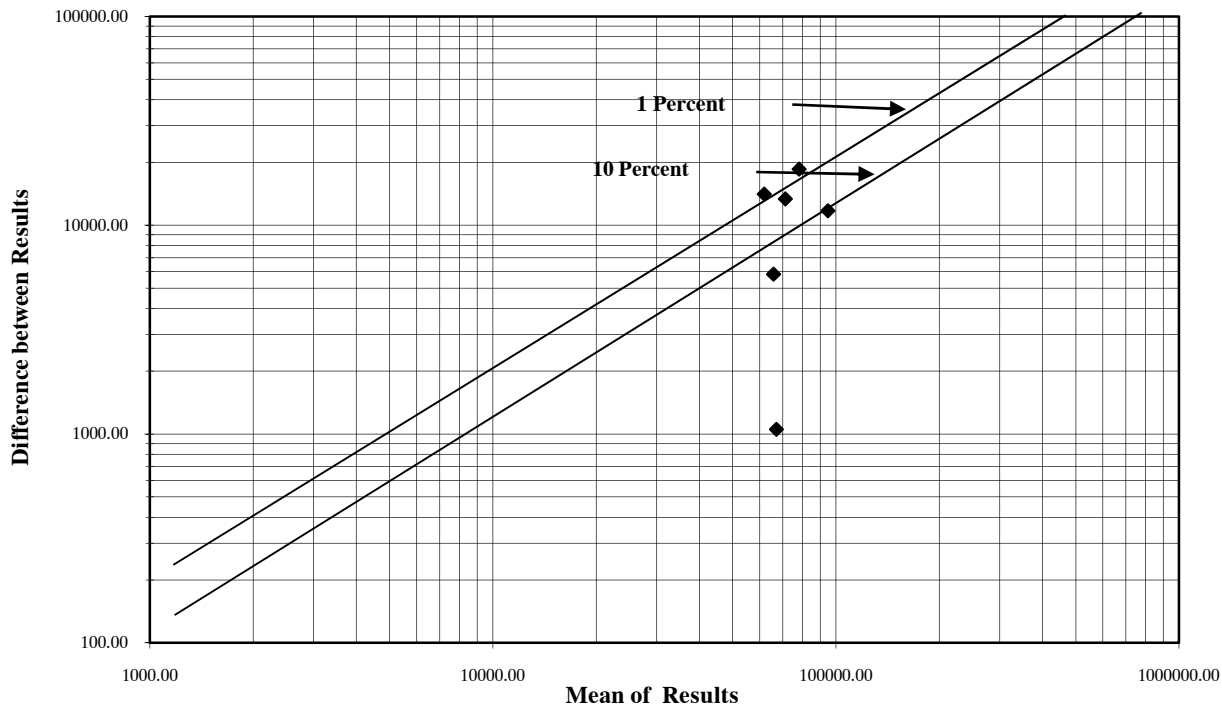


شکل (۳-۹): دیاگرام تامپسون نمونه‌های ژئوشیمی محدوده ۱:۲۵۰۰۰ قهورد

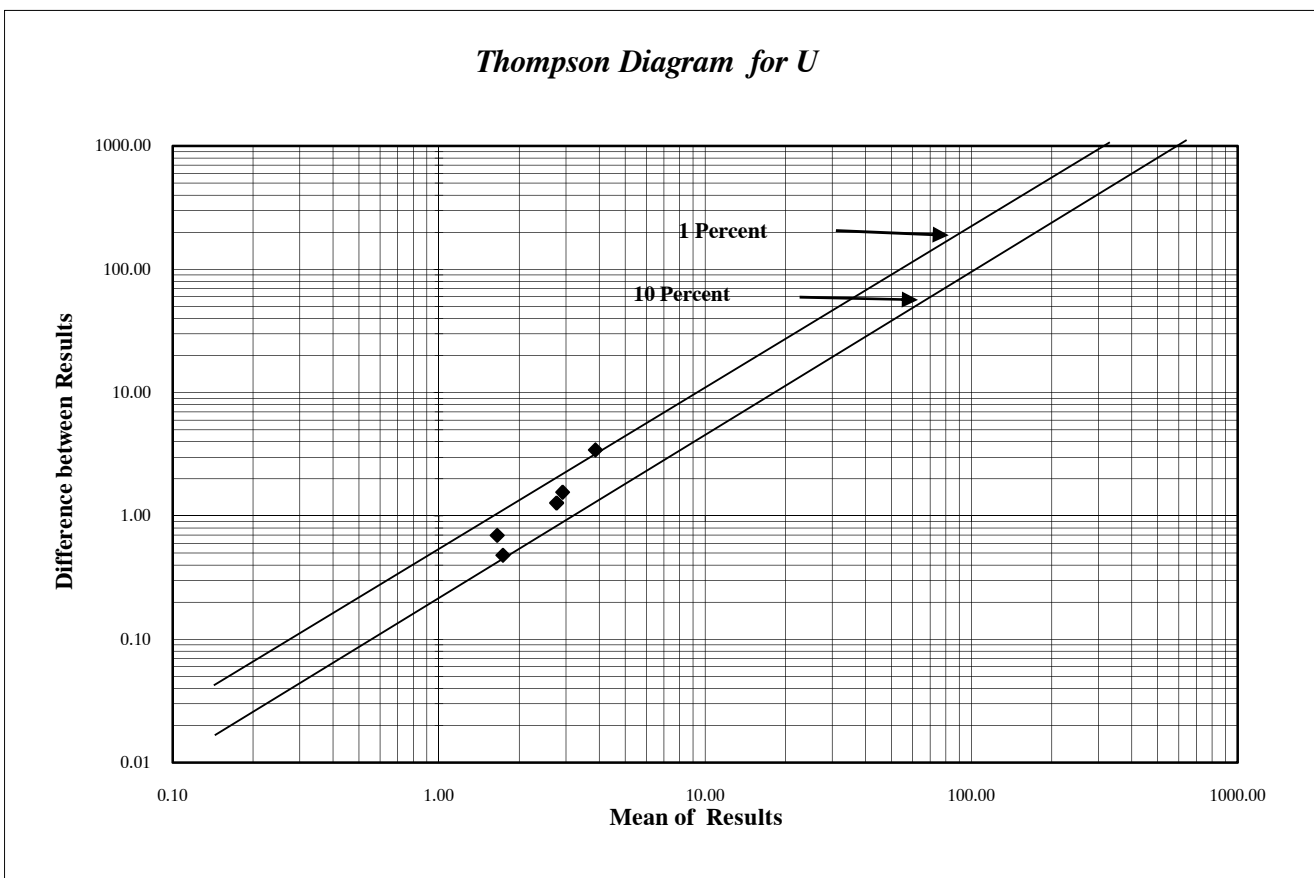
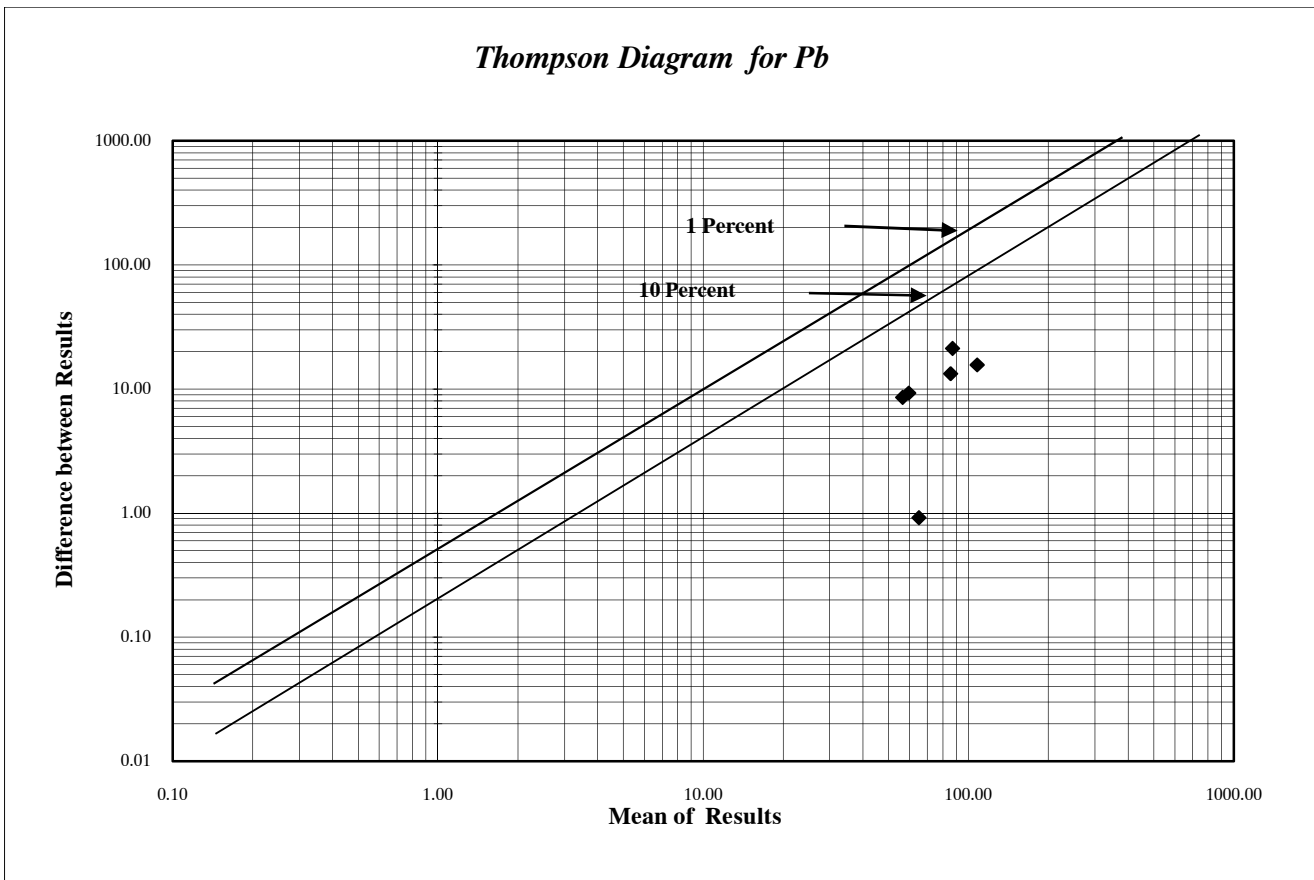
Thompson Diagram for Ca



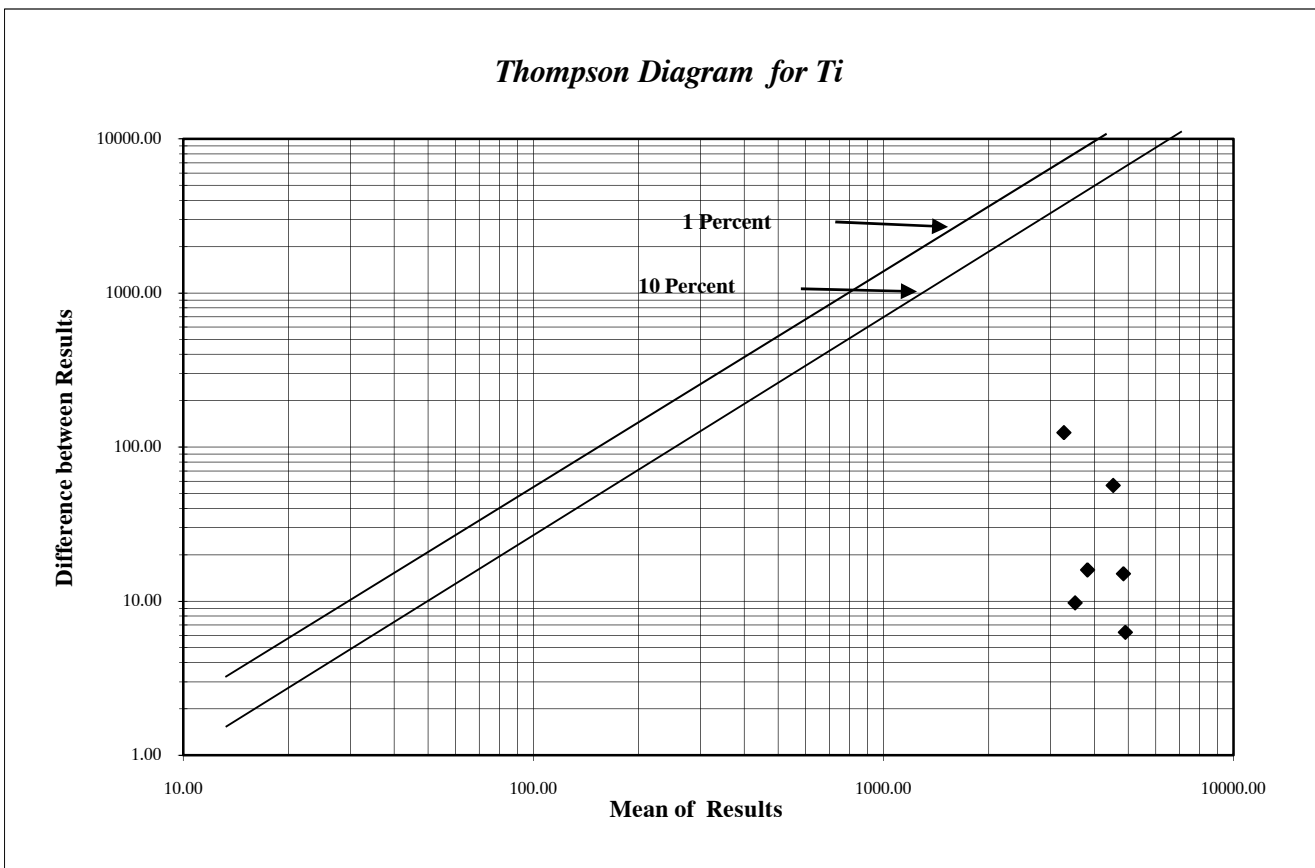
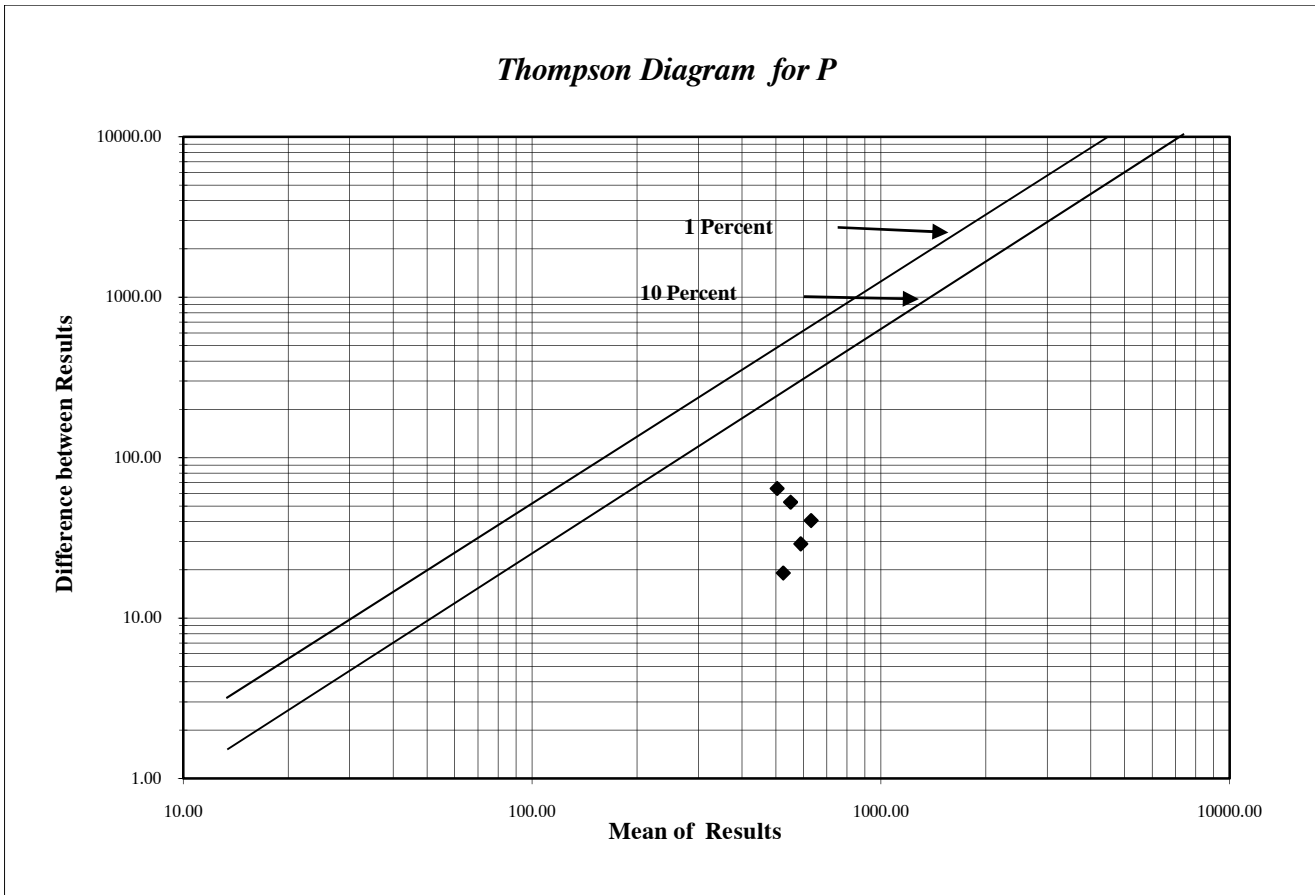
Thompson Diagram for Al



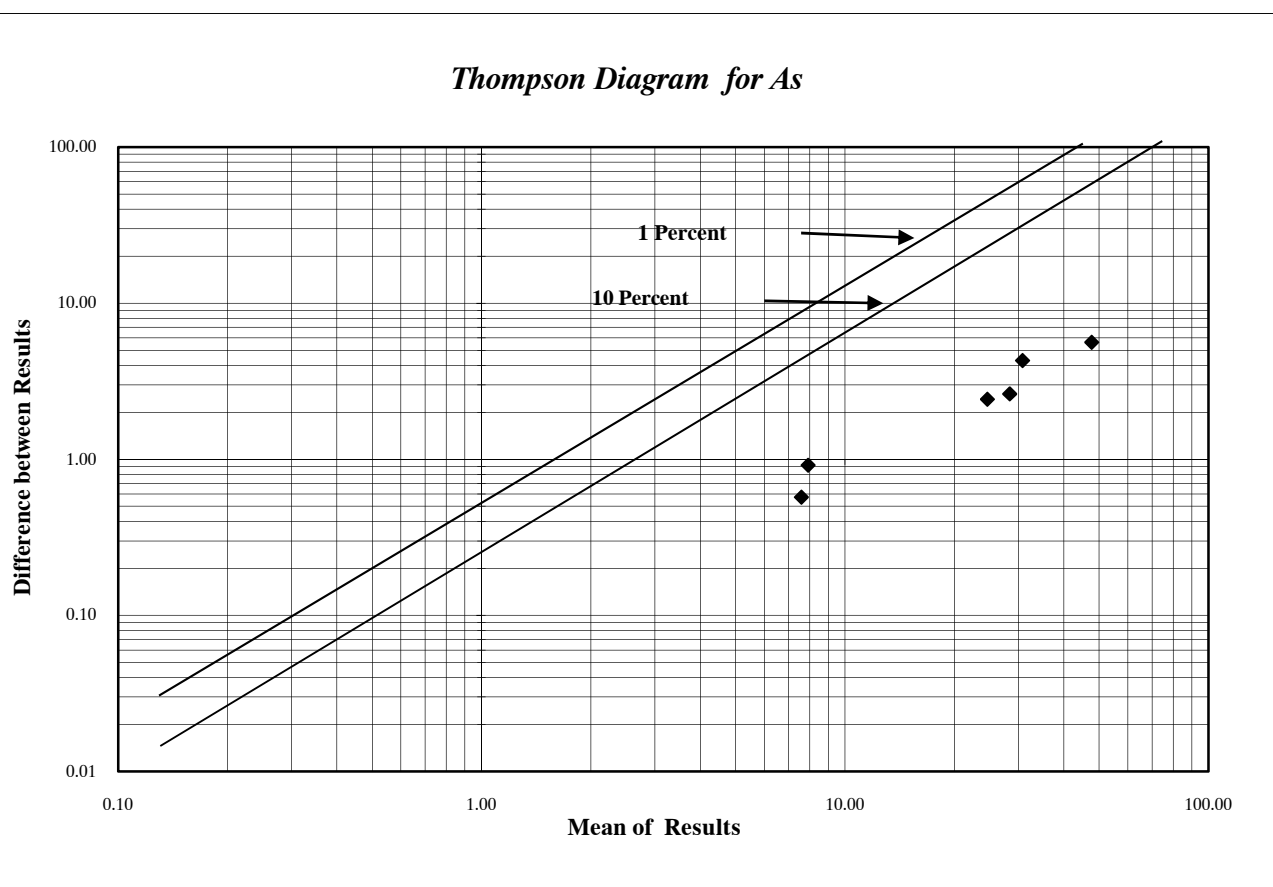
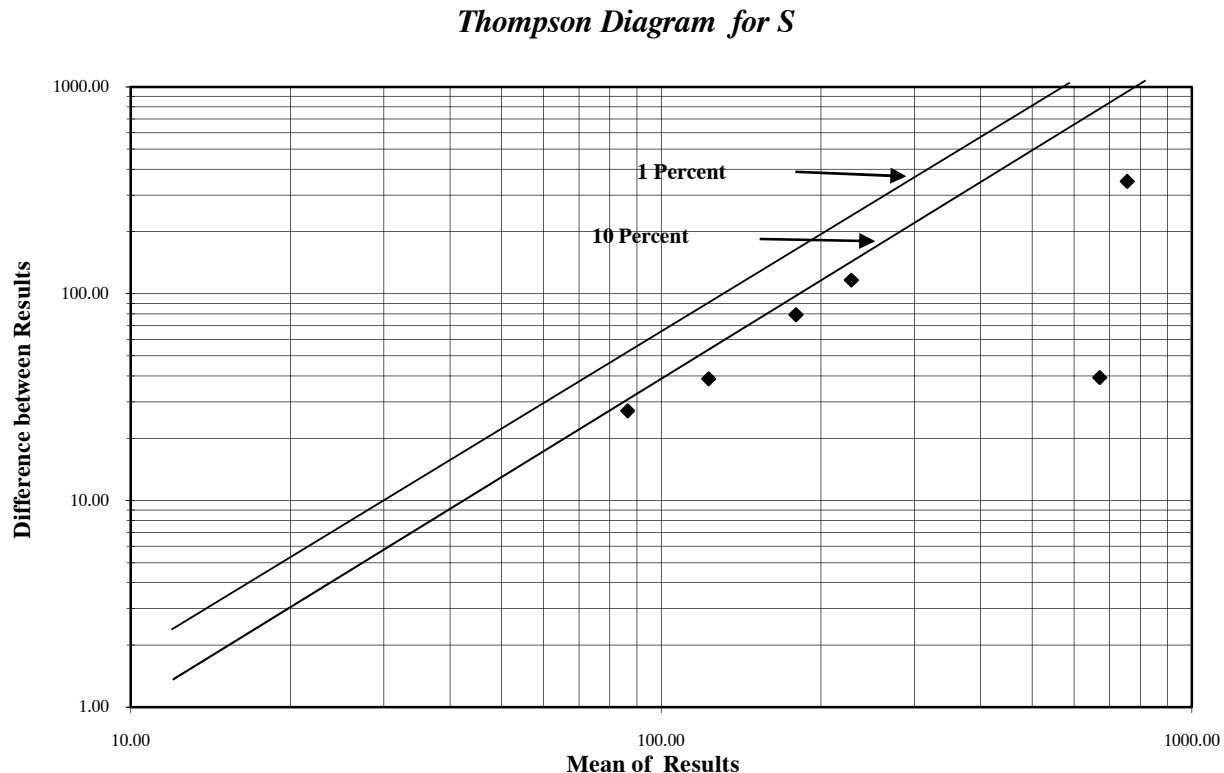
شکل (۱۰-۳): دیاگرام تامپسون نمونه‌های ژئوشیمی محدوده ۱:۲۵۰۰۰ قهورد



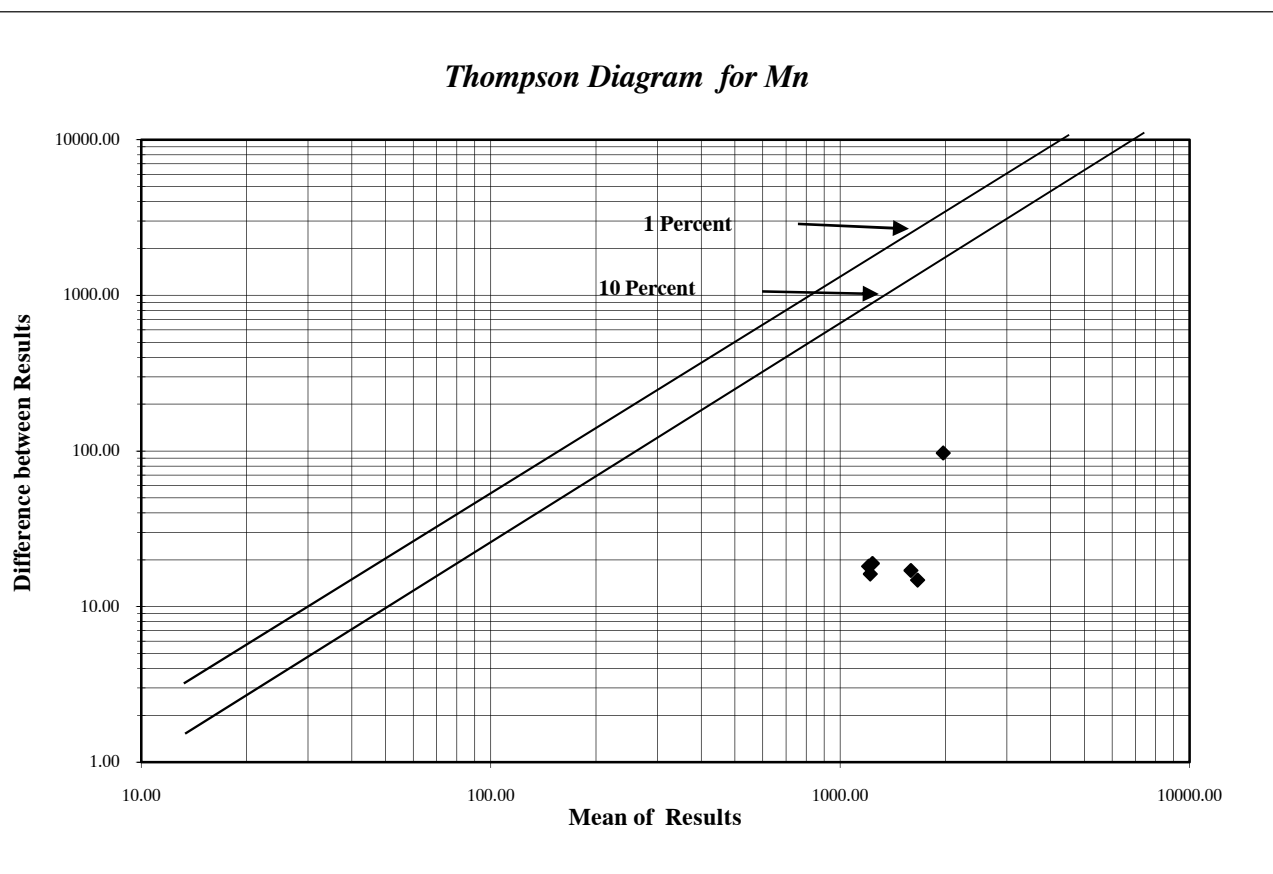
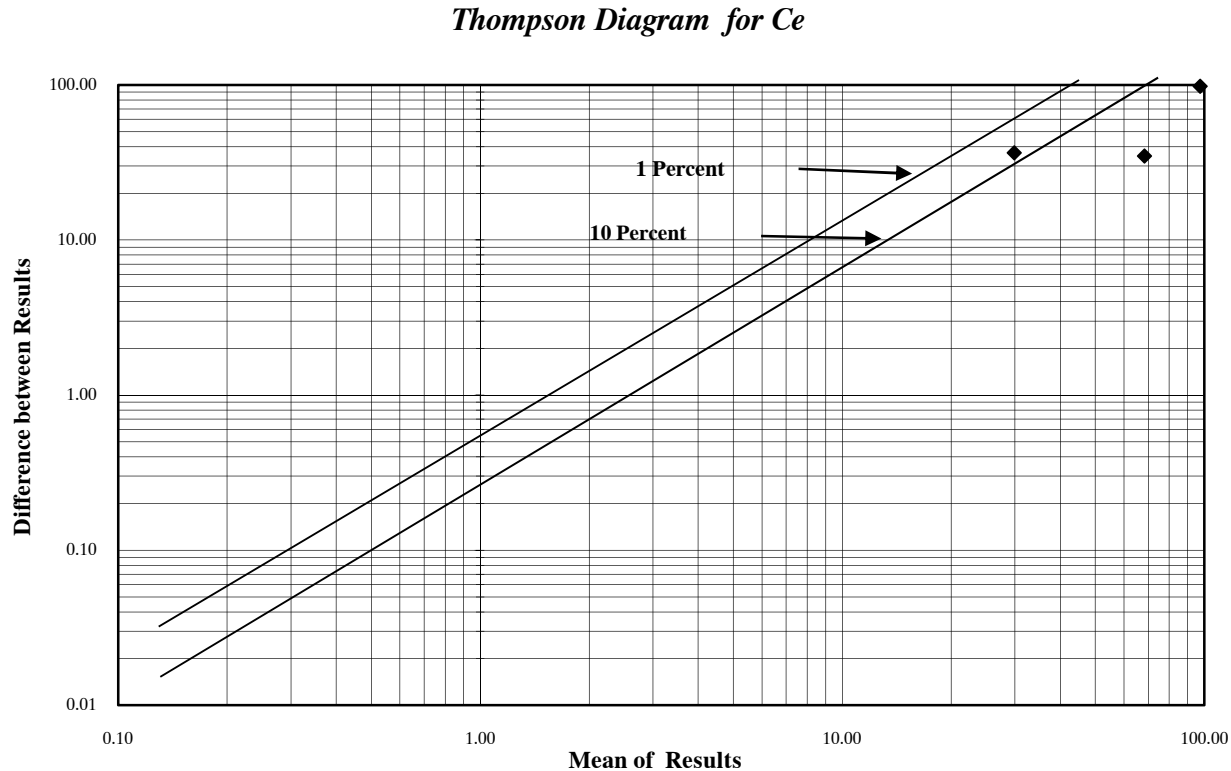
شکل (۱۱-۳): دیاگرام تامپسون نمونه‌های ژئوشیمی محدوده ۱:۲۵۰۰۰ قهورد



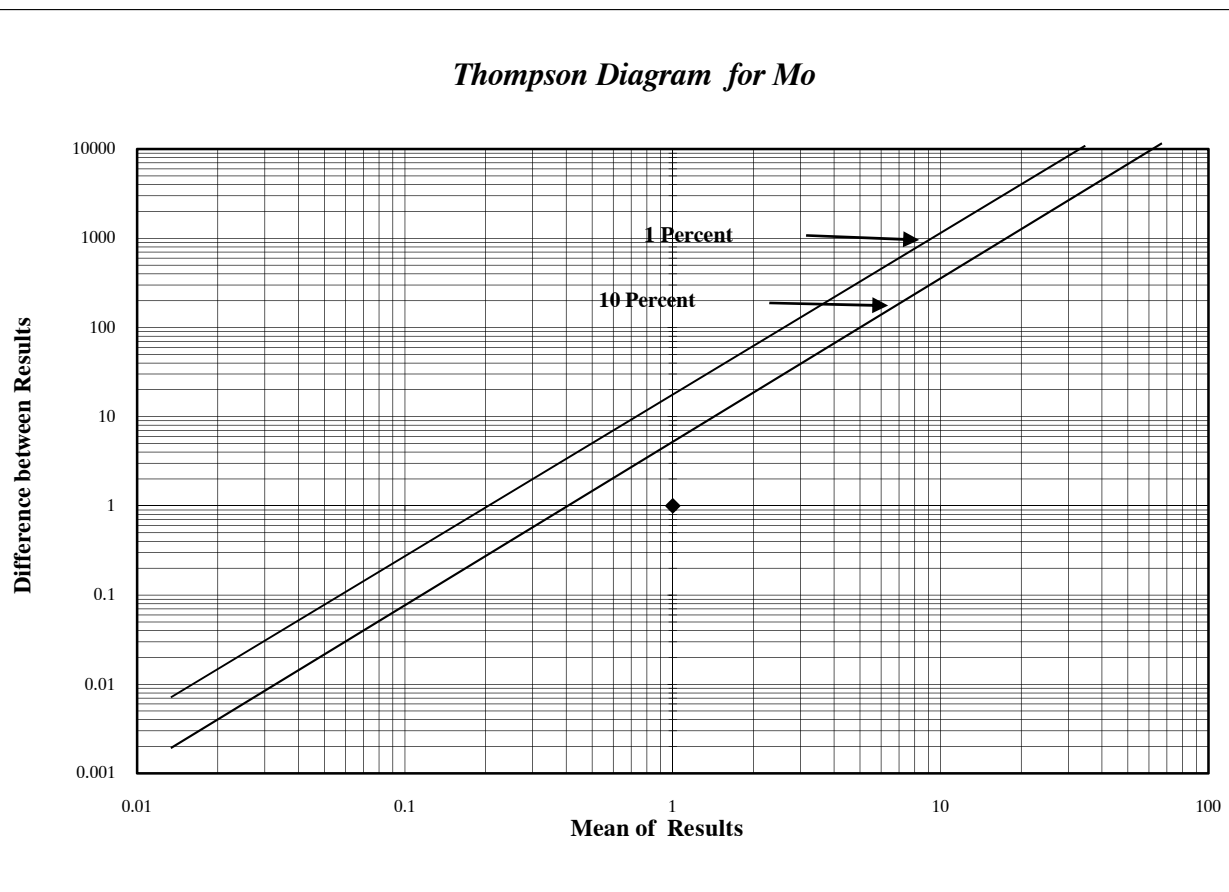
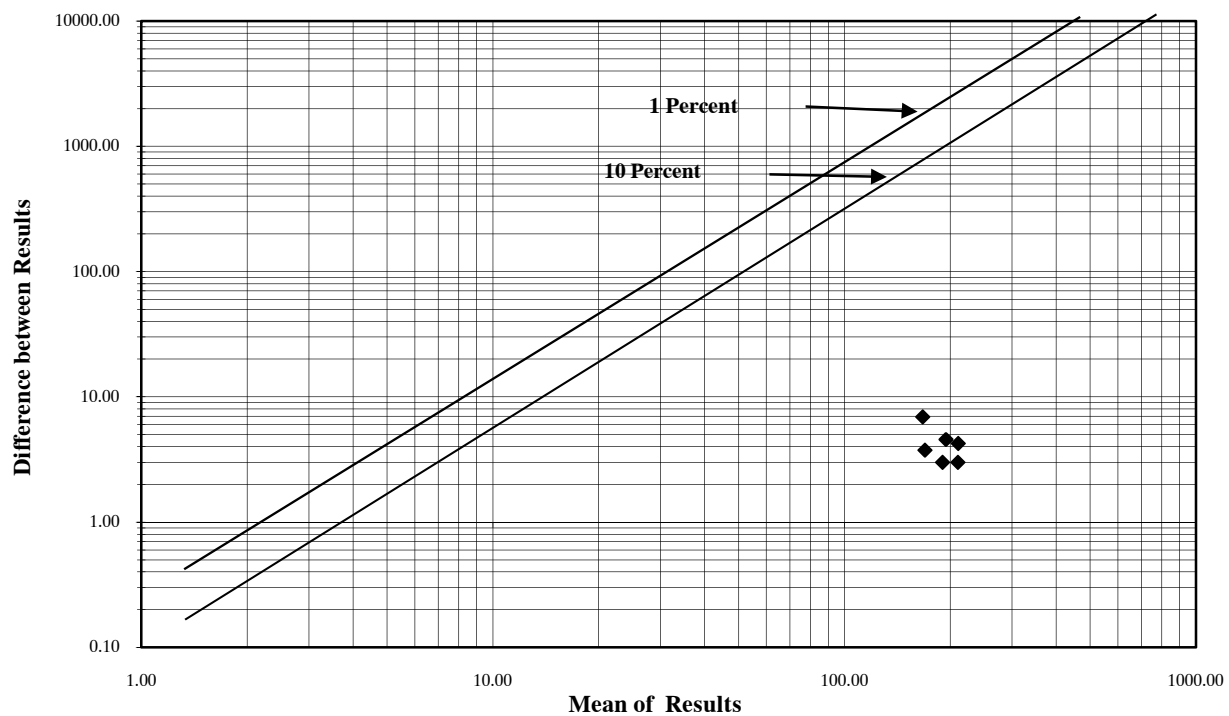
شکل (۱۲-۳): دیاگرام تامپسون نمونه‌های ژئوشیمی محدوده ۱:۲۵۰۰۰ قهورد



شکل (۱۳-۳): دیاگرام تامپسون نمونه‌های ژئوشیمی محدوده ۱:۲۵۰۰۰ قهورد

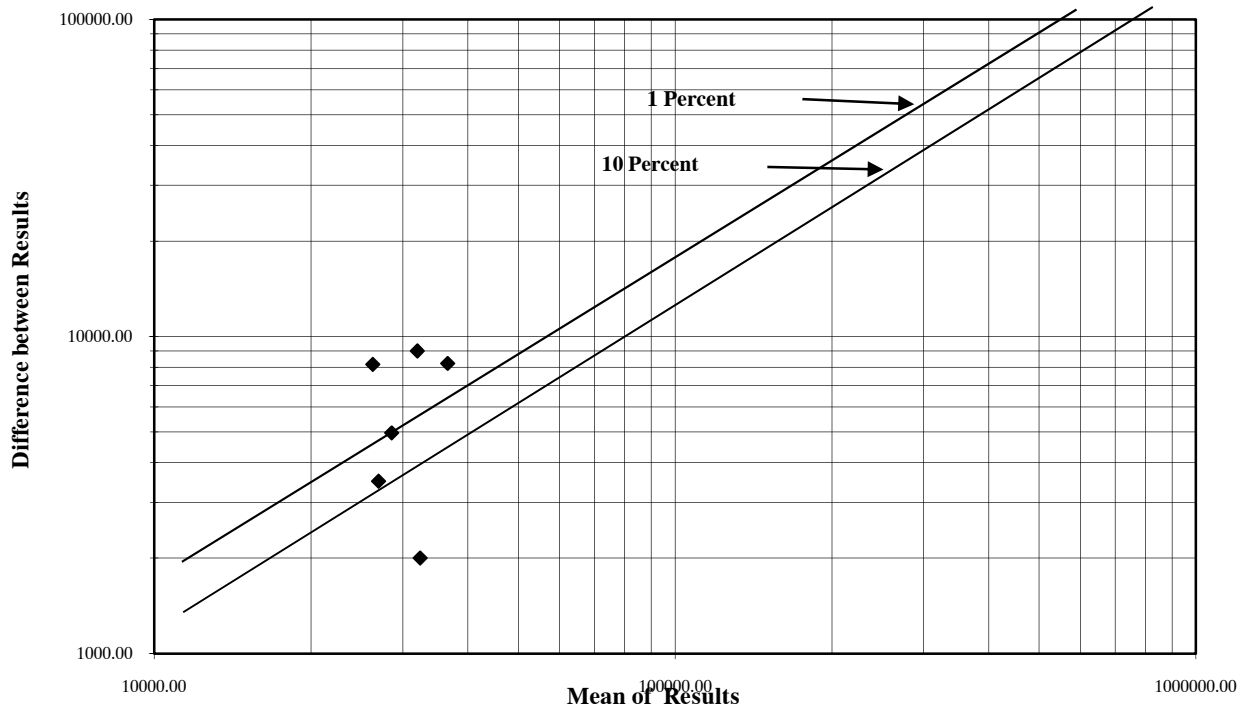


شکل (۱۴-۳): دیاگرام تامپسون نمونه‌های ژئوشیمی محدوده ۱:۲۵۰۰۰ قهورد

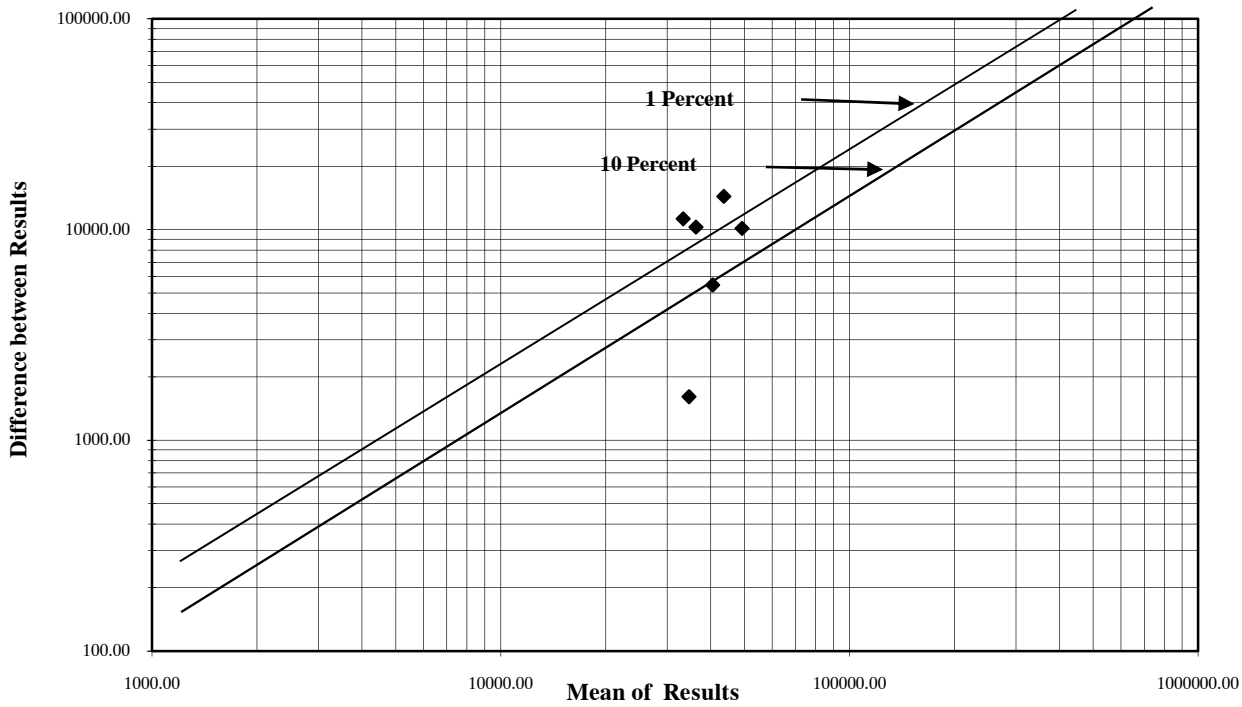


شکل (۱۵-۳): دیاگرام تامپسون نمونه‌های ژئوشیمی محدوده ۱:۲۵۰۰۰ قهورد

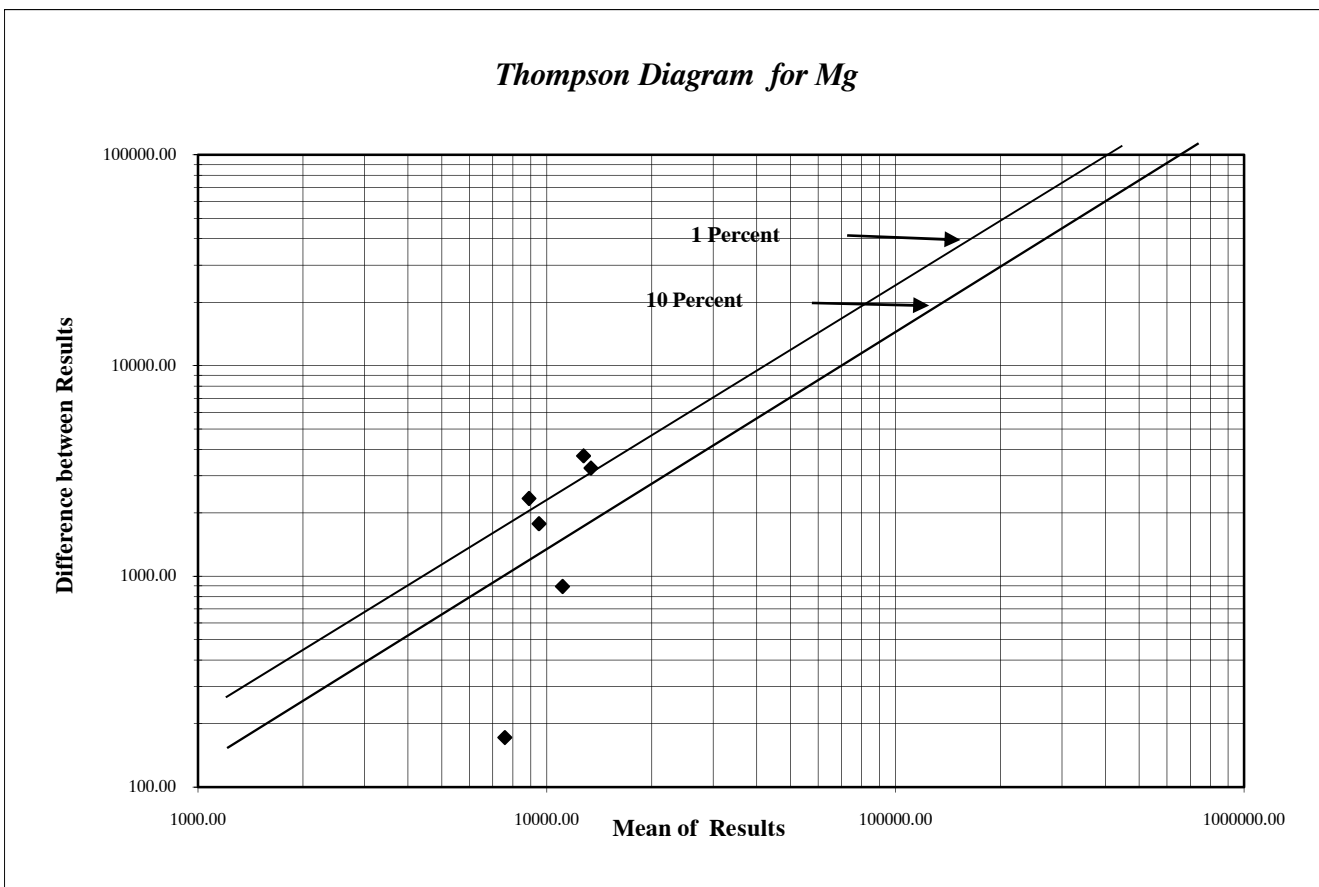
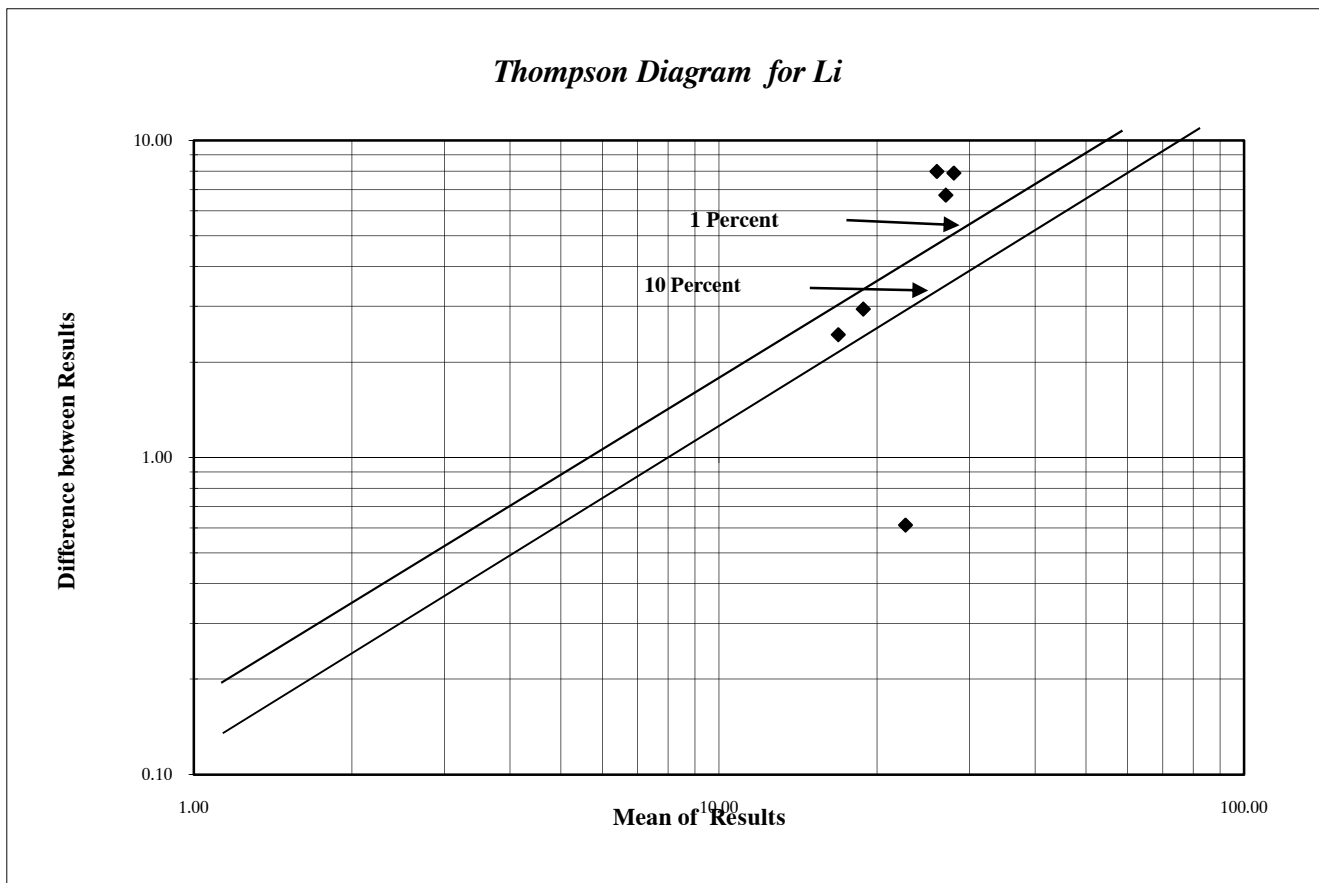
Thompson Diagram for Fe



Thompson Diagram for K

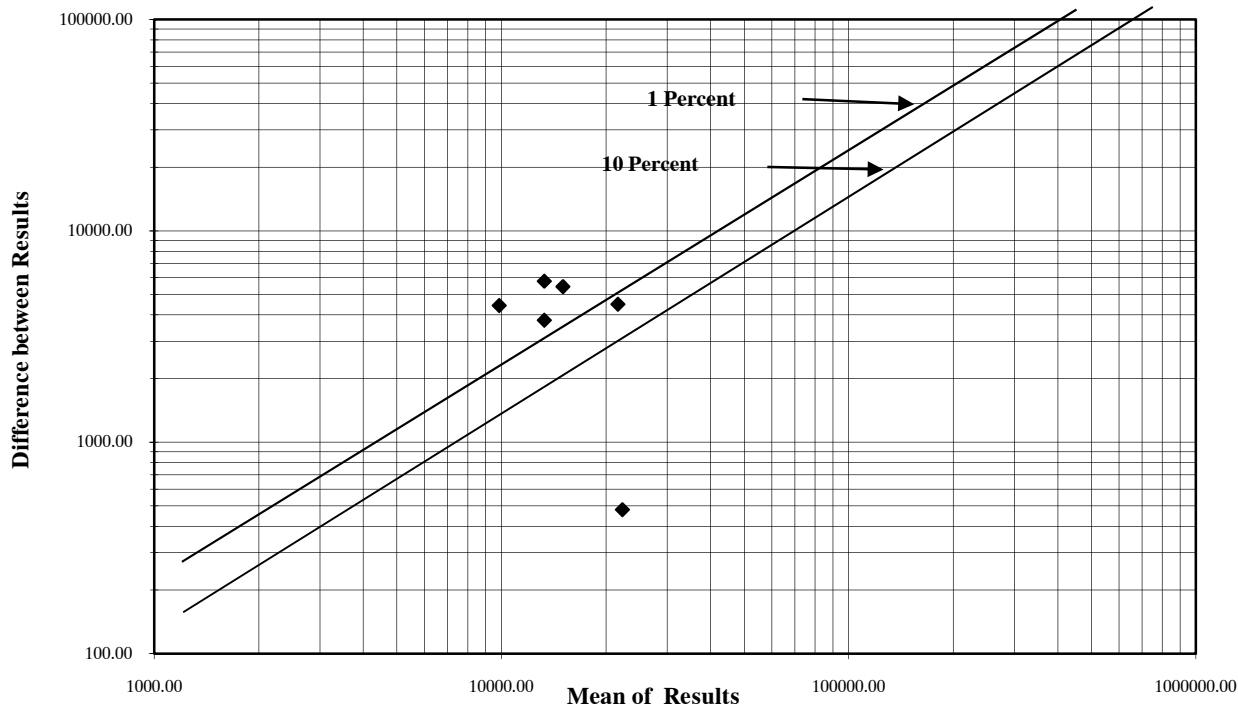


شکل (۱۶-۳): دیاگرام تامپسون نمونه‌های ژئوشیمی محدوده ۱:۲۵۰۰۰ قهورد

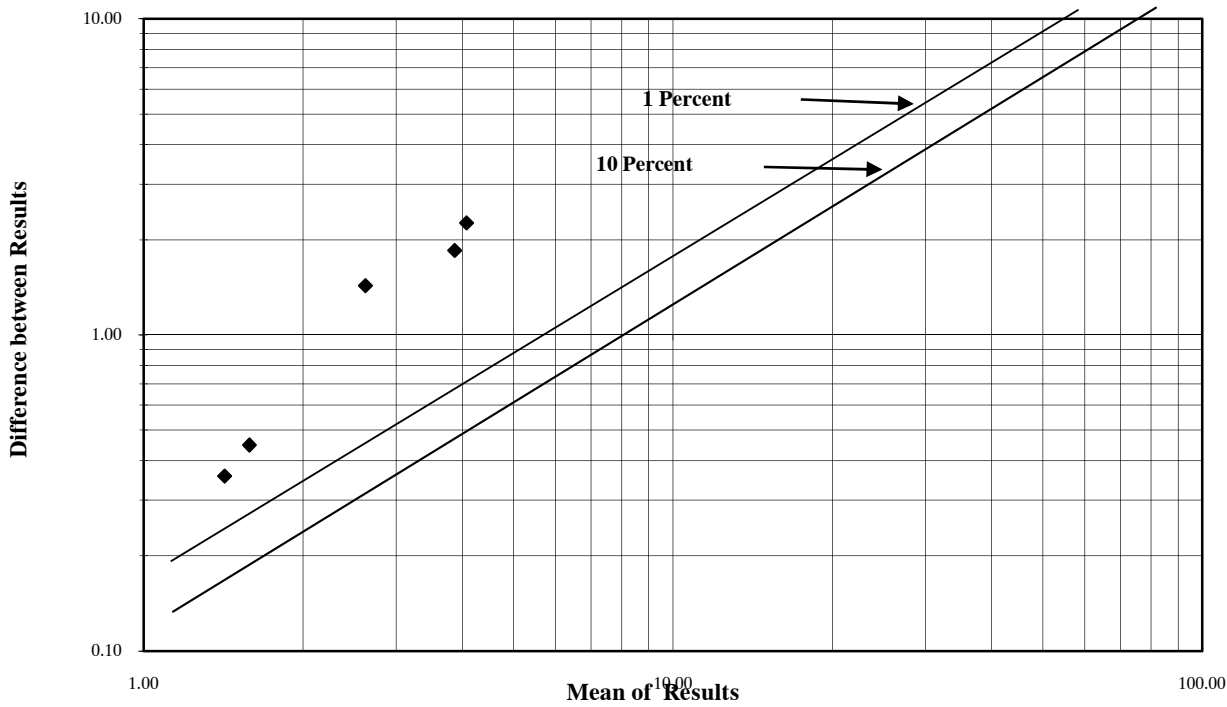


شکل (۱۷-۳): دیاگرام تامپسون نمونه‌های ژئوشیمی محدوده ۱:۲۵۰۰۰ قهورد

Thompson Diagram for Na

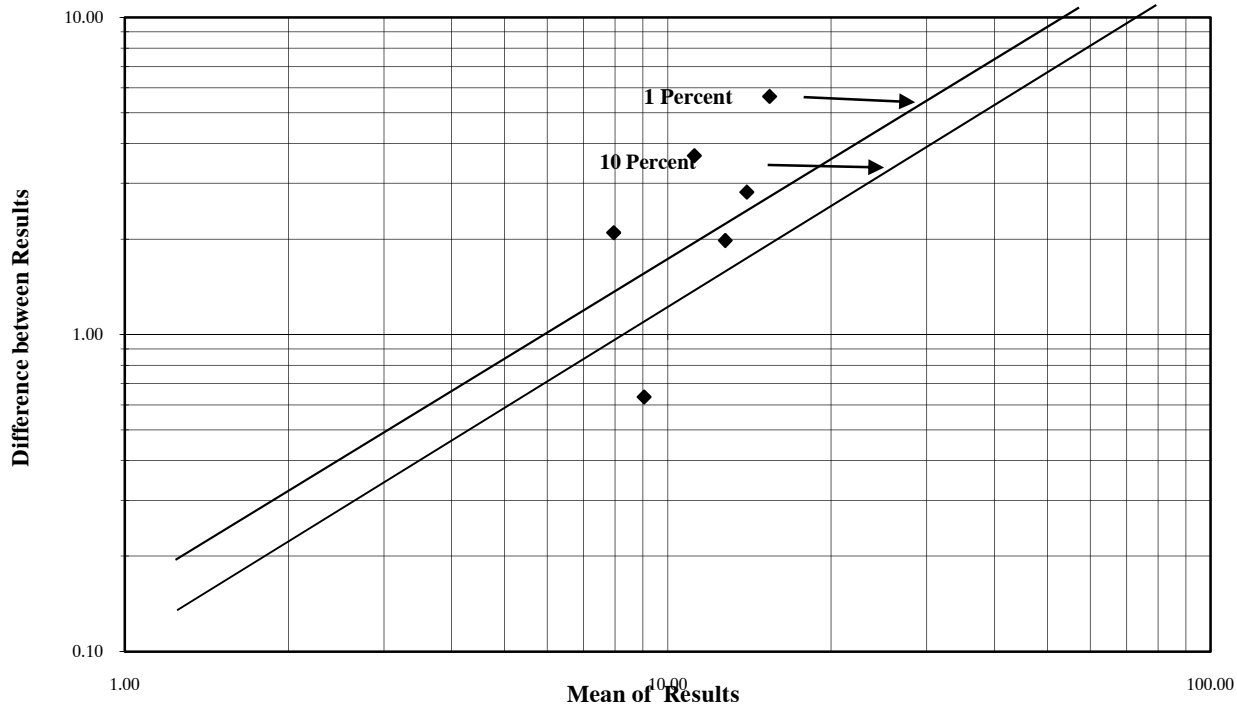


Thompson Diagram for Sb

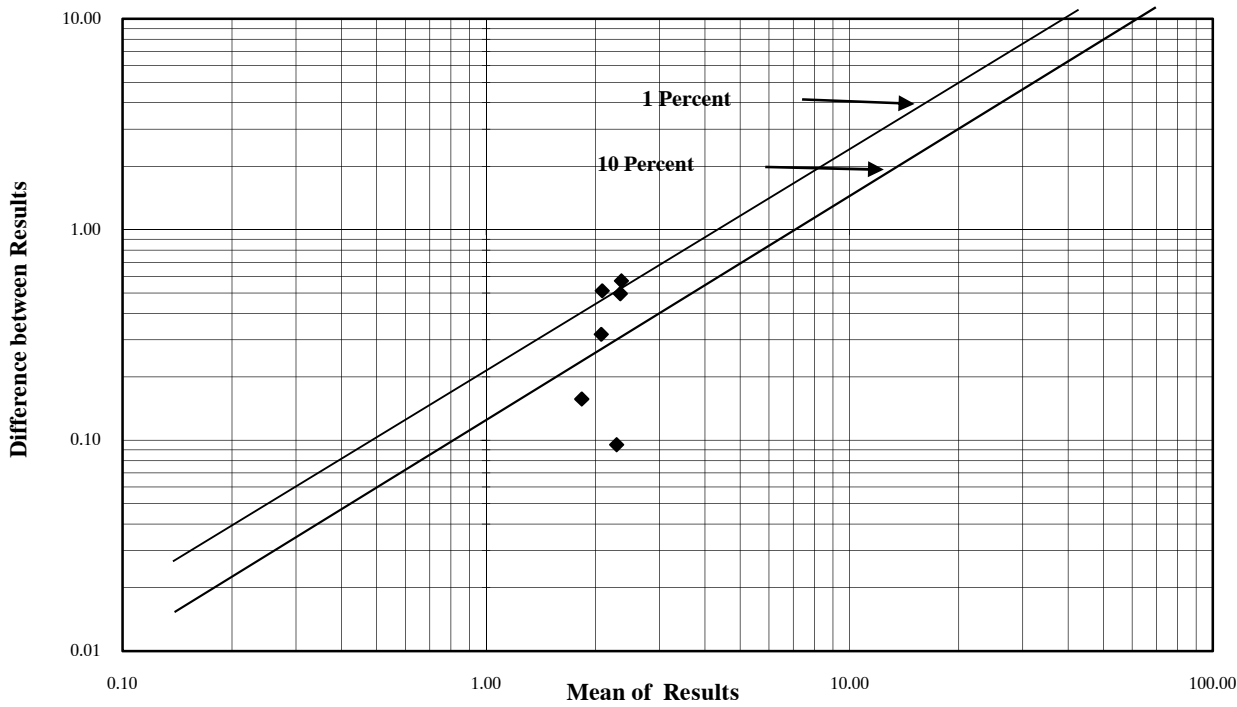


شکل (۱۸-۳): دیاگرام تامپسون نمونه‌های ژئوشیمی محدوده ۱:۲۵۰۰۰ قهورد

Thompson Diagram for Sc

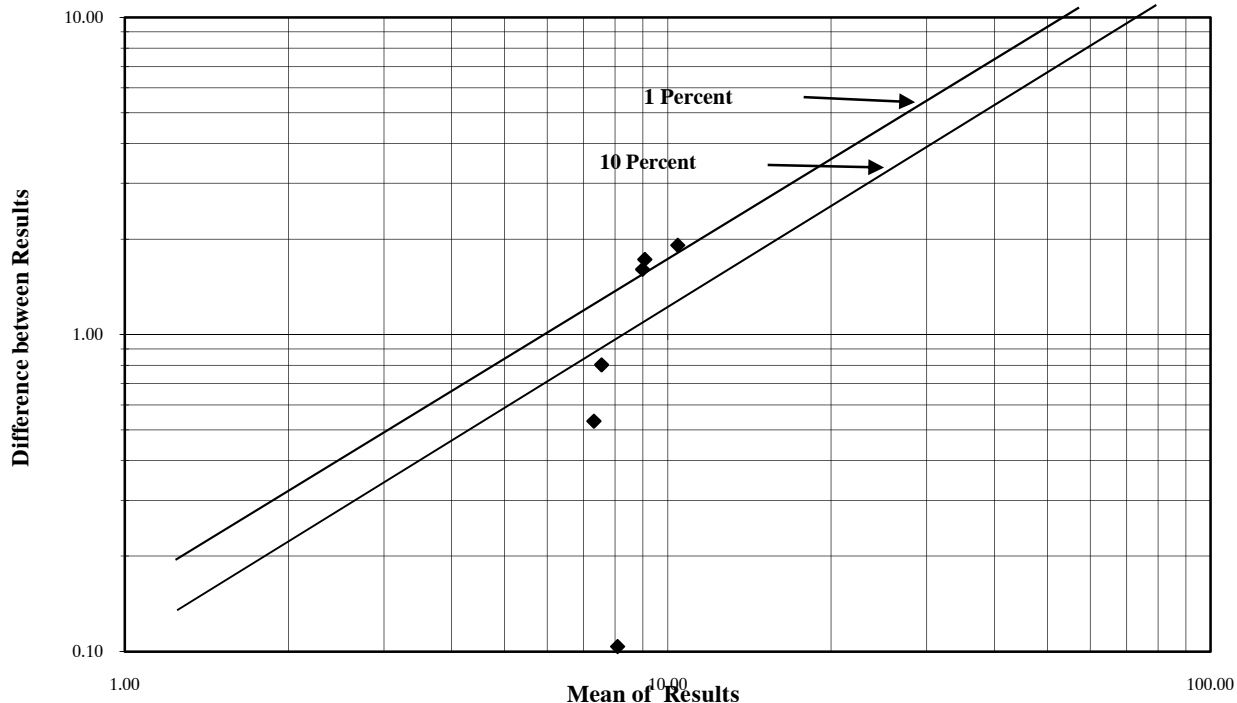


Thompson Diagram for Sn

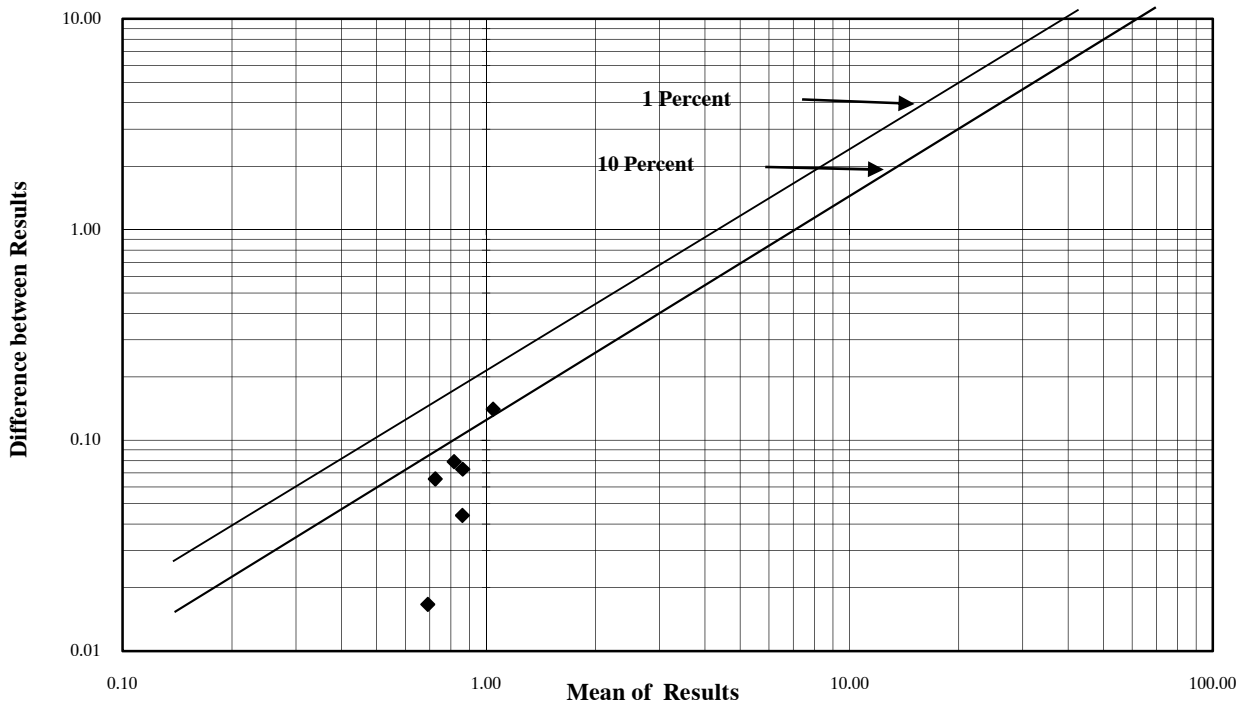


شکل (۱۹-۳): دیاگرام تامپسون نمونه‌های ژئوشیمی محدوده ۱:۲۵۰۰۰ قهورد

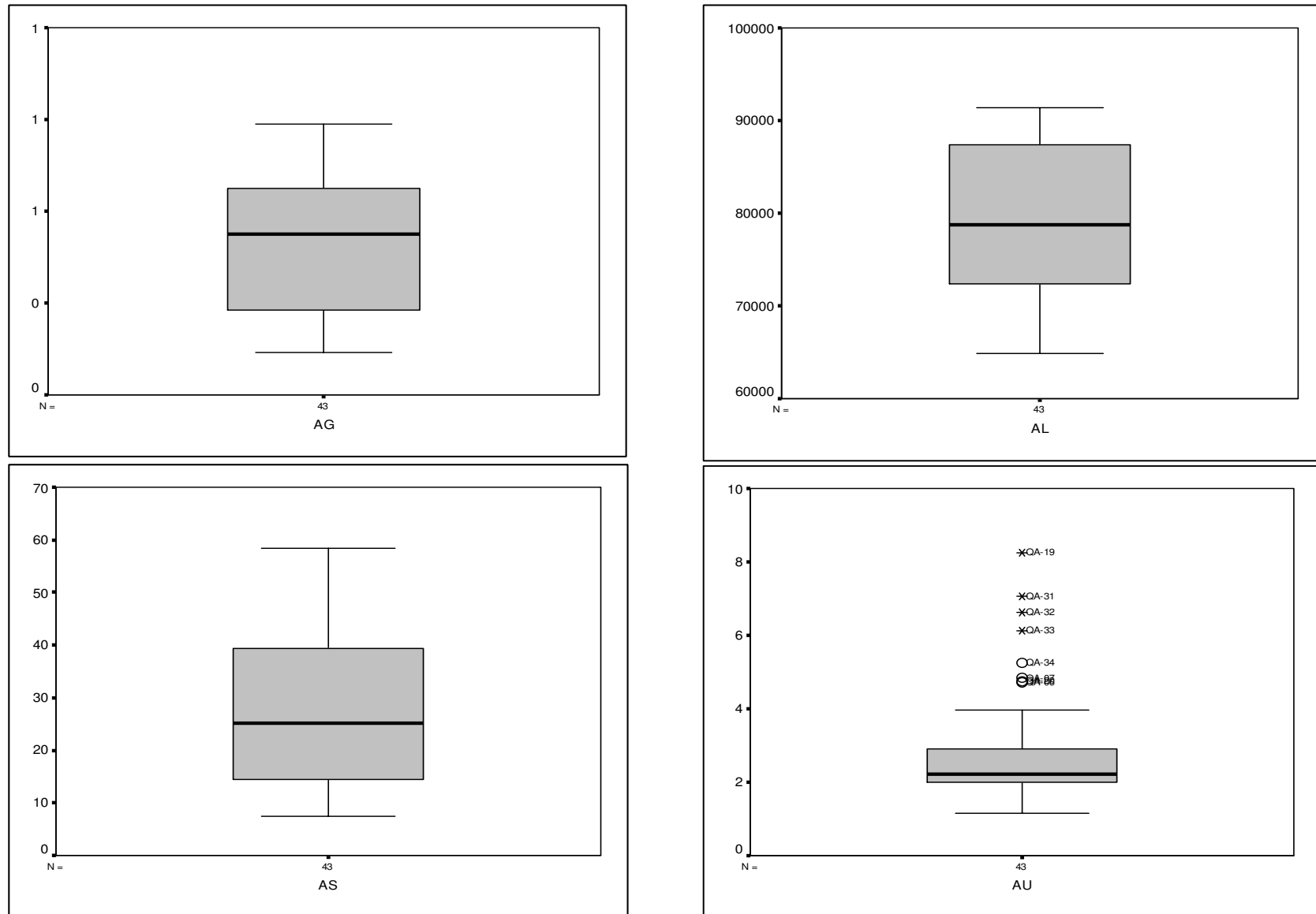
Thompson Diagram for Th



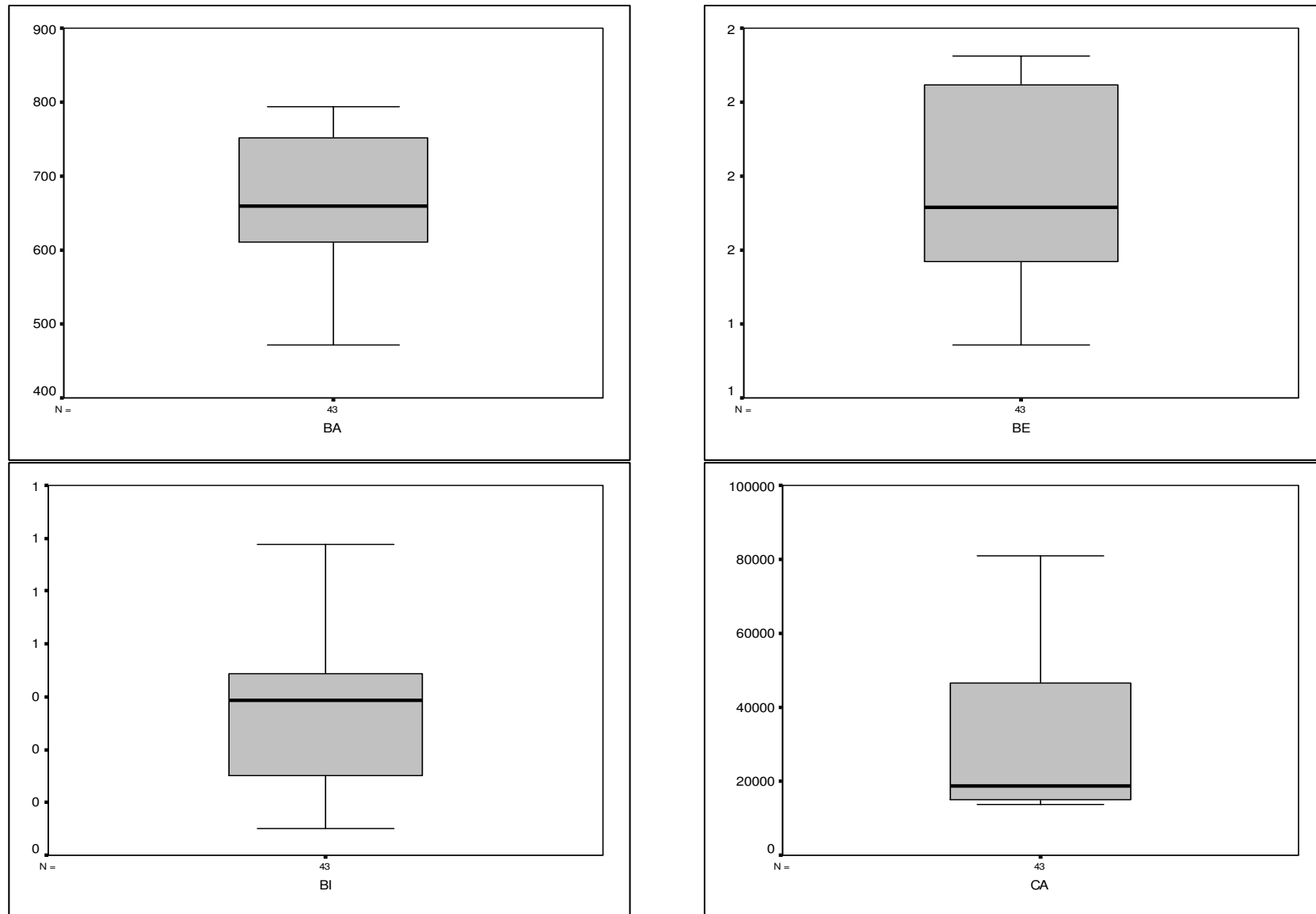
Thompson Diagram for W



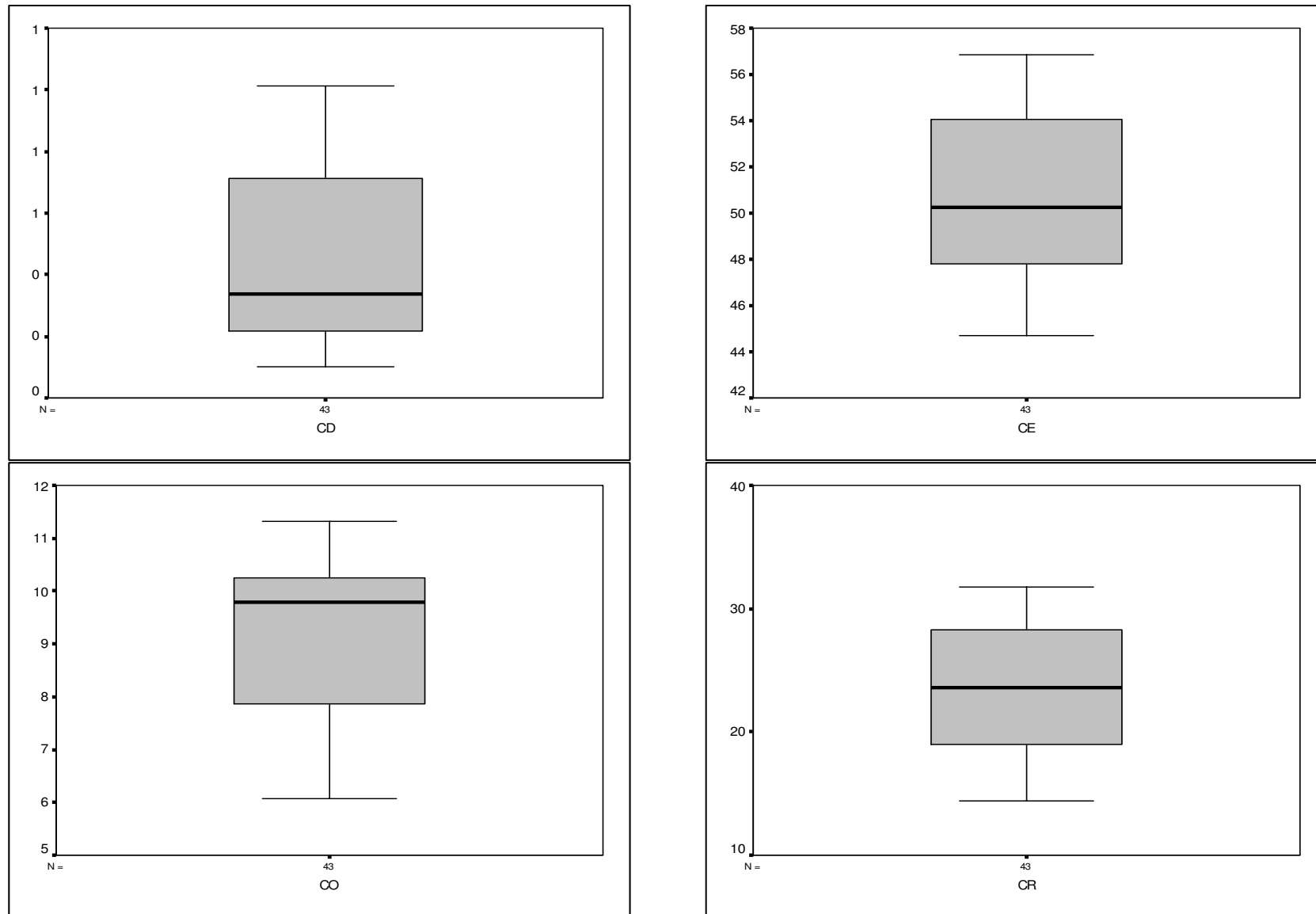
شکل (۲-۴): مقادیر خارج از رده محدوده ۱:۲۵۰۰۰ قهور د



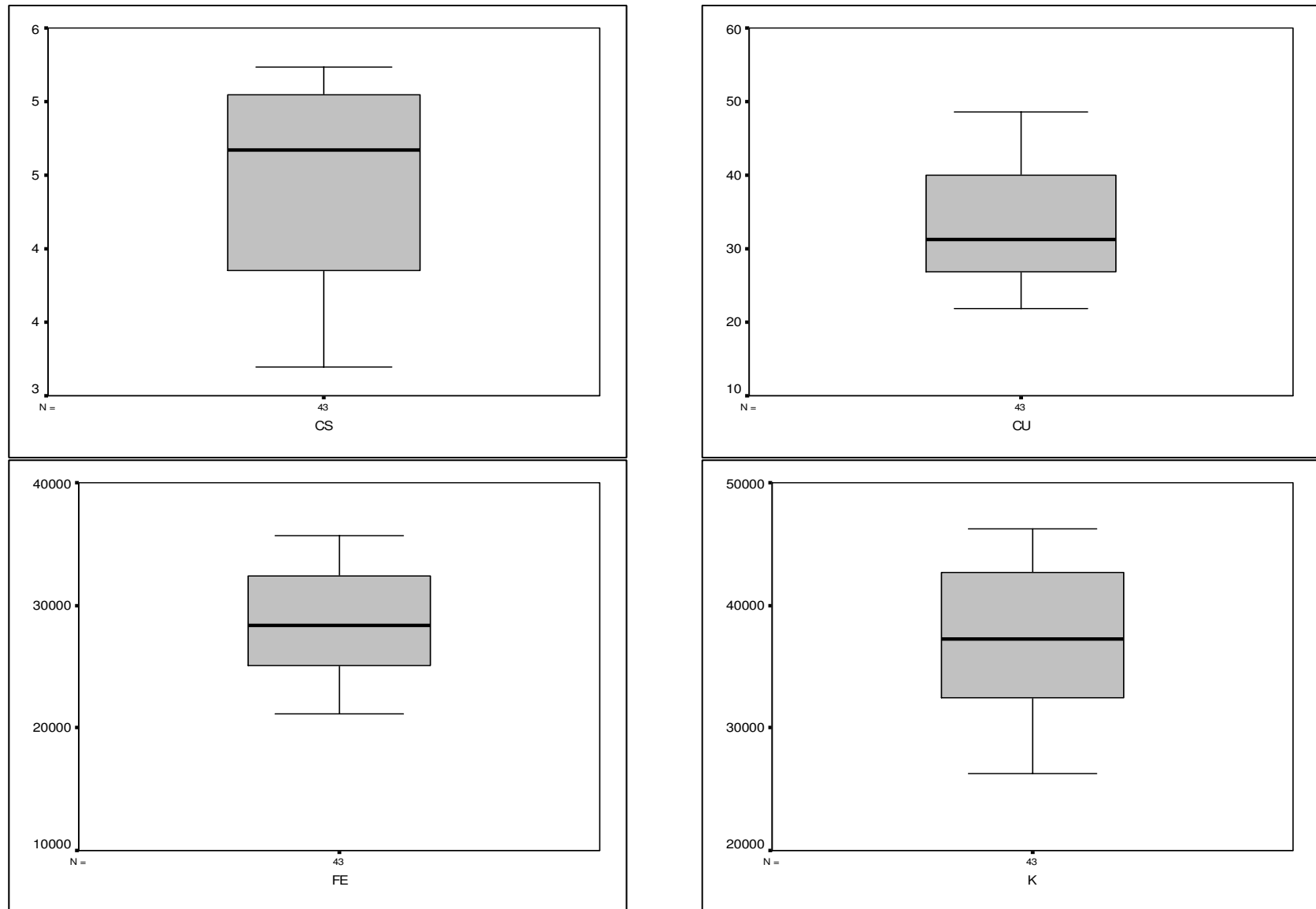
شکل (۲-۴): مقادیر خارج از رده محدوده ۱:۲۵۰۰۰ قهور د



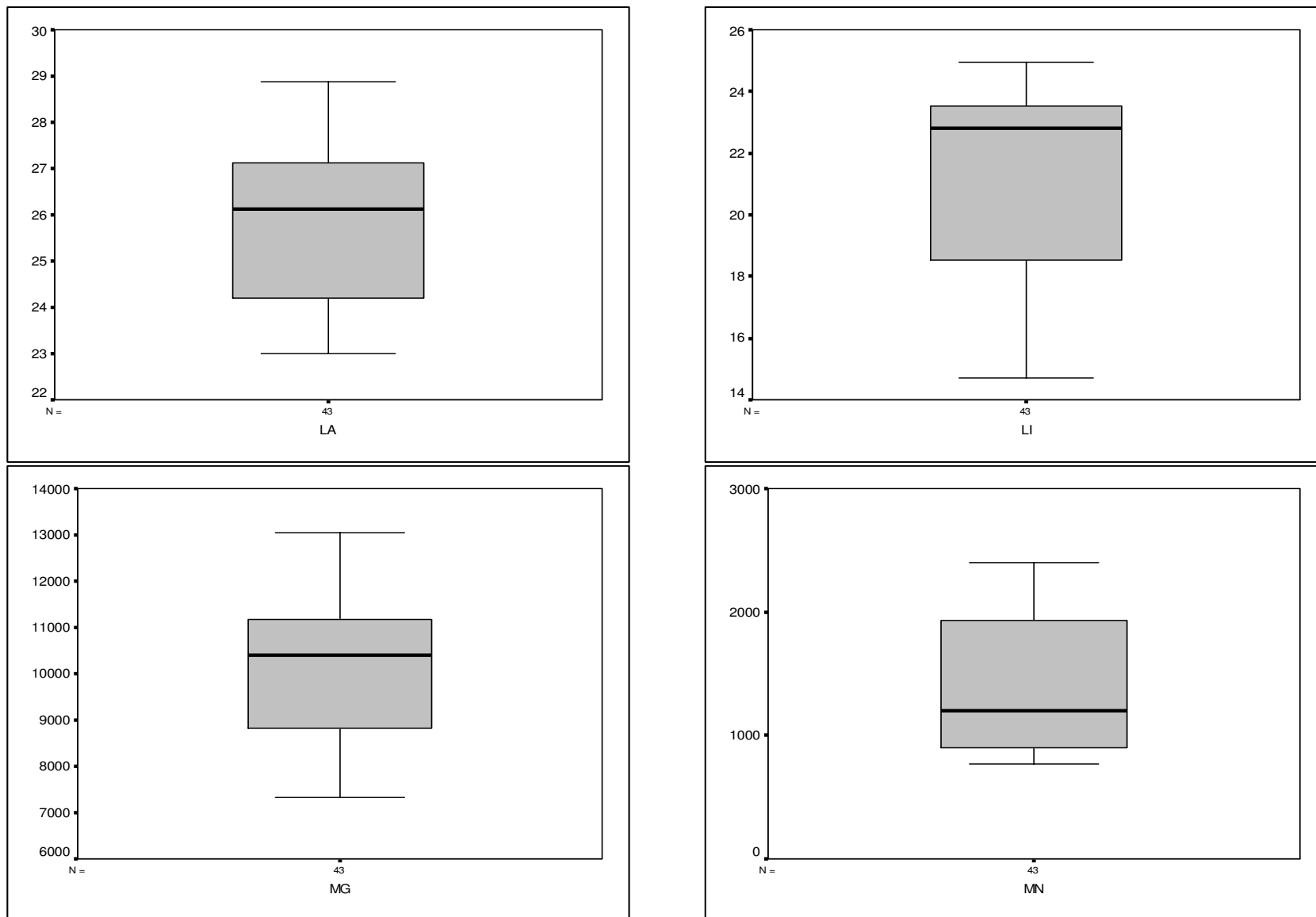
شکل (۲-۴): مقادیر خارج از رده محدوده ۱:۲۵۰۰۰ قهور د



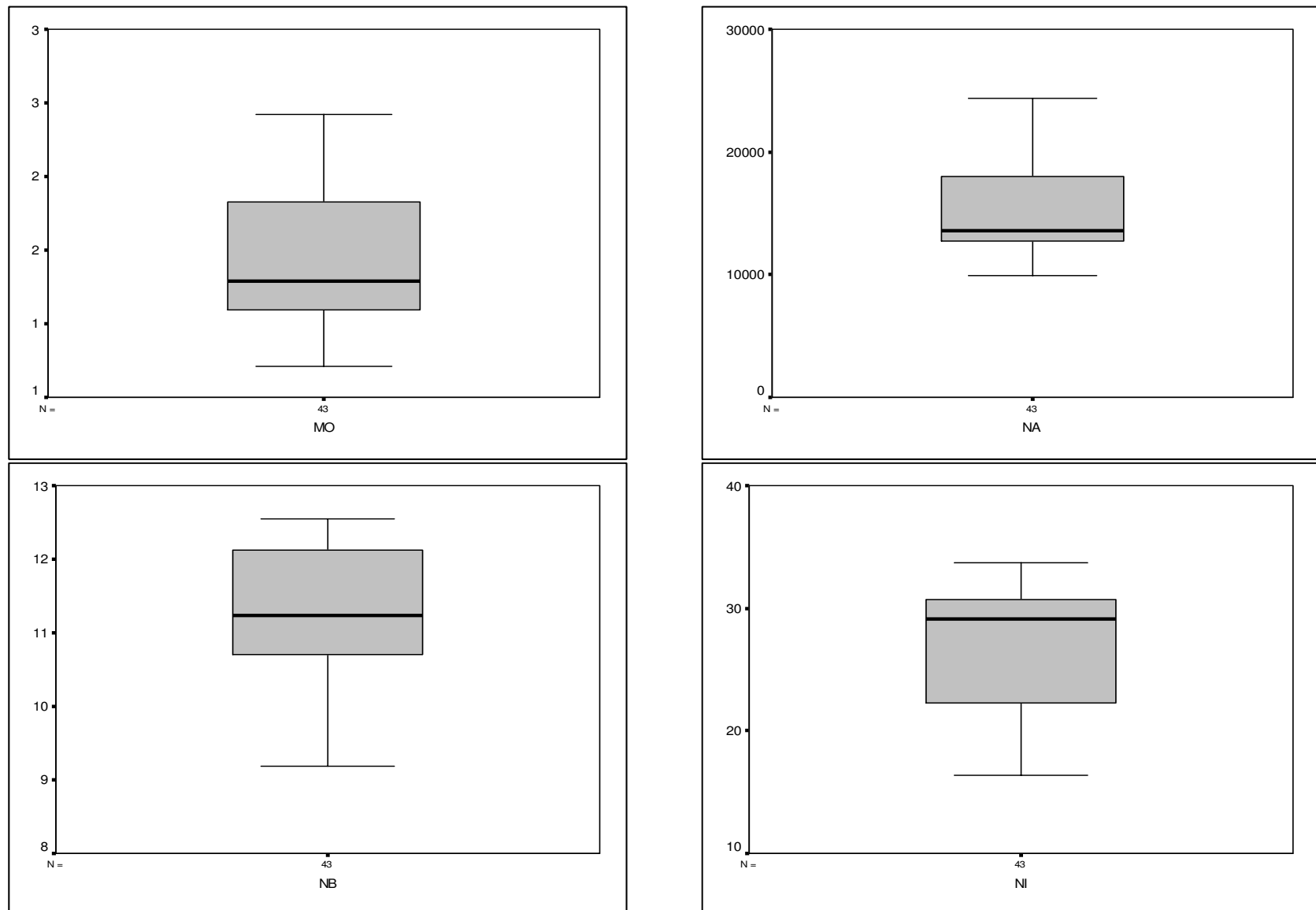
شکل (۲-۴): مقادیر خارج از رده محدوده ۱:۲۵۰۰۰ قهور د



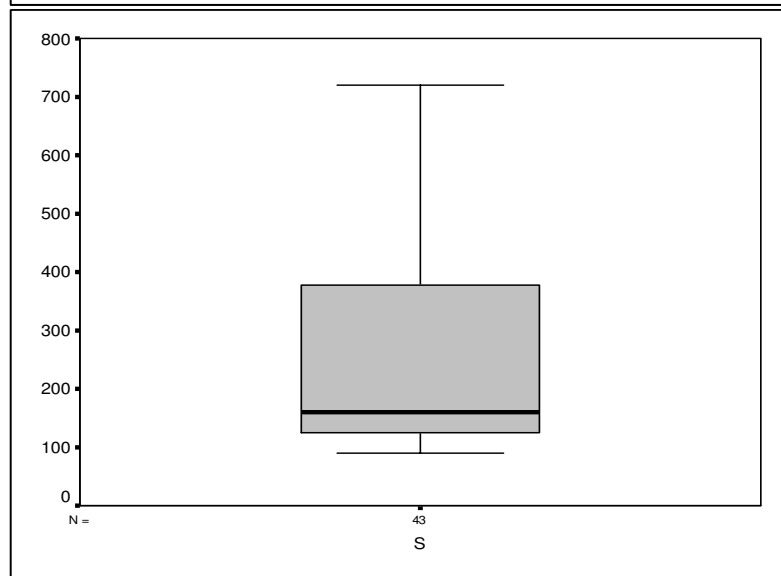
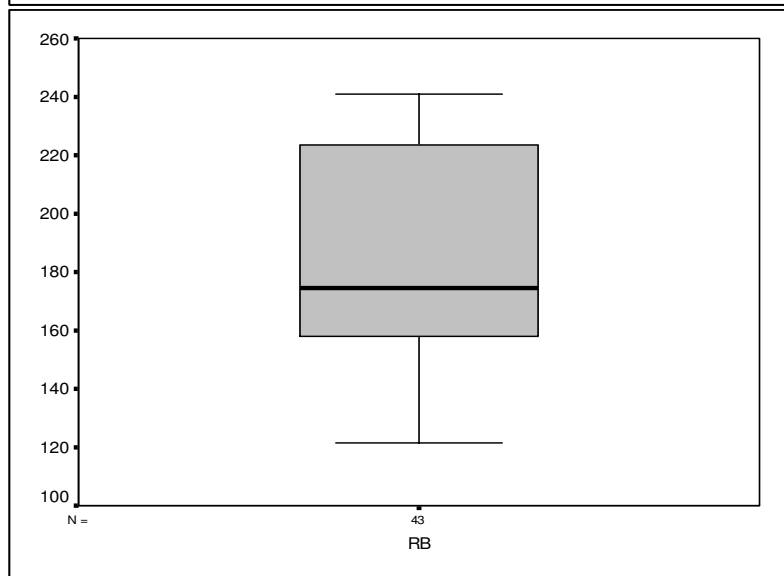
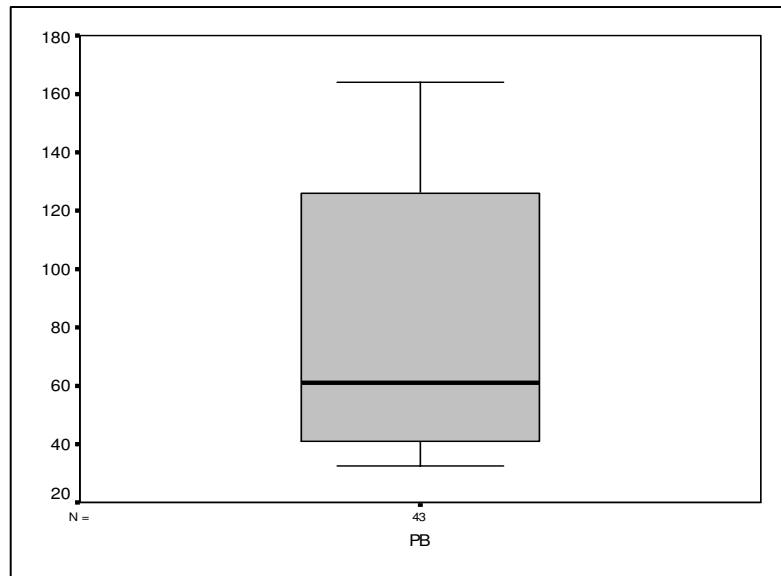
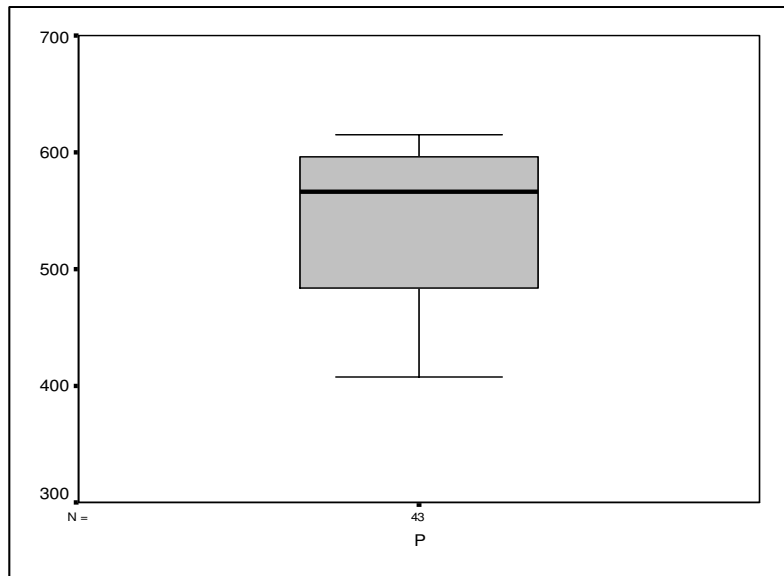
شکل (۲-۴): مقادیر خارج از رده محدوده ۱:۲۵۰۰۰ قهور د



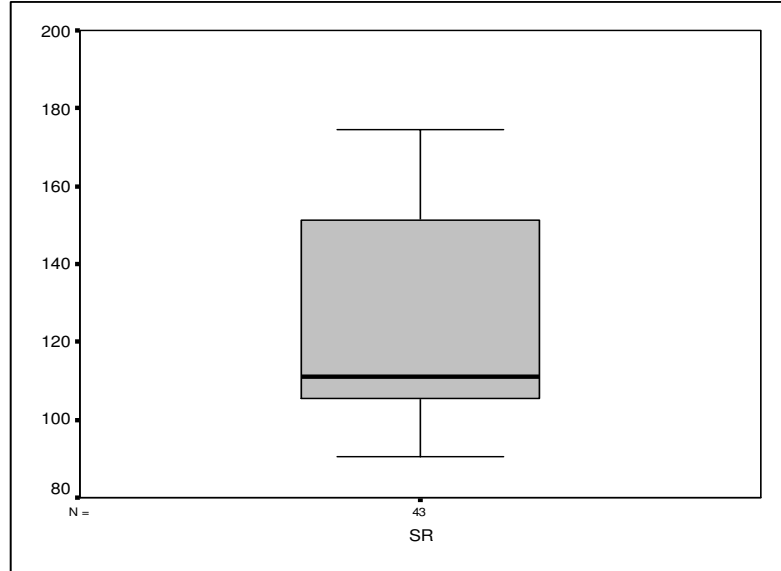
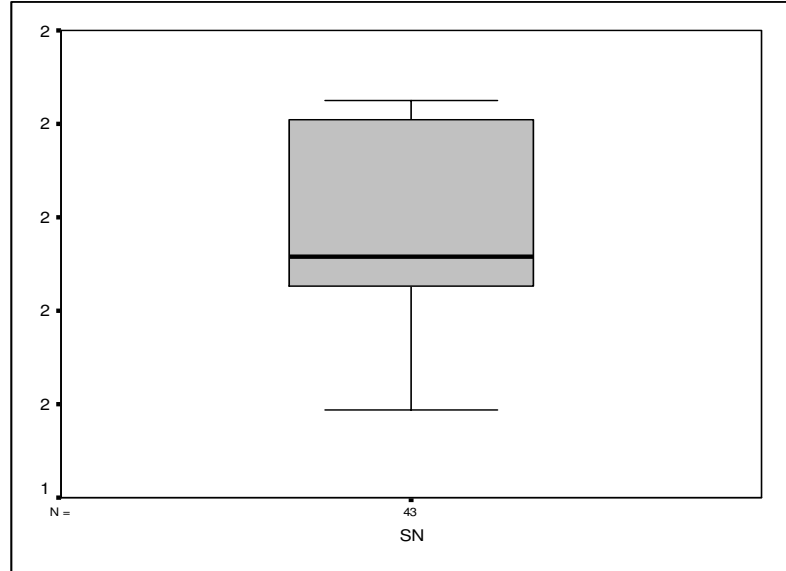
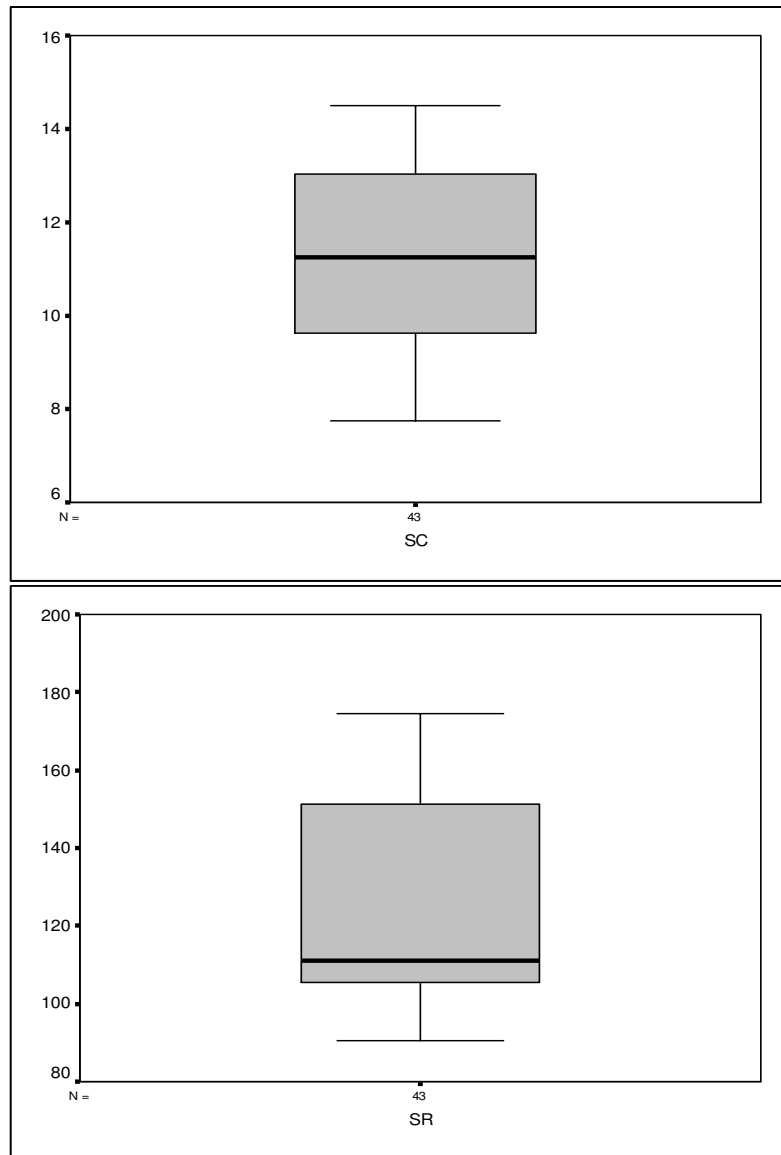
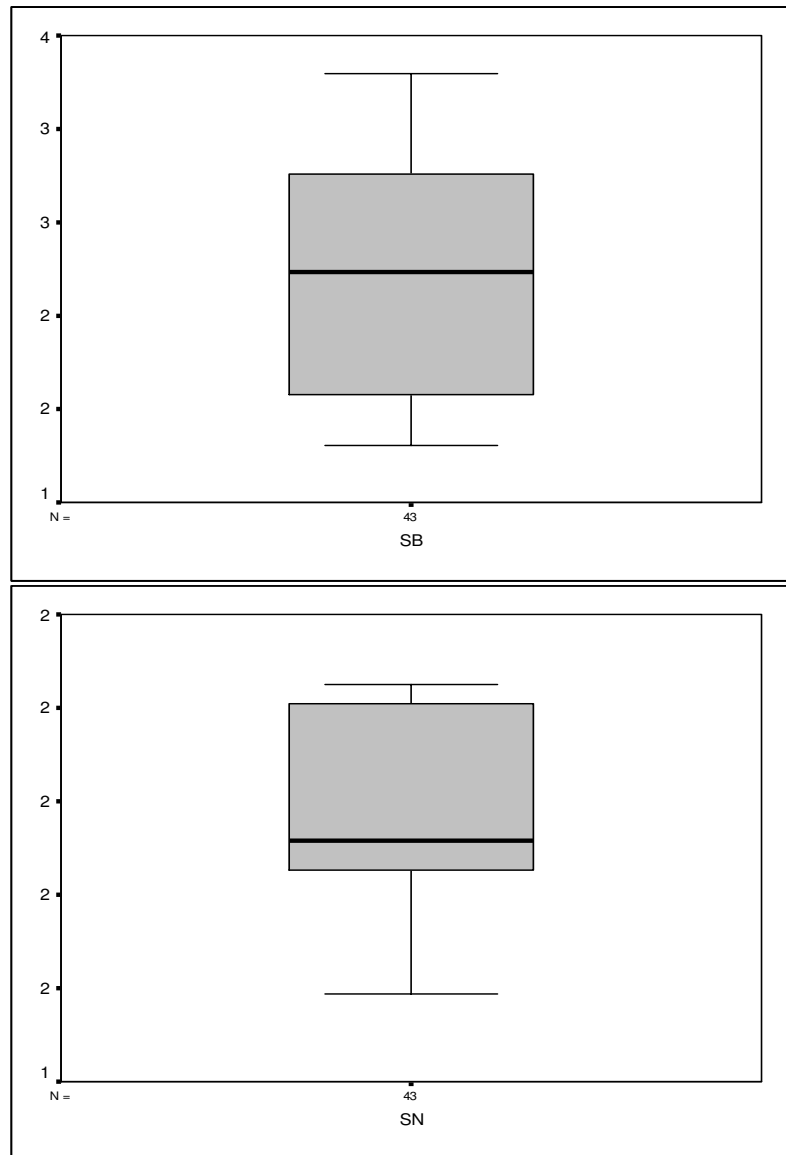
شکل (۲-۴): مقادیر خارج از رده محدوده ۱:۲۵۰۰۰ قهورد



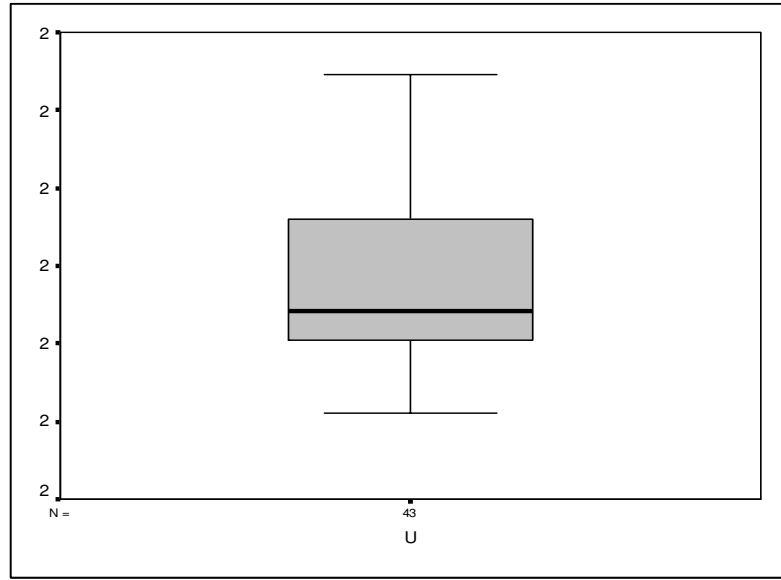
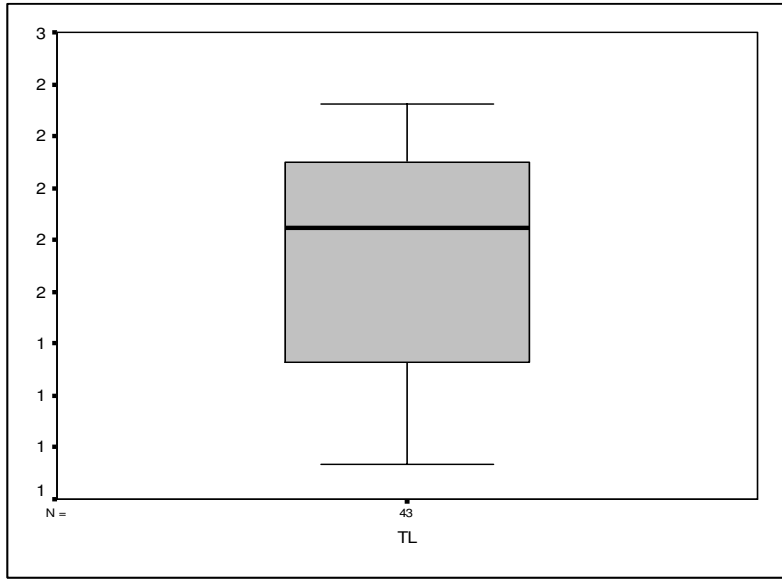
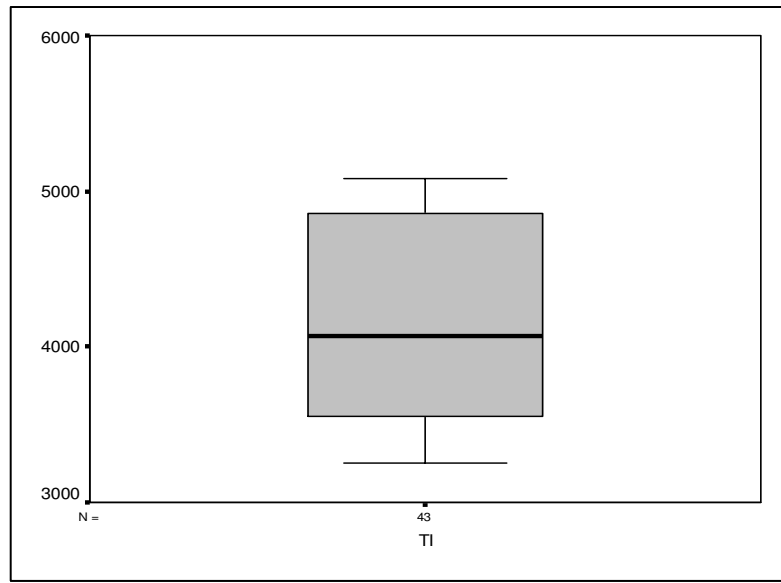
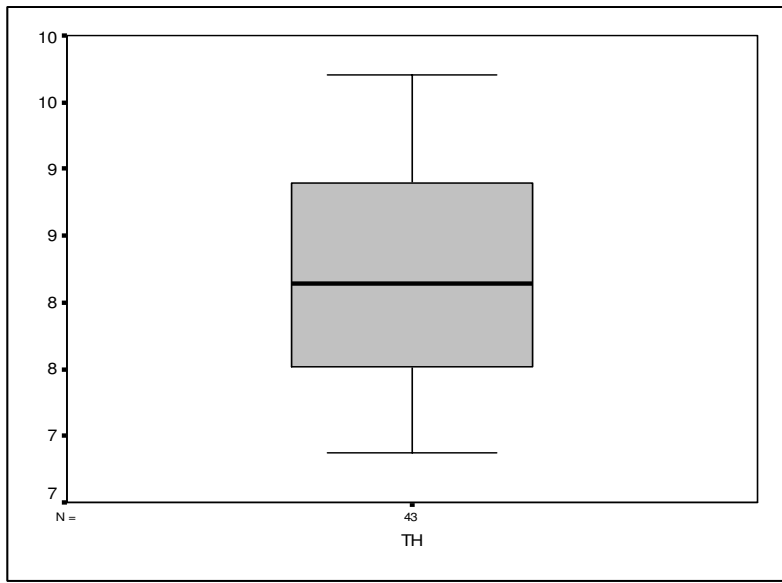
شکل (۲-۴): مقادیر خارج از رده محدوده ۱:۲۵۰۰۰ قهور د



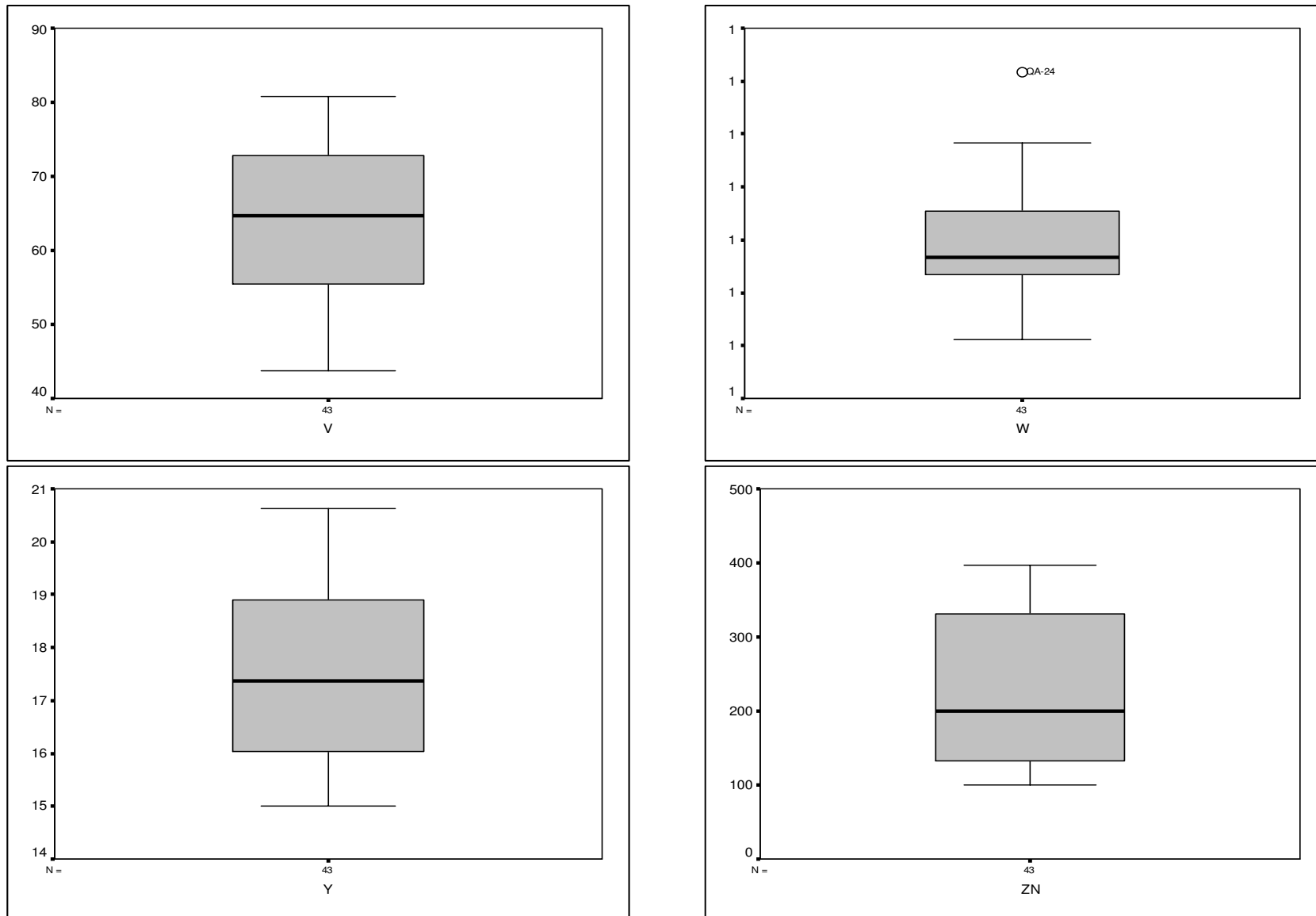
شکل (۲-۴): مقادیر خارج از رده محدوده ۱:۲۵۰۰۰ قهور د



شکل (۲-۴): مقادیر خارج از رده محدوده ۱:۲۵۰۰۰ قهور د



شکل (۲-۴): مقادیر خارج از رده محدوده ۱:۲۵۰۰۰ قهورد



شکل (۲-۴): مقادیر خارج از رده محدوده ۱:۲۵۰۰۰ قهور د

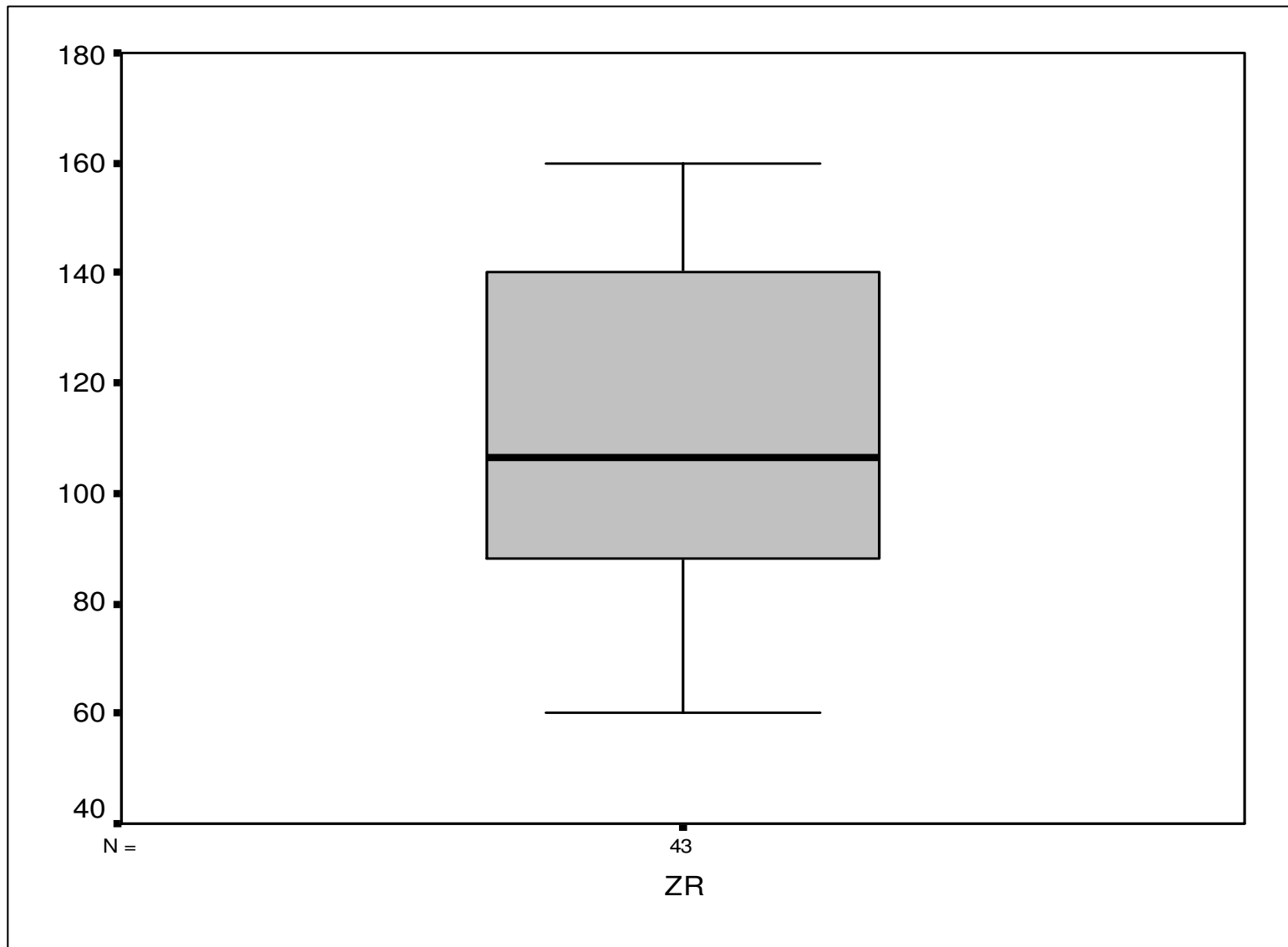


Table (2-4): Spearman Correlation on raw data of Qahord's geochemical samples

Correlations

| | | | AG | AL | AS | AU | BA | BE | BI | CA |
|----------------|----|-------------------------|---------|---------|---------|-------|---------|---------|---------|---------|
| Spearman's rho | AG | Correlation Coefficient | 1.000 | .805** | .184 | .402* | -.608** | -.647** | -.031 | -.197 |
| | | Sig. (2-tailed) | . | .000 | .237 | .011 | .000 | .000 | .845 | .205 |
| | | N | 43 | 43 | 43 | 39 | 43 | 43 | 43 | 43 |
| | AL | Correlation Coefficient | .805** | 1.000 | .289 | .350* | -.805** | -.852** | -.056 | -.176 |
| | | Sig. (2-tailed) | .000 | . | .060 | .029 | .000 | .000 | .720 | .258 |
| | | N | 43 | 43 | 43 | 39 | 43 | 43 | 43 | 43 |
| | AS | Correlation Coefficient | .184 | .289 | 1.000 | -.059 | .178 | -.002 | .524** | -.208 |
| | | Sig. (2-tailed) | .237 | .060 | . | .720 | .252 | .989 | .000 | .180 |
| | | N | 43 | 43 | 43 | 39 | 43 | 43 | 43 | 43 |
| | AU | Correlation Coefficient | .402* | .350* | -.059 | 1.000 | -.269 | -.230 | -.153 | .153 |
| | | Sig. (2-tailed) | .011 | .029 | .720 | . | .097 | .159 | .354 | .354 |
| | | N | 39 | 39 | 39 | 39 | 39 | 39 | 39 | 39 |
| | BA | Correlation Coefficient | -.608** | -.805** | .178 | -.269 | 1.000 | .950** | .413** | .152 |
| | | Sig. (2-tailed) | .000 | .000 | .252 | .097 | . | .000 | .006 | .330 |
| | | N | 43 | 43 | 43 | 39 | 43 | 43 | 43 | 43 |
| | BE | Correlation Coefficient | -.647** | -.852** | -.002 | -.230 | .950** | 1.000 | .192 | .352* |
| | | Sig. (2-tailed) | .000 | .000 | .989 | .159 | .000 | . | .217 | .021 |
| | | N | 43 | 43 | 43 | 39 | 43 | 43 | 43 | 43 |
| | BI | Correlation Coefficient | -.031 | -.056 | .524** | -.153 | .413** | .192 | 1.000 | -.492** |
| | | Sig. (2-tailed) | .845 | .720 | . | .354 | .006 | .217 | . | .001 |
| | | N | 43 | 43 | 43 | 39 | 43 | 43 | 43 | 43 |
| | CA | Correlation Coefficient | -.197 | -.176 | -.208 | .153 | .152 | .352* | -.492** | 1.000 |
| | | Sig. (2-tailed) | .205 | .258 | .180 | .354 | .330 | .021 | .001 | . |
| | | N | 43 | 43 | 43 | 39 | 43 | 43 | 43 | 43 |
| | CD | Correlation Coefficient | .564** | .579** | .775** | .099 | -.165 | -.319* | .386* | -.340* |
| | | Sig. (2-tailed) | .000 | .000 | .000 | .550 | .290 | .037 | .011 | .026 |
| | | N | 43 | 43 | 43 | 39 | 43 | 43 | 43 | 43 |
| | CE | Correlation Coefficient | -.012 | .109 | .752** | -.232 | .145 | -.048 | .542** | -.513** |
| | | Sig. (2-tailed) | .941 | .486 | . | .156 | .352 | .761 | .000 | .000 |
| | | N | 43 | 43 | 43 | 39 | 43 | 43 | 43 | 43 |
| | CO | Correlation Coefficient | -.253 | -.388* | -.578** | .103 | .160 | .350* | -.624** | .656** |
| | | Sig. (2-tailed) | .101 | .010 | .000 | .532 | .307 | .022 | .000 | .000 |
| | | N | 43 | 43 | 43 | 39 | 43 | 43 | 43 | 43 |

Table (2-4): Spearman Correlation on raw data of Qahord's geochemical samples

Correlations

| | | AG | AL | AS | AU | BA | BE | BI | CA |
|----------------|----|-------------------------|---------|---------|---------|--------|---------|---------|---------|
| Spearman's rho | CR | Correlation Coefficient | .220 | .261 | -.447** | .218 | -.505** | -.399** | -.643** |
| | | Sig. (2-tailed) | .155 | .091 | .003 | .183 | .001 | .008 | .000 |
| | | N | 43 | 43 | 43 | 39 | 43 | 43 | 43 |
| | CS | Correlation Coefficient | -.413** | -.413** | .629** | -.361* | .681** | .537** | .537** |
| | | Sig. (2-tailed) | .006 | .006 | .000 | .024 | .000 | .000 | .000 |
| | | N | 43 | 43 | 43 | 39 | 43 | 43 | 43 |
| | CU | Correlation Coefficient | .745** | .681** | .390** | .201 | -.402** | -.462** | .200 |
| | | Sig. (2-tailed) | .000 | .000 | .010 | .219 | .008 | .002 | .199 |
| | | N | 43 | 43 | 43 | 39 | 43 | 43 | 43 |
| | FE | Correlation Coefficient | .699** | .703** | .624** | .198 | -.341* | -.449** | .300 |
| | | Sig. (2-tailed) | .000 | .000 | .000 | .227 | .025 | .003 | .050 |
| | | N | 43 | 43 | 43 | 39 | 43 | 43 | 43 |
| K | K | Correlation Coefficient | .824** | .878** | .090 | .438** | -.775** | -.774** | -.186 |
| | | Sig. (2-tailed) | .000 | .000 | .566 | .005 | .000 | .000 | .233 |
| | | N | 43 | 43 | 43 | 39 | 43 | 43 | 43 |
| | LA | Correlation Coefficient | -.311* | -.195 | .496** | -.196 | .457** | .376* | .446** |
| | | Sig. (2-tailed) | .042 | .211 | .001 | .231 | .002 | .013 | .003 |
| | | N | 43 | 43 | 43 | 39 | 43 | 43 | 43 |
| | LI | Correlation Coefficient | .079 | -.083 | -.544** | .294 | -.161 | -.056 | -.575** |
| | | Sig. (2-tailed) | .617 | .597 | .000 | .069 | .303 | .721 | .000 |
| | | N | 43 | 43 | 43 | 39 | 43 | 43 | 43 |
| | MG | Correlation Coefficient | .553** | .421** | -.321* | .465** | -.530** | -.498** | -.447** |
| | | Sig. (2-tailed) | .000 | .005 | .036 | .003 | .000 | .001 | .003 |
| | | N | 43 | 43 | 43 | 39 | 43 | 43 | 43 |
| MN | MN | Correlation Coefficient | -.356* | -.301* | .209 | -.071 | .400** | .347* | .427** |
| | | Sig. (2-tailed) | .019 | .050 | .179 | .669 | .008 | .023 | .004 |
| | | N | 43 | 43 | 43 | 39 | 43 | 43 | 43 |
| | MO | Correlation Coefficient | -.442** | -.372* | .216 | -.104 | .507** | .482** | .427** |
| | | Sig. (2-tailed) | .003 | .014 | .164 | .530 | .001 | .001 | .004 |
| | | N | 43 | 43 | 43 | 39 | 43 | 43 | 43 |
| | NA | Correlation Coefficient | -.677** | -.766** | -.293 | -.235 | .547** | .646** | -.174 |
| | | Sig. (2-tailed) | .000 | .000 | .057 | .149 | .000 | .000 | .264 |
| | | N | 43 | 43 | 43 | 39 | 43 | 43 | 43 |

Table (2-4): Spearman Correlation on raw data of Qahord's geochemical samples

Correlations

| | | | AG | AL | AS | AU | BA | BE | BI | CA |
|----------------|----|-------------------------|---------|---------|---------|---------|---------|---------|---------|--------|
| Spearman's rho | NB | Correlation Coefficient | .251 | .024 | -.615** | .340* | -.346* | -.221 | -.603** | .177 |
| | | Sig. (2-tailed) | .105 | .880 | .000 | .034 | .023 | .155 | .000 | .255 |
| | | N | 43 | 43 | 43 | 39 | 43 | 43 | 43 | 43 |
| | NI | Correlation Coefficient | -.110 | -.272 | -.679** | -.079 | -.066 | .064 | -.597** | .302* |
| | | Sig. (2-tailed) | .481 | .078 | .000 | .632 | .675 | .683 | .000 | .049 |
| | | N | 43 | 43 | 43 | 39 | 43 | 43 | 43 | 43 |
| | P | Correlation Coefficient | -.577** | -.627** | -.261 | -.141 | .551** | .627** | -.109 | .512** |
| | | Sig. (2-tailed) | .000 | .000 | .091 | .391 | .000 | .000 | .488 | .000 |
| | | N | 43 | 43 | 43 | 39 | 43 | 43 | 43 | 43 |
| | PB | Correlation Coefficient | -.363* | -.285 | .254 | -.124 | .398** | .333* | .477** | -.156 |
| | | Sig. (2-tailed) | .017 | .064 | .101 | .454 | .008 | .029 | .001 | .319 |
| | | N | 43 | 43 | 43 | 39 | 43 | 43 | 43 | 43 |
| | RB | Correlation Coefficient | -.243 | -.148 | .421** | -.204 | .375* | .285 | .552** | -.223 |
| | | Sig. (2-tailed) | .116 | .342 | .005 | .214 | .013 | .064 | .000 | .151 |
| | | N | 43 | 43 | 43 | 39 | 43 | 43 | 43 | 43 |
| | S | Correlation Coefficient | .612** | .668** | .323* | .272 | -.455** | -.612** | .201 | -.267 |
| | | Sig. (2-tailed) | .000 | .000 | .035 | .093 | .002 | .000 | .196 | .083 |
| | | N | 43 | 43 | 43 | 39 | 43 | 43 | 43 | 43 |
| | SB | Correlation Coefficient | -.149 | -.321* | -.461** | .046 | .122 | .194 | -.379* | .345* |
| | | Sig. (2-tailed) | .342 | .036 | .002 | .779 | .435 | .212 | .012 | .023 |
| | | N | 43 | 43 | 43 | 39 | 43 | 43 | 43 | 43 |
| | SC | Correlation Coefficient | -.531** | -.565** | -.165 | -.211 | .508** | .553** | -.019 | .306* |
| | | Sig. (2-tailed) | .000 | .000 | .289 | .196 | .001 | .000 | .904 | .046 |
| | | N | 43 | 43 | 43 | 39 | 43 | 43 | 43 | 43 |
| | SN | Correlation Coefficient | -.538** | -.444** | .312* | -.258 | .621** | .582** | .377* | .142 |
| | | Sig. (2-tailed) | .000 | .003 | .042 | .113 | .000 | .000 | .013 | .365 |
| | | N | 43 | 43 | 43 | 39 | 43 | 43 | 43 | 43 |
| | SR | Correlation Coefficient | -.376* | -.461** | -.439** | -.153 | .253 | .371* | -.487** | .577** |
| | | Sig. (2-tailed) | .013 | .002 | .003 | .353 | .102 | .014 | .001 | .000 |
| | | N | 43 | 43 | 43 | 39 | 43 | 43 | 43 | 43 |
| | TH | Correlation Coefficient | -.604** | -.488** | .300 | -.571** | .597** | .559** | .417** | .046 |
| | | Sig. (2-tailed) | .000 | .001 | .051 | .000 | .000 | .000 | .005 | .768 |
| | | N | 43 | 43 | 43 | 39 | 43 | 43 | 43 | 43 |

Table (2-4): Spearman Correlation on raw datas of Qahord's geochemical samples

Correlations

| | | AG | AL | AS | AU | BA | BE | BI | CA |
|----------------|-------------------------|-------------------------|---------|---------|---------|--------|--------|--------|---------|
| Spearman's rho | TI | Correlation Coefficient | -.008 | -.173 | -.580** | .183 | -.062 | .053 | -.519** |
| | | Sig. (2-tailed) | .961 | .267 | .000 | .265 | .692 | .738 | .000 |
| | | N | 43 | 43 | 43 | 39 | 43 | 43 | 43 |
| | TL | Correlation Coefficient | -.582** | -.656** | -.372* | -.146 | .505** | .593** | -.208 |
| | | Sig. (2-tailed) | .000 | .000 | .014 | .377 | .001 | .000 | .181 |
| | | N | 43 | 43 | 43 | 39 | 43 | 43 | 43 |
| | U | Correlation Coefficient | -.622** | -.579** | .050 | -.281 | .631** | .648** | .154 |
| | | Sig. (2-tailed) | .000 | .000 | .751 | .083 | .000 | .000 | .325 |
| | | N | 43 | 43 | 43 | 39 | 43 | 43 | 43 |
| V | Correlation Coefficient | -.540** | -.590** | -.250 | -.239 | .491** | .548** | -.105 | .356* |
| | Sig. (2-tailed) | .000 | .000 | .105 | .142 | .001 | .000 | .503 | .019 |
| | N | 43 | 43 | 43 | 39 | 43 | 43 | 43 | 43 |
| | W | Correlation Coefficient | -.420** | -.395** | .127 | -.289 | .453** | .397** | .198 |
| | Sig. (2-tailed) | .005 | .009 | .416 | .074 | .002 | .008 | .202 | .664 |
| | N | 43 | 43 | 43 | 39 | 43 | 43 | 43 | 43 |
| | Y | Correlation Coefficient | -.293 | -.164 | .316* | -.165 | .294 | .247 | .494** |
| | Sig. (2-tailed) | .056 | .294 | .039 | .317 | .056 | .110 | .001 | .203 |
| | N | 43 | 43 | 43 | 39 | 43 | 43 | 43 | 43 |
| ZN | Correlation Coefficient | -.523** | -.599** | -.230 | -.143 | .538** | .575** | -.015 | .388* |
| | Sig. (2-tailed) | .000 | .000 | .138 | .384 | .000 | .000 | .926 | .010 |
| | N | 43 | 43 | 43 | 39 | 43 | 43 | 43 | 43 |
| ZR | Correlation Coefficient | -.471** | -.560** | -.281 | -.096 | .462** | .505** | -.094 | .368* |
| | Sig. (2-tailed) | .001 | .000 | .068 | .560 | .002 | .001 | .549 | .015 |
| | N | 43 | 43 | 43 | 39 | 43 | 43 | 43 | 43 |

Table (2-4): Spearman Correlation on raw data of Qahord's geochemical samples

| | | | Correlations | | | | | | | |
|----------------|----|-------------------------|--------------|---------|---------|---------|---------|---------|---------|---------|
| | | | CD | CE | CO | CR | CS | CU | FE | K |
| Spearman's rho | AG | Correlation Coefficient | .564** | -.012 | -.253 | .220 | -.413** | .745** | .699** | .824** |
| | | Sig. (2-tailed) | .000 | .941 | .101 | .155 | .006 | .000 | .000 | .000 |
| | | N | 43 | 43 | 43 | 43 | 43 | 43 | 43 | 43 |
| | AL | Correlation Coefficient | .579** | .109 | -.388* | .261 | -.413** | .681** | .703** | .878** |
| | | Sig. (2-tailed) | .000 | .486 | .010 | .091 | .006 | .000 | .000 | .000 |
| | | N | 43 | 43 | 43 | 43 | 43 | 43 | 43 | 43 |
| | AS | Correlation Coefficient | .775** | .752** | -.578** | -.447** | .629** | .390** | .624** | .090 |
| | | Sig. (2-tailed) | .000 | .000 | .000 | .003 | .000 | .010 | .000 | .566 |
| | | N | 43 | 43 | 43 | 43 | 43 | 43 | 43 | 43 |
| | AU | Correlation Coefficient | .099 | -.232 | .103 | .218 | -.361* | .201 | .198 | .438** |
| | | Sig. (2-tailed) | .550 | .156 | .532 | .183 | .024 | .219 | .227 | .005 |
| | | N | 39 | 39 | 39 | 39 | 39 | 39 | 39 | 39 |
| | BA | Correlation Coefficient | -.165 | .145 | .160 | -.505** | .681** | -.402** | -.341* | -.775** |
| | | Sig. (2-tailed) | .290 | .352 | .307 | .001 | .000 | .008 | .025 | .000 |
| | | N | 43 | 43 | 43 | 43 | 43 | 43 | 43 | 43 |
| | BE | Correlation Coefficient | -.319* | -.048 | .350* | -.399** | .537** | -.462** | -.449** | -.774** |
| | | Sig. (2-tailed) | .037 | .761 | .022 | .008 | .000 | .002 | .003 | .000 |
| | | N | 43 | 43 | 43 | 43 | 43 | 43 | 43 | 43 |
| | BI | Correlation Coefficient | .386* | .542** | -.624** | -.643** | .537** | .200 | .300 | -.186 |
| | | Sig. (2-tailed) | .011 | .000 | .000 | .000 | .000 | .199 | .050 | .233 |
| | | N | 43 | 43 | 43 | 43 | 43 | 43 | 43 | 43 |
| | CA | Correlation Coefficient | -.340* | -.513** | .656** | .286 | -.171 | -.326* | -.366* | -.054 |
| | | Sig. (2-tailed) | .026 | .000 | .000 | .063 | .273 | .033 | .016 | .730 |
| | | N | 43 | 43 | 43 | 43 | 43 | 43 | 43 | 43 |
| | CD | Correlation Coefficient | 1.000 | .626** | -.641** | -.301 | .279 | .725** | .868** | .450** |
| | | Sig. (2-tailed) | . | .000 | .000 | .050 | .070 | .000 | .000 | .002 |
| | | N | 43 | 43 | 43 | 43 | 43 | 43 | 43 | 43 |
| | CE | Correlation Coefficient | .626** | 1.000 | -.792** | -.548** | .743** | .295 | .506** | -.171 |
| | | Sig. (2-tailed) | .000 | . | .000 | .000 | .000 | .055 | .001 | .273 |
| | | N | 43 | 43 | 43 | 43 | 43 | 43 | 43 | 43 |
| | CO | Correlation Coefficient | -.641** | -.792** | 1.000 | .536** | -.414** | -.480** | -.621** | -.129 |
| | | Sig. (2-tailed) | .000 | .000 | . | .000 | .006 | .001 | .000 | .411 |
| | | N | 43 | 43 | 43 | 43 | 43 | 43 | 43 | 43 |

Table (2-4): Spearman Correlation on raw data of Qahord's geochemical samples

Correlations

| | | CD | CE | CO | CR | CS | CU | FE | K |
|----------------|----|-------------------------|---------|---------|---------|---------|---------|---------|---------|
| Spearman's rho | CR | Correlation Coefficient | -.301 | -.548** | .536** | 1.000 | -.669** | -.049 | -.157 |
| | | Sig. (2-tailed) | .050 | .000 | .000 | . | .000 | .754 | .316 |
| | | N | 43 | 43 | 43 | 43 | 43 | 43 | 43 |
| | CS | Correlation Coefficient | .279 | .743** | -.414** | -.669** | 1.000 | -.163 | .061 |
| | | Sig. (2-tailed) | .070 | .000 | .006 | .000 | . | .297 | .700 |
| | | N | 43 | 43 | 43 | 43 | 43 | 43 | 43 |
| | CU | Correlation Coefficient | .725** | .295 | -.480** | -.049 | -.163 | 1.000 | .942** |
| | | Sig. (2-tailed) | .000 | .055 | .001 | .754 | .297 | . | .000 |
| | | N | 43 | 43 | 43 | 43 | 43 | 43 | 43 |
| | FE | Correlation Coefficient | .868** | .506** | -.621** | -.157 | .061 | .942** | 1.000 |
| | | Sig. (2-tailed) | .000 | .001 | .000 | .316 | .700 | .000 | . |
| | | N | 43 | 43 | 43 | 43 | 43 | 43 | 43 |
| | K | Correlation Coefficient | .450** | -.171 | -.129 | .451** | -.645** | .660** | .611** |
| | | Sig. (2-tailed) | .002 | .273 | .411 | .002 | .000 | .000 | . |
| | | N | 43 | 43 | 43 | 43 | 43 | 43 | 43 |
| | LA | Correlation Coefficient | .170 | .334* | -.252 | -.341* | .553** | -.111 | .032 |
| | | Sig. (2-tailed) | .276 | .029 | .103 | .025 | .000 | .479 | .839 |
| | | N | 43 | 43 | 43 | 43 | 43 | 43 | 43 |
| | LI | Correlation Coefficient | -.381* | -.562** | .544** | .497** | -.537** | -.139 | -.314* |
| | | Sig. (2-tailed) | .012 | .000 | .000 | .001 | .000 | .373 | .040 |
| | | N | 43 | 43 | 43 | 43 | 43 | 43 | 43 |
| | MG | Correlation Coefficient | .024 | -.349* | .222 | .575** | -.608** | .317* | .179 |
| | | Sig. (2-tailed) | .877 | .022 | .153 | .000 | .000 | .038 | .250 |
| | | N | 43 | 43 | 43 | 43 | 43 | 43 | 43 |
| | MN | Correlation Coefficient | -.003 | .202 | -.230 | -.385* | .411** | -.227 | -.137 |
| | | Sig. (2-tailed) | .984 | .193 | .138 | .011 | .006 | .143 | .379 |
| | | N | 43 | 43 | 43 | 43 | 43 | 43 | 43 |
| | MO | Correlation Coefficient | -.038 | .231 | -.195 | -.554** | .486** | -.250 | -.165 |
| | | Sig. (2-tailed) | .806 | .136 | .210 | .000 | .001 | .106 | .291 |
| | | N | 43 | 43 | 43 | 43 | 43 | 43 | 43 |
| | NA | Correlation Coefficient | -.566** | -.263 | .423** | -.019 | .211 | -.629** | -.652** |
| | | Sig. (2-tailed) | .000 | .089 | .005 | .902 | .174 | .000 | .000 |
| | | N | 43 | 43 | 43 | 43 | 43 | 43 | 43 |

Table (2-4): Spearman Correlation on raw data of Qahord's geochemical samples

Correlations

| | | CD | CE | CO | CR | CS | CU | FE | K |
|----------------|----|-------------------------|---------|---------|--------|---------|---------|---------|---------|
| Spearman's rho | NB | Correlation Coefficient | -.361* | -.532** | .484** | .536** | -.608** | .004 | -.175 |
| | | Sig. (2-tailed) | .018 | .000 | .001 | .000 | .000 | .982 | .262 |
| | | N | 43 | 43 | 43 | 43 | 43 | 43 | 43 |
| | NI | Correlation Coefficient | -.475** | -.493** | .497** | .394** | -.416** | -.301 | -.441** |
| | | Sig. (2-tailed) | .001 | .001 | .001 | .009 | .005 | .050 | .003 |
| | | N | 43 | 43 | 43 | 43 | 43 | 43 | 43 |
| | P | Correlation Coefficient | -.490** | -.331* | .450** | -.052 | .074 | -.566** | -.630** |
| | | Sig. (2-tailed) | .001 | .030 | .002 | .738 | .637 | .000 | .000 |
| | | N | 43 | 43 | 43 | 43 | 43 | 43 | 43 |
| | PB | Correlation Coefficient | .023 | .258 | -.285 | -.410** | .452** | -.195 | -.096 |
| | | Sig. (2-tailed) | .882 | .094 | .064 | .006 | .002 | .211 | .539 |
| | | N | 43 | 43 | 43 | 43 | 43 | 43 | 43 |
| | RB | Correlation Coefficient | .177 | .366* | -.382* | -.437** | .531** | -.039 | .081 |
| | | Sig. (2-tailed) | .255 | .016 | .011 | .003 | .000 | .802 | .604 |
| | | N | 43 | 43 | 43 | 43 | 43 | 43 | 43 |
| | S | Correlation Coefficient | .452** | .131 | -.333* | .123 | -.186 | .483** | .519** |
| | | Sig. (2-tailed) | .002 | .401 | .029 | .431 | .232 | .001 | .000 |
| | | N | 43 | 43 | 43 | 43 | 43 | 43 | 43 |
| | SB | Correlation Coefficient | -.463** | -.450** | .461** | .207 | -.276 | -.264 | -.423** |
| | | Sig. (2-tailed) | .002 | .002 | .002 | .184 | .073 | .088 | .005 |
| | | N | 43 | 43 | 43 | 43 | 43 | 43 | 43 |
| | SC | Correlation Coefficient | -.380* | -.167 | .240 | -.050 | .222 | -.483** | -.488** |
| | | Sig. (2-tailed) | .012 | .285 | .121 | .749 | .152 | .001 | .001 |
| | | N | 43 | 43 | 43 | 43 | 43 | 43 | 43 |
| | SN | Correlation Coefficient | -.061 | .190 | -.060 | -.408** | .523** | -.309* | -.217 |
| | | Sig. (2-tailed) | .699 | .223 | .701 | .007 | .000 | .043 | .163 |
| | | N | 43 | 43 | 43 | 43 | 43 | 43 | 43 |
| | SR | Correlation Coefficient | -.542** | -.474** | .609** | .255 | -.174 | -.492** | -.600** |
| | | Sig. (2-tailed) | .000 | .001 | .000 | .099 | .264 | .001 | .000 |
| | | N | 43 | 43 | 43 | 43 | 43 | 43 | 43 |
| | TH | Correlation Coefficient | -.045 | .323* | -.136 | -.509** | .624** | -.373* | -.243 |
| | | Sig. (2-tailed) | .774 | .035 | .384 | .000 | .000 | .014 | .116 |
| | | N | 43 | 43 | 43 | 43 | 43 | 43 | 43 |

Table (2-4): Spearman Correlation on raw data of Qahord's geochemical samples

Correlations

| | | CD | CE | CO | CR | CS | CU | FE | K |
|----------------|-------------------------|-------------------------|---------|---------|---------|---------|---------|---------|---------|
| Spearman's rho | TI | Correlation Coefficient | -.474** | -.556** | .530** | .351* | -.466** | -.218 | -.400** |
| | | Sig. (2-tailed) | .001 | .000 | .000 | .021 | .002 | .160 | .008 |
| | | N | 43 | 43 | 43 | 43 | 43 | 43 | 43 |
| | TL | Correlation Coefficient | -.567** | -.379* | .508** | .062 | .020 | -.610** | -.695** |
| | | Sig. (2-tailed) | .000 | .012 | .001 | .693 | .900 | .000 | .000 |
| | | N | 43 | 43 | 43 | 43 | 43 | 43 | 43 |
| | U | Correlation Coefficient | -.228 | .017 | .120 | -.215 | .392** | -.480** | -.429** |
| | | Sig. (2-tailed) | .141 | .916 | .444 | .166 | .009 | .001 | .004 |
| | | N | 43 | 43 | 43 | 43 | 43 | 43 | 43 |
| V | Correlation Coefficient | -.460** | -.251 | .329* | .024 | .150 | -.524** | -.559** | -.514** |
| | | Sig. (2-tailed) | .002 | .105 | .031 | .878 | .337 | .000 | .000 |
| | | N | 43 | 43 | 43 | 43 | 43 | 43 | 43 |
| | W | Correlation Coefficient | -.116 | .044 | .104 | -.271 | .315* | -.263 | -.264 |
| | | Sig. (2-tailed) | .457 | .778 | .509 | .079 | .040 | .088 | .087 |
| | | N | 43 | 43 | 43 | 43 | 43 | 43 | 43 |
| | Y | Correlation Coefficient | .146 | .374* | -.393** | -.477** | .438** | -.103 | .007 |
| | | Sig. (2-tailed) | .351 | .013 | .009 | .001 | .003 | .512 | .963 |
| | | N | 43 | 43 | 43 | 43 | 43 | 43 | 43 |
| ZN | Correlation Coefficient | -.449** | -.263 | .319* | -.050 | .131 | -.511** | -.570** | -.499** |
| | | Sig. (2-tailed) | .003 | .088 | .037 | .750 | .402 | .000 | .000 |
| | | N | 43 | 43 | 43 | 43 | 43 | 43 | 43 |
| | ZR | Correlation Coefficient | -.455** | -.313* | .366* | .061 | .053 | -.472** | -.551** |
| | | Sig. (2-tailed) | .002 | .041 | .016 | .699 | .736 | .001 | .000 |
| | | N | 43 | 43 | 43 | 43 | 43 | 43 | 43 |

Table (2-4): Spearman Correlation on raw data of Qahord's geochemical samples

| | | | Correlations | | | | | | | |
|----------------|----|-------------------------|--------------|---------|---------|--------|---------|---------|---------|---------|
| | | | LA | LI | MG | MN | MO | NA | NB | NI |
| Spearman's rho | AG | Correlation Coefficient | -.311* | .079 | .553** | -.356* | -.442** | -.677** | .251 | -.110 |
| | | Sig. (2-tailed) | .042 | .617 | .000 | .019 | .003 | .000 | .105 | .481 |
| | | N | 43 | 43 | 43 | 43 | 43 | 43 | 43 | 43 |
| | AL | Correlation Coefficient | -.195 | -.083 | .421** | -.301* | -.372* | -.766** | .024 | -.272 |
| | | Sig. (2-tailed) | .211 | .597 | .005 | .050 | .014 | .000 | .880 | .078 |
| | | N | 43 | 43 | 43 | 43 | 43 | 43 | 43 | 43 |
| | AS | Correlation Coefficient | .496** | -.544** | -.321* | .209 | .216 | -.293 | -.615** | -.679** |
| | | Sig. (2-tailed) | .001 | .000 | .036 | .179 | .164 | .057 | .000 | .000 |
| | | N | 43 | 43 | 43 | 43 | 43 | 43 | 43 | 43 |
| | AU | Correlation Coefficient | -.196 | .294 | .465** | -.071 | -.104 | -.235 | .340* | -.079 |
| | | Sig. (2-tailed) | .231 | .069 | .003 | .669 | .530 | .149 | .034 | .632 |
| | | N | 39 | 39 | 39 | 39 | 39 | 39 | 39 | 39 |
| | BA | Correlation Coefficient | .457** | -.161 | -.530** | .400** | .507** | .547** | -.346* | -.066 |
| | | Sig. (2-tailed) | .002 | .303 | .000 | .008 | .001 | .000 | .023 | .675 |
| | | N | 43 | 43 | 43 | 43 | 43 | 43 | 43 | 43 |
| | BE | Correlation Coefficient | .376* | -.056 | -.498** | .347* | .482** | .646** | -.221 | .064 |
| | | Sig. (2-tailed) | .013 | .721 | .001 | .023 | .001 | .000 | .155 | .683 |
| | | N | 43 | 43 | 43 | 43 | 43 | 43 | 43 | 43 |
| | BI | Correlation Coefficient | .446** | -.575** | -.447** | .427** | .427** | -.174 | -.603** | -.597** |
| | | Sig. (2-tailed) | .003 | .000 | .003 | .004 | .004 | .264 | .000 | .000 |
| | | N | 43 | 43 | 43 | 43 | 43 | 43 | 43 | 43 |
| | CA | Correlation Coefficient | -.042 | .361* | .009 | -.095 | -.016 | .290 | .177 | .302* |
| | | Sig. (2-tailed) | .787 | .017 | .956 | .546 | .921 | .059 | .255 | .049 |
| | | N | 43 | 43 | 43 | 43 | 43 | 43 | 43 | 43 |
| | CD | Correlation Coefficient | .170 | -.381* | .024 | -.003 | -.038 | -.566** | -.361* | -.475** |
| | | Sig. (2-tailed) | .276 | .012 | .877 | .984 | .806 | .000 | .018 | .001 |
| | | N | 43 | 43 | 43 | 43 | 43 | 43 | 43 | 43 |
| | CE | Correlation Coefficient | .334* | -.562** | -.349* | .202 | .231 | -.263 | -.532** | -.493** |
| | | Sig. (2-tailed) | .029 | .000 | .022 | .193 | .136 | .089 | .000 | .001 |
| | | N | 43 | 43 | 43 | 43 | 43 | 43 | 43 | 43 |
| | CO | Correlation Coefficient | -.252 | .544** | .222 | -.230 | -.195 | .423** | .484** | .497** |
| | | Sig. (2-tailed) | .103 | .000 | .153 | .138 | .210 | .005 | .001 | .001 |
| | | N | 43 | 43 | 43 | 43 | 43 | 43 | 43 | 43 |

Table (2-4): Spearman Correlation on raw data of Qahord's geochemical samples

| | | | Correlations | | | | | | | |
|----------------|----|-------------------------|--------------|---------|---------|---------|---------|---------|---------|---------|
| | | | LA | LI | MG | MN | MO | NA | NB | NI |
| Spearman's rho | CR | Correlation Coefficient | -.341* | .497** | .575** | -.385* | -.554** | -.019 | .536** | .394** |
| | | Sig. (2-tailed) | .025 | .001 | .000 | .011 | .000 | .902 | .000 | .009 |
| | | N | 43 | 43 | 43 | 43 | 43 | 43 | 43 | 43 |
| | CS | Correlation Coefficient | .553** | -.537** | -.608** | .411** | .486** | .211 | -.608** | -.416** |
| | | Sig. (2-tailed) | .000 | .000 | .000 | .006 | .001 | .174 | .000 | .005 |
| | | N | 43 | 43 | 43 | 43 | 43 | 43 | 43 | 43 |
| | CU | Correlation Coefficient | -.111 | -.139 | .317* | -.227 | -.250 | -.629** | .004 | -.301 |
| | | Sig. (2-tailed) | .479 | .373 | .038 | .143 | .106 | .000 | .982 | .050 |
| | | N | 43 | 43 | 43 | 43 | 43 | 43 | 43 | 43 |
| | FE | Correlation Coefficient | .032 | -.314* | .179 | -.137 | -.165 | -.652** | -.175 | -.441** |
| | | Sig. (2-tailed) | .839 | .040 | .250 | .379 | .291 | .000 | .262 | .003 |
| | | N | 43 | 43 | 43 | 43 | 43 | 43 | 43 | 43 |
| | K | Correlation Coefficient | -.318* | .125 | .539** | -.372* | -.473** | -.668** | .209 | -.100 |
| | | Sig. (2-tailed) | .038 | .424 | .000 | .014 | .001 | .000 | .179 | .523 |
| | | N | 43 | 43 | 43 | 43 | 43 | 43 | 43 | 43 |
| | LA | Correlation Coefficient | 1.000 | -.627** | -.618** | .788** | .695** | .322* | -.792** | -.466** |
| | | Sig. (2-tailed) | . | .000 | .000 | .000 | .000 | .035 | .000 | .002 |
| | | N | 43 | 43 | 43 | 43 | 43 | 43 | 43 | 43 |
| | LI | Correlation Coefficient | -.627** | 1.000 | .712** | -.506** | -.527** | .019 | .781** | .645** |
| | | Sig. (2-tailed) | .000 | . | .000 | .001 | .000 | .904 | .000 | .000 |
| | | N | 43 | 43 | 43 | 43 | 43 | 43 | 43 | 43 |
| | MG | Correlation Coefficient | -.618** | .712** | 1.000 | -.651** | -.787** | -.410** | .704** | .330* |
| | | Sig. (2-tailed) | .000 | .000 | . | .000 | .000 | .006 | .000 | .031 |
| | | N | 43 | 43 | 43 | 43 | 43 | 43 | 43 | 43 |
| | MN | Correlation Coefficient | .788** | -.506** | -.651** | 1.000 | .898** | .385* | -.565** | -.219 |
| | | Sig. (2-tailed) | .000 | .001 | .000 | . | .000 | .011 | .000 | .158 |
| | | N | 43 | 43 | 43 | 43 | 43 | 43 | 43 | 43 |
| | MO | Correlation Coefficient | .695** | -.527** | -.787** | .898** | 1.000 | .368* | -.610** | -.224 |
| | | Sig. (2-tailed) | .000 | .000 | .000 | .000 | . | .015 | .000 | .149 |
| | | N | 43 | 43 | 43 | 43 | 43 | 43 | 43 | 43 |
| | NA | Correlation Coefficient | .322* | .019 | -.410** | .385* | .368* | 1.000 | -.011 | .299 |
| | | Sig. (2-tailed) | .035 | .904 | .006 | .011 | .015 | . | .943 | .051 |
| | | N | 43 | 43 | 43 | 43 | 43 | 43 | 43 | 43 |

Table (2-4): Spearman Correlation on raw data of Qahord's geochemical samples

Correlations

| | | LA | LI | MG | MN | MO | NA | NB | NI | |
|----------------|-------------------------|-------------------------|---------|---------|---------|---------|---------|---------|---------|--------|
| Spearman's rho | NB | Correlation Coefficient | -.792** | .781** | .704** | -.565** | -.610** | -.011 | 1.000 | .644** |
| | | Sig. (2-tailed) | .000 | .000 | .000 | .000 | .000 | .943 | . | .000 |
| | | N | 43 | 43 | 43 | 43 | 43 | 43 | 43 | 43 |
| | NI | Correlation Coefficient | -.466** | .645** | .330* | -.219 | -.224 | .299 | .644** | 1.000 |
| | | Sig. (2-tailed) | .002 | .000 | .031 | .158 | .149 | .051 | .000 | . |
| | | N | 43 | 43 | 43 | 43 | 43 | 43 | 43 | 43 |
| | P | Correlation Coefficient | .255 | .408** | -.189 | .359* | .385* | .550** | -.019 | .396** |
| | | Sig. (2-tailed) | .099 | .007 | .225 | .018 | .011 | .000 | .903 | .009 |
| | | N | 43 | 43 | 43 | 43 | 43 | 43 | 43 | 43 |
| | PB | Correlation Coefficient | .826** | -.586** | -.686** | .989** | .895** | .373* | -.635** | -.291 |
| RB | | Sig. (2-tailed) | .000 | .000 | .000 | .000 | .000 | .014 | .000 | .058 |
| | | N | 43 | 43 | 43 | 43 | 43 | 43 | 43 | 43 |
| | Correlation Coefficient | .903** | -.757** | -.659** | .833** | .749** | .297 | -.751** | -.481** | |
| | Sig. (2-tailed) | .000 | .000 | .000 | .000 | .000 | .053 | .000 | .001 | |
| | N | 43 | 43 | 43 | 43 | 43 | 43 | 43 | 43 | |
| | S | Correlation Coefficient | -.007 | -.034 | .416** | -.114 | -.260 | -.557** | -.006 | -.229 |
| | | Sig. (2-tailed) | .963 | .828 | .006 | .466 | .092 | .000 | .969 | .139 |
| | | N | 43 | 43 | 43 | 43 | 43 | 43 | 43 | 43 |
| | SB | Correlation Coefficient | -.310* | .770** | .435** | -.247 | -.232 | .305* | .478** | .629** |
| | | Sig. (2-tailed) | .043 | .000 | .004 | .110 | .135 | .047 | .001 | .000 |
| SC | | N | 43 | 43 | 43 | 43 | 43 | 43 | 43 | 43 |
| | Correlation Coefficient | .551** | .041 | -.384* | .608** | .559** | .660** | -.215 | .353* | |
| | Sig. (2-tailed) | .000 | .792 | .011 | .000 | .000 | .000 | .166 | .020 | |
| | N | 43 | 43 | 43 | 43 | 43 | 43 | 43 | 43 | |
| | SN | Correlation Coefficient | .875** | -.411** | -.683** | .804** | .793** | .449** | -.689** | -.252 |
| | | Sig. (2-tailed) | .000 | .006 | .000 | .000 | .000 | .003 | .000 | .103 |
| | | N | 43 | 43 | 43 | 43 | 43 | 43 | 43 | |
| | SR | Correlation Coefficient | -.197 | .712** | .138 | -.139 | -.103 | .412** | .358* | .682** |
| | | Sig. (2-tailed) | .205 | .000 | .378 | .374 | .513 | .006 | .019 | .000 |
| | | N | 43 | 43 | 43 | 43 | 43 | 43 | 43 | |
| TH | Correlation Coefficient | .616** | -.634** | -.924** | .570** | .658** | .436** | -.737** | -.309* | |
| | Sig. (2-tailed) | .000 | .000 | .000 | .000 | .000 | .003 | .000 | .044 | |
| | N | 43 | 43 | 43 | 43 | 43 | 43 | 43 | 43 | |

Table (2-4): Spearman Correlation on raw data of Qahord's geochemical samples

Correlations

| | | LA | LI | MG | MN | MO | NA | NB | NI | |
|----------------|-------------------------|-------------------------|---------|---------|---------|---------|--------|--------|---------|---------|
| Spearman's rho | TI | Correlation Coefficient | -.605** | .920** | .544** | -.439** | -.387* | .087 | .713** | .714** |
| | | Sig. (2-tailed) | .000 | .000 | .000 | .003 | .010 | .581 | .000 | .000 |
| | | N | 43 | 43 | 43 | 43 | 43 | 43 | 43 | 43 |
| | TL | Correlation Coefficient | .109 | .496** | -.121 | .218 | .232 | .608** | .082 | .513** |
| | | Sig. (2-tailed) | .486 | .001 | .439 | .161 | .134 | .000 | .602 | .000 |
| | | N | 43 | 43 | 43 | 43 | 43 | 43 | 43 | 43 |
| | U | Correlation Coefficient | .714** | -.143 | -.557** | .683** | .642** | .624** | -.494** | .061 |
| | | Sig. (2-tailed) | .000 | .362 | .000 | .000 | .000 | .000 | .001 | .699 |
| | | N | 43 | 43 | 43 | 43 | 43 | 43 | 43 | 43 |
| V | Correlation Coefficient | .451** | .187 | -.284 | .501** | .455** | .675** | -.114 | .453** | |
| | | Sig. (2-tailed) | .002 | .231 | .065 | .001 | .002 | .000 | .468 | .002 |
| | | N | 43 | 43 | 43 | 43 | 43 | 43 | 43 | 43 |
| | W | Correlation Coefficient | .256 | -.022 | -.210 | .060 | .130 | .326* | -.342* | -.268 |
| | | Sig. (2-tailed) | .097 | .888 | .177 | .701 | .407 | .033 | .025 | .083 |
| | | N | 43 | 43 | 43 | 43 | 43 | 43 | 43 | 43 |
| | Y | Correlation Coefficient | .751** | -.684** | -.723** | .790** | .789** | .250 | -.683** | -.422** |
| | | Sig. (2-tailed) | .000 | .000 | .000 | .000 | .000 | .107 | .000 | .005 |
| | | N | 43 | 43 | 43 | 43 | 43 | 43 | 43 | 43 |
| ZN | Correlation Coefficient | .409** | .266 | -.181 | .434** | .349* | .635** | -.105 | .331* | |
| | | Sig. (2-tailed) | .006 | .085 | .247 | .004 | .022 | .000 | .501 | .030 |
| | | N | 43 | 43 | 43 | 43 | 43 | 43 | 43 | 43 |
| ZR | Correlation Coefficient | .358* | .322* | -.056 | .360* | .227 | .642** | .008 | .386* | |
| | | Sig. (2-tailed) | .019 | .035 | .721 | .018 | .144 | .000 | .958 | .011 |
| | | N | 43 | 43 | 43 | 43 | 43 | 43 | 43 | 43 |

Table (2-4): Spearman Correlation on raw data of Qahord's geochemical samples

| | | | Correlations | | | | | | | |
|----------------|----|-------------------------|--------------|--------|--------|---------|---------|---------|---------|---------|
| | | | P | PB | RB | S | SB | SC | SN | SR |
| Spearman's rho | AG | Correlation Coefficient | -.577** | -.363* | -.243 | .612** | -.149 | -.531** | -.538** | -.376* |
| | | Sig. (2-tailed) | .000 | .017 | .116 | .000 | .342 | .000 | .000 | .013 |
| | | N | 43 | 43 | 43 | 43 | 43 | 43 | 43 | 43 |
| | AL | Correlation Coefficient | -.627** | -.285 | -.148 | .668** | -.321* | -.565** | -.444** | -.461** |
| | | Sig. (2-tailed) | .000 | .064 | .342 | .000 | .036 | .000 | .003 | .002 |
| | | N | 43 | 43 | 43 | 43 | 43 | 43 | 43 | 43 |
| | AS | Correlation Coefficient | -.261 | .254 | .421** | .323* | -.461** | -.165 | .312* | -.439** |
| | | Sig. (2-tailed) | .091 | .101 | .005 | .035 | .002 | .289 | .042 | .003 |
| | | N | 43 | 43 | 43 | 43 | 43 | 43 | 43 | 43 |
| | AU | Correlation Coefficient | -.141 | -.124 | -.204 | .272 | .046 | -.211 | -.258 | -.153 |
| | | Sig. (2-tailed) | .391 | .454 | .214 | .093 | .779 | .196 | .113 | .353 |
| | | N | 39 | 39 | 39 | 39 | 39 | 39 | 39 | 39 |
| | BA | Correlation Coefficient | .551** | .398** | .375* | -.455** | .122 | .508** | .621** | .253 |
| | | Sig. (2-tailed) | .000 | .008 | .013 | .002 | .435 | .001 | .000 | .102 |
| | | N | 43 | 43 | 43 | 43 | 43 | 43 | 43 | 43 |
| | BE | Correlation Coefficient | .627** | .333* | .285 | -.612** | .194 | .553** | .582** | .371* |
| | | Sig. (2-tailed) | .000 | .029 | .064 | .000 | .212 | .000 | .000 | .014 |
| | | N | 43 | 43 | 43 | 43 | 43 | 43 | 43 | 43 |
| | BI | Correlation Coefficient | -.109 | .477** | .552** | .201 | -.379* | -.019 | .377* | -.487** |
| | | Sig. (2-tailed) | .488 | .001 | .000 | .196 | .012 | .904 | .013 | .001 |
| | | N | 43 | 43 | 43 | 43 | 43 | 43 | 43 | 43 |
| | CA | Correlation Coefficient | .512** | -.156 | -.223 | -.267 | .345* | .306* | .142 | .577** |
| | | Sig. (2-tailed) | .000 | .319 | .151 | .083 | .023 | .046 | .365 | .000 |
| | | N | 43 | 43 | 43 | 43 | 43 | 43 | 43 | 43 |
| | CD | Correlation Coefficient | -.490** | .023 | .177 | .452** | -.463** | -.380* | -.061 | -.542** |
| | | Sig. (2-tailed) | .001 | .882 | .255 | .002 | .002 | .012 | .699 | .000 |
| | | N | 43 | 43 | 43 | 43 | 43 | 43 | 43 | 43 |
| | CE | Correlation Coefficient | -.331* | .258 | .366* | .131 | -.450** | -.167 | .190 | -.474** |
| | | Sig. (2-tailed) | .030 | .094 | .016 | .401 | .002 | .285 | .223 | .001 |
| | | N | 43 | 43 | 43 | 43 | 43 | 43 | 43 | 43 |
| | CO | Correlation Coefficient | .450** | -.285 | -.382* | -.333* | .461** | .240 | -.060 | .609** |
| | | Sig. (2-tailed) | .002 | .064 | .011 | .029 | .002 | .121 | .701 | .000 |
| | | N | 43 | 43 | 43 | 43 | 43 | 43 | 43 | 43 |

Table (2-4): Spearman Correlation on raw data of Qahord's geochemical samples

Correlations

| | | P | PB | RB | S | SB | SC | SN | SR |
|----------------|----|------------------------------------|---------|---------|---------|---------|---------|---------|---------|
| Spearman's rho | CR | Correlation Coefficient .052 | -.410** | -.437** | .123 | .207 | -.050 | -.408** | .255 |
| | | Sig. (2-tailed) .738 | .006 | .003 | .431 | .184 | .749 | .007 | .099 |
| | | N 43 | 43 | 43 | 43 | 43 | 43 | 43 | 43 |
| | CS | Correlation Coefficient .074 | .452** | .531** | -.186 | -.276 | .222 | .523** | -.174 |
| | | Sig. (2-tailed) .637 | .002 | .000 | .232 | .073 | .152 | .000 | .264 |
| | | N 43 | 43 | 43 | 43 | 43 | 43 | 43 | 43 |
| | CU | Correlation Coefficient -.566** | -.195 | -.039 | .483** | -.264 | -.483** | -.309* | -.492** |
| | | Sig. (2-tailed) .000 | .211 | .802 | .001 | .088 | .001 | .043 | .001 |
| | | N 43 | 43 | 43 | 43 | 43 | 43 | 43 | 43 |
| | FE | Correlation Coefficient -.630** | -.096 | .081 | .519** | -.423** | -.488** | -.217 | -.600** |
| | | Sig. (2-tailed) .000 | .539 | .604 | .000 | .005 | .001 | .163 | .000 |
| | | N 43 | 43 | 43 | 43 | 43 | 43 | 43 | 43 |
| K | K | Correlation Coefficient -.504** | -.371* | -.312* | .584** | -.183 | -.510** | -.503** | -.309* |
| | | Sig. (2-tailed) .001 | .014 | .041 | .000 | .240 | .000 | .001 | .043 |
| | | N 43 | 43 | 43 | 43 | 43 | 43 | 43 | 43 |
| | LA | Correlation Coefficient .255 | .826** | .903** | -.007 | -.310* | .551** | .875** | -.197 |
| | | Sig. (2-tailed) .099 | .000 | .000 | .963 | .043 | .000 | .000 | .205 |
| | | N 43 | 43 | 43 | 43 | 43 | 43 | 43 | 43 |
| | LI | Correlation Coefficient .408** | -.586** | -.757** | -.034 | .770** | .041 | -.411** | .712** |
| | | Sig. (2-tailed) .007 | .000 | .000 | .828 | .000 | .792 | .006 | .000 |
| | | N 43 | 43 | 43 | 43 | 43 | 43 | 43 | 43 |
| | MG | Correlation Coefficient -.189 | -.686** | -.659** | .416** | .435** | -.384* | -.683** | .138 |
| | | Sig. (2-tailed) .225 | .000 | .000 | .006 | .004 | .011 | .000 | .378 |
| | | N 43 | 43 | 43 | 43 | 43 | 43 | 43 | 43 |
| MN | MN | Correlation Coefficient .359* | .989** | .833** | -.114 | -.247 | .608** | .804** | -.139 |
| | | Sig. (2-tailed) .018 | .000 | .000 | .466 | .110 | .000 | .000 | .374 |
| | | N 43 | 43 | 43 | 43 | 43 | 43 | 43 | 43 |
| | MO | Correlation Coefficient .385* | .895** | .749** | -.260 | -.232 | .559** | .793** | -.103 |
| | | Sig. (2-tailed) .011 | .000 | .000 | .092 | .135 | .000 | .000 | .513 |
| | | N 43 | 43 | 43 | 43 | 43 | 43 | 43 | 43 |
| | NA | Correlation Coefficient .550** | .373* | .297 | -.557** | .305* | .660** | .449** | .412** |
| | | Sig. (2-tailed) .000 | .014 | .053 | .000 | .047 | .000 | .003 | .006 |
| | | N 43 | 43 | 43 | 43 | 43 | 43 | 43 | 43 |

Table (2-4): Spearman Correlation on raw data of Qahord's geochemical samples

Correlations

| | | P | PB | RB | S | SB | SC | SN | SR | |
|----------------|-------------------------|-------------------------|---------|---------|---------|---------|---------|--------|---------|---------|
| Spearman's rho | NB | Correlation Coefficient | -.019 | -.635** | -.751** | -.006 | .478** | -.215 | -.689** | .358* |
| | | Sig. (2-tailed) | .903 | .000 | .000 | .969 | .001 | .166 | .000 | .019 |
| | | N | 43 | 43 | 43 | 43 | 43 | 43 | 43 | 43 |
| | NI | Correlation Coefficient | .396** | -.291 | -.481** | -.229 | .629** | .353* | -.252 | .682** |
| | | Sig. (2-tailed) | .009 | .058 | .001 | .139 | .000 | .020 | .103 | .000 |
| | | N | 43 | 43 | 43 | 43 | 43 | 43 | 43 | 43 |
| | P | Correlation Coefficient | 1.000 | .294 | .086 | -.423** | .601** | .756** | .571** | .770** |
| | | Sig. (2-tailed) | . | .056 | .582 | .005 | .000 | .000 | .000 | .000 |
| | | N | 43 | 43 | 43 | 43 | 43 | 43 | 43 | 43 |
| | PB | Correlation Coefficient | .294 | 1.000 | .885** | -.091 | -.295 | .587** | .811** | -.209 |
| Pearson's r | | Sig. (2-tailed) | .056 | . | .000 | .561 | .055 | .000 | .000 | .178 |
| | | N | 43 | 43 | 43 | 43 | 43 | 43 | 43 | 43 |
| | RB | Correlation Coefficient | .086 | .885** | 1.000 | .006 | -.407** | .461** | .759** | -.419** |
| | | Sig. (2-tailed) | .582 | .000 | . | .969 | .007 | .002 | .000 | .005 |
| | | N | 43 | 43 | 43 | 43 | 43 | 43 | 43 | 43 |
| | S | Correlation Coefficient | -.423** | -.091 | .006 | 1.000 | .019 | -.309* | -.185 | -.330* |
| | | Sig. (2-tailed) | .005 | .561 | .969 | . | .903 | .043 | .234 | .031 |
| | | N | 43 | 43 | 43 | 43 | 43 | 43 | 43 | 43 |
| | SB | Correlation Coefficient | .601** | -.295 | -.407** | .019 | 1.000 | .374* | -.037 | .767** |
| | | Sig. (2-tailed) | .000 | .055 | .007 | .903 | . | .013 | .814 | .000 |
| Spearman's rho | | N | 43 | 43 | 43 | 43 | 43 | 43 | 43 | 43 |
| | SC | Correlation Coefficient | .756** | .587** | .461** | -.309* | .374* | 1.000 | .737** | .514** |
| | | Sig. (2-tailed) | .000 | .000 | .002 | .043 | .013 | . | .000 | .000 |
| | | N | 43 | 43 | 43 | 43 | 43 | 43 | 43 | 43 |
| | SN | Correlation Coefficient | .571** | .811** | .759** | -.185 | -.037 | .737** | 1.000 | .114 |
| | | Sig. (2-tailed) | .000 | .000 | .000 | .234 | .814 | .000 | . | .465 |
| | | N | 43 | 43 | 43 | 43 | 43 | 43 | 43 | 43 |
| | SR | Correlation Coefficient | .770** | -.209 | -.419** | -.330* | .767** | .514** | .114 | 1.000 |
| | | Sig. (2-tailed) | .000 | .178 | .005 | .031 | .000 | .000 | .465 | . |
| | | N | 43 | 43 | 43 | 43 | 43 | 43 | 43 | 43 |
| TH | Correlation Coefficient | .274 | .606** | .600** | -.461** | -.322* | .431** | .712** | -.007 | |
| | Sig. (2-tailed) | .075 | .000 | .000 | .002 | .035 | .004 | .000 | .967 | |
| | N | 43 | 43 | 43 | 43 | 43 | 43 | 43 | 43 | |

Table (2-4): Spearman Correlation on raw datas of Qahord's geochemical samples

Correlations

| | | P | PB | RB | S | SB | SC | SN | SR | |
|----------------|-------------------------|-------------------------|--------|---------|---------|---------|---------|--------|--------|---------|
| Spearman's rho | TI | Correlation Coefficient | .488** | -.519** | -.698** | -.080 | .860** | .181 | -.296 | .782** |
| | | Sig. (2-tailed) | .001 | .000 | .000 | .610 | .000 | .245 | .054 | .000 |
| | | N | 43 | 43 | 43 | 43 | 43 | 43 | 43 | 43 |
| | TL | Correlation Coefficient | .945** | .158 | -.050 | -.466** | .686** | .729** | .431** | .854** |
| | | Sig. (2-tailed) | .000 | .311 | .752 | .002 | .000 | .000 | .004 | .000 |
| | | N | 43 | 43 | 43 | 43 | 43 | 43 | 43 | 43 |
| | U | Correlation Coefficient | .754** | .666** | .572** | -.429** | .134 | .851** | .836** | .388* |
| | | Sig. (2-tailed) | .000 | .000 | .000 | .004 | .390 | .000 | .000 | .010 |
| | | N | 43 | 43 | 43 | 43 | 43 | 43 | 43 | 43 |
| V | Correlation Coefficient | .812** | .473** | .337* | -.310* | .498** | .980** | .662** | .639** | |
| | | Sig. (2-tailed) | .000 | .001 | .027 | .043 | .001 | .000 | .000 | .000 |
| | | N | 43 | 43 | 43 | 43 | 43 | 43 | 43 | 43 |
| | W | Correlation Coefficient | .353* | .098 | .178 | -.160 | .319* | .242 | .397** | .214 |
| | | Sig. (2-tailed) | .020 | .530 | .253 | .306 | .037 | .119 | .008 | .168 |
| | | N | 43 | 43 | 43 | 43 | 43 | 43 | 43 | 43 |
| | Y | Correlation Coefficient | .129 | .817** | .834** | -.160 | -.448** | .394** | .702** | -.399** |
| | | Sig. (2-tailed) | .410 | .000 | .000 | .305 | .003 | .009 | .000 | .008 |
| | | N | 43 | 43 | 43 | 43 | 43 | 43 | 43 | 43 |
| ZN | Correlation Coefficient | .882** | .398** | .289 | -.294 | .589** | .826** | .608** | .632** | |
| | | Sig. (2-tailed) | .000 | .008 | .060 | .056 | .000 | .000 | .000 | .000 |
| | | N | 43 | 43 | 43 | 43 | 43 | 43 | 43 | 43 |
| | ZR | Correlation Coefficient | .830** | .325* | .251 | -.243 | .606** | .797** | .519** | .603** |
| | | Sig. (2-tailed) | .000 | .034 | .104 | .117 | .000 | .000 | .000 | .000 |
| | | N | 43 | 43 | 43 | 43 | 43 | 43 | 43 | 43 |

Table (2-4): Spearman Correlation on raw data of Qahord's geochemical samples

Correlations

| | | TH | TI | TL | U | V | W | Y |
|----------------|----|-------------------------|---------|---------|---------|---------|---------|---------|
| Spearman's rho | AG | Correlation Coefficient | -.604** | -.008 | -.582** | -.622** | -.540** | -.420** |
| | AG | Sig. (2-tailed) | .000 | .961 | .000 | .000 | .000 | .056 |
| | AG | N | 43 | 43 | 43 | 43 | 43 | 43 |
| | AL | Correlation Coefficient | -.488** | -.173 | -.656** | -.579** | -.590** | -.395** |
| | AL | Sig. (2-tailed) | .001 | .267 | .000 | .000 | .000 | .294 |
| | AL | N | 43 | 43 | 43 | 43 | 43 | 43 |
| | AS | Correlation Coefficient | .300 | -.580** | -.372* | .050 | -.250 | .127 |
| | AS | Sig. (2-tailed) | .051 | .000 | .014 | .751 | .105 | .416 |
| | AS | N | 43 | 43 | 43 | 43 | 43 | 43 |
| | AU | Correlation Coefficient | -.571** | .183 | -.146 | -.281 | -.239 | -.289 |
| | AU | Sig. (2-tailed) | .000 | .265 | .377 | .083 | .142 | .074 |
| | AU | N | 39 | 39 | 39 | 39 | 39 | 39 |
| Spearman's rho | BA | Correlation Coefficient | .597** | -.062 | .505** | .631** | .491** | .453** |
| | BA | Sig. (2-tailed) | .000 | .692 | .001 | .000 | .001 | .002 |
| | BA | N | 43 | 43 | 43 | 43 | 43 | 43 |
| | BE | Correlation Coefficient | .559** | .053 | .593** | .648** | .548** | .397** |
| | BE | Sig. (2-tailed) | .000 | .738 | .000 | .000 | .000 | .008 |
| | BE | N | 43 | 43 | 43 | 43 | 43 | 43 |
| | BI | Correlation Coefficient | .417** | -.519** | -.208 | .154 | -.105 | .198 |
| | BI | Sig. (2-tailed) | .005 | .000 | .181 | .325 | .503 | .202 |
| | BI | N | 43 | 43 | 43 | 43 | 43 | 43 |
| | CA | Correlation Coefficient | .046 | .427** | .522** | .298 | .356* | .068 |
| | CA | Sig. (2-tailed) | .768 | .004 | .000 | .052 | .019 | .664 |
| | CA | N | 43 | 43 | 43 | 43 | 43 | 43 |
| Spearman's rho | CD | Correlation Coefficient | -.045 | -.474** | -.567** | -.228 | -.460** | -.116 |
| | CD | Sig. (2-tailed) | .774 | .001 | .000 | .141 | .002 | .457 |
| | CD | N | 43 | 43 | 43 | 43 | 43 | 43 |
| | CE | Correlation Coefficient | .323* | -.556** | -.379* | .017 | -.251 | .044 |
| | CE | Sig. (2-tailed) | .035 | .000 | .012 | .916 | .105 | .778 |
| | CE | N | 43 | 43 | 43 | 43 | 43 | 43 |
| | CO | Correlation Coefficient | -.136 | .530** | .508** | .120 | .329* | .104 |
| | CO | Sig. (2-tailed) | .384 | .000 | .001 | .444 | .031 | .509 |
| | CO | N | 43 | 43 | 43 | 43 | 43 | 43 |

Table (2-4): Spearman Correlation on raw data of Qahord's geochemical samples

Correlations

| | | TH | TI | TL | U | V | W | Y |
|----------------|----|-------------------------|---------|---------|---------|---------|---------|---------|
| Spearman's rho | CR | Correlation Coefficient | -.509** | .351* | .062 | -.215 | .024 | -.271 |
| | | Sig. (2-tailed) | .000 | .021 | .693 | .166 | .878 | .079 |
| | | N | 43 | 43 | 43 | 43 | 43 | 43 |
| | CS | Correlation Coefficient | .624** | -.466** | .020 | .392** | .150 | .315* |
| | | Sig. (2-tailed) | .000 | .002 | .900 | .009 | .337 | .040 |
| | | N | 43 | 43 | 43 | 43 | 43 | 43 |
| | CU | Correlation Coefficient | -.373* | -.218 | -.610** | -.480** | -.524** | -.263 |
| | | Sig. (2-tailed) | .014 | .160 | .000 | .001 | .000 | .088 |
| | | N | 43 | 43 | 43 | 43 | 43 | 43 |
| | FE | Correlation Coefficient | -.243 | -.400** | -.695** | -.429** | -.559** | -.264 |
| | | Sig. (2-tailed) | .116 | .008 | .000 | .004 | .000 | .087 |
| | | N | 43 | 43 | 43 | 43 | 43 | 43 |
| | K | Correlation Coefficient | -.578** | -.011 | -.513** | -.550** | -.514** | -.422** |
| | | Sig. (2-tailed) | .000 | .944 | .000 | .000 | .000 | .005 |
| | | N | 43 | 43 | 43 | 43 | 43 | 43 |
| | LA | Correlation Coefficient | .616** | -.605** | .109 | .714** | .451** | .256 |
| | | Sig. (2-tailed) | .000 | .000 | .486 | .000 | .002 | .097 |
| | | N | 43 | 43 | 43 | 43 | 43 | 43 |
| | LI | Correlation Coefficient | -.634** | .920** | .496** | -.143 | .187 | -.022 |
| | | Sig. (2-tailed) | .000 | .000 | .001 | .362 | .231 | .888 |
| | | N | 43 | 43 | 43 | 43 | 43 | 43 |
| | MG | Correlation Coefficient | -.924** | .544** | -.121 | -.557** | -.284 | -.210 |
| | | Sig. (2-tailed) | .000 | .000 | .439 | .000 | .065 | .177 |
| | | N | 43 | 43 | 43 | 43 | 43 | 43 |
| | MN | Correlation Coefficient | .570** | -.439** | .218 | .683** | .501** | .060 |
| | | Sig. (2-tailed) | .000 | .003 | .161 | .000 | .001 | .701 |
| | | N | 43 | 43 | 43 | 43 | 43 | 43 |
| | MO | Correlation Coefficient | .658** | -.387* | .232 | .642** | .455** | .130 |
| | | Sig. (2-tailed) | .000 | .010 | .134 | .000 | .002 | .407 |
| | | N | 43 | 43 | 43 | 43 | 43 | 43 |
| | NA | Correlation Coefficient | .436** | .087 | .608** | .624** | .675** | .326* |
| | | Sig. (2-tailed) | .003 | .581 | .000 | .000 | .000 | .033 |
| | | N | 43 | 43 | 43 | 43 | 43 | 43 |

Table (2-4): Spearman Correlation on raw data of Qahord's geochemical samples

Correlations

| | | TH | TI | TL | U | V | W | Y | |
|----------------|----|-------------------------|---------|---------|---------|---------|--------|--------|---------|
| Spearman's rho | NB | Correlation Coefficient | -.737** | .713** | .082 | -.494** | -.114 | -.342* | -.683** |
| | | Sig. (2-tailed) | .000 | .000 | .602 | .001 | .468 | .025 | .000 |
| | | N | 43 | 43 | 43 | 43 | 43 | 43 | 43 |
| | NI | Correlation Coefficient | -.309* | .714** | .513** | .061 | .453** | -.268 | -.422** |
| | | Sig. (2-tailed) | .044 | .000 | .000 | .699 | .002 | .083 | .005 |
| | | N | 43 | 43 | 43 | 43 | 43 | 43 | 43 |
| | P | Correlation Coefficient | .274 | .488** | .945** | .754** | .812** | .353* | .129 |
| | | Sig. (2-tailed) | .075 | .001 | .000 | .000 | .000 | .020 | .410 |
| | | N | 43 | 43 | 43 | 43 | 43 | 43 | 43 |
| | PB | Correlation Coefficient | .606** | -.519** | .158 | .666** | .473** | .098 | .817** |
| | | Sig. (2-tailed) | .000 | .000 | .311 | .000 | .001 | .530 | .000 |
| | | N | 43 | 43 | 43 | 43 | 43 | 43 | 43 |
| | RB | Correlation Coefficient | .600** | -.698** | -.050 | .572** | .337* | .178 | .834** |
| | | Sig. (2-tailed) | .000 | .000 | .752 | .000 | .027 | .253 | .000 |
| | | N | 43 | 43 | 43 | 43 | 43 | 43 | 43 |
| | S | Correlation Coefficient | -.461** | -.080 | -.466** | -.429** | -.310* | -.160 | -.160 |
| | | Sig. (2-tailed) | .002 | .610 | .002 | .004 | .043 | .306 | .305 |
| | | N | 43 | 43 | 43 | 43 | 43 | 43 | 43 |
| | SB | Correlation Coefficient | -.322* | .860** | .686** | .134 | .498** | .319* | -.448** |
| | | Sig. (2-tailed) | .035 | .000 | .000 | .390 | .001 | .037 | .003 |
| | | N | 43 | 43 | 43 | 43 | 43 | 43 | 43 |
| | SC | Correlation Coefficient | .431** | .181 | .729** | .851** | .980** | .242 | .394** |
| | | Sig. (2-tailed) | .004 | .245 | .000 | .000 | .000 | .119 | .009 |
| | | N | 43 | 43 | 43 | 43 | 43 | 43 | 43 |
| | SN | Correlation Coefficient | .712** | -.296 | .431** | .836** | .662** | .397** | .702** |
| | | Sig. (2-tailed) | .000 | .054 | .004 | .000 | .000 | .008 | .000 |
| | | N | 43 | 43 | 43 | 43 | 43 | 43 | 43 |
| | SR | Correlation Coefficient | -.007 | .782** | .854** | .388* | .639** | .214 | -.399** |
| | | Sig. (2-tailed) | .967 | .000 | .000 | .010 | .000 | .168 | .008 |
| | | N | 43 | 43 | 43 | 43 | 43 | 43 | 43 |
| | TH | Correlation Coefficient | 1.000 | -.469** | .263 | .642** | .349* | .414** | .627** |
| | | Sig. (2-tailed) | . | .002 | .089 | .000 | .022 | .006 | .000 |
| | | N | 43 | 43 | 43 | 43 | 43 | 43 | 43 |

Table (2-4): Spearman Correlation on raw data of Qahord's geochemical samples

Correlations

| | | TH | TI | TL | U | V | W | Y |
|----------------|----|-------------------------|---------|---------|--------|--------|--------|--------|
| Spearman's rho | TI | Correlation Coefficient | -.469** | 1.000 | .595** | -.071 | .313* | .043 |
| | | Sig. (2-tailed) | .002 | . | .000 | .653 | .041 | .784 |
| | | N | 43 | 43 | 43 | 43 | 43 | 43 |
| | TL | Correlation Coefficient | .263 | .595** | 1.000 | .702** | .810** | .383* |
| | | Sig. (2-tailed) | .089 | .000 | . | .000 | .000 | .011 |
| | | N | 43 | 43 | 43 | 43 | 43 | .956 |
| | U | Correlation Coefficient | .642** | -.071 | .702** | 1.000 | .825** | .320* |
| | | Sig. (2-tailed) | .000 | .653 | .000 | . | .000 | .037 |
| | | N | 43 | 43 | 43 | 43 | 43 | .000 |
| W | V | Correlation Coefficient | .349* | .313* | .810** | .825** | 1.000 | .248 |
| | | Sig. (2-tailed) | .022 | .041 | .000 | .000 | . | .270 |
| | | N | 43 | 43 | 43 | 43 | 43 | .080 |
| | W | Correlation Coefficient | .414** | .043 | .383* | .320* | .248 | 1.000 |
| | | Sig. (2-tailed) | .006 | .784 | .011 | .037 | .108 | .054 |
| | | N | 43 | 43 | 43 | 43 | 43 | .732 |
| | Y | Correlation Coefficient | .627** | -.597** | -.009 | .562** | .270 | .054 |
| | | Sig. (2-tailed) | .000 | .000 | .956 | .000 | .080 | .732 |
| | | N | 43 | 43 | 43 | 43 | 43 | . |
| ZR | ZN | Correlation Coefficient | .292 | .364* | .882** | .817** | .872** | .391** |
| | | Sig. (2-tailed) | .057 | .016 | .000 | .000 | .000 | .230 |
| | | N | 43 | 43 | 43 | 43 | 43 | .137 |
| | ZR | Correlation Coefficient | .164 | .384* | .831** | .740** | .849** | .328* |
| | | Sig. (2-tailed) | .295 | .011 | .000 | .000 | .000 | .165 |
| | | N | 43 | 43 | 43 | 43 | 43 | .291 |

Table (2-4): Spearman Correlation on raw datas of Qahord's geochemical samples

Correlations

| | | | ZN | ZR |
|----------------|----|-------------------------|---------|---------|
| Spearman's rho | AG | Correlation Coefficient | -.523** | -.471** |
| | | Sig. (2-tailed) | .000 | .001 |
| | | N | 43 | 43 |
| | AL | Correlation Coefficient | -.599** | -.560** |
| | | Sig. (2-tailed) | .000 | .000 |
| | | N | 43 | 43 |
| | AS | Correlation Coefficient | -.230 | -.281 |
| | | Sig. (2-tailed) | .138 | .068 |
| | | N | 43 | 43 |
| | AU | Correlation Coefficient | -.143 | -.096 |
| | | Sig. (2-tailed) | .384 | .560 |
| | | N | 39 | 39 |
| | BA | Correlation Coefficient | .538** | .462** |
| | | Sig. (2-tailed) | .000 | .002 |
| | | N | 43 | 43 |
| | BE | Correlation Coefficient | .575** | .505** |
| | | Sig. (2-tailed) | .000 | .001 |
| | | N | 43 | 43 |
| | BI | Correlation Coefficient | -.015 | -.094 |
| | | Sig. (2-tailed) | .926 | .549 |
| | | N | 43 | 43 |
| | CA | Correlation Coefficient | .388* | .368* |
| | | Sig. (2-tailed) | .010 | .015 |
| | | N | 43 | 43 |
| | CD | Correlation Coefficient | -.449** | -.455** |
| | | Sig. (2-tailed) | .003 | .002 |
| | | N | 43 | 43 |
| | CE | Correlation Coefficient | -.263 | -.313* |
| | | Sig. (2-tailed) | .088 | .041 |
| | | N | 43 | 43 |
| | CO | Correlation Coefficient | .319* | .366* |
| | | Sig. (2-tailed) | .037 | .016 |
| | | N | 43 | 43 |

Table (2-4): Spearman Correlation on raw data of Qahord's geochemical samples

Correlations

| | | ZN | ZR |
|----------------|----|------------------------------------|---------|
| Spearman's rho | CR | Correlation Coefficient .050 | .061 |
| | | Sig. (2-tailed) .750 | .699 |
| | | N 43 | 43 |
| | CS | Correlation Coefficient .131 | .053 |
| | | Sig. (2-tailed) .402 | .736 |
| | | N 43 | 43 |
| | CU | Correlation Coefficient -.511** | -.472** |
| | | Sig. (2-tailed) .000 | .001 |
| | | N 43 | 43 |
| | FE | Correlation Coefficient -.570** | -.551** |
| | | Sig. (2-tailed) .000 | .000 |
| | | N 43 | 43 |
| | K | Correlation Coefficient -.499** | -.444** |
| | | Sig. (2-tailed) .001 | .003 |
| | | N 43 | 43 |
| | LA | Correlation Coefficient .409** | .358* |
| | | Sig. (2-tailed) .006 | .019 |
| | | N 43 | 43 |
| | LI | Correlation Coefficient .266 | .322* |
| | | Sig. (2-tailed) .085 | .035 |
| | | N 43 | 43 |
| | MG | Correlation Coefficient -.181 | -.056 |
| | | Sig. (2-tailed) .247 | .721 |
| | | N 43 | 43 |
| | MN | Correlation Coefficient .434** | .360* |
| | | Sig. (2-tailed) .004 | .018 |
| | | N 43 | 43 |
| | MO | Correlation Coefficient .349* | .227 |
| | | Sig. (2-tailed) .022 | .144 |
| | | N 43 | 43 |
| | NA | Correlation Coefficient .635** | .642** |
| | | Sig. (2-tailed) .000 | .000 |
| | | N 43 | 43 |

Table (2-4): Spearman Correlation on raw datas of Qahord's geochemical samples

Correlations

| | | ZN | ZR |
|----------------|----|-------------------------|--------|
| Spearman's rho | NB | Correlation Coefficient | -.105 |
| | | Sig. (2-tailed) | .501 |
| | | N | 43 |
| | NI | Correlation Coefficient | .331* |
| | | Sig. (2-tailed) | .030 |
| | | N | 43 |
| | P | Correlation Coefficient | .882** |
| | | Sig. (2-tailed) | .000 |
| | | N | 43 |
| | PB | Correlation Coefficient | .398** |
| RB | | Sig. (2-tailed) | .008 |
| | | N | 43 |
| | RB | Correlation Coefficient | .289 |
| | | Sig. (2-tailed) | .060 |
| | | N | 43 |
| | S | Correlation Coefficient | -.294 |
| | | Sig. (2-tailed) | .056 |
| | | N | 43 |
| | SB | Correlation Coefficient | .589** |
| | | Sig. (2-tailed) | .000 |
| SC | | N | 43 |
| | SC | Correlation Coefficient | .826** |
| | | Sig. (2-tailed) | .000 |
| | | N | 43 |
| | SN | Correlation Coefficient | .608** |
| | | Sig. (2-tailed) | .000 |
| | | N | 43 |
| | SR | Correlation Coefficient | .632** |
| | | Sig. (2-tailed) | .000 |
| | | N | 43 |
| TH | TH | Correlation Coefficient | .292 |
| | | Sig. (2-tailed) | .057 |
| | | N | 43 |

Table (2-4): Spearman Correlation on raw datas of Qahord's geochemical samples

Correlations

| | | ZN | ZR |
|----------------|-----------------------------------|-----------------------------------|--------|
| Spearman's rho | TI | Correlation Coefficient .364* | .384* |
| | | Sig. (2-tailed) .016 | .011 |
| | | N 43 | 43 |
| | TL | Correlation Coefficient .882** | .831** |
| | | Sig. (2-tailed) .000 | .000 |
| | | N 43 | 43 |
| | U | Correlation Coefficient .817** | .740** |
| | | Sig. (2-tailed) .000 | .000 |
| | | N 43 | 43 |
| | V | Correlation Coefficient .872** | .849** |
| | | Sig. (2-tailed) .000 | .000 |
| | | N 43 | 43 |
| | W | Correlation Coefficient .391** | .328* |
| | | Sig. (2-tailed) .009 | .032 |
| | | N 43 | 43 |
| | Y | Correlation Coefficient .230 | .165 |
| | | Sig. (2-tailed) .137 | .291 |
| | | N 43 | 43 |
| ZN | Correlation Coefficient 1.000 | | .971** |
| | Sig. (2-tailed) . . | | .000 |
| | N 43 | | 43 |
| ZR | Correlation Coefficient .971** | 1.000 | |
| | Sig. (2-tailed) .000 | | . . |
| | N 43 | | 43 |

**. Correlation is significant at the 0.01 level (2-tailed).

*. Correlation is significant at the 0.05 level (2-tailed).

جدول (۴-۴): مقادیر حدود زمینه و آنومالی‌های ممکن، احتمالی و قطعی نمونه های ژئوشیمیایی محدوده ۱/۲۵۰۰۰ قهورد

| <i>Qahord</i> | <i>Ag</i> | <i>Al</i> | <i>As</i> | <i>Au</i> | <i>Ba</i> | <i>Be</i> | <i>Bi</i> | <i>Ca</i> | <i>Cd</i> |
|---------------|-----------|-----------|-----------|-----------|-----------|-----------|-----------|-----------|-----------|
| <i>QA-01</i> | 0.43 | 72836 | 20.6 | 2 | 747.3 | 2.1 | 0.4 | 49448 | 0.2 |
| <i>QA-02</i> | 0.48 | 76610 | 17.5 | 2 | 707.6 | 2.0 | 0.3 | 65484 | 0.2 |
| <i>QA-03</i> | 0.51 | 79333 | 13.3 | 2 | 650.4 | 1.8 | 0.2 | 63531 | 0.3 |
| <i>QA-04</i> | 0.53 | 82847 | 11.0 | 2 | 582.0 | 1.7 | 0.2 | 44587 | 0.6 |
| <i>QA-05</i> | 0.56 | 87377 | 24.8 | 4 | 526.0 | 1.5 | 0.2 | 24923 | 0.8 |
| <i>QA-06</i> | 0.58 | 90070 | 39.4 | 5 | 548.1 | 1.5 | 0.3 | 16947 | 0.9 |
| <i>QA-07</i> | 0.56 | 90693 | 54.8 | 5 | 592.9 | 1.5 | 0.4 | 18887 | 0.9 |
| <i>QA-08</i> | 0.51 | 88837 | 50.5 | 3 | 641.1 | 1.6 | 0.4 | 17677 | 0.7 |
| <i>QA-09</i> | 0.44 | 82360 | 44.1 | 2 | 675.4 | 1.7 | 0.5 | 16187 | 0.5 |
| <i>QA-10</i> | 0.40 | 75410 | 36.8 | 2 | 716.4 | 1.9 | 0.5 | 14753 | 0.7 |
| <i>QA-11</i> | 0.40 | 75410 | 36.8 | 2 | 716.4 | 1.9 | 0.4 | 14753 | 0.5 |
| <i>QA-12</i> | 0.48 | 68753 | 29.7 | 2 | 771.0 | 2.1 | 0.4 | 14720 | 0.3 |
| <i>QA-13</i> | 0.36 | 66437 | 25.8 | 2 | 771.3 | 2.1 | 0.4 | 29510 | 0.2 |

جدول (۴-۴): مقادیر حدود زمینه و آنومالی‌های ممکن، احتمالی و قطعی نمونه های ژئوشیمیایی محدوده ۱/۲۵۰۰۰ قهورد

| <i>Qahord</i> | <i>Ag</i> | <i>Al</i> | <i>As</i> | <i>Au</i> | <i>Ba</i> | <i>Be</i> | <i>Bi</i> | <i>Ca</i> | <i>Cd</i> |
|---------------|-----------|-----------|-----------|-----------|-----------|-----------|-----------|-----------|-----------|
| <i>QA-14</i> | 0.42 | 75030 | 20.0 | 2 | 753.7 | 2.1 | 0.3 | 48390 | 0.2 |
| <i>QA-15</i> | 0.51 | 77040 | 15.8 | 2 | 716.7 | 2.0 | 0.3 | 70443 | 0.3 |
| <i>QA-16</i> | 0.50 | 77760 | 16.7 | 2 | 652.5 | 1.9 | 0.2 | 77620 | 0.1 |
| <i>QA-17</i> | 0.53 | 83200 | 7.4 | 3 | 581.9 | 1.7 | 0.2 | 42530 | 0.2 |
| <i>QA-18</i> | 0.56 | 87580 | 8.8 | 1 | 511.6 | 1.5 | 0.2 | 13610 | 0.7 |
| <i>QA-19</i> | 0.60 | 91350 | 58.3 | 8 | 484.5 | 1.4 | 0.2 | 18630 | 0.8 |
| <i>QA-20</i> | 0.59 | 91280 | 51.3 | 5 | 648.2 | 1.6 | 0.4 | 18600 | 1.0 |
| <i>QA-21</i> | 0.49 | 89450 | 54.9 | 2 | 645.9 | 1.5 | 0.6 | 19430 | 0.9 |
| <i>QA-22</i> | 0.44 | 85780 | 45.5 | 2 | 629.4 | 1.6 | 0.4 | 15000 | 0.7 |
| <i>QA-23</i> | 0.40 | 71850 | 32.0 | 2 | 751.0 | 2.0 | 0.4 | 14130 | 0.5 |
| <i>QA-24</i> | 0.35 | 68600 | 33.0 | 2 | 768.8 | 2.1 | 0.5 | 15130 | 0.3 |
| <i>QA-25</i> | 0.39 | 65810 | 24.2 | 2 | 793.4 | 2.1 | 0.4 | 14900 | 0.2 |
| <i>QA-26</i> | 0.39 | 64900 | 20.4 | 2 | 751.9 | 2.1 | 0.4 | 58500 | 0.2 |

جدول (۴-۴): مقادیر حدود زمینه و آنومالی‌های ممکن، احتمالی و قطعی نمونه های ژئوشیمیایی محدوده ۱/۲۵۰۰۰ قهورد

| <i>Qahord</i> | <i>Ag</i> | <i>Al</i> | <i>As</i> | <i>Au</i> | <i>Ba</i> | <i>Be</i> | <i>Bi</i> | <i>Ca</i> | <i>Cd</i> |
|---------------|-----------|-----------|-----------|-----------|-----------|-----------|-----------|-----------|-----------|
| <i>QA-27</i> | 0.38 | 77410 | 15.6 | 2 | 715.9 | 2.0 | 0.3 | 71770 | 0.2 |
| <i>QA-28</i> | 0.36 | 77330 | 11.4 | 2 | 682.4 | 1.9 | 0.2 | 81060 | 0.1 |
| <i>QA-29</i> | 0.36 | 77830 | 7.9 | 2 | 559.3 | 1.6 | 0.2 | 80030 | 0.1 |
| <i>QA-30</i> | 0.35 | 78790 | 8.0 | 3 | 504.0 | 1.4 | 0.2 | 15380 | 0.1 |
| <i>QA-31</i> | 0.48 | 80240 | 7.7 | 7 | 471.6 | 1.4 | 0.2 | 15810 | 0.1 |
| <i>QA-32</i> | 0.51 | 81810 | 7.6 | 7 | 478.0 | 1.3 | 0.4 | 14600 | 0.2 |
| <i>QA-33</i> | 0.53 | 82847 | 8.1 | 6 | 638.8 | 1.6 | 0.6 | 13880 | 0.2 |
| <i>QA-34</i> | 0.56 | 87377 | 8.4 | 5 | 636.5 | 1.6 | 0.7 | 14680 | 0.6 |
| <i>QA-35</i> | 0.58 | 90070 | 39.4 | 4 | 641.8 | 1.6 | 0.5 | 14070 | 0.8 |
| <i>QA-36</i> | 0.56 | 90693 | 54.8 | 3 | 651.8 | 1.6 | 0.5 | 18887 | 0.9 |
| <i>QA-37</i> | 0.51 | 88837 | 50.5 | 3 | 660.1 | 1.7 | 0.5 | 17677 | 0.9 |
| <i>QA-38</i> | 0.44 | 82360 | 44.1 | 2 | 675.4 | 1.7 | 0.4 | 16187 | 0.5 |
| <i>QA-39</i> | 0.41 | 70200 | 30.8 | 2 | 752.9 | 2.0 | 0.4 | 19661 | 0.4 |

جدول (۴-۴): مقادیر حدود زمینه و آنومالی‌های ممکن، احتمالی و قطعی نمونه های ژئوشیمیایی محدوده ۱/۲۵۰۰۰ قهورد

| <i>Qahord</i> | <i>Ag</i> | <i>Al</i> | <i>As</i> | <i>Au</i> | <i>Ba</i> | <i>Be</i> | <i>Bi</i> | <i>Ca</i> | <i>Cd</i> |
|---------------|-----------|-----------|-----------|-----------|-----------|-----------|-----------|-----------|-----------|
| <i>QA-40</i> | 0.42 | 70073 | 25.2 | 2 | 765.4 | 2.1 | 0.4 | 30873 | 0.3 |
| <i>QA-41</i> | 0.38 | 68753 | 29.7 | 2 | 771.0 | 2.1 | 0.5 | 14720 | 0.3 |
| <i>QA-42</i> | 0.37 | 66437 | 25.8 | 2 | 771.3 | 2.1 | 0.4 | 29510 | 0.3 |
| <i>QA-43</i> | 0.38 | 69373 | 20.0 | 2 | 753.7 | 2.1 | 0.3 | 48390 | 0.2 |

| | | | | | | | | | |
|-----------------------|------|-----------|-------|------|---------|------|------|-----------|------|
| <i>Median</i> | 0.48 | 78790 | 25.2 | 2 | 660.1 | 1.7 | 0.4 | 18630 | 0.3 |
| <i>Std. Deviation</i> | 0.08 | 8261 | 16.0 | 1 | 92.9 | 0.3 | 0.1 | 22074 | 0.3 |
| <i>X+S</i> | 0.55 | 87051.25 | 41.19 | 3.19 | 753.03 | 1.97 | 0.52 | 40703.92 | 0.63 |
| <i>X+2S</i> | 0.63 | 95312.51 | 57.18 | 4.17 | 845.97 | 2.23 | 0.65 | 62777.83 | 0.91 |
| <i>X+3S</i> | 0.71 | 103573.76 | 73.17 | 5.15 | 938.90 | 2.48 | 0.77 | 84851.75 | 1.20 |
| <i>X+4S</i> | 0.78 | 111835.01 | 89.16 | 6.13 | 1031.84 | 2.74 | 0.90 | 106925.67 | 1.49 |

جدول (۴-۴): مقادیر حدود زمینه و آنومالی‌های ممکن، احتمالی و قطعی نمونه های ژئوشیمیایی محدوده ۱/۲۵۰۰۰ قهورد

| <i>Qahord</i> | <i>Ce</i> | <i>Co</i> | <i>Cr</i> | <i>Cs</i> | <i>Cu</i> | <i>Fe</i> | <i>K</i> | <i>La</i> | <i>Li</i> |
|---------------|-----------|-----------|-----------|-----------|-----------|-----------|----------|-----------|-----------|
| <i>QA-01</i> | 46.3 | 10.9 | 26 | 4.4 | 27.1 | 24533 | 36820 | 27 | 22.8 |
| <i>QA-02</i> | 46.1 | 10.7 | 28 | 3.9 | 29.9 | 24867 | 39083 | 26 | 24.1 |
| <i>QA-03</i> | 46.8 | 10.4 | 28 | 3.6 | 37.6 | 28567 | 42070 | 24 | 24.2 |
| <i>QA-04</i> | 48.1 | 10.1 | 29 | 3.6 | 46.0 | 32467 | 44137 | 23 | 23.8 |
| <i>QA-05</i> | 50.3 | 9.8 | 29 | 4.1 | 45.9 | 34300 | 45543 | 23 | 23.1 |
| <i>QA-06</i> | 52.7 | 9.6 | 29 | 4.6 | 44.2 | 34867 | 45810 | 24 | 23.1 |
| <i>QA-07</i> | 55.3 | 8.3 | 24 | 4.9 | 39.8 | 33567 | 42677 | 26 | 22.7 |
| <i>QA-08</i> | 55.8 | 7.5 | 19 | 5.1 | 35.2 | 31400 | 37830 | 26 | 20.3 |
| <i>QA-09</i> | 55.5 | 7.4 | 16 | 5.2 | 31.3 | 29233 | 32060 | 27 | 14.7 |
| <i>QA-10</i> | 55.8 | 6.4 | 20 | 5.1 | 35.2 | 31400 | 37830 | 28 | 16.8 |
| <i>QA-11</i> | 55.5 | 6.3 | 21 | 5.2 | 31.3 | 29233 | 32060 | 29 | 18.4 |
| <i>QA-12</i> | 54.0 | 8.7 | 17 | 5.2 | 28.5 | 27400 | 28580 | 28 | 21.1 |
| <i>QA-13</i> | 51.1 | 10.2 | 19 | 5.0 | 26.9 | 26100 | 31170 | 27 | 23.0 |

جدول (۴-۴): مقادیر حدود زمینه و آنومالی‌های ممکن، احتمالی و قطعی نمونه های ژئوشیمیایی محدوده ۱/۲۵۰۰۰ قهورد

| <i>Qahord</i> | <i>Ce</i> | <i>Co</i> | <i>Cr</i> | <i>Cs</i> | <i>Cu</i> | <i>Fe</i> | <i>K</i> | <i>La</i> | <i>Li</i> |
|---------------|-----------|-----------|-----------|-----------|-----------|-----------|----------|-----------|-----------|
| <i>QA-14</i> | 48.2 | 10.8 | 24 | 4.8 | 36.0 | 28400 | 35240 | 26 | 24.4 |
| <i>QA-15</i> | 45.8 | 11.1 | 27 | 4.4 | 21.9 | 21200 | 35290 | 24 | 24.9 |
| <i>QA-16</i> | 45.1 | 10.7 | 28 | 4.1 | 23.5 | 24000 | 39930 | 23 | 23.3 |
| <i>QA-17</i> | 47.5 | 10.3 | 29 | 3.2 | 44.3 | 29400 | 42030 | 23 | 23.0 |
| <i>QA-18</i> | 47.8 | 10.0 | 28 | 3.5 | 45.2 | 32300 | 44250 | 23 | 23.0 |
| <i>QA-19</i> | 49.0 | 9.8 | 30 | 4.1 | 48.7 | 35700 | 46130 | 26 | 23.3 |
| <i>QA-20</i> | 54.0 | 9.5 | 29 | 4.8 | 43.8 | 34900 | 46250 | 26 | 21.8 |
| <i>QA-21</i> | 55.1 | 9.3 | 27 | 4.8 | 40.2 | 34000 | 45050 | 26 | 15.4 |
| <i>QA-22</i> | 56.8 | 6.1 | 14 | 5.1 | 35.3 | 31800 | 36730 | 26 | 15.6 |
| <i>QA-23</i> | 55.6 | 7.0 | 16 | 5.2 | 30.0 | 28400 | 31710 | 26 | 15.6 |
| <i>QA-24</i> | 54.1 | 9.1 | 16 | 5.1 | 28.6 | 27500 | 27740 | 26 | 15.7 |
| <i>QA-25</i> | 52.3 | 10.2 | 19 | 5.2 | 26.9 | 26300 | 26290 | 27 | 16.4 |
| <i>QA-26</i> | 46.7 | 11.3 | 23 | 4.7 | 25.4 | 24500 | 34900 | 28 | 16.5 |

جدول (۴-۴): مقادیر حدود زمینه و آنومالی‌های ممکن، احتمالی و قطعی نمونه های ژئوشیمیایی محدوده ۱/۲۵۰۰۰ قهورد

| <i>Qahord</i> | <i>Ce</i> | <i>Co</i> | <i>Cr</i> | <i>Cs</i> | <i>Cu</i> | <i>Fe</i> | <i>K</i> | <i>La</i> | <i>Li</i> |
|---------------|-----------|-----------|-----------|-----------|-----------|-----------|----------|-----------|-----------|
| <i>QA-27</i> | 45.5 | 11.1 | 30 | 4.5 | 22.5 | 22100 | 34980 | 28 | 18.8 |
| <i>QA-28</i> | 45.1 | 11.0 | 29 | 4.1 | 22.7 | 22400 | 35400 | 28 | 20.8 |
| <i>QA-29</i> | 44.7 | 10.1 | 25 | 3.8 | 22.6 | 22200 | 36460 | 26 | 23.7 |
| <i>QA-30</i> | 48.4 | 9.9 | 32 | 3.6 | 22.7 | 22200 | 37260 | 24 | 24.0 |
| <i>QA-31</i> | 48.4 | 10.0 | 27 | 3.7 | 23.6 | 23100 | 37970 | 24 | 23.7 |
| <i>QA-32</i> | 48.2 | 9.6 | 30 | 3.6 | 24.3 | 23400 | 39083 | 23 | 23.3 |
| <i>QA-33</i> | 47.8 | 8.9 | 31 | 3.7 | 37.6 | 28567 | 42070 | 24 | 22.9 |
| <i>QA-34</i> | 48.1 | 6.4 | 16 | 3.8 | 46.0 | 32467 | 44137 | 25 | 22.0 |
| <i>QA-35</i> | 48.2 | 6.5 | 16 | 3.7 | 45.9 | 34300 | 45543 | 26 | 19.2 |
| <i>QA-36</i> | 52.7 | 6.4 | 17 | 4.6 | 44.2 | 34867 | 45810 | 27 | 17.3 |
| <i>QA-37</i> | 55.3 | 6.2 | 18 | 4.9 | 39.8 | 33567 | 42677 | 28 | 16.6 |
| <i>QA-38</i> | 55.1 | 7.1 | 19 | 5.1 | 31.6 | 29344 | 32823 | 28 | 18.8 |
| <i>QA-39</i> | 53.5 | 8.4 | 19 | 5.1 | 28.9 | 27578 | 30603 | 28 | 20.8 |

جدول (۴-۴): مقادیر حدود زمینه و آنومالی‌های ممکن، احتمالی و قطعی نمونه های ژئوشیمیایی محدوده ۱/۲۵۰۰۰ قهورد

| <i>Qahord</i> | <i>Ce</i> | <i>Co</i> | <i>Cr</i> | <i>Cs</i> | <i>Cu</i> | <i>Fe</i> | <i>K</i> | <i>La</i> | <i>Li</i> |
|---------------|-----------|-----------|-----------|-----------|-----------|-----------|----------|-----------|-----------|
| <i>QA-40</i> | 51.1 | 9.9 | 20 | 5.0 | 30.5 | 27300 | 31663 | 27 | 22.8 |
| <i>QA-41</i> | 48.3 | 10.7 | 23 | 4.7 | 28.3 | 25233 | 33900 | 26 | 24.1 |
| <i>QA-42</i> | 54.0 | 8.7 | 17 | 5.2 | 28.5 | 27400 | 28580 | 24 | 24.2 |
| <i>QA-43</i> | 51.1 | 10.2 | 19 | 5.0 | 26.9 | 26100 | 29643 | 23 | 23.8 |

| | | | | | | | | | |
|-----------------------|-------|-------|-------|------|-------|----------|----------|-------|-------|
| <i>Median</i> | 50.3 | 9.8 | 24 | 4.7 | 31.3 | 28400 | 37260 | 26 | 22.8 |
| <i>Std. Deviation</i> | 3.8 | 1.6 | 5 | 0.6 | 8.3 | 4261 | 5890 | 2 | 3.2 |
| <i>X+S</i> | 54.06 | 11.43 | 29.00 | 5.30 | 39.60 | 32661.46 | 43149.69 | 27.92 | 26.00 |
| <i>X+2S</i> | 57.85 | 13.08 | 34.40 | 5.93 | 47.92 | 36922.92 | 49039.39 | 29.71 | 29.19 |
| <i>X+3S</i> | 61.65 | 14.72 | 39.80 | 6.56 | 56.24 | 41184.38 | 54929.08 | 31.50 | 32.38 |
| <i>X+4S</i> | 65.44 | 16.37 | 45.20 | 7.18 | 64.56 | 45445.84 | 60818.78 | 33.29 | 35.56 |

جدول (۴-۴): مقادیر حدود زمینه و آنومالی‌های ممکن، احتمالی و قطعی نمونه های ژئوشیمیایی محدوده ۱/۲۵۰۰۰ قهورد

| <i>Qahord</i> | <i>Mg</i> | <i>Mn</i> | <i>Mo</i> | <i>Na</i> | <i>Nb</i> | <i>Ni</i> | <i>P</i> | <i>Pb</i> | <i>Rb</i> |
|---------------|-----------|-----------|-----------|-----------|-----------|-----------|----------|-----------|-----------|
| <i>QA-01</i> | 10260 | 1547 | 1.5 | 23560 | 10.7 | 29 | 603 | 91.9 | 201.2 |
| <i>QA-02</i> | 10893 | 1196 | 1.3 | 16176.67 | 11.6 | 30 | 611 | 60.8 | 167.5 |
| <i>QA-03</i> | 10813 | 940 | 1.2 | 13573.33 | 12.1 | 30 | 598 | 41.1 | 142.5 |
| <i>QA-04</i> | 11087 | 830 | 1.1 | 13593.33 | 12.3 | 33 | 566 | 34.2 | 151.6 |
| <i>QA-05</i> | 11447 | 1583 | 1.2 | 13363.33 | 12.4 | 33 | 476 | 83.7 | 156.6 |
| <i>QA-06</i> | 12417 | 800 | 0.7 | 12963.33 | 12.3 | 27 | 408 | 35.5 | 164.1 |
| <i>QA-07</i> | 12787 | 909 | 0.7 | 11850 | 11.6 | 16 | 484 | 41.3 | 202.3 |
| <i>QA-08</i> | 10070 | 1923 | 2.4 | 11406.67 | 10.7 | 20 | 525 | 115.7 | 208.8 |
| <i>QA-09</i> | 7710 | 2138 | 2.4 | 11166.67 | 9.8 | 22 | 539 | 136.5 | 225.0 |
| <i>QA-10</i> | 8940 | 2398 | 2.1 | 12730 | 9.4 | 26 | 597 | 163.9 | 236.8 |
| <i>QA-11</i> | 7950 | 2250 | 1.9 | 17510 | 10.3 | 29 | 585 | 156.6 | 239.0 |
| <i>QA-12</i> | 9340 | 1955 | 1.7 | 24380 | 11.0 | 31 | 590 | 129.7 | 241.0 |
| <i>QA-13</i> | 10390 | 1583 | 1.4 | 22050 | 10.8 | 31 | 615 | 92.4 | 196.8 |

جدول (۴-۴): مقادیر حدود زمینه و آنومالی‌های ممکن، احتمالی و قطعی نمونه های ژئوشیمیایی محدوده ۱/۲۵۰۰۰ قهورد

| <i>Qahord</i> | <i>Mg</i> | <i>Mn</i> | <i>Mo</i> | <i>Na</i> | <i>Nb</i> | <i>Ni</i> | <i>P</i> | <i>Pb</i> | <i>Rb</i> |
|---------------|-----------|-----------|-----------|-----------|-----------|-----------|----------|-----------|-----------|
| <i>QA-14</i> | 11050 | 1104 | 1.3 | 13180 | 11.9 | 26 | 604 | 53.5 | 165.8 |
| <i>QA-15</i> | 11240 | 901 | 1.1 | 13300 | 12.0 | 33 | 614 | 36.5 | 140.1 |
| <i>QA-16</i> | 10150 | 815 | 1.1 | 14240 | 12.6 | 33 | 575 | 33.4 | 121.6 |
| <i>QA-17</i> | 11870 | 773 | 1.1 | 13240 | 12.4 | 34 | 509 | 32.7 | 157.1 |
| <i>QA-18</i> | 12320 | 835 | 0.7 | 12610 | 12.3 | 34 | 431 | 36.7 | 158.7 |
| <i>QA-19</i> | 13060 | 848 | 0.7 | 13040 | 12.1 | 18 | 439 | 37.5 | 160.3 |
| <i>QA-20</i> | 12980 | 842 | 0.8 | 9900 | 10.4 | 18 | 431 | 38.4 | 164.7 |
| <i>QA-21</i> | 8250 | 837 | 1.0 | 11280 | 9.7 | 18 | 431 | 40.5 | 169.7 |
| <i>QA-22</i> | 8300 | 878 | 1.1 | 12320 | 9.3 | 17 | 443 | 44.3 | 172.0 |
| <i>QA-23</i> | 7960 | 896 | 1.3 | 14590 | 9.2 | 18 | 430 | 46.5 | 191.7 |
| <i>QA-24</i> | 7670 | 1656 | 1.8 | 23870 | 11.1 | 17 | 516 | 97.8 | 212.0 |
| <i>QA-25</i> | 7680 | 2153 | 2.3 | 23490 | 11.0 | 23 | 554 | 138.7 | 223.5 |
| <i>QA-26</i> | 7320 | 2262 | 2.1 | 23710 | 10.9 | 26 | 574 | 152.3 | 233.6 |

جدول (۴-۴): مقادیر حدود زمینه و آنومالی‌های ممکن، احتمالی و قطعی نمونه های ژئوشیمیایی محدوده ۱/۲۵۰۰۰ قهورد

| <i>Qahord</i> | <i>Mg</i> | <i>Mn</i> | <i>Mo</i> | <i>Na</i> | <i>Nb</i> | <i>Ni</i> | <i>P</i> | <i>Pb</i> | <i>Rb</i> |
|---------------|-----------|-----------|-----------|-----------|-----------|-----------|----------|-----------|-----------|
| <i>QA-27</i> | 8743 | 2201 | 1.9 | 23760 | 10.8 | 29 | 591 | 150.1 | 238.9 |
| <i>QA-28</i> | 9227 | 1929 | 1.7 | 23280 | 10.7 | 30 | 597 | 126.2 | 225.6 |
| <i>QA-29</i> | 10656 | 1228 | 1.3 | 17770 | 11.5 | 30 | 604 | 64.6 | 170.4 |
| <i>QA-30</i> | 10931 | 988 | 1.2 | 14447.78 | 12.0 | 31 | 592 | 45.4 | 153.9 |
| <i>QA-31</i> | 11116 | 1118 | 1.2 | 13510 | 12.3 | 32 | 547 | 53.0 | 150.2 |
| <i>QA-32</i> | 11650 | 1071 | 1.0 | 13306.67 | 12.3 | 31 | 483 | 51.1 | 157.5 |
| <i>QA-33</i> | 12217 | 1097 | 0.9 | 12725.56 | 12.1 | 26 | 456 | 53.5 | 174.3 |
| <i>QA-34</i> | 11758 | 1210 | 1.3 | 12073.33 | 11.5 | 21 | 472 | 64.2 | 191.7 |
| <i>QA-35</i> | 10189 | 1656 | 1.8 | 11474.44 | 10.7 | 19 | 516 | 97.8 | 212.0 |
| <i>QA-36</i> | 8907 | 2153 | 2.3 | 11767.78 | 10.0 | 23 | 554 | 138.7 | 223.5 |
| <i>QA-37</i> | 8200 | 2262 | 2.1 | 13802.22 | 9.8 | 26 | 574 | 152.3 | 233.6 |
| <i>QA-38</i> | 8743 | 2201 | 1.9 | 18206.67 | 10.2 | 29 | 591 | 150.1 | 238.9 |
| <i>QA-39</i> | 9227 | 1929 | 1.7 | 21313.33 | 10.7 | 30 | 597 | 126.2 | 225.6 |

جدول (۴-۴): مقادیر حدود زمینه و آنومالی‌های ممکن، احتمالی و قطعی نمونه های ژئوشیمیایی محدوده ۱/۲۵۰۰۰ قهورد

| <i>Qahord</i> | <i>Mg</i> | <i>Mn</i> | <i>Mo</i> | <i>Na</i> | <i>Nb</i> | <i>Ni</i> | <i>P</i> | <i>Pb</i> | <i>Rb</i> |
|---------------|-----------|-----------|-----------|-----------|-----------|-----------|----------|-----------|-----------|
| <i>QA-40</i> | 10260 | 1547 | 1.5 | 19870 | 11.2 | 29 | 603 | 91.9 | 201.2 |
| <i>QA-41</i> | 10893 | 1196 | 1.3 | 16176.67 | 11.6 | 30 | 611 | 60.8 | 167.5 |
| <i>QA-42</i> | 10813 | 940 | 1.2 | 13573.33 | 12.1 | 30 | 598 | 41.1 | 142.5 |
| <i>QA-43</i> | 11087 | 830 | 1.1 | 13593.33 | 12.3 | 33 | 566 | 34.2 | 139.6 |

| | | | | | | | | | |
|-----------------------|----------|---------|------|----------|-------|-------|--------|--------|--------|
| <i>Median</i> | 10390 | 1196 | 1.3 | 13573.33 | 11.2 | 29 | 566 | 60.8 | 174.3 |
| <i>Std. Deviation</i> | 1622 | 549 | 0.5 | 4423.616 | 1.0 | 6 | 65 | 44.7 | 34.9 |
| <i>X+S</i> | 12012.43 | 1744.91 | 1.78 | 17996.95 | 12.22 | 34.72 | 631.68 | 105.53 | 209.24 |
| <i>X+2S</i> | 13634.87 | 2294.12 | 2.27 | 22420.57 | 13.20 | 40.28 | 697.17 | 150.27 | 244.15 |
| <i>X+3S</i> | 15257.30 | 2843.32 | 2.77 | 26844.18 | 14.18 | 45.83 | 762.66 | 195.02 | 279.06 |
| <i>X+4S</i> | 16879.73 | 3392.52 | 3.26 | 31267.80 | 15.15 | 51.39 | 828.15 | 239.77 | 313.97 |

جدول (۴-۴): مقادیر حدود زمینه و آنومالی‌های ممکن، احتمالی و قطعی نمونه های ژئوشیمیایی محدوده ۱/۲۵۰۰۰ قهورد

| <i>Qahord</i> | <i>S</i> | <i>Sb</i> | <i>Sc</i> | <i>Sn</i> | <i>Sr</i> | <i>Th</i> | <i>Ti</i> | <i>Tl</i> | <i>U</i> |
|---------------|----------|-----------|-----------|-----------|-----------|-----------|-----------|-----------|----------|
| <i>QA-01</i> | 160 | 3.1 | 14 | 2.2 | 151.3 | 8.36 | 4597 | 2.2 | 2.17 |
| <i>QA-02</i> | 140 | 2.9 | 13 | 2.1 | 170.4 | 8.14 | 4903.333 | 2.3 | 2.13 |
| <i>QA-03</i> | 127 | 2.8 | 12 | 1.9 | 171.1 | 8.07 | 5053 | 2.2 | 2.08 |
| <i>QA-04</i> | 123.3333 | 2.7 | 11 | 1.7 | 116.8 | 7.73 | 4946.667 | 1.9 | 2.02 |
| <i>QA-05</i> | 257 | 2.5 | 10 | 1.6 | 111.2 | 7.33 | 4597 | 1.5 | 1.96 |
| <i>QA-06</i> | 426.6667 | 2.2 | 11 | 1.7 | 103.6 | 6.95 | 4196.667 | 1.2 | 1.93 |
| <i>QA-07</i> | 627 | 1.9 | 8 | 1.9 | 90.6 | 7.03 | 3783 | 1.3 | 2.00 |
| <i>QA-08</i> | 690 | 1.6 | 9 | 1.9 | 101.0 | 7.15 | 3523.333 | 1.3 | 2.00 |
| <i>QA-09</i> | 370 | 1.7 | 12 | 2.3 | 107.3 | 9.71 | 4010 | 1.4 | 2.01 |
| <i>QA-10</i> | 90 | 1.3 | 13 | 2.2 | 103.7 | 8.95 | 3250 | 1.9 | 2.35 |
| <i>QA-11</i> | 140 | 1.5 | 15 | 2.2 | 112.3 | 8.96 | 3490 | 1.9 | 2.32 |
| <i>QA-12</i> | 180 | 3.3 | 14 | 2.2 | 117.3 | 8.76 | 4160 | 2.1 | 2.21 |
| <i>QA-13</i> | 170 | 3.2 | 14 | 2.2 | 162.8 | 8.21 | 4560 | 2.3 | 2.15 |

جدول (۴-۴): مقادیر حدود زمینه و آنومالی‌های ممکن، احتمالی و قطعی نمونه های ژئوشیمیایی محدوده ۱/۲۵۰۰۰ قهورد

| <i>Qahord</i> | <i>S</i> | <i>Sb</i> | <i>Sc</i> | <i>Sn</i> | <i>Sr</i> | <i>Th</i> | <i>Ti</i> | <i>Tl</i> | <i>U</i> |
|---------------|----------|-----------|-----------|-----------|-----------|-----------|-----------|-----------|----------|
| <i>QA-14</i> | 130 | 2.9 | 13 | 2.2 | 173.9 | 8.09 | 5070 | 2.3 | 2.15 |
| <i>QA-15</i> | 120 | 2.8 | 11 | 1.9 | 174.4 | 8.10 | 5080 | 2.3 | 2.10 |
| <i>QA-16</i> | 130 | 2.6 | 11 | 1.7 | 164.9 | 8.01 | 5010 | 1.9 | 2.00 |
| <i>QA-17</i> | 120 | 2.6 | 10 | 1.6 | 110.6 | 7.07 | 4750 | 1.5 | 1.96 |
| <i>QA-18</i> | 520 | 2.2 | 9 | 1.6 | 108.7 | 6.89 | 4030 | 1.1 | 1.91 |
| <i>QA-19</i> | 640 | 1.9 | 8 | 1.9 | 108.5 | 6.87 | 3810 | 0.9 | 1.92 |
| <i>QA-20</i> | 720 | 1.6 | 8 | 1.9 | 107.4 | 7.34 | 3510 | 1.3 | 2.01 |
| <i>QA-21</i> | 710 | 1.3 | 8 | 1.9 | 106.7 | 9.53 | 3250 | 1.3 | 2.01 |
| <i>QA-22</i> | 110 | 1.4 | 8 | 1.9 | 109.7 | 9.40 | 3370 | 1.3 | 2.00 |
| <i>QA-23</i> | 110 | 1.4 | 9 | 1.9 | 98.4 | 9.45 | 3370 | 1.3 | 2.01 |
| <i>QA-24</i> | 100 | 1.4 | 9 | 1.9 | 99.6 | 9.49 | 3340 | 1.4 | 2.02 |
| <i>QA-25</i> | 90 | 1.3 | 11 | 2.1 | 104.0 | 9.34 | 3320 | 1.4 | 2.04 |
| <i>QA-26</i> | 100 | 1.4 | 13 | 2.2 | 107.8 | 9.43 | 3400 | 1.7 | 2.23 |

جدول (۴-۴): مقادیر حدود زمینه و آنومالی‌های ممکن، احتمالی و قطعی نمونه های ژئوشیمیایی محدوده ۱/۲۵۰۰۰ قهورد

| <i>Qahord</i> | <i>S</i> | <i>Sb</i> | <i>Sc</i> | <i>Sn</i> | <i>Sr</i> | <i>Th</i> | <i>Ti</i> | <i>Tl</i> | <i>U</i> |
|---------------|----------|-----------|-----------|-----------|-----------|-----------|-----------|-----------|----------|
| <i>QA-27</i> | 90 | 1.3 | 14 | 2.2 | 111.1 | 8.89 | 3440 | 1.9 | 2.29 |
| <i>QA-28</i> | 163.3333 | 2.7 | 14 | 2.2 | 130.8 | 8.65 | 4070 | 2.1 | 2.23 |
| <i>QA-29</i> | 142 | 2.9 | 13 | 2.1 | 164.2 | 8.19 | 4851 | 2.2 | 2.13 |
| <i>QA-30</i> | 130 | 2.8 | 12 | 1.9 | 152.7 | 7.98 | 4968 | 2.1 | 2.08 |
| <i>QA-31</i> | 168.8889 | 2.6 | 11 | 1.8 | 133.0 | 7.71 | 4865.556 | 1.8 | 2.02 |
| <i>QA-32</i> | 269 | 2.5 | 11 | 1.7 | 110.5 | 7.33 | 4580 | 1.5 | 1.97 |
| <i>QA-33</i> | 436.6667 | 2.2 | 10 | 1.7 | 101.8 | 7.10 | 4192.222 | 1.3 | 1.96 |
| <i>QA-34</i> | 581 | 1.9 | 9 | 1.8 | 98.4 | 7.04 | 3834 | 1.2 | 1.98 |
| <i>QA-35</i> | 562.2222 | 1.7 | 10 | 2.0 | 99.6 | 7.96 | 3772.222 | 1.3 | 2.01 |
| <i>QA-36</i> | 383 | 1.6 | 11 | 2.1 | 104.0 | 8.60 | 3594 | 1.5 | 2.12 |
| <i>QA-37</i> | 200 | 1.5 | 13 | 2.2 | 107.8 | 9.21 | 3583.333 | 1.7 | 2.23 |
| <i>QA-38</i> | 137 | 2.1 | 14 | 2.2 | 111.1 | 8.89 | 3633 | 1.9 | 2.29 |
| <i>QA-39</i> | 163.3333 | 2.7 | 14 | 2.2 | 130.8 | 8.65 | 4070 | 2.1 | 2.23 |

جدول (۴-۴): مقادیر حدود زمینه و آنومالی‌های ممکن، احتمالی و قطعی نمونه های ژئوشیمیایی محدوده ۱/۲۵۰۰۰ قهورد

| <i>Qahord</i> | <i>S</i> | <i>Sb</i> | <i>Sc</i> | <i>Sn</i> | <i>Sr</i> | <i>Th</i> | <i>Ti</i> | <i>Tl</i> | <i>U</i> |
|---------------|----------|-----------|-----------|-----------|-----------|-----------|-----------|-----------|----------|
| <i>QA-40</i> | 160 | 3.1 | 14 | 2.2 | 151.3 | 8.36 | 4597 | 2.2 | 2.17 |
| <i>QA-41</i> | 140 | 2.9 | 13 | 2.1 | 170.4 | 8.14 | 4903.333 | 2.3 | 2.13 |
| <i>QA-42</i> | 127 | 2.8 | 12 | 1.9 | 171.1 | 8.07 | 5053 | 2.2 | 2.08 |
| <i>QA-43</i> | 123.3333 | 2.7 | 11 | 1.7 | 149.9 | 7.73 | 4946.667 | 1.9 | 2.02 |

| | | | | | | | | | |
|-----------------------|----------|------|-------|------|--------|-------|----------|------|------|
| <i>Median</i> | 160 | 2.2 | 11 | 1.9 | 111.1 | 8.14 | 4070 | 1.8 | 2.04 |
| <i>Std. Deviation</i> | 201.7259 | 0.6 | 2 | 0.2 | 27.2 | 0.85 | 643.2652 | 0.4 | 0.12 |
| <i>X+S</i> | 361.73 | 2.88 | 13.26 | 2.13 | 138.31 | 8.98 | 4713.27 | 2.26 | 2.16 |
| <i>X+2S</i> | 563.45 | 3.52 | 15.26 | 2.34 | 165.49 | 9.83 | 5356.53 | 2.67 | 2.27 |
| <i>X+3S</i> | 765.18 | 4.16 | 17.27 | 2.55 | 192.68 | 10.67 | 5999.80 | 3.08 | 2.39 |
| <i>X+4S</i> | 966.90 | 4.81 | 19.27 | 2.75 | 219.86 | 11.52 | 6643.06 | 3.49 | 2.50 |

جدول (۴-۴): مقادیر حدود زمینه و آنومالی‌های ممکن، احتمالی و قطعی نمونه های ژئوشیمیایی محدوده ۱/۲۵۰۰۰ قهورد

| <i>Qahord</i> | <i>V</i> | <i>W</i> | <i>Y</i> | <i>Zn</i> | <i>Zr</i> |
|---------------|----------|----------|----------|-----------|-----------|
| <i>QA-01</i> | 77 | 0.9 | 17.40 | 380.9 | 150 |
| <i>QA-02</i> | 73 | 0.9 | 16.42 | 339.5 | 143 |
| <i>QA-03</i> | 68 | 0.8 | 15.80 | 268.0 | 123 |
| <i>QA-04</i> | 64 | 0.7 | 19.54 | 193.0 | 107 |
| <i>QA-05</i> | 60 | 0.7 | 15.01 | 139.2 | 90 |
| <i>QA-06</i> | 63 | 0.8 | 15.89 | 112.0 | 80 |
| <i>QA-07</i> | 44 | 0.8 | 17.63 | 248.0 | 140 |
| <i>QA-08</i> | 50 | 0.7 | 18.75 | 114.7 | 60 |
| <i>QA-09</i> | 65 | 0.8 | 20.34 | 130.4 | 70 |
| <i>QA-10</i> | 72 | 0.8 | 20.64 | 277.5 | 130 |
| <i>QA-11</i> | 81 | 0.7 | 20.24 | 328.8 | 140 |
| <i>QA-12</i> | 80 | 0.9 | 18.56 | 396.3 | 150 |
| <i>QA-13</i> | 78 | 0.9 | 17.38 | 395.3 | 160 |

جدول (۴-۴): مقادیر حدود زمینه و آنومالی‌های ممکن، احتمالی و قطعی نمونه های ژئوشیمیایی محدوده ۱/۲۵۰۰۰ قهورد

| <i>Qahord</i> | <i>V</i> | <i>W</i> | <i>Y</i> | <i>Zn</i> | <i>Zr</i> |
|---------------|----------|----------|----------|-----------|-----------|
| <i>QA-14</i> | 74 | 0.9 | 16.26 | 351.3 | 140 |
| <i>QA-15</i> | 67 | 0.9 | 15.63 | 272.0 | 130 |
| <i>QA-16</i> | 65 | 0.6 | 15.51 | 180.9 | 100 |
| <i>QA-17</i> | 61 | 0.7 | 15.29 | 126.0 | 90 |
| <i>QA-18</i> | 55 | 0.7 | 15.41 | 110.8 | 80 |
| <i>QA-19</i> | 46 | 0.8 | 15.55 | 99.3 | 70 |
| <i>QA-20</i> | 47 | 0.7 | 15.78 | 117.7 | 60 |
| <i>QA-21</i> | 46 | 0.8 | 16.53 | 120.6 | 70 |
| <i>QA-22</i> | 45 | 0.9 | 17.22 | 121.2 | 60 |
| <i>QA-23</i> | 47 | 1.0 | 17.42 | 123.7 | 70 |
| <i>QA-24</i> | 46 | 1.1 | 18.90 | 131.0 | 80 |
| <i>QA-25</i> | 62 | 0.8 | 19.91 | 134.0 | 90 |
| <i>QA-26</i> | 72 | 0.7 | 20.40 | 245.6 | 113 |

جدول (۴-۴): مقادیر حدود زمینه و آنومالی‌های ممکن، احتمالی و قطعی نمونه های ژئوشیمیایی محدوده ۱/۲۵۰۰۰ قهورد

| <i>Qahord</i> | <i>V</i> | <i>W</i> | <i>Y</i> | <i>Zn</i> | <i>Zr</i> |
|---------------|----------|----------|----------|-----------|-----------|
| <i>QA-27</i> | 77 | 0.8 | 19.81 | 334.2 | 140 |
| <i>QA-28</i> | 80 | 0.8 | 18.73 | 373.4 | 150 |
| <i>QA-29</i> | 73 | 0.9 | 16.54 | 329.5 | 139 |
| <i>QA-30</i> | 68 | 0.8 | 17.25 | 266.8 | 124 |
| <i>QA-31</i> | 64 | 0.7 | 16.78 | 200.1 | 107 |
| <i>QA-32</i> | 62 | 0.7 | 16.81 | 148.1 | 92 |
| <i>QA-33</i> | 56 | 0.7 | 16.18 | 166.4 | 103 |
| <i>QA-34</i> | 52 | 0.8 | 17.42 | 158.3 | 93 |
| <i>QA-35</i> | 53 | 0.8 | 18.90 | 164.4 | 90 |
| <i>QA-36</i> | 62 | 0.8 | 19.91 | 174.2 | 87 |
| <i>QA-37</i> | 72 | 0.7 | 20.40 | 245.6 | 113 |
| <i>QA-38</i> | 77 | 0.8 | 19.81 | 334.2 | 140 |
| <i>QA-39</i> | 80 | 0.8 | 18.73 | 373.4 | 150 |

جدول (۴-۴): مقادیر حدود زمینه و آنومالی‌های ممکن، احتمالی و قطعی نمونه های ژئوشیمیایی محدوده ۱/۲۵۰۰۰ قهورد

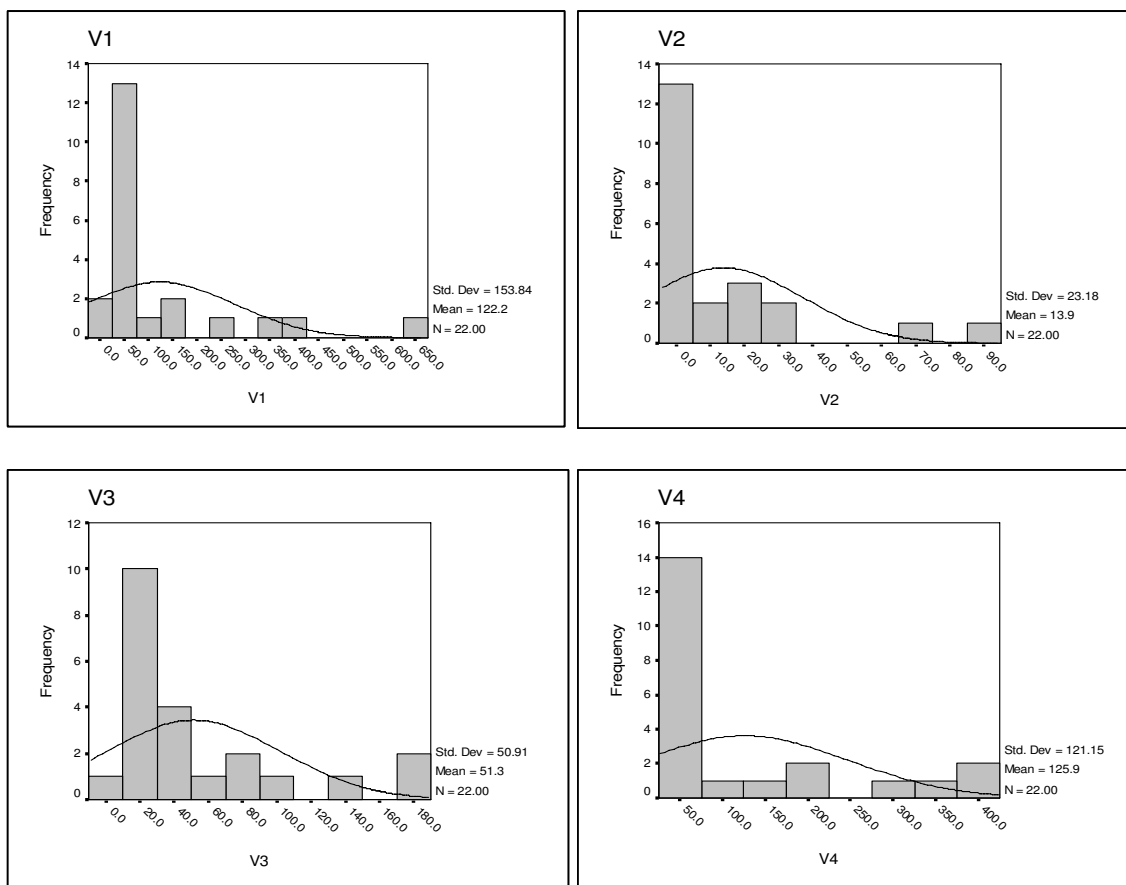
| <i>Qahord</i> | <i>V</i> | <i>W</i> | <i>Y</i> | <i>Zn</i> | <i>Zr</i> |
|---------------|----------|----------|----------|-----------|-----------|
| <i>QA-40</i> | 77 | 0.9 | 17.40 | 380.9 | 150 |
| <i>QA-41</i> | 73 | 0.9 | 16.42 | 339.5 | 143 |
| <i>QA-42</i> | 68 | 0.8 | 15.80 | 268.0 | 123 |
| <i>QA-43</i> | 64 | 0.7 | 15.48 | 193.0 | 107 |

| | | | | | |
|-----------------------|--------|------|-------|--------|--------|
| <i>Median</i> | 65 | 0.8 | 17.38 | 200.1 | 107 |
| <i>Std. Deviation</i> | 11 | 0.1 | 1.75 | 99.3 | 30 |
| <i>X+S</i> | 76.09 | 0.86 | 19.13 | 299.40 | 137.12 |
| <i>X+2S</i> | 87.48 | 0.96 | 20.88 | 398.72 | 167.57 |
| <i>X+3S</i> | 98.88 | 1.05 | 22.63 | 498.04 | 198.03 |
| <i>X+4S</i> | 110.28 | 1.15 | 24.38 | 597.36 | 228.48 |

جدول (۳-۵): گروه‌های متغیر کانی‌سنگین محدوده ۱:۲۵۰۰۰ قهورد

Statistics

| | | V1 | V2 | V3 | V4 |
|-------------------------------|---------|----------|--------|---------|----------|
| N | Valid | 22 | 22 | 22 | 22 |
| | Missing | 0 | 0 | 0 | 0 |
| Mean | | 122.18 | 13.89 | 51.30 | 125.85 |
| Std. Error of Mean | | 32.80 | 4.94 | 10.85 | 25.83 |
| Median | | 55.79 | 2.42 | 28.65 | 57.52 |
| Mode | | 19.65 | 0.03 | 9.84 | 29.72 |
| Std. Deviation | | 153.84 | 23.18 | 50.91 | 121.15 |
| Variance | | 23666.11 | 537.24 | 2591.90 | 14677.85 |
| Skewness | | 2.25 | 2.42 | 1.61 | 1.44 |
| Std. Error of Skewness | | 0.49 | 0.49 | 0.49 | 0.49 |
| Kurtosis | | 4.98 | 5.70 | 1.62 | 0.71 |
| Std. Error of Kurtosis | | 0.95 | 0.95 | 0.95 | 0.95 |
| Minimum | | 19.65 | 0.03 | 9.84 | 29.72 |
| Maximum | | 627.64 | 88.69 | 178.99 | 412.47 |
| Sum | | 2687.92 | 305.62 | 1128.63 | 2768.72 |



جدول (۵-۵): گروه‌های متغیر کانی سنگین محدوده ۱۰۰۰۰-۲۵۰۰ قهورد

| FIELD NO. | V1 | V2 | V3 | V4 |
|-----------|--------|-------|--------|--------|
| QA-01 | 135.95 | 1.02 | 31.13 | 52.74 |
| QA-02 | 53.21 | 1.91 | 31.15 | 47.64 |
| QA-03 | 45.69 | 0.96 | 14.33 | 166.18 |
| QA-05 | 33.66 | 9.04 | 178.99 | 286.04 |
| QA-09 | 27.20 | 1.59 | 26.59 | 56.66 |
| QA-10 | 49.64 | 24.39 | 20.79 | 56.30 |
| QA-12 | 251.43 | 25.31 | 18.24 | 37.40 |
| QA-14 | 62.23 | 0.36 | 15.76 | 58.38 |
| QA-16 | 58.38 | 17.27 | 30.71 | 55.87 |
| QA-18 | 39.01 | 17.46 | 82.09 | 29.72 |
| QA-20 | 39.67 | 1.90 | 36.86 | 412.47 |
| QA-24 | 22.29 | 1.91 | 25.28 | 343.41 |
| QA-25 | 19.65 | 0.96 | 17.57 | 54.94 |
| QA-29 | 107.00 | 70.28 | 19.47 | 379.01 |
| QA-30 | 627.64 | 4.68 | 17.65 | 191.66 |
| QA-32 | 145.11 | 0.03 | 9.84 | 75.18 |
| QA-33 | 367.32 | 88.69 | 64.44 | 61.25 |
| QA-36 | 386.38 | 2.94 | 171.97 | 48.06 |
| QA-37 | 72.81 | 0.03 | 16.54 | 51.75 |
| QA-38 | 49.43 | 26.18 | 132.81 | 184.19 |
| QA-42 | 60.30 | 0.33 | 92.31 | 64.04 |
| QA-43 | 33.93 | 8.40 | 74.10 | 55.83 |

| | | | | |
|----------------|--------|-------|--------|--------|
| Median | 55.79 | 2.42 | 28.65 | 57.52 |
| Std. Deviation | 153.84 | 23.18 | 50.91 | 121.15 |
| X+S | 209.63 | 25.60 | 79.56 | 178.67 |
| X+2S | 363.47 | 48.78 | 130.47 | 299.82 |
| X+3S | 517.30 | 71.96 | 181.38 | 420.98 |
| X+4S | 671.14 | 95.14 | 232.29 | 542.13 |

جدول (۴-۵): خصوصیات آماری عناصر مربوط به نمونه‌های ژئوشیمیایی برداشتی از محدوده ۱۲۵۰۰۰ قهورد

| Statistics | | | | | | | |
|-------------------------------|----------------|-----------|-------------|-----------|-----------|-----------|-----------|
| | | AG | AL | AS | AU | BA | BE |
| <i>N</i> | <i>Valid</i> | 43 | 43 | 43 | 39 | 43 | 43 |
| | <i>Missing</i> | 2 | 2 | 2 | 6 | 2 | 2 |
| <i>Mean</i> | | 0.46 | 79233.31 | 27.64 | 2.46 | 661.98 | 1.78 |
| <i>Std. Error of Mean</i> | | 0.01 | 1259.83 | 2.44 | 0.16 | 14.17 | 0.04 |
| <i>Median</i> | | 0.48 | 78790.00 | 25.19 | 2.21 | 660.09 | 1.72 |
| <i>Mode</i> | | 0.40 | 66436.67 | 20.04 | 2.25 | 716.38 | 2.08 |
| <i>Std. Deviation</i> | | 0.08 | 8261.25 | 15.99 | 0.98 | 92.94 | 0.26 |
| <i>Variance</i> | | 0.01 | 68248305.14 | 255.70 | 0.96 | 8637.09 | 0.07 |
| <i>Skewness</i> | | 0.11 | -0.10 | 0.40 | 1.65 | -0.55 | -0.06 |
| <i>Std. Error of Skewness</i> | | 0.36 | 0.36 | 0.36 | 0.38 | 0.36 | 0.36 |
| <i>Kurtosis</i> | | -1.34 | -1.21 | -1.06 | 2.03 | -0.70 | -1.54 |
| <i>Std. Error of Kurtosis</i> | | 0.71 | 0.71 | 0.71 | 0.74 | 0.71 | 0.71 |
| <i>Minimum</i> | | 0.35 | 64900.00 | 7.44 | 1.17 | 471.56 | 1.34 |
| <i>Maximum</i> | | 0.60 | 91350.00 | 58.33 | 5.25 | 793.38 | 2.13 |
| <i>Sum</i> | | 19.92 | 3407032.22 | 1188.56 | 96.09 | 28465.04 | 76.50 |

جدول (۴-۵): خصوصیات آماری عناصر مربوط به نمونه‌های ژئوشیمیایی برداشتی از محدوده ۱۲۵۰۰۰ قهورد

| Statistics | | | | | | | |
|-------------------------------|----------------|-----------|--------------|-----------|-----------|-----------|-----------|
| | | <i>BI</i> | <i>CA</i> | <i>CD</i> | <i>CE</i> | <i>CO</i> | <i>CR</i> |
| <i>N</i> | <i>Valid</i> | 43 | 43 | 43 | 43 | 43 | 43 |
| | <i>Missing</i> | 2 | 2 | 2 | 2 | 2 | 2 |
| <i>Mean</i> | | 0.37 | 31058.24 | 0.45 | 50.62 | 9.13 | 23.22 |
| <i>Std. Error of Mean</i> | | 0.02 | 3366.24 | 0.04 | 0.58 | 0.25 | 0.82 |
| <i>Median</i> | | 0.39 | 18630.00 | 0.34 | 50.27 | 9.78 | 23.60 |
| <i>Mode</i> | | 0.29 | 14720.00 | 0.25 | 51.06 | 8.74 | 15.50 |
| <i>Std. Deviation</i> | | 0.13 | 22073.92 | 0.29 | 3.79 | 1.65 | 5.40 |
| <i>Variance</i> | | 0.02 | 487257791.67 | 0.08 | 14.39 | 2.71 | 29.17 |
| <i>Skewness</i> | | 0.07 | 1.15 | 0.53 | 0.09 | -0.67 | -0.11 |
| <i>Std. Error of Skewness</i> | | 0.36 | 0.36 | 0.36 | 0.36 | 0.36 | 0.36 |
| <i>Kurtosis</i> | | -0.38 | -0.14 | -1.21 | -1.48 | -0.92 | -1.55 |
| <i>Std. Error of Kurtosis</i> | | 0.71 | 0.71 | 0.71 | 0.71 | 0.71 | 0.71 |
| <i>Minimum</i> | | 0.15 | 13610.00 | 0.10 | 44.73 | 6.06 | 14.38 |
| <i>Maximum</i> | | 0.69 | 81060.00 | 1.01 | 56.84 | 11.31 | 31.75 |
| <i>Sum</i> | | 15.78 | 1335504.44 | 19.46 | 2176.67 | 392.51 | 998.65 |

جدول (۴-۵): خصوصیات آماری عناصر مربوط به نمونه‌های ژئوشیمیایی برداشتی از محدوده ۱۲۵۰۰۰ قهورد

| Statistics | | | | | | | |
|------------------------|---------|--------|---------|-------------|-------------|---------|--------|
| | | CS | CU | FE | K | LA | LI |
| N | Valid | 43 | 43 | 43 | 43 | 43 | 43 |
| | Missing | 2 | 2 | 2 | 2 | 2 | 2 |
| Mean | | 4.48 | 33.37 | 28568.73 | 37577.05 | 25.83 | 21.01 |
| Std. Error of Mean | | 0.10 | 1.27 | 649.87 | 898.17 | 0.27 | 0.49 |
| Median | | 4.68 | 31.28 | 28400.00 | 37260.00 | 26.13 | 22.81 |
| Mode | | 3.59 | 26.94 | 22200.00 | 28580.00 | 26.13 | 18.75 |
| Std. Deviation | | 0.63 | 8.32 | 4261.46 | 5889.69 | 1.79 | 3.19 |
| Variance | | 0.39 | 69.21 | 18160036.78 | 34688494.29 | 3.21 | 10.17 |
| Skewness | | -0.44 | 0.34 | 0.02 | -0.08 | -0.15 | -0.71 |
| Std. Error of Skewness | | 0.36 | 0.36 | 0.36 | 0.36 | 0.36 | 0.36 |
| Kurtosis | | -1.28 | -1.26 | -1.15 | -1.14 | -1.20 | -1.04 |
| Std. Error of Kurtosis | | 0.71 | 0.71 | 0.71 | 0.71 | 0.71 | 0.71 |
| Minimum | | 3.19 | 21.88 | 21200.00 | 26290.00 | 23.00 | 14.73 |
| Maximum | | 5.24 | 48.65 | 35700.00 | 46250.00 | 28.88 | 24.94 |
| Sum | | 192.85 | 1435.12 | 1228455.56 | 1615813.33 | 1110.85 | 903.49 |

جدول (۴-۵): خصوصیات آماری عناصر مربوط به نمونه‌های ژئوشیمیایی برداشتی از محدوده ۱۲۵۰۰۰ قهورد

| Statistics | | | | | | | |
|------------------------|---------|------------|-----------|-------|-------------|--------|---------|
| | | MG | MN | MO | NA | NB | NI |
| N | Valid | 43 | 43 | 43 | 43 | 43 | 43 |
| | Missing | 2 | 2 | 2 | 2 | 2 | 2 |
| Mean | | 10199.28 | 1404.71 | 1.43 | 15668.48 | 11.21 | 26.74 |
| Std. Error of Mean | | 247.42 | 83.75 | 0.07 | 674.60 | 0.15 | 0.85 |
| Median | | 10390.00 | 1195.71 | 1.29 | 13573.33 | 11.24 | 29.17 |
| Mode | | 8743.33 | 829.60 | 2.13 | 13573.33 | 11.56 | 17.78 |
| Std. Deviation | | 1622.43 | 549.20 | 0.49 | 4423.62 | 0.98 | 5.56 |
| Variance | | 2632290.53 | 301624.46 | 0.24 | 19568377.49 | 0.96 | 30.87 |
| Skewness | | -0.11 | 0.45 | 0.51 | 0.94 | -0.42 | -0.60 |
| Std. Error of Skewness | | 0.36 | 0.36 | 0.36 | 0.36 | 0.36 | 0.36 |
| Kurtosis | | -1.02 | -1.39 | -0.81 | -0.60 | -0.91 | -1.04 |
| Std. Error of Kurtosis | | 0.71 | 0.71 | 0.71 | 0.71 | 0.71 | 0.71 |
| Minimum | | 7320.00 | 772.63 | 0.71 | 9900.00 | 9.19 | 16.38 |
| Maximum | | 13060.00 | 2397.50 | 2.43 | 24380.00 | 12.55 | 33.75 |
| Sum | | 438568.89 | 60402.37 | 61.43 | 673744.44 | 482.16 | 1149.63 |

جدول (۴-۵): خصوصیات آماری عناصر مربوط به نمونه‌های ژئوشیمیایی برداشتی از محدوده ۱۲۵۰۰۰ قهورد

| Statistics | | | | | | |
|-------------------------------|----------------|-----------|-----------|----------|-----------|-----------|
| | <i>P</i> | <i>PB</i> | <i>RB</i> | <i>S</i> | <i>SB</i> | <i>SC</i> |
| <i>N</i> | <i>Valid</i> | 43 | 43 | 43 | 43 | 43 |
| | <i>Missing</i> | 2 | 2 | 2 | 2 | 2 |
| <i>Mean</i> | 541.81 | 80.77 | 187.23 | 257.60 | 2.22 | 11.30 |
| <i>Std. Error of Mean</i> | 9.99 | 6.82 | 5.32 | 30.76 | 0.10 | 0.31 |
| <i>Median</i> | 566.19 | 60.78 | 174.33 | 160.00 | 2.23 | 11.25 |
| <i>Mode</i> | 515.83 | 34.19 | 142.49 | 90.00 | 2.63 | 11.25 |
| <i>Std. Deviation</i> | 65.49 | 44.75 | 34.91 | 201.73 | 0.64 | 2.01 |
| <i>Variance</i> | 4288.90 | 2002.34 | 1218.68 | 40693.35 | 0.42 | 4.02 |
| <i>Skewness</i> | -0.69 | 0.56 | 0.12 | 1.25 | -0.07 | -0.10 |
| <i>Std. Error of Skewness</i> | 0.36 | 0.36 | 0.36 | 0.36 | 0.36 | 0.36 |
| <i>Kurtosis</i> | -1.00 | -1.29 | -1.33 | 0.05 | -1.49 | -1.15 |
| <i>Std. Error of Kurtosis</i> | 0.71 | 0.71 | 0.71 | 0.71 | 0.71 | 0.71 |
| <i>Minimum</i> | 408.00 | 32.68 | 121.60 | 90.00 | 1.31 | 7.75 |
| <i>Maximum</i> | 614.50 | 163.88 | 241.00 | 720.00 | 3.30 | 14.50 |
| <i>Sum</i> | 23297.77 | 3472.96 | 8050.74 | 11076.67 | 95.39 | 486.10 |

جدول (۴-۵): خصوصیات آماری عناصر مربوط به نمونه‌های ژئوشیمیایی برداشتی از محدوده ۱۲۵۰۰۰ قهورد

| Statistics | | | | | | | |
|------------------------|---------|-------|---------|--------|-----------|-------|-------|
| | | SN | SR | TH | TI | TL | U |
| N | Valid | 43 | 43 | 43 | 43 | 43 | 43 |
| | Missing | 2 | 2 | 2 | 2 | 2 | 2 |
| Mean | | 1.98 | 125.41 | 8.21 | 4170.57 | 1.73 | 2.08 |
| Std. Error of Mean | | 0.03 | 4.15 | 0.13 | 98.10 | 0.06 | 0.02 |
| Median | | 1.92 | 111.13 | 8.14 | 4070.00 | 1.85 | 2.04 |
| Mode | | 1.73 | 98.39 | 7.73 | 4596.67 | 1.30 | 2.02 |
| Std. Deviation | | 0.21 | 27.18 | 0.85 | 643.27 | 0.41 | 0.12 |
| Variance | | 0.04 | 738.95 | 0.71 | 413790.09 | 0.17 | 0.01 |
| Skewness | | -0.22 | 0.75 | 0.06 | 0.06 | -0.05 | 0.61 |
| Std. Error of Skewness | | 0.36 | 0.36 | 0.36 | 0.36 | 0.36 | 0.36 |
| Kurtosis | | -1.28 | -1.09 | -1.07 | -1.57 | -1.43 | -0.59 |
| Std. Error of Kurtosis | | 0.71 | 0.71 | 0.71 | 0.71 | 0.71 | 0.71 |
| Minimum | | 1.59 | 90.60 | 6.87 | 3250.00 | 0.94 | 1.91 |
| Maximum | | 2.25 | 174.41 | 9.71 | 5080.00 | 2.33 | 2.35 |
| Sum | | 85.14 | 5392.68 | 352.82 | 179334.44 | 74.35 | 89.58 |

جدول (۴-۵): خصوصیات آماری عناصر مربوط به نمونه‌های ژئوشیمیایی برداشتی از محدوده ۱۲۵۰۰۰ قهورد

| Statistics | | | | | |
|------------------------|---------|-------|--------|---------|---------|
| | V | W | Y | ZN | ZR |
| N | Valid | 43 | 43 | 43 | 43 |
| | Missing | 2 | 2 | 2 | 2 |
| Mean | 64.33 | 0.79 | 17.58 | 230.41 | 110.44 |
| Std. Error of Mean | 1.74 | 0.01 | 0.27 | 15.15 | 4.64 |
| Median | 64.69 | 0.77 | 17.38 | 200.08 | 106.67 |
| Mode | 62.25 | 0.75 | 15.80 | 192.96 | 140.00 |
| Std. Deviation | 11.40 | 0.09 | 1.75 | 99.32 | 30.45 |
| Variance | 129.92 | 0.01 | 3.07 | 9864.55 | 927.40 |
| Skewness | -0.37 | 1.02 | 0.34 | 0.29 | -0.10 |
| Std. Error of Skewness | 0.36 | 0.36 | 0.36 | 0.36 | 0.36 |
| Kurtosis | -1.02 | 2.08 | -1.26 | -1.44 | -1.33 |
| Std. Error of Kurtosis | 0.71 | 0.71 | 0.71 | 0.71 | 0.71 |
| Minimum | 43.75 | 0.61 | 15.01 | 99.28 | 60.00 |
| Maximum | 80.75 | 1.12 | 20.64 | 396.25 | 160.00 |
| Sum | 2766.39 | 34.06 | 755.76 | 9907.43 | 4748.89 |

جدول (۶-۵): نتایج حاصل از مطالعات نمونه‌های کانی سنگین محدوده ۱:۲۵۰۰۰ قهورد

جدول (۶-۵): نتایج حاصل از مطالعات نمونه‌های کانی سنگین محدوده ۱:۲۵۰۰۰ قهورد

جدول (۶-۵): نتایج حاصل از مطالعات نمونه‌های کانی سنگین محدوده ۱:۲۵۰۰۰ قهورد

| <i>FIELD NO.</i> | <i>QA-1</i> | <i>QA-2</i> | <i>QA-3</i> | <i>QA-5</i> | <i>QA-9</i> | <i>QA-10</i> | <i>QA-12</i> | <i>QA-14</i> |
|------------------------|-------------|-------------|-------------|-------------|-------------|--------------|--------------|--------------|
| <i>Magnetite</i> | 1.73 | 0.01 | 0.01 | 0.01 | 0.01 | 0.96 | 2.22 | 0.01 |
| <i>Malachite</i> | 0.00 | 0.00 | 0.00 | 0.00 | 0.00 | 0.00 | 0.00 | 0.00 |
| <i>Martite</i> | 0.00 | 0.00 | 0.00 | 0.00 | 0.00 | 0.00 | 22.79 | 0.00 |
| <i>Mimetite</i> | 0.00 | 0.00 | 0.00 | 0.00 | 0.00 | 0.00 | 0.00 | 0.00 |
| <i>Monazite</i> | 0.00 | 0.00 | 0.00 | 0.00 | 0.00 | 0.00 | 0.00 | 0.00 |
| <i>Native copper</i> | 0.00 | 0.00 | 0.00 | 0.00 | 0.00 | 0.00 | 0.00 | 0.00 |
| <i>Native lead</i> | 0.00 | 0.00 | 0.00 | 0.00 | 0.00 | 0.00 | 0.00 | 0.00 |
| <i>Oligiste</i> | 0.07 | 0.14 | 0.14 | 0.01 | 1.06 | 1.62 | 1.71 | 2.59 |
| <i>Olivine</i> | 0.05 | 0.09 | 0.00 | 0.18 | 0.06 | 0.00 | 0.00 | 0.00 |
| <i>Orpiment</i> | 0.00 | 0.00 | 0.00 | 0.00 | 0.00 | 0.00 | 0.00 | 0.00 |
| <i>Pyrite</i> | 0.00 | 0.00 | 0.00 | 0.01 | 0.00 | 0.00 | 0.00 | 0.00 |
| <i>Pyrite Limonite</i> | 0.00 | 0.00 | 0.00 | 0.00 | 0.00 | 0.00 | 0.00 | 0.00 |
| <i>Pyrite oxide</i> | 23.90 | 23.79 | 10.50 | 158.54 | 19.30 | 13.55 | 11.08 | 8.52 |
| <i>Pyrolusite</i> | 0.88 | 1.77 | 1.48 | 25.51 | 2.07 | 2.97 | 3.57 | 3.48 |
| <i>Pyromorphite</i> | 0.00 | 0.00 | 0.00 | 0.00 | 0.00 | 0.00 | 0.00 | 0.00 |
| <i>Pyroxenes</i> | 7.14 | 7.09 | 3.58 | 20.38 | 6.16 | 5.59 | 5.38 | 4.48 |

جدول (۶-۵): نتایج حاصل از مطالعات نمونه‌های کانی سنگین محدوده ۱:۲۵۰۰۰ قهورد

| <i>FIELD NO.</i> | <i>QA-1</i> | <i>QA-2</i> | <i>QA-3</i> | <i>QA-5</i> | <i>QA-9</i> | <i>QA-10</i> | <i>QA-12</i> | <i>QA-14</i> |
|--------------------|-------------|-------------|-------------|-------------|-------------|--------------|--------------|--------------|
| <i>Rutile</i> | 0.17 | 0.29 | 0.15 | 0.02 | 0.25 | 0.20 | 0.11 | 0.06 |
| <i>Scheelite</i> | 0.00 | 0.00 | 0.00 | 0.00 | 0.00 | 0.00 | 0.00 | 0.00 |
| <i>Sillimanite</i> | 0.01 | 0.03 | 0.02 | 0.01 | 0.02 | 0.02 | 0.01 | 0.01 |
| <i>Sphalerite</i> | 0.00 | 0.00 | 0.00 | 0.01 | 0.00 | 0.00 | 0.00 | 0.00 |
| <i>Sphene</i> | 0.01 | 0.01 | 0.01 | 0.01 | 0.01 | 0.01 | 0.01 | 0.01 |
| <i>Spinel</i> | 0.00 | 0.00 | 0.00 | 0.00 | 0.00 | 0.00 | 0.00 | 0.00 |
| <i>Staurolite</i> | 0.00 | 0.00 | 0.00 | 0.00 | 0.00 | 0.00 | 0.00 | 0.00 |
| <i>Zircon</i> | 0.83 | 1.60 | 0.80 | 9.01 | 1.34 | 1.07 | 0.55 | 0.28 |

جدول (۶-۵): نتایج حاصل از مطالعات نمونه‌های کانی سنگین محدوده ۱:۲۵۰۰۰ قهورد

جدول (۶-۵): نتایج حاصل از مطالعات نمونه‌های کانی سنگین محدوده ۱:۲۵۰۰۰ قهورد

جدول (۶-۵): نتایج حاصل از مطالعات نمونه‌های کانی سنگین محدوده ۱:۲۵۰۰۰ قهورد

| FIELD NO. | QA-16 | QA-18 | QA-20 | QA-24 | QA-25 | QA-29 | QA-30 | QA-32 |
|------------------------|-------|-------|-------|-------|-------|-------|-------|-------|
| <i>Magnetite</i> | 0.01 | 0.01 | 0.01 | 0.01 | 0.01 | 2.85 | 3.80 | 44.20 |
| <i>Malachite</i> | 0.00 | 0.00 | 0.00 | 0.00 | 0.00 | 0.00 | 0.00 | 0.00 |
| <i>Martite</i> | 0.00 | 0.00 | 0.00 | 0.00 | 0.00 | 0.00 | 68.38 | 0.00 |
| <i>Mimetite</i> | 0.00 | 0.00 | 0.00 | 0.00 | 0.00 | 0.00 | 0.00 | 0.00 |
| <i>Monazite</i> | 0.00 | 0.00 | 0.00 | 0.00 | 0.00 | 0.00 | 0.00 | 0.00 |
| <i>Native copper</i> | 0.00 | 0.00 | 0.00 | 0.00 | 0.00 | 0.00 | 0.01 | 0.00 |
| <i>Native lead</i> | 0.00 | 0.00 | 0.00 | 0.00 | 0.00 | 0.00 | 0.00 | 0.00 |
| <i>Oligiste</i> | 2.03 | 1.85 | 0.00 | 0.28 | 2.91 | 1.66 | 0.55 | 5.55 |
| <i>Olivine</i> | 0.00 | 0.00 | 0.18 | 0.00 | 0.00 | 0.00 | 0.00 | 0.00 |
| <i>Orpiment</i> | 0.00 | 0.00 | 0.00 | 0.00 | 0.00 | 0.00 | 0.00 | 0.00 |
| <i>Pyrite</i> | 0.00 | 0.00 | 0.00 | 0.00 | 0.00 | 0.00 | 0.00 | 0.00 |
| <i>Pyrite Limonite</i> | 0.00 | 0.00 | 0.00 | 0.00 | 0.00 | 0.00 | 0.00 | 0.00 |
| <i>Pyrite oxide</i> | 20.92 | 61.39 | 29.58 | 18.00 | 10.33 | 12.31 | 10.59 | 2.67 |
| <i>Pyrolusite</i> | 2.39 | 0.81 | 0.58 | 2.95 | 2.68 | 3.27 | 4.76 | 2.40 |
| <i>Pyromorphite</i> | 0.00 | 0.00 | 0.00 | 0.00 | 0.00 | 0.00 | 0.00 | 0.00 |
| <i>Pyroxenes</i> | 7.60 | 18.68 | 7.19 | 6.99 | 4.29 | 5.48 | 6.35 | 1.60 |

جدول (۵-۶): نتایج حاصل از مطالعات نمونه‌های کانی سنگین محدوده ۱:۲۵۰۰۰ قهورد

| <i>FIELD NO.</i> | <i>QA-16</i> | <i>QA-18</i> | <i>QA-20</i> | <i>QA-24</i> | <i>QA-25</i> | <i>QA-29</i> | <i>QA-30</i> | <i>QA-32</i> |
|--------------------|--------------|--------------|--------------|--------------|--------------|--------------|--------------|--------------|
| <i>Rutile</i> | 0.74 | 0.83 | 0.29 | 0.29 | 0.15 | 0.16 | 0.02 | 0.01 |
| <i>Scheelite</i> | 0.00 | 0.00 | 0.00 | 0.00 | 0.00 | 0.00 | 0.00 | 0.00 |
| <i>Sillimanite</i> | 0.00 | 0.00 | 0.03 | 0.02 | 0.02 | 0.01 | 0.00 | 0.01 |
| <i>Sphalerite</i> | 0.00 | 0.00 | 0.01 | 0.00 | 0.00 | 0.00 | 0.00 | 0.00 |
| <i>Sphene</i> | 0.01 | 0.09 | 0.01 | 0.01 | 0.01 | 0.01 | 0.01 | 0.01 |
| <i>Spinel</i> | 0.00 | 0.00 | 0.00 | 0.00 | 0.00 | 0.00 | 0.00 | 0.00 |
| <i>Staurolite</i> | 0.00 | 0.00 | 0.00 | 0.00 | 0.00 | 0.00 | 0.00 | 0.00 |
| <i>Zircon</i> | 16.51 | 16.61 | 1.60 | 1.60 | 0.81 | 0.81 | 0.03 | 0.01 |

جدول (۵-۶): نتایج حاصل از مطالعات نمونه‌های کانی سنگین محدوده ۱:۲۵۰۰۰ قهورد

| <i>FIELD NO.</i> | <i>QA-33</i> | <i>QA-36</i> | <i>QA-37</i> | <i>QA-38</i> | <i>QA-42</i> | <i>QA-43</i> |
|---------------------------|--------------|--------------|--------------|--------------|--------------|--------------|
| <i>Total Volume cc A</i> | 7200 | 8400 | 8300 | 7800 | 7500 | 4000 |
| <i>Panned Volume cc B</i> | 9 | 9 | 8 | 10 | 9 | 7 |
| <i>Study Volume cc C</i> | 9 | 9 | 8 | 10 | 9 | 7 |
| <i>Heavy Volume cc Y</i> | 1 | 1 | 1 | 3 | 0 | 2 |
| <i>Altered minerals</i> | 38.77 | 27.10 | 21.93 | 164.46 | 23.74 | 20.43 |
| <i>Amphiboles</i> | 4.61 | 2.02 | 0.99 | 3.39 | 1.70 | 1.62 |
| <i>Anatase</i> | 0.01 | 0.01 | 0.01 | 0.01 | 0.01 | 0.01 |
| <i>Andalusite</i> | 0.01 | 0.02 | 0.02 | 0.21 | 0.02 | 0.02 |
| <i>Apatite</i> | 0.34 | 0.64 | 0.32 | 0.01 | 0.54 | 0.43 |
| <i>Azorite</i> | 0.00 | 0.00 | 0.00 | 0.00 | 0.00 | 0.00 |
| <i>Barite</i> | 0.67 | 1.28 | 0.65 | 0.02 | 1.07 | 0.86 |
| <i>Biotite</i> | 2.35 | 4.69 | 2.79 | 0.17 | 4.05 | 3.90 |
| <i>Brookite</i> | 0.00 | 0.00 | 0.00 | 0.00 | 0.00 | 0.00 |
| <i>Ca,Carbonate</i> | 0.21 | 0.39 | 0.20 | 0.01 | 0.33 | 0.26 |
| <i>Cassiterite</i> | 0.00 | 0.00 | 0.00 | 0.00 | 0.00 | 0.00 |
| <i>Cerussite</i> | 0.00 | 0.00 | 0.00 | 0.00 | 0.00 | 0.00 |
| <i>Chalcopyrite</i> | 0.00 | 0.00 | 0.00 | 0.00 | 0.00 | 0.00 |

جدول (۵-۶): نتایج حاصل از مطالعات نمونه‌های کانی سنگین محدوده ۱:۲۵۰۰۰ قهورد

| FIELD NO. | QA-33 | QA-36 | QA-37 | QA-38 | QA-42 | QA-43 |
|-----------------------|--------|--------|-------|-------|-------|-------|
| <i>Chlorite</i> | 0.00 | 0.00 | 0.00 | 0.00 | 0.00 | 0.00 |
| <i>Chromite</i> | 0.00 | 0.00 | 0.00 | 0.00 | 0.00 | 0.00 |
| <i>Cinnabar</i> | 0.00 | 0.00 | 0.00 | 0.00 | 0.00 | 0.00 |
| <i>Corundum</i> | 0.00 | 0.00 | 0.00 | 0.00 | 0.00 | 0.00 |
| <i>Dioptaz</i> | 0.00 | 0.00 | 0.00 | 0.00 | 0.00 | 0.00 |
| <i>Epidotes</i> | 0.00 | 22.40 | 0.27 | 0.27 | 0.54 | 0.23 |
| <i>Flourite</i> | 0.00 | 0.00 | 0.00 | 0.00 | 0.00 | 0.00 |
| <i>Galena</i> | 0.01 | 0.00 | 0.01 | 0.01 | 0.00 | 0.00 |
| <i>Garnets</i> | 2.65 | 6.91 | 13.25 | 5.25 | 10.51 | 6.92 |
| <i>Gold</i> | 0.00 | 0.00 | 0.00 | 0.00 | 0.00 | 0.00 |
| <i>Hematite</i> | 329.80 | 305.78 | 71.95 | 48.81 | 59.75 | 33.69 |
| <i>Ilmenite</i> | 11.63 | 5.01 | 10.86 | 10.86 | 21.73 | 11.45 |
| <i>Kyanite</i> | 0.00 | 0.00 | 0.00 | 0.00 | 0.00 | 0.00 |
| <i>Leucoxene</i> | 0.00 | 0.00 | 0.04 | 0.00 | 0.01 | 0.01 |
| <i>Light minerals</i> | 0.07 | 0.08 | 4.10 | 14.49 | 0.15 | 0.07 |
| <i>Limonite</i> | 36.96 | 2.31 | 0.00 | 0.00 | 0.00 | 7.35 |
| <i>Litharge</i> | 0.00 | 0.00 | 0.00 | 0.00 | 0.00 | 0.00 |

جدول (۵-۶): نتایج حاصل از مطالعات نمونه‌های کانی سنگین محدوده ۱:۲۵۰۰۰ قهورد

| <i>FIELD NO.</i> | <i>QA-33</i> | <i>QA-36</i> | <i>QA-37</i> | <i>QA-38</i> | <i>QA-42</i> | <i>QA-43</i> |
|------------------------|--------------|--------------|--------------|--------------|--------------|--------------|
| <i>Magnetite</i> | 3.32 | 24.00 | 0.58 | 0.35 | 0.01 | 0.01 |
| <i>Malachite</i> | 0.00 | 0.00 | 0.00 | 0.00 | 0.00 | 0.00 |
| <i>Martite</i> | 34.19 | 34.19 | 0.00 | 0.00 | 0.00 | 0.00 |
| <i>Mimetite</i> | 0.00 | 0.00 | 0.00 | 0.00 | 0.00 | 0.00 |
| <i>Monazite</i> | 0.00 | 0.00 | 0.00 | 0.00 | 0.00 | 0.00 |
| <i>Native copper</i> | 0.01 | 0.01 | 0.00 | 0.00 | 0.00 | 0.00 |
| <i>Native lead</i> | 0.00 | 0.00 | 0.00 | 0.00 | 0.00 | 0.00 |
| <i>Oligiste</i> | 0.00 | 0.00 | 1.11 | 0.00 | 0.55 | 10.47 |
| <i>Olivine</i> | 0.00 | 0.00 | 0.70 | 0.00 | 0.35 | 0.05 |
| <i>Orpiment</i> | 0.00 | 0.00 | 0.00 | 0.00 | 0.00 | 0.00 |
| <i>Pyrite</i> | 0.00 | 0.01 | 0.00 | 0.01 | 0.01 | 0.06 |
| <i>Pyrite Limonite</i> | 0.00 | 0.00 | 0.00 | 0.00 | 0.00 | 0.00 |
| <i>Pyrite oxide</i> | 49.50 | 132.00 | 10.67 | 90.75 | 71.33 | 41.90 |
| <i>Pyrolusite</i> | 0.01 | 0.01 | 0.01 | 0.01 | 0.01 | 9.88 |
| <i>Pyromorphite</i> | 0.00 | 0.00 | 0.00 | 0.00 | 0.00 | 0.00 |
| <i>Pyroxenes</i> | 14.85 | 39.60 | 0.64 | 27.23 | 20.12 | 21.54 |

جدول (۵-۶): نتایج حاصل از مطالعات نمونه‌های کانی سنگین محدوده ۱:۲۵۰۰۰ قهورد

| <i>FIELD NO.</i> | <i>QA-33</i> | <i>QA-36</i> | <i>QA-37</i> | <i>QA-38</i> | <i>QA-42</i> | <i>QA-43</i> |
|--------------------|--------------|--------------|--------------|--------------|--------------|--------------|
| <i>Rutile</i> | 2.20 | 0.29 | 0.01 | 1.25 | 0.15 | 0.19 |
| <i>Scheelite</i> | 0.00 | 0.00 | 0.00 | 0.00 | 0.00 | 0.00 |
| <i>Sillimanite</i> | 0.00 | 0.00 | 0.01 | 0.00 | 0.01 | 0.01 |
| <i>Sphalerite</i> | 0.00 | 0.00 | 0.00 | 0.00 | 0.00 | 0.00 |
| <i>Sphene</i> | 0.01 | 0.26 | 0.01 | 0.13 | 0.13 | 0.04 |
| <i>Spinel</i> | 0.00 | 0.00 | 0.00 | 0.00 | 0.00 | 0.00 |
| <i>Staurolite</i> | 0.01 | 0.00 | 0.00 | 0.01 | 0.00 | 0.00 |
| <i>Zircon</i> | 49.50 | 0.33 | 0.01 | 24.92 | 0.17 | 0.85 |

نتایج آنالیز نمونه‌های برداشتی از محدوده ۱:۲۵۰۰ قهورد

| <i>Qahord</i> | <i>Ag</i> | <i>Al</i> | <i>As</i> | <i>Au</i> | <i>B</i> | <i>Ba</i> | <i>Be</i> | <i>Bi</i> | <i>Ca</i> |
|------------------|-------------|-------------|-------------|-------------|-------------|-------------|-------------|-------------|-------------|
| <i>UNITS</i> | <i>ppm</i> | <i>ppm</i> | <i>ppm</i> | <i>ppb</i> | <i>ppm</i> | <i>ppm</i> | <i>ppm</i> | <i>ppm</i> | <i>ppm</i> |
| <i>DETECTION</i> | <i>0.01</i> | <i>10</i> | <i>0.5</i> | <i>1</i> | <i>0.5</i> | <i>0.2</i> | <i>0.2</i> | <i>0.1</i> | <i>10</i> |
| <i>METHOD</i> | <i>IC3E</i> | <i>IC3E</i> | <i>IC3E</i> | <i>PM01</i> | <i>IC3E</i> | <i>IC3E</i> | <i>IC3E</i> | <i>IC3E</i> | <i>IC3E</i> |
| <i>QA-01</i> | 0.43 | 72836 | 20.6 | 2 | 0.0 | 747.3 | 2.1 | 0.4 | 49448 |
| <i>QA-02</i> | 0.48 | 76610 | 17.5 | 2 | 0.0 | 707.6 | 2.0 | 0.3 | 65484 |
| <i>QA-03</i> | 0.51 | 79333 | 13.3 | 2 | 0.0 | 650.4 | 1.8 | 0.2 | 63531 |
| <i>QA-04</i> | 0.53 | 82847 | 11.0 | 2 | 0.0 | 582.0 | 1.7 | 0.2 | 44587 |
| <i>QA-05</i> | 0.56 | 87377 | 24.8 | 4 | 0.0 | 526.0 | 1.5 | 0.2 | 24923 |
| <i>QA-06</i> | 0.58 | 90070 | 39.4 | 5 | 0.0 | 548.1 | 1.5 | 0.3 | 16947 |
| <i>QA-07</i> | 0.56 | 90693 | 54.8 | 5 | 0.0 | 592.9 | 1.5 | 0.4 | 18887 |
| <i>QA-08</i> | 0.51 | 88837 | 50.5 | 3 | 0.0 | 641.1 | 1.6 | 0.4 | 17677 |
| <i>QA-09</i> | 0.44 | 82360 | 44.1 | 2 | 0.0 | 675.4 | 1.7 | 0.5 | 16187 |
| <i>QA-10</i> | 0.40 | 75410 | 36.8 | 2 | 0.0 | 716.4 | 1.9 | 0.5 | 14753 |
| <i>QA-11</i> | 0.40 | 75410 | 36.8 | 2 | 0.0 | 716.4 | 1.9 | 0.4 | 14753 |
| <i>QA-12</i> | 0.48 | 68753 | 29.7 | 2 | 0.0 | 771.0 | 2.1 | 0.4 | 14720 |

نتایج آنالیز نمونه‌های برداشتی از محدوده ۱:۲۵۰۰ قهورد

| <i>Qahord</i> | <i>Ag</i> | <i>Al</i> | <i>As</i> | <i>Au</i> | <i>B</i> | <i>Ba</i> | <i>Be</i> | <i>Bi</i> | <i>Ca</i> |
|---------------|-----------|-----------|-----------|-----------|----------|-----------|-----------|-----------|-----------|
| <i>QA-13</i> | 0.36 | 66437 | 25.8 | 2 | 0.0 | 771.3 | 2.1 | 0.4 | 29510 |
| <i>QA-14</i> | 0.42 | 75030 | 20.0 | 2 | 0.0 | 753.7 | 2.1 | 0.3 | 48390 |
| <i>QA-15</i> | 0.51 | 77040 | 15.8 | 2 | 0.0 | 716.7 | 2.0 | 0.3 | 70443 |
| <i>QA-16</i> | 0.50 | 77760 | 16.7 | 2 | 0.0 | 652.5 | 1.9 | 0.2 | 77620 |
| <i>QA-17</i> | 0.53 | 83200 | 7.4 | 3 | 0.0 | 581.9 | 1.7 | 0.2 | 42530 |
| <i>QA-18</i> | 0.56 | 87580 | 8.8 | 1 | 0.0 | 511.6 | 1.5 | 0.2 | 13610 |
| <i>QA-19</i> | 0.60 | 91350 | 58.3 | 8 | 0.0 | 484.5 | 1.4 | 0.2 | 18630 |
| <i>QA-20</i> | 0.59 | 91280 | 51.3 | 5 | 0.0 | 648.2 | 1.6 | 0.4 | 18600 |
| <i>QA-21</i> | 0.49 | 89450 | 54.9 | 2 | 0.0 | 645.9 | 1.5 | 0.6 | 19430 |
| <i>QA-22</i> | 0.44 | 85780 | 45.5 | 2 | 0.0 | 629.4 | 1.6 | 0.4 | 15000 |
| <i>QA-23</i> | 0.40 | 71850 | 32.0 | 2 | 0.0 | 751.0 | 2.0 | 0.4 | 14130 |
| <i>QA-24</i> | 0.35 | 68600 | 33.0 | 2 | 0.0 | 768.8 | 2.1 | 0.5 | 15130 |
| <i>QA-25</i> | 0.39 | 65810 | 24.2 | 2 | 0.0 | 793.4 | 2.1 | 0.4 | 14900 |
| <i>QA-26</i> | 0.39 | 64900 | 20.4 | 2 | 0.0 | 751.9 | 2.1 | 0.4 | 58500 |
| <i>QA-27</i> | 0.38 | 77410 | 15.6 | 2 | 0.0 | 715.9 | 2.0 | 0.3 | 71770 |

نتایج آنالیز نمونه‌های برداشتی از محدوده ۱:۲۵۰۰ قهورد

| <i>Qahord</i> | <i>Ag</i> | <i>Al</i> | <i>As</i> | <i>Au</i> | <i>B</i> | <i>Ba</i> | <i>Be</i> | <i>Bi</i> | <i>Ca</i> |
|---------------|-----------|-----------|-----------|-----------|----------|-----------|-----------|-----------|-----------|
| <i>QA-28</i> | 0.36 | 77330 | 11.4 | 2 | 0.0 | 682.4 | 1.9 | 0.2 | 81060 |
| <i>QA-29</i> | 0.36 | 77830 | 7.9 | 2 | 0.0 | 559.3 | 1.6 | 0.2 | 80030 |
| <i>QA-30</i> | 0.35 | 78790 | 8.0 | 3 | 0.0 | 504.0 | 1.4 | 0.2 | 15380 |
| <i>QA-31</i> | 0.48 | 80240 | 7.7 | 7 | 0.0 | 471.6 | 1.4 | 0.2 | 15810 |
| <i>QA-32</i> | 0.51 | 81810 | 7.6 | 7 | 0.0 | 478.0 | 1.3 | 0.4 | 14600 |
| <i>QA-33</i> | 0.53 | 82847 | 8.1 | 6 | 0.0 | 638.8 | 1.6 | 0.6 | 13880 |
| <i>QA-34</i> | 0.56 | 87377 | 8.4 | 5 | 0.0 | 636.5 | 1.6 | 0.7 | 14680 |
| <i>QA-35</i> | 0.58 | 90070 | 39.4 | 4 | 0.0 | 641.8 | 1.6 | 0.5 | 14070 |
| <i>QA-36</i> | 0.56 | 90693 | 54.8 | 3 | 0.0 | 651.8 | 1.6 | 0.5 | 18887 |
| <i>QA-37</i> | 0.51 | 88837 | 50.5 | 3 | 0.0 | 660.1 | 1.7 | 0.5 | 17677 |
| <i>QA-38</i> | 0.44 | 82360 | 44.1 | 2 | 0.0 | 675.4 | 1.7 | 0.4 | 16187 |
| <i>QA-39</i> | 0.41 | 70200 | 30.8 | 2 | 0.0 | 752.9 | 2.0 | 0.4 | 19661 |
| <i>QA-40</i> | 0.42 | 70073 | 25.2 | 2 | 0.0 | 765.4 | 2.1 | 0.4 | 30873 |
| <i>QA-41</i> | 0.38 | 68753 | 29.7 | 2 | 0.0 | 771.0 | 2.1 | 0.5 | 14720 |
| <i>QA-42</i> | 0.37 | 66437 | 25.8 | 2 | 0.0 | 771.3 | 2.1 | 0.4 | 29510 |

نتایج آنالیز نمونه‌های برداشتی از محدوده ۱:۲۵۰۰۰ قهورد

| <i>Qahord</i> | <i>Ag</i> | <i>Al</i> | <i>As</i> | <i>Au</i> | <i>B</i> | <i>Ba</i> | <i>Be</i> | <i>Bi</i> | <i>Ca</i> |
|---------------|-----------|-----------|-----------|-----------|----------|-----------|-----------|-----------|-----------|
| <i>QA-43</i> | 0.38 | 69373 | 20.0 | 2 | 0.0 | 753.7 | 2.1 | 0.3 | 48390 |
| <i>QA-50</i> | 0.70 | 100599 | 44.9 | 3 | 0.0 | 546.4 | 1.7 | 0.3 | 5513 |
| <i>QA-51</i> | 0.45 | 67490 | 23.4 | 2 | 0.0 | 719.3 | 2.2 | 0.2 | 11456 |
| <i>QA-52</i> | 0.41 | 62769 | 28.7 | 3 | 0.0 | 525.1 | 2.0 | 0.2 | 16635 |
| <i>QA-53</i> | 0.36 | 64431 | 7.3 | 3 | 0.0 | 586.3 | 1.6 | 0.1 | 182565 |
| <i>QA-54</i> | 0.45 | 68773 | 7.5 | 5 | 0.0 | 528.3 | 1.8 | 0.6 | 46345 |
| <i>QA-55</i> | 0.27 | 54647 | 27.1 | 0 | 0.0 | 574.8 | 2.0 | 0.6 | 63860 |

نتایج آنالیز نمونه‌های برداشتی از محدوده ۱:۲۵۰۰ قهورد

| <i>Qahord</i> | <i>Cd</i> | <i>Ce</i> | <i>Co</i> | <i>Cr</i> | <i>Cs</i> | <i>Cu</i> | <i>Fe</i> | <i>Hg</i> | <i>K</i> |
|------------------|-------------|-------------|-------------|-------------|-------------|-------------|-------------|-------------|-------------|
| <i>UNITS</i> | <i>ppm</i> |
| <i>DETECTION</i> | <i>0.1</i> | <i>0.5</i> | <i>0.2</i> | <i>2</i> | <i>0.1</i> | <i>0.2</i> | <i>100</i> | <i>0.05</i> | <i>10</i> |
| <i>METHOD</i> | <i>IC3E</i> |
| <i>QA-01</i> | 0.2 | 46.3 | 10.9 | 26 | 4.4 | 27.1 | 24533 | 0.02 | 36820 |
| <i>QA-02</i> | 0.2 | 46.1 | 10.7 | 28 | 3.9 | 29.9 | 24867 | 0.01 | 39083 |
| <i>QA-03</i> | 0.3 | 46.8 | 10.4 | 28 | 3.6 | 37.6 | 28567 | 0.00 | 42070 |
| <i>QA-04</i> | 0.6 | 48.1 | 10.1 | 29 | 3.6 | 46.0 | 32467 | 0.00 | 44137 |
| <i>QA-05</i> | 0.8 | 50.3 | 9.8 | 29 | 4.1 | 45.9 | 34300 | 0.00 | 45543 |
| <i>QA-06</i> | 0.9 | 52.7 | 9.6 | 29 | 4.6 | 44.2 | 34867 | 0.00 | 45810 |
| <i>QA-07</i> | 0.9 | 55.3 | 8.3 | 24 | 4.9 | 39.8 | 33567 | 0.00 | 42677 |
| <i>QA-08</i> | 0.7 | 55.8 | 7.5 | 19 | 5.1 | 35.2 | 31400 | 0.00 | 37830 |
| <i>QA-09</i> | 0.5 | 55.5 | 7.4 | 16 | 5.2 | 31.3 | 29233 | 0.01 | 32060 |
| <i>QA-10</i> | 0.7 | 55.8 | 6.4 | 20 | 5.1 | 35.2 | 31400 | 0.00 | 37830 |
| <i>QA-11</i> | 0.5 | 55.5 | 6.3 | 21 | 5.2 | 31.3 | 29233 | 0.01 | 32060 |
| <i>QA-12</i> | 0.3 | 54.0 | 8.7 | 17 | 5.2 | 28.5 | 27400 | 0.02 | 28580 |

نتایج آنالیز نمونه‌های برداشتی از محدوده ۱:۲۵۰۰ قهورد

| <i>Qahord</i> | <i>Cd</i> | <i>Ce</i> | <i>Co</i> | <i>Cr</i> | <i>Cs</i> | <i>Cu</i> | <i>Fe</i> | <i>Hg</i> | <i>K</i> |
|---------------|-----------|-----------|-----------|-----------|-----------|-----------|-----------|-----------|----------|
| <i>QA-13</i> | 0.2 | 51.1 | 10.2 | 19 | 5.0 | 26.9 | 26100 | 0.00 | 31170 |
| <i>QA-14</i> | 0.2 | 48.2 | 10.8 | 24 | 4.8 | 36.0 | 28400 | 0.04 | 35240 |
| <i>QA-15</i> | 0.3 | 45.8 | 11.1 | 27 | 4.4 | 21.9 | 21200 | 0.02 | 35290 |
| <i>QA-16</i> | 0.1 | 45.1 | 10.7 | 28 | 4.1 | 23.5 | 24000 | 0.00 | 39930 |
| <i>QA-17</i> | 0.2 | 47.5 | 10.3 | 29 | 3.2 | 44.3 | 29400 | 0.00 | 42030 |
| <i>QA-18</i> | 0.7 | 47.8 | 10.0 | 28 | 3.5 | 45.2 | 32300 | 0.00 | 44250 |
| <i>QA-19</i> | 0.8 | 49.0 | 9.8 | 30 | 4.1 | 48.7 | 35700 | 0.00 | 46130 |
| <i>QA-20</i> | 1.0 | 54.0 | 9.5 | 29 | 4.8 | 43.8 | 34900 | 0.00 | 46250 |
| <i>QA-21</i> | 0.9 | 55.1 | 9.3 | 27 | 4.8 | 40.2 | 34000 | 0.00 | 45050 |
| <i>QA-22</i> | 0.7 | 56.8 | 6.1 | 14 | 5.1 | 35.3 | 31800 | 0.00 | 36730 |
| <i>QA-23</i> | 0.5 | 55.6 | 7.0 | 16 | 5.2 | 30.0 | 28400 | 0.01 | 31710 |
| <i>QA-24</i> | 0.3 | 54.1 | 9.1 | 16 | 5.1 | 28.6 | 27500 | 0.02 | 27740 |
| <i>QA-25</i> | 0.2 | 52.3 | 10.2 | 19 | 5.2 | 26.9 | 26300 | 0.03 | 26290 |
| <i>QA-26</i> | 0.2 | 46.7 | 11.3 | 23 | 4.7 | 25.4 | 24500 | 0.03 | 34900 |
| <i>QA-27</i> | 0.2 | 45.5 | 11.1 | 30 | 4.5 | 22.5 | 22100 | 0.03 | 34980 |

نتایج آنالیز نمونه‌های برداشتی از محدوده ۱:۲۵۰۰ قهورد

| <i>Qahord</i> | <i>Cd</i> | <i>Ce</i> | <i>Co</i> | <i>Cr</i> | <i>Cs</i> | <i>Cu</i> | <i>Fe</i> | <i>Hg</i> | <i>K</i> |
|---------------|-----------|-----------|-----------|-----------|-----------|-----------|-----------|-----------|----------|
| <i>QA-28</i> | 0.1 | 45.1 | 11.0 | 29 | 4.1 | 22.7 | 22400 | 0.02 | 35400 |
| <i>QA-29</i> | 0.1 | 44.7 | 10.1 | 25 | 3.8 | 22.6 | 22200 | 0.02 | 36460 |
| <i>QA-30</i> | 0.1 | 48.4 | 9.9 | 32 | 3.6 | 22.7 | 22200 | 0.01 | 37260 |
| <i>QA-31</i> | 0.1 | 48.4 | 10.0 | 27 | 3.7 | 23.6 | 23100 | 0.01 | 37970 |
| <i>QA-32</i> | 0.2 | 48.2 | 9.6 | 30 | 3.6 | 24.3 | 23400 | 0.01 | 39083 |
| <i>QA-33</i> | 0.2 | 47.8 | 8.9 | 31 | 3.7 | 37.6 | 28567 | 0.00 | 42070 |
| <i>QA-34</i> | 0.6 | 48.1 | 6.4 | 16 | 3.8 | 46.0 | 32467 | 0.00 | 44137 |
| <i>QA-35</i> | 0.8 | 48.2 | 6.5 | 16 | 3.7 | 45.9 | 34300 | 0.00 | 45543 |
| <i>QA-36</i> | 0.9 | 52.7 | 6.4 | 17 | 4.6 | 44.2 | 34867 | 0.00 | 45810 |
| <i>QA-37</i> | 0.9 | 55.3 | 6.2 | 18 | 4.9 | 39.8 | 33567 | 0.00 | 42677 |
| <i>QA-38</i> | 0.5 | 55.1 | 7.1 | 19 | 5.1 | 31.6 | 29344 | 0.01 | 32823 |
| <i>QA-39</i> | 0.4 | 53.5 | 8.4 | 19 | 5.1 | 28.9 | 27578 | 0.01 | 30603 |
| <i>QA-40</i> | 0.3 | 51.1 | 9.9 | 20 | 5.0 | 30.5 | 27300 | 0.02 | 31663 |
| <i>QA-41</i> | 0.3 | 48.3 | 10.7 | 23 | 4.7 | 28.3 | 25233 | 0.02 | 33900 |
| <i>QA-42</i> | 0.3 | 54.0 | 8.7 | 17 | 5.2 | 28.5 | 27400 | 0.02 | 28580 |

نتایج آنالیز نمونه‌های برداشتی از محدوده ۱:۲۵۰۰۰ قهورد

| <i>Qahord</i> | <i>Cd</i> | <i>Ce</i> | <i>Co</i> | <i>Cr</i> | <i>Cs</i> | <i>Cu</i> | <i>Fe</i> | <i>Hg</i> | <i>K</i> |
|---------------|-----------|-----------|-----------|-----------|-----------|-----------|-----------|-----------|----------|
| <i>QA-43</i> | 0.2 | 51.1 | 10.2 | 19 | 5.0 | 26.9 | 26100 | 0.03 | 29643 |
| <i>QA-50</i> | 0.8 | 313.6 | 7.8 | 21 | 4.7 | 35.2 | 33399 | 0.00 | 43285 |
| <i>QA-51</i> | 0.3 | 85.8 | 10.5 | 18 | 4.8 | 27.5 | 31071 | 0.00 | 41437 |
| <i>QA-52</i> | 0.3 | 734.5 | 9.0 | 16 | 4.9 | 28.1 | 36516 | 0.02 | 39008 |
| <i>QA-53</i> | 0.2 | 485.4 | 10.1 | 23 | 3.1 | 23.9 | 30372 | 0.02 | 50845 |
| <i>QA-54</i> | 0.6 | 11.6 | 6.4 | 16 | 4.1 | 45.7 | 40694 | 0.00 | 54274 |
| <i>QA-55</i> | 0.2 | 146.7 | 11.1 | 22 | 3.9 | 26.8 | 28727 | 0.02 | 35512 |

نتایج آنالیز نمونه‌های برداشتی از محدوده ۱:۲۵۰۰ قهورد

| <i>Qahord</i> | <i>La</i> | <i>Li</i> | <i>Mg</i> | <i>Mn</i> | <i>Mo</i> | <i>Na</i> | <i>Nb</i> | <i>Ni</i> | <i>P</i> |
|------------------|-------------|-------------|-------------|-------------|-------------|-------------|-------------|-------------|-------------|
| <i>UNITS</i> | <i>ppm</i> |
| <i>DETECTION</i> | <i>10</i> | <i>0.5</i> | <i>10</i> | <i>2</i> | <i>0.1</i> | <i>10</i> | <i>0.5</i> | <i>2</i> | <i>5</i> |
| <i>METHOD</i> | <i>IC3E</i> |
| <i>QA-01</i> | 27 | 22.8 | 10260 | 1547 | 1.5 | 23560 | 10.7 | 29 | 603 |
| <i>QA-02</i> | 26 | 24.1 | 10893 | 1196 | 1.3 | 16176.67 | 11.6 | 30 | 611 |
| <i>QA-03</i> | 24 | 24.2 | 10813 | 940 | 1.2 | 13573.33 | 12.1 | 30 | 598 |
| <i>QA-04</i> | 23 | 23.8 | 11087 | 830 | 1.1 | 13593.33 | 12.3 | 33 | 566 |
| <i>QA-05</i> | 23 | 23.1 | 11447 | 1583 | 1.2 | 13363.33 | 12.4 | 33 | 476 |
| <i>QA-06</i> | 24 | 23.1 | 12417 | 800 | 0.7 | 12963.33 | 12.3 | 27 | 408 |
| <i>QA-07</i> | 26 | 22.7 | 12787 | 909 | 0.7 | 11850 | 11.6 | 16 | 484 |
| <i>QA-08</i> | 26 | 20.3 | 10070 | 1923 | 2.4 | 11406.67 | 10.7 | 20 | 525 |
| <i>QA-09</i> | 27 | 14.7 | 7710 | 2138 | 2.4 | 11166.67 | 9.8 | 22 | 539 |
| <i>QA-10</i> | 28 | 16.8 | 8940 | 2398 | 2.1 | 12730 | 9.4 | 26 | 597 |
| <i>QA-11</i> | 29 | 18.4 | 7950 | 2250 | 1.9 | 17510 | 10.3 | 29 | 585 |
| <i>QA-12</i> | 28 | 21.1 | 9340 | 1955 | 1.7 | 24380 | 11.0 | 31 | 590 |

نتایج آنالیز نمونه‌های برداشتی از محدوده ۱:۲۵۰۰ قهورد

| <i>Qahord</i> | <i>La</i> | <i>Li</i> | <i>Mg</i> | <i>Mn</i> | <i>Mo</i> | <i>Na</i> | <i>Nb</i> | <i>Ni</i> | <i>P</i> |
|---------------|-----------|-----------|-----------|-----------|-----------|-----------|-----------|-----------|----------|
| <i>QA-13</i> | 27 | 23.0 | 10390 | 1583 | 1.4 | 22050 | 10.8 | 31 | 615 |
| <i>QA-14</i> | 26 | 24.4 | 11050 | 1104 | 1.3 | 13180 | 11.9 | 26 | 604 |
| <i>QA-15</i> | 24 | 24.9 | 11240 | 901 | 1.1 | 13300 | 12.0 | 33 | 614 |
| <i>QA-16</i> | 23 | 23.3 | 10150 | 815 | 1.1 | 14240 | 12.6 | 33 | 575 |
| <i>QA-17</i> | 23 | 23.0 | 11870 | 773 | 1.1 | 13240 | 12.4 | 34 | 509 |
| <i>QA-18</i> | 23 | 23.0 | 12320 | 835 | 0.7 | 12610 | 12.3 | 34 | 431 |
| <i>QA-19</i> | 26 | 23.3 | 13060 | 848 | 0.7 | 13040 | 12.1 | 18 | 439 |
| <i>QA-20</i> | 26 | 21.8 | 12980 | 842 | 0.8 | 9900 | 10.4 | 18 | 431 |
| <i>QA-21</i> | 26 | 15.4 | 8250 | 837 | 1.0 | 11280 | 9.7 | 18 | 431 |
| <i>QA-22</i> | 26 | 15.6 | 8300 | 878 | 1.1 | 12320 | 9.3 | 17 | 443 |
| <i>QA-23</i> | 26 | 15.6 | 7960 | 896 | 1.3 | 14590 | 9.2 | 18 | 430 |
| <i>QA-24</i> | 26 | 15.7 | 7670 | 1656 | 1.8 | 23870 | 11.1 | 17 | 516 |
| <i>QA-25</i> | 27 | 16.4 | 7680 | 2153 | 2.3 | 23490 | 11.0 | 23 | 554 |
| <i>QA-26</i> | 28 | 16.5 | 7320 | 2262 | 2.1 | 23710 | 10.9 | 26 | 574 |
| <i>QA-27</i> | 28 | 18.8 | 8743 | 2201 | 1.9 | 23760 | 10.8 | 29 | 591 |

نتایج آنالیز نمونه‌های برداشتی از محدوده ۱:۲۵۰۰ قهورد

| <i>Qahord</i> | <i>La</i> | <i>Li</i> | <i>Mg</i> | <i>Mn</i> | <i>Mo</i> | <i>Na</i> | <i>Nb</i> | <i>Ni</i> | <i>P</i> |
|---------------|-----------|-----------|-----------|-----------|-----------|-----------|-----------|-----------|----------|
| <i>QA-28</i> | 28 | 20.8 | 9227 | 1929 | 1.7 | 23280 | 10.7 | 30 | 597 |
| <i>QA-29</i> | 26 | 23.7 | 10656 | 1228 | 1.3 | 17770 | 11.5 | 30 | 604 |
| <i>QA-30</i> | 24 | 24.0 | 10931 | 988 | 1.2 | 14447.78 | 12.0 | 31 | 592 |
| <i>QA-31</i> | 24 | 23.7 | 11116 | 1118 | 1.2 | 13510 | 12.3 | 32 | 547 |
| <i>QA-32</i> | 23 | 23.3 | 11650 | 1071 | 1.0 | 13306.67 | 12.3 | 31 | 483 |
| <i>QA-33</i> | 24 | 22.9 | 12217 | 1097 | 0.9 | 12725.56 | 12.1 | 26 | 456 |
| <i>QA-34</i> | 25 | 22.0 | 11758 | 1210 | 1.3 | 12073.33 | 11.5 | 21 | 472 |
| <i>QA-35</i> | 26 | 19.2 | 10189 | 1656 | 1.8 | 11474.44 | 10.7 | 19 | 516 |
| <i>QA-36</i> | 27 | 17.3 | 8907 | 2153 | 2.3 | 11767.78 | 10.0 | 23 | 554 |
| <i>QA-37</i> | 28 | 16.6 | 8200 | 2262 | 2.1 | 13802.22 | 9.8 | 26 | 574 |
| <i>QA-38</i> | 28 | 18.8 | 8743 | 2201 | 1.9 | 18206.67 | 10.2 | 29 | 591 |
| <i>QA-39</i> | 28 | 20.8 | 9227 | 1929 | 1.7 | 21313.33 | 10.7 | 30 | 597 |
| <i>QA-40</i> | 27 | 22.8 | 10260 | 1547 | 1.5 | 19870 | 11.2 | 29 | 603 |
| <i>QA-41</i> | 26 | 24.1 | 10893 | 1196 | 1.3 | 16176.67 | 11.6 | 30 | 611 |
| <i>QA-42</i> | 24 | 24.2 | 10813 | 940 | 1.2 | 13573.33 | 12.1 | 30 | 598 |

نتایج آنالیز نمونه‌های برداشتی از محدوده ۱:۲۵۰۰ قهورد

| <i>Qahord</i> | <i>La</i> | <i>Li</i> | <i>Mg</i> | <i>Mn</i> | <i>Mo</i> | <i>Na</i> | <i>Nb</i> | <i>Ni</i> | <i>P</i> |
|---------------|-----------|-----------|-----------|-----------|-----------|-----------|-----------|-----------|----------|
| <i>QA-43</i> | 23 | 23.8 | 11087 | 830 | 1.1 | 13593.33 | 12.3 | 33 | 566 |
| <i>QA-50</i> | 42 | 17.4 | 7725 | 2020 | 2.3 | 15184.43 | 11.9 | 21 | 578 |
| <i>QA-51</i> | 51 | 22.4 | 8613 | 1600 | 1.5 | 22528.74 | 11.5 | 31 | 614 |
| <i>QA-52</i> | 41 | 18.1 | 7498 | 1671 | 1.8 | 19372 | 11.7 | 17 | 535 |
| <i>QA-53</i> | 48 | 30.4 | 11552 | 1247 | 1.3 | 12314.07 | 11.8 | 27 | 575 |
| <i>QA-54</i> | 18 | 30.0 | 15027 | 1227 | 1.3 | 7638.199 | 10.3 | 21 | 537 |
| <i>QA-55</i> | 44 | 32.0 | 14629 | 1214 | 1.2 | 10390.25 | 11.5 | 31 | 652 |

نتایج آنالیز نمونه‌های برداشتی از محدوده ۱:۲۵۰۰ قهورد

| <i>Qahord</i> | <i>Pb</i> | <i>Rb</i> | <i>S</i> | <i>Sb</i> | <i>Sc</i> | <i>Sn</i> | <i>Sr</i> | <i>Te</i> | <i>Th</i> |
|------------------|-------------|-------------|-------------|-------------|-------------|-------------|-------------|-------------|-------------|
| <i>UNITS</i> | <i>ppm</i> |
| <i>DETECTION</i> | <i>0.2</i> | <i>0.1</i> | <i>50</i> | <i>0.1</i> | <i>1</i> | <i>0.2</i> | <i>0.1</i> | <i>0.2</i> | <i>0.02</i> |
| <i>METHOD</i> | <i>IC3E</i> |
| <i>QA-01</i> | 91.9 | 201.2 | 160 | 3.1 | 14 | 2.2 | 151.3 | 0.0 | 8.36 |
| <i>QA-02</i> | 60.8 | 167.5 | 140 | 2.9 | 13 | 2.1 | 170.4 | 0.0 | 8.14 |
| <i>QA-03</i> | 41.1 | 142.5 | 127 | 2.8 | 12 | 1.9 | 171.1 | 0.0 | 8.07 |
| <i>QA-04</i> | 34.2 | 151.6 | 123.3333 | 2.7 | 11 | 1.7 | 116.8 | 0.0 | 7.73 |
| <i>QA-05</i> | 83.7 | 156.6 | 257 | 2.5 | 10 | 1.6 | 111.2 | 0.0 | 7.33 |
| <i>QA-06</i> | 35.5 | 164.1 | 426.6667 | 2.2 | 11 | 1.7 | 103.6 | 0.0 | 6.95 |
| <i>QA-07</i> | 41.3 | 202.3 | 627 | 1.9 | 8 | 1.9 | 90.6 | 0.2 | 7.03 |
| <i>QA-08</i> | 115.7 | 208.8 | 690 | 1.6 | 9 | 1.9 | 101.0 | 0.1 | 7.15 |
| <i>QA-09</i> | 136.5 | 225.0 | 370 | 1.7 | 12 | 2.3 | 107.3 | 0.1 | 9.71 |
| <i>QA-10</i> | 163.9 | 236.8 | 90 | 1.3 | 13 | 2.2 | 103.7 | 0.0 | 8.95 |
| <i>QA-11</i> | 156.6 | 239.0 | 140 | 1.5 | 15 | 2.2 | 112.3 | 0.0 | 8.96 |
| <i>QA-12</i> | 129.7 | 241.0 | 180 | 3.3 | 14 | 2.2 | 117.3 | 0.0 | 8.76 |

نتایج آنالیز نمونه‌های برداشتی از محدوده ۱:۲۵۰۰ قهورد

| <i>Qahord</i> | <i>Pb</i> | <i>Rb</i> | <i>S</i> | <i>Sb</i> | <i>Sc</i> | <i>Sn</i> | <i>Sr</i> | <i>Te</i> | <i>Th</i> |
|---------------|-----------|-----------|----------|-----------|-----------|-----------|-----------|-----------|-----------|
| <i>QA-13</i> | 92.4 | 196.8 | 170 | 3.2 | 14 | 2.2 | 162.8 | 0.0 | 8.21 |
| <i>QA-14</i> | 53.5 | 165.8 | 130 | 2.9 | 13 | 2.2 | 173.9 | 0.0 | 8.09 |
| <i>QA-15</i> | 36.5 | 140.1 | 120 | 2.8 | 11 | 1.9 | 174.4 | 0.0 | 8.10 |
| <i>QA-16</i> | 33.4 | 121.6 | 130 | 2.6 | 11 | 1.7 | 164.9 | 0.0 | 8.01 |
| <i>QA-17</i> | 32.7 | 157.1 | 120 | 2.6 | 10 | 1.6 | 110.6 | 0.0 | 7.07 |
| <i>QA-18</i> | 36.7 | 158.7 | 520 | 2.2 | 9 | 1.6 | 108.7 | 0.0 | 6.89 |
| <i>QA-19</i> | 37.5 | 160.3 | 640 | 1.9 | 8 | 1.9 | 108.5 | 0.0 | 6.87 |
| <i>QA-20</i> | 38.4 | 164.7 | 720 | 1.6 | 8 | 1.9 | 107.4 | 0.0 | 7.34 |
| <i>QA-21</i> | 40.5 | 169.7 | 710 | 1.3 | 8 | 1.9 | 106.7 | 0.0 | 9.53 |
| <i>QA-22</i> | 44.3 | 172.0 | 110 | 1.4 | 8 | 1.9 | 109.7 | 0.0 | 9.40 |
| <i>QA-23</i> | 46.5 | 191.7 | 110 | 1.4 | 9 | 1.9 | 98.4 | 0.1 | 9.45 |
| <i>QA-24</i> | 97.8 | 212.0 | 100 | 1.4 | 9 | 1.9 | 99.6 | 0.1 | 9.49 |
| <i>QA-25</i> | 138.7 | 223.5 | 90 | 1.3 | 11 | 2.1 | 104.0 | 0.1 | 9.34 |
| <i>QA-26</i> | 152.3 | 233.6 | 100 | 1.4 | 13 | 2.2 | 107.8 | 0.0 | 9.43 |
| <i>QA-27</i> | 150.1 | 238.9 | 90 | 1.3 | 14 | 2.2 | 111.1 | 0.0 | 8.89 |

نتایج آنالیز نمونه‌های برداشتی از محدوده ۱:۲۵۰۰ قهورد

| <i>Qahord</i> | <i>Pb</i> | <i>Rb</i> | <i>S</i> | <i>Sb</i> | <i>Sc</i> | <i>Sn</i> | <i>Sr</i> | <i>Te</i> | <i>Th</i> |
|---------------|-----------|-----------|----------|-----------|-----------|-----------|-----------|-----------|-----------|
| <i>QA-28</i> | 126.2 | 225.6 | 163.3333 | 2.7 | 14 | 2.2 | 130.8 | 0.0 | 8.65 |
| <i>QA-29</i> | 64.6 | 170.4 | 142 | 2.9 | 13 | 2.1 | 164.2 | 0.0 | 8.19 |
| <i>QA-30</i> | 45.4 | 153.9 | 130 | 2.8 | 12 | 1.9 | 152.7 | 0.0 | 7.98 |
| <i>QA-31</i> | 53.0 | 150.2 | 168.8889 | 2.6 | 11 | 1.8 | 133.0 | 0.0 | 7.71 |
| <i>QA-32</i> | 51.1 | 157.5 | 269 | 2.5 | 11 | 1.7 | 110.5 | 0.0 | 7.33 |
| <i>QA-33</i> | 53.5 | 174.3 | 436.6667 | 2.2 | 10 | 1.7 | 101.8 | 0.1 | 7.10 |
| <i>QA-34</i> | 64.2 | 191.7 | 581 | 1.9 | 9 | 1.8 | 98.4 | 0.1 | 7.04 |
| <i>QA-35</i> | 97.8 | 212.0 | 562.2222 | 1.7 | 10 | 2.0 | 99.6 | 0.1 | 7.96 |
| <i>QA-36</i> | 138.7 | 223.5 | 383 | 1.6 | 11 | 2.1 | 104.0 | 0.1 | 8.60 |
| <i>QA-37</i> | 152.3 | 233.6 | 200 | 1.5 | 13 | 2.2 | 107.8 | 0.0 | 9.21 |
| <i>QA-38</i> | 150.1 | 238.9 | 137 | 2.1 | 14 | 2.2 | 111.1 | 0.0 | 8.89 |
| <i>QA-39</i> | 126.2 | 225.6 | 163.3333 | 2.7 | 14 | 2.2 | 130.8 | 0.0 | 8.65 |
| <i>QA-40</i> | 91.9 | 201.2 | 160 | 3.1 | 14 | 2.2 | 151.3 | 0.0 | 8.36 |
| <i>QA-41</i> | 60.8 | 167.5 | 140 | 2.9 | 13 | 2.1 | 170.4 | 0.0 | 8.14 |
| <i>QA-42</i> | 41.1 | 142.5 | 127 | 2.8 | 12 | 1.9 | 171.1 | 0.0 | 8.07 |

نتایج آنالیز نمونه‌های برداشتی از محدوده ۱:۲۵۰۰۰ قهورد

| <i>Qahord</i> | <i>Pb</i> | <i>Rb</i> | <i>S</i> | <i>Sb</i> | <i>Sc</i> | <i>Sn</i> | <i>Sr</i> | <i>Te</i> | <i>Th</i> |
|---------------|-----------|-----------|----------|-----------|-----------|-----------|-----------|-----------|-----------|
| <i>QA-43</i> | 34.2 | 139.6 | 123.3333 | 2.7 | 11 | 1.7 | 149.9 | 0.0 | 7.73 |
| <i>QA-50</i> | 100.0 | 213.0 | 650.71 | 1.2 | 7 | 1.8 | 102.0 | 0.0 | 7.95 |
| <i>QA-51</i> | 79.1 | 192.2 | 286 | 3.2 | 12 | 2.3 | 162.3 | 0.0 | 9.94 |
| <i>QA-52</i> | 76.5 | 209.0 | 72.87736 | 1.8 | 9 | 2.2 | 97.7 | 0.0 | 11.40 |
| <i>QA-53</i> | 65.5 | 163.5 | 104 | 4.8 | 15 | 2.6 | 164.5 | 0.0 | 9.79 |
| <i>QA-54</i> | 54.9 | 188.7 | 930.1038 | 3.3 | 13 | 2.3 | 96.2 | 0.0 | 7.58 |
| <i>QA-55</i> | 52.2 | 171.3 | 219.1045 | 5.2 | 18 | 2.6 | 169.0 | 0.0 | 8.03 |

نتایج آنالیز نمونه‌های برداشتی از محدوده ۱:۲۵۰۰ قهورد

| <i>Qahord</i> | <i>Ti</i> | <i>Tl</i> | <i>U</i> | <i>V</i> | <i>W</i> | <i>Y</i> | <i>Zn</i> | <i>Zr</i> |
|------------------|-------------|-------------|-------------|-------------|-------------|-------------|-------------|-------------|
| <i>UNITS</i> | <i>ppm</i> |
| <i>DETECTION</i> | <i>10</i> | <i>0.1</i> | <i>0.02</i> | <i>2</i> | <i>0.1</i> | <i>0.05</i> | <i>0.2</i> | <i>5</i> |
| <i>METHOD</i> | <i>IC3E</i> |
| <i>QA-01</i> | 4597 | 2.2 | 2.17 | 77 | 0.9 | 17.40 | 380.9 | 150 |
| <i>QA-02</i> | 4903.333 | 2.3 | 2.13 | 73 | 0.9 | 16.42 | 339.5 | 143 |
| <i>QA-03</i> | 5053 | 2.2 | 2.08 | 68 | 0.8 | 15.80 | 268.0 | 123 |
| <i>QA-04</i> | 4946.667 | 1.9 | 2.02 | 64 | 0.7 | 19.54 | 193.0 | 107 |
| <i>QA-05</i> | 4597 | 1.5 | 1.96 | 60 | 0.7 | 15.01 | 139.2 | 90 |
| <i>QA-06</i> | 4196.667 | 1.2 | 1.93 | 63 | 0.8 | 15.89 | 112.0 | 80 |
| <i>QA-07</i> | 3783 | 1.3 | 2.00 | 44 | 0.8 | 17.63 | 248.0 | 140 |
| <i>QA-08</i> | 3523.333 | 1.3 | 2.00 | 50 | 0.7 | 18.75 | 114.7 | 60 |
| <i>QA-09</i> | 4010 | 1.4 | 2.01 | 65 | 0.8 | 20.34 | 130.4 | 70 |
| <i>QA-10</i> | 3250 | 1.9 | 2.35 | 72 | 0.8 | 20.64 | 277.5 | 130 |
| <i>QA-11</i> | 3490 | 1.9 | 2.32 | 81 | 0.7 | 20.24 | 328.8 | 140 |
| <i>QA-12</i> | 4160 | 2.1 | 2.21 | 80 | 0.9 | 18.56 | 396.3 | 150 |

نتایج آنالیز نمونه‌های برداشتی از محدوده ۱:۲۵۰۰ قهورد

| <i>Qahord</i> | <i>Ti</i> | <i>Tl</i> | <i>U</i> | <i>V</i> | <i>W</i> | <i>Y</i> | <i>Zn</i> | <i>Zr</i> |
|---------------|-----------|-----------|----------|----------|----------|----------|-----------|-----------|
| <i>QA-13</i> | 4560 | 2.3 | 2.15 | 78 | 0.9 | 17.38 | 395.3 | 160 |
| <i>QA-14</i> | 5070 | 2.3 | 2.15 | 74 | 0.9 | 16.26 | 351.3 | 140 |
| <i>QA-15</i> | 5080 | 2.3 | 2.10 | 67 | 0.9 | 15.63 | 272.0 | 130 |
| <i>QA-16</i> | 5010 | 1.9 | 2.00 | 65 | 0.6 | 15.51 | 180.9 | 100 |
| <i>QA-17</i> | 4750 | 1.5 | 1.96 | 61 | 0.7 | 15.29 | 126.0 | 90 |
| <i>QA-18</i> | 4030 | 1.1 | 1.91 | 55 | 0.7 | 15.41 | 110.8 | 80 |
| <i>QA-19</i> | 3810 | 0.9 | 1.92 | 46 | 0.8 | 15.55 | 99.3 | 70 |
| <i>QA-20</i> | 3510 | 1.3 | 2.01 | 47 | 0.7 | 15.78 | 117.7 | 60 |
| <i>QA-21</i> | 3250 | 1.3 | 2.01 | 46 | 0.8 | 16.53 | 120.6 | 70 |
| <i>QA-22</i> | 3370 | 1.3 | 2.00 | 45 | 0.9 | 17.22 | 121.2 | 60 |
| <i>QA-23</i> | 3370 | 1.3 | 2.01 | 47 | 1.0 | 17.42 | 123.7 | 70 |
| <i>QA-24</i> | 3340 | 1.4 | 2.02 | 46 | 1.1 | 18.90 | 131.0 | 80 |
| <i>QA-25</i> | 3320 | 1.4 | 2.04 | 62 | 0.8 | 19.91 | 134.0 | 90 |
| <i>QA-26</i> | 3400 | 1.7 | 2.23 | 72 | 0.7 | 20.40 | 245.6 | 113 |
| <i>QA-27</i> | 3440 | 1.9 | 2.29 | 77 | 0.8 | 19.81 | 334.2 | 140 |

نتایج آنالیز نمونه‌های برداشتی از محدوده ۱:۲۵۰۰ قهورد

| <i>Qahord</i> | <i>Ti</i> | <i>Tl</i> | <i>U</i> | <i>V</i> | <i>W</i> | <i>Y</i> | <i>Zn</i> | <i>Zr</i> |
|---------------|-----------|-----------|----------|----------|----------|----------|-----------|-----------|
| <i>QA-28</i> | 4070 | 2.1 | 2.23 | 80 | 0.8 | 18.73 | 373.4 | 150 |
| <i>QA-29</i> | 4851 | 2.2 | 2.13 | 73 | 0.9 | 16.54 | 329.5 | 139 |
| <i>QA-30</i> | 4968 | 2.1 | 2.08 | 68 | 0.8 | 17.25 | 266.8 | 124 |
| <i>QA-31</i> | 4865.556 | 1.8 | 2.02 | 64 | 0.7 | 16.78 | 200.1 | 107 |
| <i>QA-32</i> | 4580 | 1.5 | 1.97 | 62 | 0.7 | 16.81 | 148.1 | 92 |
| <i>QA-33</i> | 4192.222 | 1.3 | 1.96 | 56 | 0.7 | 16.18 | 166.4 | 103 |
| <i>QA-34</i> | 3834 | 1.2 | 1.98 | 52 | 0.8 | 17.42 | 158.3 | 93 |
| <i>QA-35</i> | 3772.222 | 1.3 | 2.01 | 53 | 0.8 | 18.90 | 164.4 | 90 |
| <i>QA-36</i> | 3594 | 1.5 | 2.12 | 62 | 0.8 | 19.91 | 174.2 | 87 |
| <i>QA-37</i> | 3583.333 | 1.7 | 2.23 | 72 | 0.7 | 20.40 | 245.6 | 113 |
| <i>QA-38</i> | 3633 | 1.9 | 2.29 | 77 | 0.8 | 19.81 | 334.2 | 140 |
| <i>QA-39</i> | 4070 | 2.1 | 2.23 | 80 | 0.8 | 18.73 | 373.4 | 150 |
| <i>QA-40</i> | 4597 | 2.2 | 2.17 | 77 | 0.9 | 17.40 | 380.9 | 150 |
| <i>QA-41</i> | 4903.333 | 2.3 | 2.13 | 73 | 0.9 | 16.42 | 339.5 | 143 |
| <i>QA-42</i> | 5053 | 2.2 | 2.08 | 68 | 0.8 | 15.80 | 268.0 | 123 |

نتایج آنالیز نمونه‌های برداشتی از محدوده ۱:۲۵۰۰۰ قهورد

| <i>Qahord</i> | <i>Ti</i> | <i>Tl</i> | <i>U</i> | <i>V</i> | <i>W</i> | <i>Y</i> | <i>Zn</i> | <i>Zr</i> |
|---------------|-----------|-----------|----------|----------|----------|----------|-----------|-----------|
| <i>QA-43</i> | 4946.667 | 1.9 | 2.02 | 64 | 0.7 | 15.48 | 193.0 | 107 |
| <i>QA-50</i> | 3533.068 | 1.4 | 1.31 | 52 | 0.7 | 18.44 | 113.3 | 60 |
| <i>QA-51</i> | 4504 | 2.2 | 5.59 | 81 | 0.8 | 16.48 | 174.1 | 159 |
| <i>QA-52</i> | 3215.995 | 1.5 | 2.02 | 45 | 1.0 | 18.90 | 128.9 | 79 |
| <i>QA-53</i> | 4836 | 2.2 | 3.40 | 73 | 0.8 | 16.63 | 318.9 | 137 |
| <i>QA-54</i> | 3818.485 | 1.3 | 1.50 | 55 | 0.7 | 17.62 | 167.5 | 90 |
| <i>QA-55</i> | 4909.612 | 2.4 | 3.69 | 73 | 0.8 | 16.42 | 350.4 | 146 |